



การควบคุมการเคลื่อนที่ของเครน  
CRANE MOVEMENT CONTROL

โดย

นายนรพล ตั้งตรงจิตต์  
นางสาวปัญจรักษ์ นิจสุนกิจ  
นายภาคภูมิ สุขแสนถาวร

อาจารย์ที่ปรึกษา

รองศาสตราจารย์ ดร. จงกล งามวิวิทย์

อาจารย์ สุมิตร พนาอุดมทรัพย์

วัน เดือน ปี... 29.05.2541  
เลขทะเบียน..... 038049  
เลขเรียกหนังสือ..... T 99069 ๖ 11 ก

ปริญญานิพนธ์นี้เป็นส่วนหนึ่งของการศึกษาตามหลักสูตรปริญญาวิศวกรรมศาสตรบัณฑิต

ภาควิชาวิศวกรรมระบบควบคุม

สถาบันเทคโนโลยีพระจอมเกล้าเจ้าคุณทหารลาดกระบัง

ปีการศึกษา 2539

เอกสารนี้เป็นเอกสารที่สงวนไว้สำหรับการใช้งานเพื่อการศึกษาเท่านั้น ไม่อนุญาตให้นำไปใช้ประโยชน์ด้านการค้า  
ไม่ว่ากรณีใดๆ ทั้งสิ้น อีกทั้งห้ามมิให้ดัดแปลงเนื้อหาและต้องอ้างอิงถึงเจ้าของเอกสารทุกครั้งที่ใช้

038049

ปริญญาานิพนธ์ปีการศึกษา 2539


ภาควิชาวิศวกรรมระบบควบคุม


คณะวิศวกรรมศาสตร์ สถาบันเทคโนโลยีพระจอมเกล้าเจ้าคุณทหารลาดกระบัง

เรื่อง การควบคุมการเคลื่อนที่ของเครน  
CRANE MOVEMENT CONTROL

ผู้จัดทำ

นายนรพล ตั้งตรงจิตต์  
นางสาวบัญญัติรักษ์ นิจุสุนกิจ  
นายภาคภูมิ สุขแสนถาวร

  
..... อาจารย์ที่ปรึกษา  
(รองศาสตราจารย์ ดร. จงกล งามวิวิทย์)

  
..... อาจารย์ที่ปรึกษา  
(อาจารย์ สมิตร พนาอุดมทรัพย์)

เอกสารนี้เป็นเอกสารที่สงวนไว้สำหรับการใช้งานเพื่อการศึกษาเท่านั้น ไม่อนุญาตให้นำไปใช้ประโยชน์ด้านการค้า  
ไม่ว่ากรณีใดๆ ทั้งสิ้น อีกทั้งห้ามมิให้ดัดแปลงเนื้อหาและต้องอ้างอิงถึงเจ้าของเอกสารทุกครั้งที่มีการนำไปใช้

การควบคุมการเคลื่อนที่ของเครน  
CRANE MOVEMENT CONTROL

โดย

นาย นรพล ตั้งตรงจิตต์

รหัสประจำตัวนักศึกษา 36014210

นส.ปัญจรักษ์ นิจสุนกิจ

รหัสประจำตัวนักศึกษา 36014259

นายภาคภูมิ สุขแสนถาวร

รหัสประจำตัวนักศึกษา 36014316

อาจารย์ที่ปรึกษา

รศ.ดร.จกกล งามวิวิทย์

อาจารย์ สุमितร์ พนาอุดมทรัพย์

บทคัดย่อ

โครงการการควบคุมการเคลื่อนที่ของเครนในปีนี้มีจุดมุ่งหมายที่จะพัฒนาโครงการที่รุ่นที่ได้ทำเอาไว้ให้ดียิ่งขึ้น โดยเพิ่มส่วนการควบคุมภาระให้สามารถควบคุมการเคลื่อนที่ขึ้นลงของตำแหน่งของภาระได้ตามต้องการ เพื่อประโยชน์ในการยกของผ่านสิ่งกีดขวาง โดยที่ยังสามารถรักษาสภาพการเคลื่อนที่ของตัวรถเครนให้ไปหยุด ณ ตำแหน่งที่ต้องการ พร้อมทั้งให้ภาระที่แขวนอยู่แกว่งน้อยที่สุด การออกแบบระบบควบคุมเพื่อควบคุมระบบเครนนี้ ได้ออกแบบโดยวิธี LQR

ABSTRACT

Crane Movement Control Project in this year has main purpose on improving the last year project by increasing the load control part. This load control part has the benefit that can avoid the undesired object between the trajectory of load. Increasing this part we can control the position of cart, the anti swing of load and the movement of rope the in the same time. This controller which has an ability to control this crane system is designed by LQR method.

เอกสารนี้เป็นเอกสารที่สงวนไว้สำหรับการใช้งานเพื่อการศึกษาเท่านั้น ไม่อนุญาตให้นำไปใช้ประโยชน์ด้านการค้า ไม่ว่ากรณีใดๆ ทั้งสิ้น อีกทั้งห้ามมิให้ตัดแปลงเนื้อหาและต้องอ้างอิงถึงเจ้าของเอกสารทุกครั้งที่มีการนำไปใช้

### กิตติกรรมประกาศ

ปริญญาโทฉบับนี้สำเร็จลงได้ด้วยดีก็เพราะได้รับความเมตตาจาก รองศาสตราจารย์ ดร. จงกล งามวิวิทย์ อาจารย์ สุมิตร พนาอุดมทรัพย์ อาจารย์ที่ปรึกษา รองศาสตราจารย์ ดร. โยธิน เปรมปราณีรัชต์ ดร. สุธี ผู้เจริญคุณะชัย รองศาสตราจารย์ วิพันธ์ ปรีชาพานิช ดร. นนทวัฒน์ จุลเดชะ ดร. วันชัย ธีรจุฑา อาจารย์เกียรติศักดิ์ คมวัชระ อาจารย์เกียรติวรรณ ทวงสัตย์ และขอขอบคุณ พี่สุณิษา พี่นริศ พี่สุวัฒน์ พี่บุญเลิศ พี่เทพจิตร และพี่ ๆ ป.โท ที่ให้ความกรุณาแนะนำแก่ผู้จัดทำ ตลอดมา ผู้จัดทำขอกราบขอบพระคุณเป็นอย่างสูงมา ณ โอกาสนี้ด้วย และยังขอขอบคุณคณาจารย์ ต่างๆ ที่ได้ประสิทธิ์ประสาทวิชาความรู้แก่ผู้จัดทำ

ขอขอบคุณ บริษัท อีซูซู(ประเทศไทย) จำกัด ที่ได้ให้ความอนุเคราะห์อุปกรณ์ที่ใช้ในระบบควบคุม การเคลื่อนที่ของเครน ซึ่งทำให้ปริญญาโทเรื่องนี้สำเร็จลงได้ด้วยดี

ขอกราบขอบพระคุณคุณพ่อคุณแม่ของผู้จัดทำที่ได้อุปการะผู้จัดทำและยังเป็นผู้ให้กำลังใจแก่ผู้จัดทำ ตลอดมาและต้องขอขอบคุณเพื่อน ๆ ที่ให้ความเป็นเพื่อนและให้กำลังใจแก่ผู้จัดทำตลอด

ผู้จัดทำ

นายนรพล ตั้งตรงจิตต์

นางสาวบิญจรักษ์ นิจสุนกิจ

นายภาคภูมิ สุขแสนถาวร

# สารบัญ

เนื้อเรื่อง	หน้า
<b>บทคัดย่อ</b>	I
<b>กิตติกรรมประกาศ</b>	II
<b>บทที่ 1 : บทนำ</b>	
1.1 จุดประสงค์ของการศึกษาและการควบคุมการเคลื่อนที่ของเครน	1
1.2 ประวัติการศึกษาการควบคุมเครน	1
1.3 เนื้อหาที่จะกล่าวถึงในปริญญานิพนธ์ฉบับนี้	1
<b>บทที่ 2 : โครงสร้างโดยรวมของระบบ</b>	2
2.1 หลักการในการควบคุมและบล็อกไดอะแกรมของระบบ	2
2.2 ชุดควบคุมการเคลื่อนที่และดีดภาระขึ้นลงของเครน	3
2.3 การเลือกใช้เซ็นเซอร์และการออกแบบวงจรเซ็นเซอร์	10
2.4 โครงสร้างและส่วนประกอบของแบบจำลองเครน	14
2.5 โมเดลทางคณิตศาสตร์ของแบบจำลองเครน	20
<b>บทที่ 3 : การควบคุมมุมการแกว่งและตำแหน่งของเครน</b>	22
3.1 การควบคุมออปติมัล (Optimal Control)	22
3.2 การประมาณค่าสเตทโดยอาศัยความสัมพันธ์ทางฟิสิกส์	26
<b>บทที่ 4 : การประมาณค่าโมเดลของระบบจากผลตอบสนองที่ได้จากการทดลอง</b>	27
4.1 การหาโมเดลของมอเตอร์	27
4.2 การหาโมเดลของLM629 ร่วมกับมอเตอร์	28
<b>บทที่ 5 : การ Simulation และการทดลอง</b>	30
5.1 การ Simulation	30
5.2 ผลการทดลอง	38
<b>บทที่ 6 : ผลสรุปและข้อเสนอแนะของระบบควบคุมการเคลื่อนที่ของเครน</b>	51
6.1 สรุปผลการทดลอง	51
6.2 ข้อเสนอแนะ	51

ภาคผนวก ก : การใช้งานการ์ดอินเตอร์เฟส PCL 714	52
ภาคผนวก ข : การใช้งานไอซี LM629 และ LM18298	70
ภาคผนวก ค : โปรแกรมที่ใช้คำนวณค่าเกนป้อนกลับ	100
ภาคผนวก ง : Source Code ของโปรแกรมที่ใช้ในการควบคุม	104
หนังสืออ้างอิง	160



## บทที่ 1

### บทนำ

#### 1.1 จุดประสงค์ของการศึกษาและการควบคุมการเคลื่อนที่ของเครน

จุดประสงค์หลักในการควบคุมการเคลื่อนที่ของเครนมีเหตุผลดังกล่าวต่อไปนี้

1.1.1 ช่วยเพิ่มประสิทธิภาพในการทำงานโดยเฉลี่ย แม้ว่าผู้ปฏิบัติงานจะไม่มี ความกดดัน

1.1.2 ช่วยเพิ่มประสิทธิภาพการทำงานในสภาวะแวดล้อมที่ไม่เหมาะสม เช่น การที่ผู้ปฏิบัติงานที่ต้องทำงานในบริเวณที่มีอุณหภูมิสูง หรือ ในบริเวณที่มีทัศนวิสัยไม่ดี เป็นต้น

1.1.3 ช่วยลดค่าจ้างแรงงาน

1.1.4 ช่วยทำให้งานเสร็จเร็วยิ่งขึ้น

1.1.5 สามารถประยุกต์ใช้งานกับกระบวนการผลิตในโรงงานอุตสาหกรรมได้อย่างมีประสิทธิภาพ

#### 1.2 ประวัติการศึกษาการควบคุมเครน

ในปี ค.ศ. 1979 Mita และ Kannai ได้พัฒนาวิธีการควบคุมการแกว่งของภาระโดยวิธีการควบคุมออปติมัล (Optimum Control) เพื่อให้ใช้เวลาในการควบคุมน้อยที่สุด

ในปี ค.ศ. 1987 J.W. Auerning ปรับปรุงวิธีแก้ปัญหาการควบคุมให้ใช้เวลา น้อยที่สุด (Minimum time control) โดยการเปลี่ยนค่าความยาวลวดที่แขวนภาระขณะทำการควบคุม

ในปี ค.ศ. 1993 J. Shirai ได้ทำการพัฒนาวิธีการคำนวณแบบใหม่เพื่อใช้ในการควบคุมการแกว่งของภาระที่แขวนอยู่บนเครนที่ใช้ในการขนตู้คอนเทนเนอร์ภายในท่าเรือ

#### 1.3 เนื้อหาที่จะกล่าวถึงในปริญญาานิพนธ์ฉบับนี้

ในปริญญาานิพนธ์ฉบับนี้จะประกอบไปด้วยเนื้อหา ดังนี้

1.3.1 โครงสร้างเชิงกล และวงจรทางอิเล็กทรอนิกส์ที่ใช้ในการวัดค่าสัญญาณต่าง ๆ ที่ใช้ในแบบจำลองเครน

1.3.2 การ์ดที่ใช้ติดต่อกับคอมพิวเตอร์ วงจรขับมอเตอร์ และวงจรรีเลย์

1.3.3 การประมาณค่าโมเดลทางคณิตศาสตร์ของระบบเครน

1.3.4 การควบคุมการเคลื่อนที่ของเครนโดยการป้อนกลับสเตต (state feedback) ซึ่งออกแบบค่าเกนป้อนกลับ (feedback gain) โดยวิธี Linear Quadratic Regulator (LQR) โดยจะมีค่าเกนเปลี่ยนไปตามค่าความยาวเชือก

1.3.5 การทดลองและผลการทดลอง

เอกสารนี้เป็นเอกสารที่สงวนไว้สำหรับการใช้งานเพื่อการศึกษาเท่านั้น ไม่อนุญาตให้นำไปใช้ประโยชน์ด้านการค้าไม่ว่ากรณีใดๆ ทั้งสิ้น อีกทั้งห้ามมิให้ตัดแปลงเนื้อหาและต้องอ้างอิงถึงเจ้าของเอกสารทุกครั้งที่มีการนำไปใช้

## บทที่ 2

### โครงสร้างโดยรวมของระบบ

#### 2.1 หลักการในการควบคุมและบล็อกไดอะแกรมของระบบ

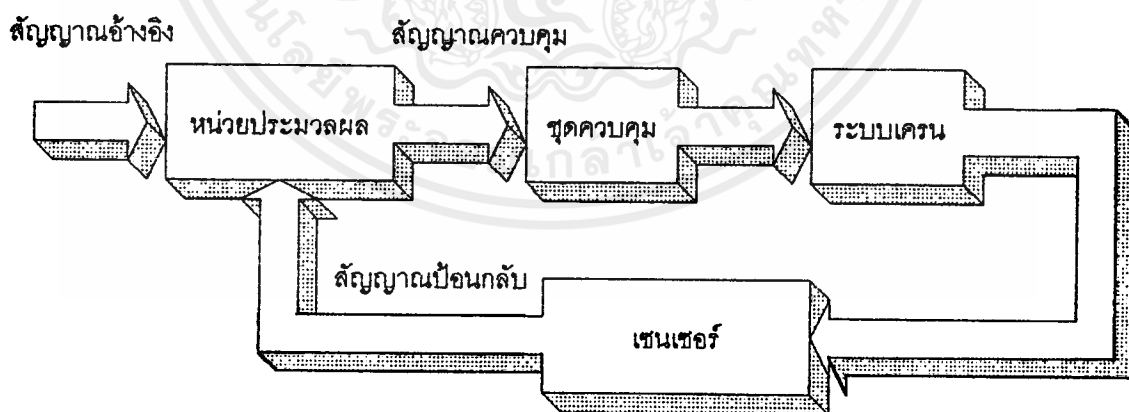
##### 2.1.1 หลักการในการควบคุม

หลักในการควบคุมระบบการเคลื่อนที่ของครนไปยังเป้าหมายพร้อมทั้งสามารถยกสิ่งกีดขวางและนำลงสู่เป้าหมายได้อย่างถูกต้องไม่แกว่งนั้น อาศัยแรงขับเคลื่อนจากมอเตอร์ เพราะฉะนั้นจำเป็นที่เราจะควบคุมการหมุนของมอเตอร์ให้ได้เพื่อที่จะควบคุมการเคลื่อนที่ของครนและควบคุมมอเตอร์ในการดึงภาระลงสิ่งกีดขวางวางลงสู่เป้าหมายและเกิดมุมในการแกว่งน้อยที่สุด

การควบคุมระบบครนโดยควบคุมการหมุนของมอเตอร์ ได้จากการทำงานร่วมกันของ คอมพิวเตอร์ ชุดควบคุม และเซนเซอร์ โดยเซนเซอร์จะทำการวัดสัญญาณป้อนกลับ (Feedback signal) ค่าตำแหน่งครน ค่ามุมของการแกว่งและค่าความยาวเชือกที่ใช้ดึงภาระลงสิ่งกีดขวาง มาคำนวณหา ค่าสเตตต่าง ๆ และสัญญาณควบคุม ไปยังชุดควบคุมเพื่อควบคุมให้ครนเคลื่อนที่ไปยังตำแหน่งที่ต้องการ และมีมุมของภาระเป็นศูนย์ ไม่มีค่าผิดพลาดหรือมีแต่น้อย

##### 2.1.2 บล็อกไดอะแกรมของระบบ

สามารถเขียนบล็อกไดอะแกรมโดยรวมของระบบได้ดังนี้

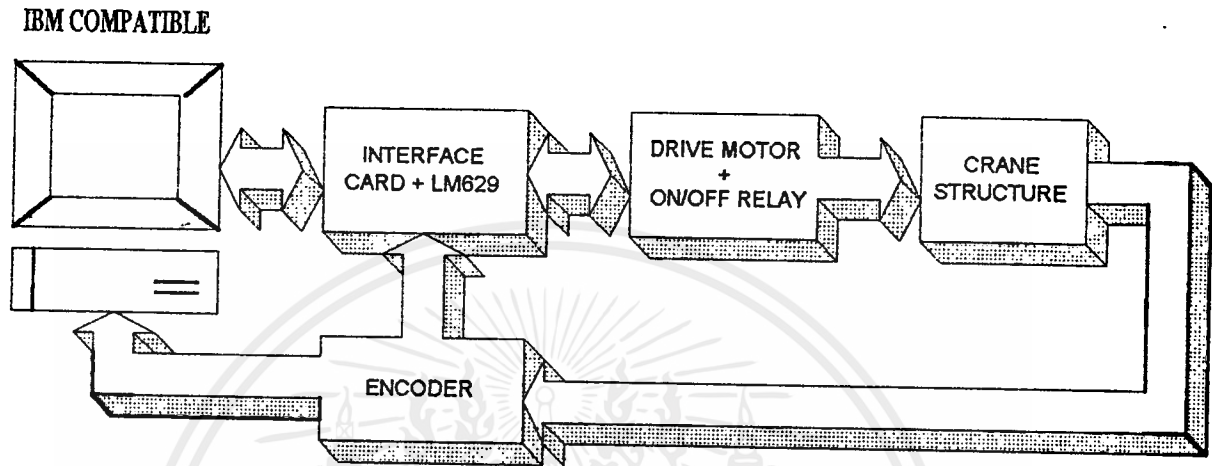


รูปที่ 2.1 รูปแสดงบล็อกไดอะแกรมโดยรวมของระบบการควบคุมการเคลื่อนที่ของครน

## 2.2 ชุดควบคุมการเคลื่อนที่และตั้งภาวะขึ้นลงของเครน

### 2.2.1 ชุดควบคุมการเคลื่อนที่และยกภาวะขึ้นลงของเครน

ประกอบด้วย



รูปที่ 2.2 รูปแสดงบล็อกไดอะแกรมของชุดควบคุมการทำงานของระบบเครน

#### 2.2.1.1 คอมพิวเตอร์ส่วนบุคคล

ใช้ควบคุมระบบโดย software ที่ถูกเขียนขึ้นโดยทฤษฎีควบคุม โดยเลือกใช้คอมพิวเตอร์ที่ใช้กัน  
ได้กับของบริษัท IBM เพราะหาง่ายและใช้กันอย่างแพร่หลาย

#### 2.2.1.2 วงจรเชื่อมต่อระหว่างคอมพิวเตอร์ที่รวมชีพควบคุมความเร็ว

##### ลักษณะของวงจรเชื่อมต่อระหว่างคอมพิวเตอร์

เป็นวงจรที่ทำหน้าที่ช่วยให้คอมพิวเตอร์สามารถติดต่อส่งผ่านข้อมูลชีพควบคุมความเร็วกับวงจร  
ขับเคลื่อน วงจรตั้งภาวะขึ้นลงหรืออุปกรณ์ภายนอกได้

ในวงจร Interface จะมีส่วนที่ทำหน้าที่เป็นบัฟเฟอร์ของสัญญาณข้อมูล (data buffer) ซึ่งจากรูปที่

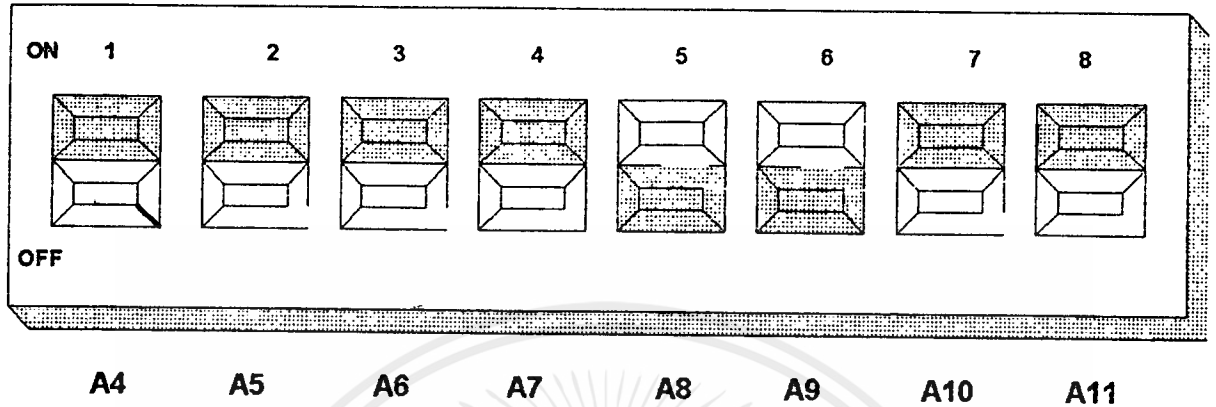
2.7

ใช้ IC 74LS245 ทำหน้าที่เป็นบัฟเฟอร์ทั้งรับและส่งผ่านข้อมูลใน 2 ทิศทาง

ใช้ IC 74LS244 เป็นบัฟเฟอร์ของสัญญาณควบคุม (signal buffer) ทำหน้าที่ส่งสัญญาณไป  
ควบคุม การทำงานของ พอร์ทต่างๆในวงจรเชื่อมต่อได้ถูกต้องและผ่านแอดเดรสที่ต้องการ  
โดยมีหลักในการกำหนดแอดเดรสดังนี้

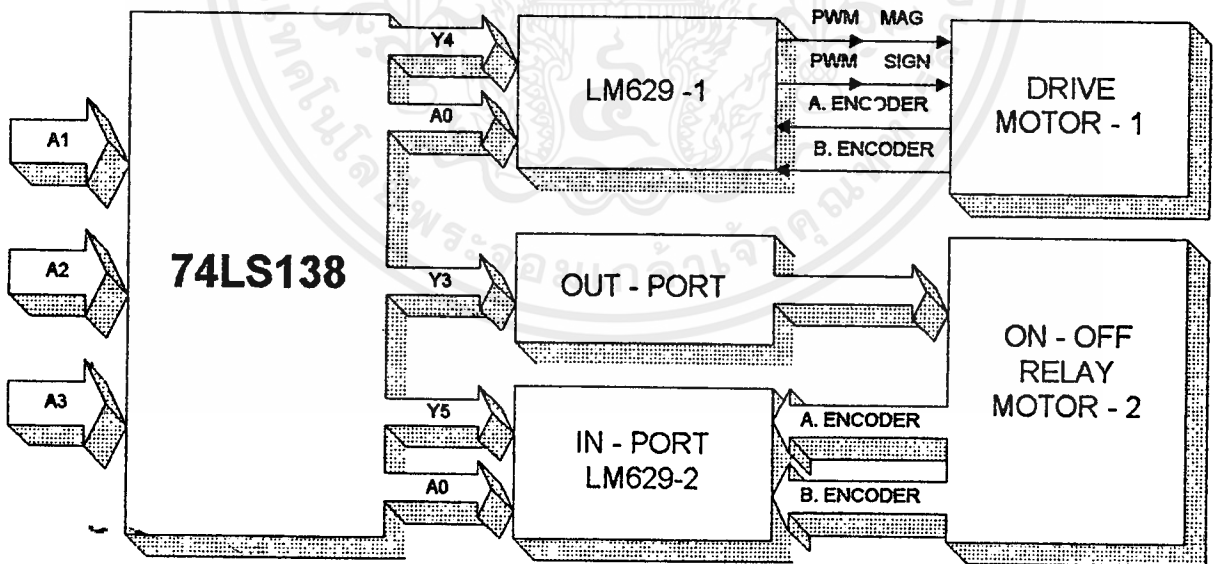
การกำหนดแอดเดรสเพื่อติดต่อกับพอร์ทต่างๆ ที่ใช้ควบคุมความเร็วจากการปิดเปิดของ ดิปลิวิตซ์  
ของ IC 74LS688 ในการดีโคดแอดเดรสโดยเลือกแอดเดรสที่ 300H เท่ากับ 0011 0000 XXXX

โดยที่ A11=0 ,A10=0 ,A9=1 ,A8=1 ,A7=A6=A5=A4=0 ตามรูปที่ 2.3



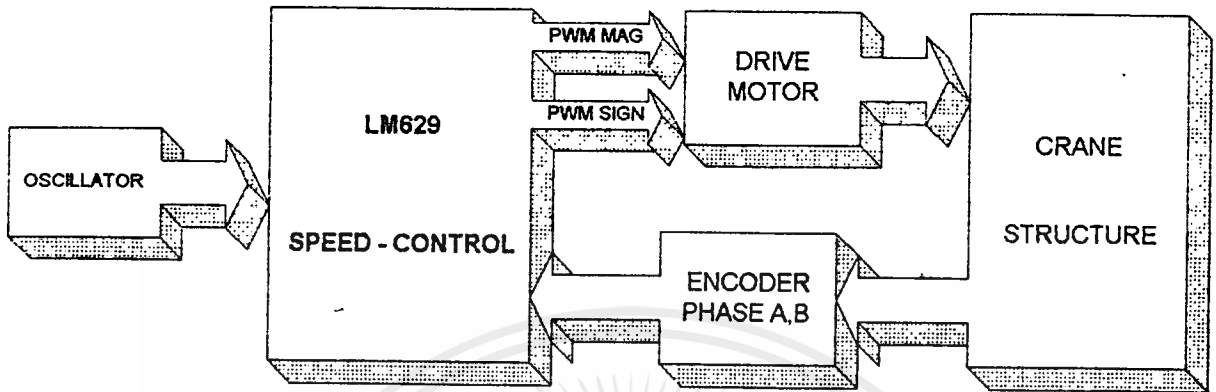
รูปที่2.3 แสดงการปิดเปิดของดิปลวิตส์

ส่วน A3,A2,A1และ A0 ถูกตีโค้ดด้วย IC 74LS138 อีกครั้งเพื่อกำหนดพอร์ทของชุดควบคุมความเร็วที่ติดต่อกับชิพ LM629 ตัวที่1 กับวงจรขับเคลื่อนมอเตอร์ เพื่อกำหนด เอาท์พอร์ทของวงจรดึงภาระขึ้นลงและเพื่อกำหนด พอร์ทของการ อินพอร์ทจากเอนโคเดอร์ของวงจร ดึงภาระขึ้นลง



รูปที่2.4 บล็อกไดอะแกรมแสดงการตีโค้ดแอดเดรสของ 74LS138 กับพอร์ทการใช้งานต่างๆ

## ชิพควบคุมความเร็ว LM629



รูปที่ 2.5 บล็อกไดอะแกรมการทำงานชิพควบคุมความเร็ว LM629

IC LM629 เป็นชิพควบคุมการเคลื่อนที่ (Motion Control IC) ทำงานร่วมกับหน่วยประมวลผลหลัก ออกแบบมาให้ใช้ได้กับทั้ง ดีซีเซอร์โวมอเตอร์ และระบบเซอร์โวแมคคาทรอนิกส์อื่นๆ มีการป้องกันกลับของ เฟส A , B เอนโคเดอร์นำมาคำนวณหาสัญญาณควบคุมไปควบคุมการเคลื่อนที่ของตัวเคลื่อน  
คุณสมบัติของ LM629

- มีรีจิสเตอร์ตำแหน่งความเร็ว ความเร่งขนาด 32 บิต
- เป็นฟิลเตอร์ดิจิตอลแบบ PID
- สามารถกำหนดเส้นทางของความเร็ว (trajectory)
- สามารถกำหนดค่าคาบการชกตัวได้อย่างได้
- ให้เอาท์พุตเป็น PWM ซึ่งมีทั้งขนาดและทิศทาง
- ค่าความเร็ว ค่าตำแหน่งที่ต้องการ และค่าพารามิเตอร์ของฟิลเตอร์สามารถเปลี่ยนแปลงได้ขณะที่ทำการควบคุมจริง

- สามารถทำงานได้ทั้งในโหมดการควบคุมตำแหน่งและโหมดการควบคุมความเร็ว
- สามารถโปรแกรม การทำงานขัดจังหวะ(interrupt) กับหน่วยประมวลผลหลักได้
- ติดต่อข้อมูลกับหน่วยประมวลผลหลักแบบขนาน ขนาด 8 บิตได้
- มีหน่วยรับสัญญาณการป้องกันกลับจากเอนโคเดอร์

การติดต่อ LM629 หนึ่งตัวนั้นมี 2 แบบดังนี้

แบบที่ 1 เป็นการติดต่อเพื่อส่งสัญญาณคำสั่งงานให้ LM629 เพื่ออ่านค่าแฟล็กแสดงสถานะของ LM629 ในการติดต่อแบบนี้ต้องให้สัญญาณที่ขา 12 และ 16 ของ LM629 เป็น 0

แบบที่ 2 เป็นการติดต่อเพื่อการอ่านข้อมูลและการเขียน ในการติดต่อแบบนี้ให้สัญญาณที่ขา 12 ของ 629 เป็น 0 และขาที่ 16 ของ LM629 เป็น 1

เนื่องจากการติดต่อกับ LM629 มีการติดต่อ 2 แบบเราจึงต้องใช้แอดเดรสในการติดต่อกับ LM629 2 แอดเดรส ต่อ 1 ตัว

### 2.2.1.3 วงจรขับมอเตอร์และวงจรดึงภาระขึ้นลงของเครน

#### การทำงานของวงจรขับมอเตอร์

เมื่อป้อน แรงดันไฟตรงให้วงจรมากกว่า 12 โวลต์ แต่ไม่เกิน 40 โวลต์ พร้อมทั้งได้สัญญาณ PWM MAG และ PWM SIGN จากชิพ LM629 ตัวที่ 1 บนอินเทอร์เฟซการ์ด

โดย ค่า PWM MAG เป็น 0 มอเตอร์จะหยุดทำงาน

ค่า PWM MAG เป็น 1 มอเตอร์จะทำงานตามสัญญาณ PWM SIGN

ค่า PWM SIGN เป็น 1 มอเตอร์จะหมุนตามเข็มนาฬิกา

ค่า PWM SIGN เป็น 0 มอเตอร์จะหมุนทวนเข็มนาฬิกา

ในขณะที่เครนเคลื่อนที่เอนโคเดอร์ทำหน้าที่เป็นเซนเซอร์ส่งผ่าน เฟส A,B ไปยังชิพควบคุมความเร็ว LM629 ตัวที่ 1 เพื่อเป็นเคาท์เตอร์คำนวณระยะทางที่เครนเคลื่อนที่ไปได้และให้เครนหยุดได้ตามต้องการ

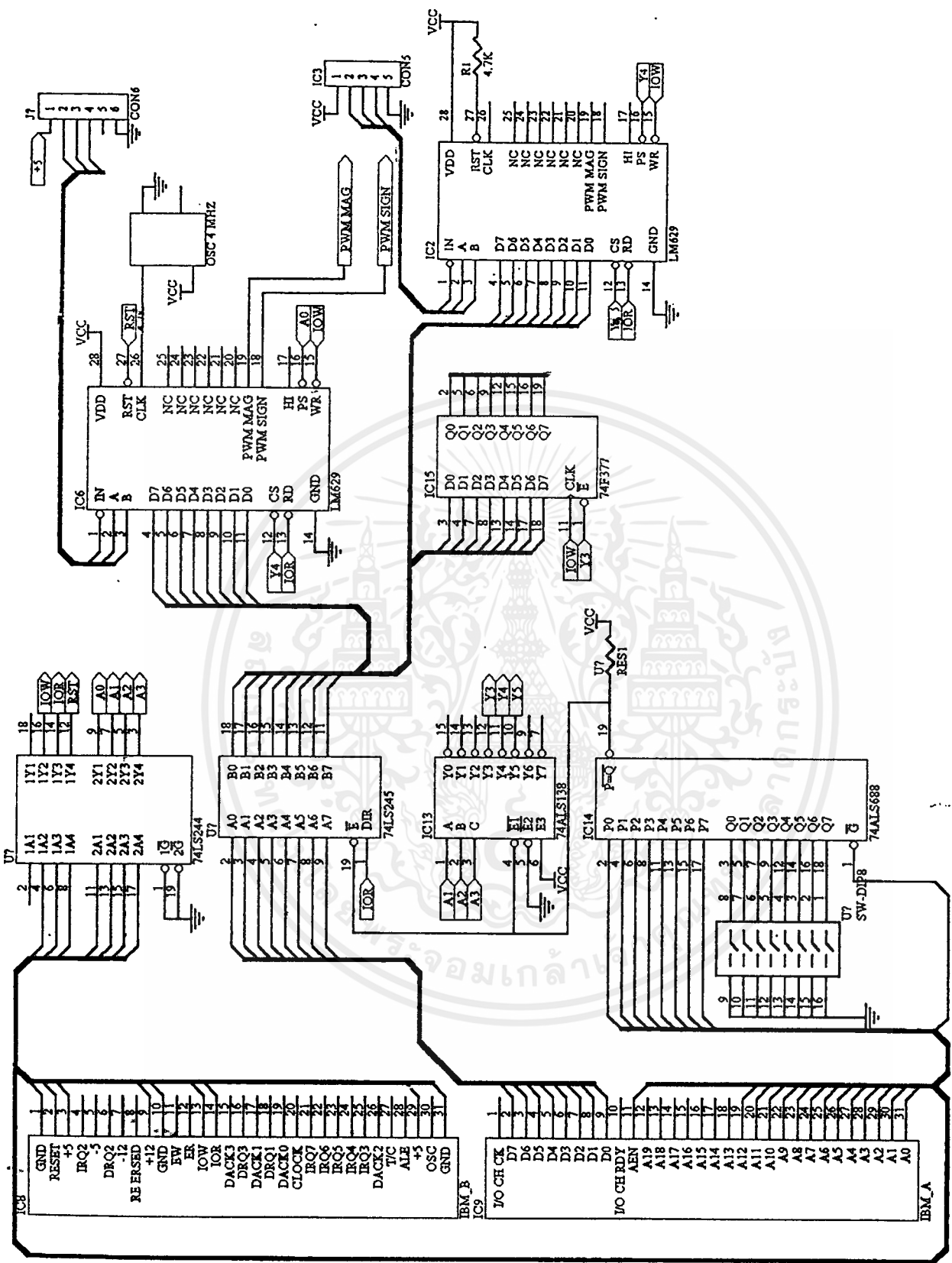
การทำงานของวงจรดึงภาระขึ้นลง

จากวงจรเราใช้รีเลย์ 2 ตัวในการควบคุมการทำงานของมอเตอร์ที่ใช้ดึงภาระของเครนขึ้น หยุด มอเตอร์ และปล่อยภาระของเครนลงโดย

โดยใช้รีเลย์แบบ 2 หน้าสัมผัส ในการเปลี่ยนทิศทางการเคลื่อนที่ของมอเตอร์

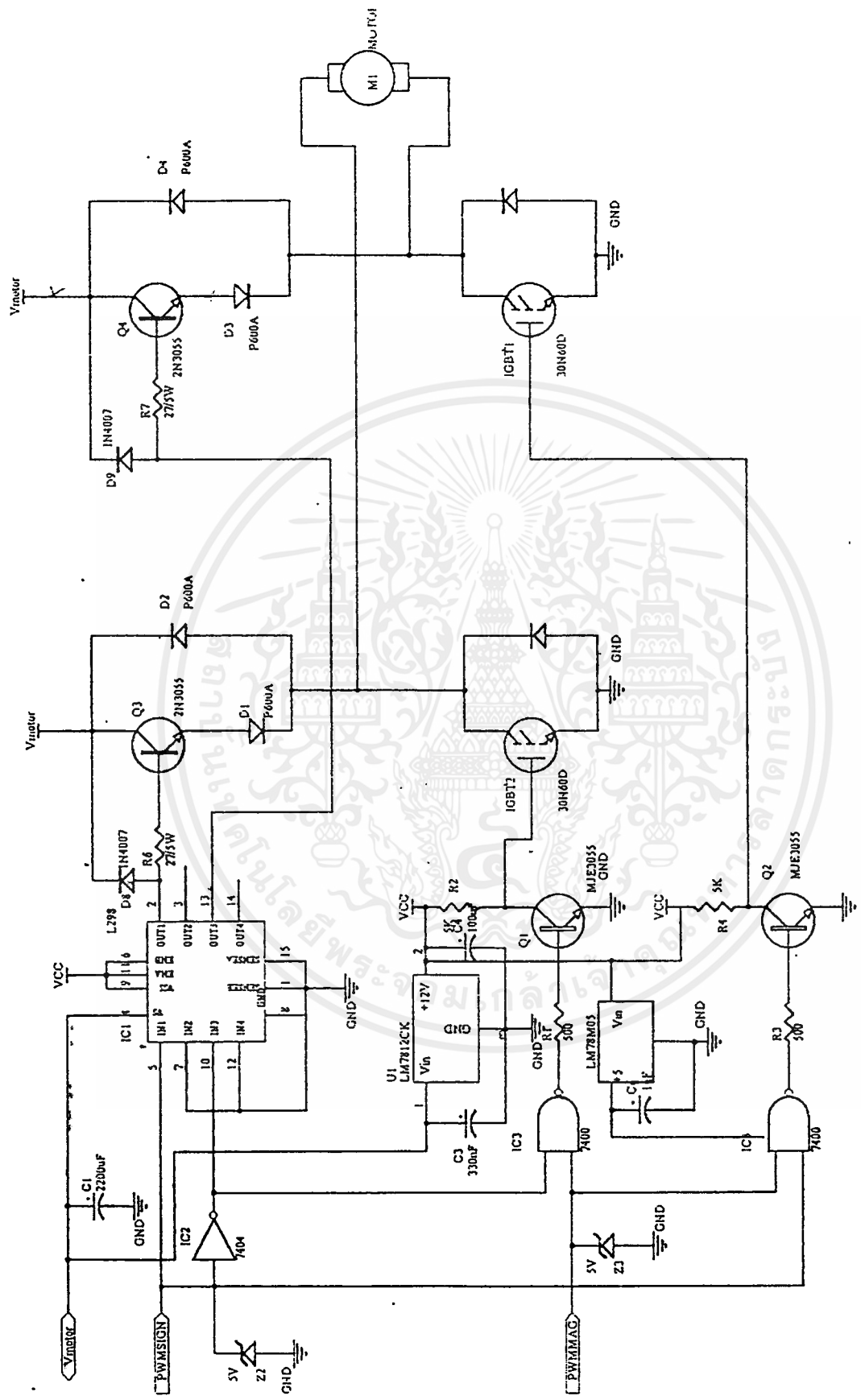
โดยใช้รีเลย์แบบ 1 หน้าสัมผัส ในการควบคุมให้มอเตอร์ทำงานหรือหยุดทำงาน

ซึ่งเราได้สัญญาณควบคุมการทำงานของรีเลย์ทั้ง 2 ตัวผ่าน เอาท์พอร์ทของ 74LS377 บนบอร์ด อินเทอร์เฟซ โดยเมื่อสัญญาณ OD1 เป็นศูนย์ จะทำให้มอเตอร์หยุดทำงาน แต่เมื่อ OD1 เป็นหนึ่ง เครนจะทำงานดึงภาระขึ้นก็ต่อเมื่อ OD0 เป็น 1 ปล่อยภาระลงเมื่อ OD0 เป็น 0 ในขณะที่เครนดึงภาระขึ้นหรือปล่อยภาระลงเอนโคเดอร์จะถูกส่งค่าเฟส A,B ส่งผ่านกลับไปให้ ชิพ LM629 ตัวที่ 2 ซึ่งใช้เป็น เคาท์เตอร์นับความยาวเชือกที่ได้ส่งไปให้ คอมพิวเตอร์ประมวลผลส่งสัญญาณ ไปควบคุมการทำงานผ่าน เอาท์พอร์ท 74LS377 OD0,OD1 ไปควบคุมการหมุนของมอเตอร์ที่ทำหน้าที่ดึง ภาระขึ้นลง



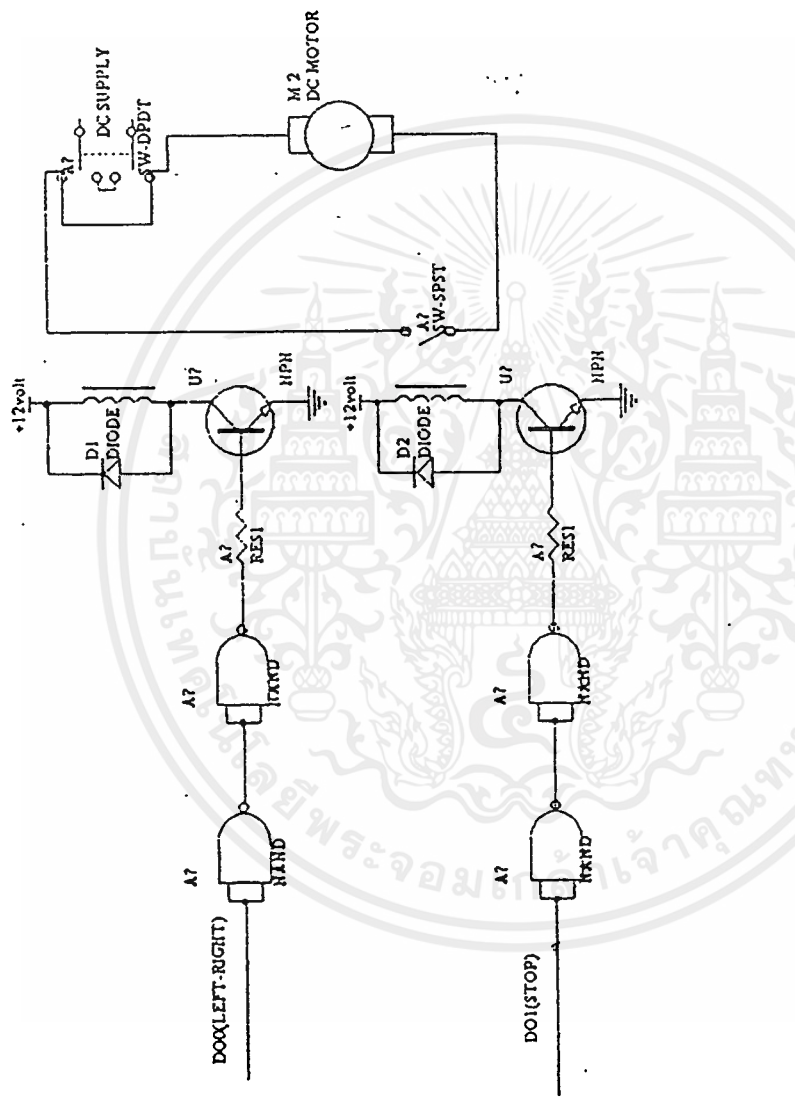
รูปที่ 2.6 รูปแสดงวงจรเชื่อมต่อระหว่างคอมพิวเตอร์ที่รวมชิพความเร็ว LM629

เอกสารนี้เป็นเอกสารที่สงวนไว้สำหรับการใช้งานเพื่อการศึกษาเท่านั้น ไม่อนุญาตให้拿去ไปใช้ประโยชน์ด้านการค้า  
 ไม่ว่ากรณีใดๆ ทั้งสิ้น อีกทั้งห้ามมิให้ดัดแปลงเนื้อหาและต้องอ้างอิงถึงเจ้าของเอกสารทุกครั้งที่มีการนำไปใช้



รูปที่ 2.7 รูปแสดงวงจรขั้วมอเตอร์

เอกสารนี้เป็นเอกสารที่สงวนไว้สำหรับการใช้งานเพื่อการศึกษาเท่านั้น ไม่อนุญาตให้นำไปใช้ประโยชน์ด้านการค้า ไม่ว่าจะกรณีใดๆทั้งสิ้น อีกทั้งห้ามมิให้ดัดแปลงเนื้อหาและต้องอ้างอิงถึงเจ้าของเอกสารทุกครั้งที่มีการนำไปใช้



รูปที่ 2.8 รูปแสดงวงจรตั้งการขึ้นลง

เอกสารนี้เป็นเอกสารที่สงวนไว้สำหรับการใช้งานเพื่อการศึกษาเท่านั้น ไม่อนุญาตให้นำไปใช้ประโยชน์ด้านการค้า ไม่ว่ากรณีใดๆ ทั้งสิ้น อีกทั้งห้ามมิให้ดัดแปลงเนื้อหาและต้องอ้างอิงถึงเจ้าของเอกสารทุกครั้งที่มีการนำไปใช้

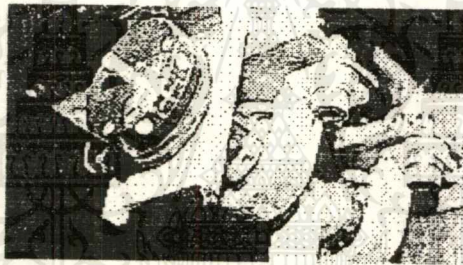
### 2.3 การเลือกใช้เซ็นเซอร์และการออกแบบวงจรเซ็นเซอร์

เซ็นเซอร์เป็นส่วนประกอบที่สำคัญในระบบคอนโทรลที่มีการป้อนกลับเพราะสัญญาณที่ป้อนกลับสามารถนำมาวิเคราะห์หาคุณสมบัติของระบบหรือสามารถนำมาหาสถานะของระบบหรือสามารถบอกสถานะของระบบขณะนั้นได้ว่าเป็นอย่างไรซึ่งจะได้นำมาหาสัญญาณควบคุมที่จะส่งไปควบคุมระบบ ดังนั้นถ้าสัญญาณป้อนกลับที่ได้ถูกต้องมากและมีสัญญาณรบกวนน้อยก็จะทำให้เราได้ค่าสัญญาณควบคุมที่สามารถควบคุมระบบให้เกิดประสิทธิภาพสูงสุดได้

ในระบบครนใช้เซ็นเซอร์ 2 ชนิด

ก. โปเทนทิโอมิเตอร์ ( Potentiometer)

ใช้วัดค่ามุมของการแกว่งของภาระ



รูปแสดงโปเทนทิโอมิเตอร์

Potentiometer เป็น R ปรับค่าได้ชนิดหนึ่งซึ่งมีแกนกลางหมุนทำให้ค่า R เปลี่ยนแปลง มี 2 ชนิดที่นิยมใช้ คือ

- ชนิด Plastic film จะมีความละเอียดของค่าสูง ( ขนาดสูงสุด 2 กิโลโอห์ม)
  - ชนิด Wire wound ความละเอียดจะต่ำกว่าแบบ Plastic film แต่สามารถทนกระแสได้ดีกว่า
- ค่าความต้านทานที่เกิดขึ้นจะมีความสัมพันธ์กับความต้านทานเชิงมุมเป็นเชิงเส้น

เราได้ทำการคิดโปเทนทิโอมิเตอร์ไว้ด้านล่างของตัวรถครนและยึดแกนการหมุนของโปเทนทิโอมิเตอร์กับแกนการแกว่งของภาระของครน ทำให้เมื่อมีการแกว่งของภาระก็จะมีผลทำให้ค่าความต้านทานของโปเทนทิโอมิเตอร์เปลี่ยนไปด้วย ซึ่งค่าความต้านทานของโปเทนทิโอมิเตอร์จะมีความสัมพันธ์กับมุมของการแกว่งเป็นเชิงเส้น

#### วงจรตรวจวัดค่ามุมโดยใช้โปเทนทิโอมิเตอร์

เนื่องจากค่าความสัมพันธ์ของความต้านทานโปเทนทิโอมิเตอร์กับค่ามุมในการแกว่งเป็นเชิงเส้น ดังนั้นเราจึงออกแบบวงจรที่ใช้ตรวจวัดค่ามุม โดยใช้โปเทนทิโอมิเตอร์มีหน้าที่เปลี่ยนค่ามุมที่ได้มาเป็นโวลต์ตรง โดยใช้การจ่ายแรงดันคงที่ให้กับโปเทนทิโอมิเตอร์ที่ได้จะถูกนำมาเปรียบเทียบกับค่าแรงดันที่ได้ไม่ว่ากรณีใดๆทั้งสิ้น อีกทั้งห้ามมิให้ตัดแปลงเนื้อหาและต้องอ้างอิงถึงเจ้าของเอกสารทุกครั้งที่มีการนำไปใช้

จากค่าความต้านทานปรับค่าได้  $R_6$  (จากรูปที่ 2.6) ซึ่งใช้เป็นแรงดันอ้างอิงและแรงดันเปรียบเทียบจะถูกขยายสัญญาณโดย Instrument Amplifier ซึ่งอัตราขยายเป็นแบบ differential ที่สามารถปรับค่าอัตราขยายได้จากค่าความต้านทาน  $R_4$  และมีความสัมพันธ์ระหว่างค่าแรงดันเอาต์พุตและแรงดันอินพุตดังนี้

$$V_{out} = \left(\frac{R_{10}}{R_8 R_9}\right)(R_3 + R_5 + R_3)(V_{pt} - V_{ref})$$

เมื่อ  $R_8 = R_4 + R_{4.1}$

$$R_8 R_{11} = R_9 R_{10}$$

$$R_8 = R_{11} = R_9 = R_{10} = 10 \text{ กิโลโอมห์}$$

$$R_5 = R_3 = 5 \text{ กิโลโอมห์}$$

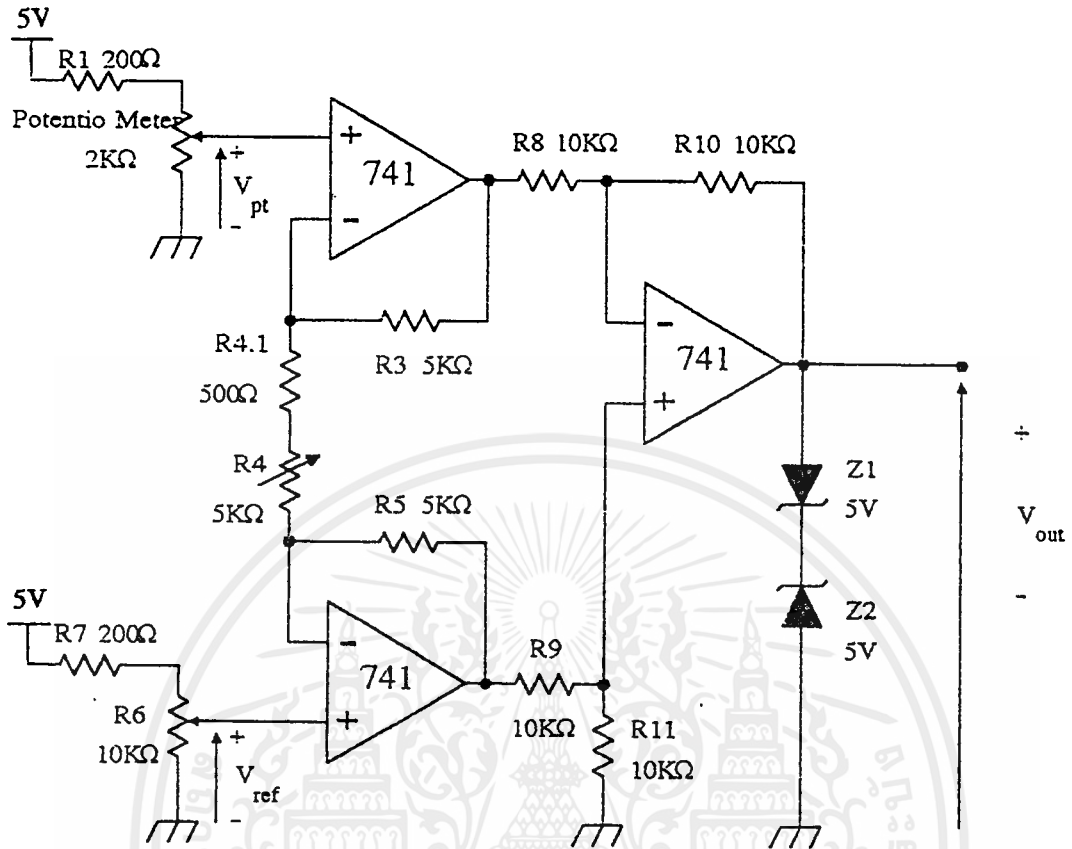
$V_{out}$  คือค่าแรงดันเอาต์พุตและจะมีค่าอยู่ในช่วง -5 V ถึง +5 V

$V_{pt}$  คือค่าแรงดันที่ได้จากการหมุนของโพเทนทิโอเมเตอร์

$V_{ref}$  คือค่าแรงดันอ้างอิงที่ได้จากการปรับค่าความต้านทาน  $R_6$

จากความสัมพันธ์ในสมการจะเห็นว่า ค่าแรงดันเอาต์พุต ( $V_{out}$ ) จะมีค่าความสัมพันธ์กับแรงดันที่ได้จากค่าความต้านทานของโพเทนทิโอเมเตอร์ ดังนั้นค่า  $V_{out}$  ก็จะมีค่าความสัมพันธ์กับค่ามุมของการแกว่งที่เกิดขึ้นเป็นเชิงเส้นเช่นกัน

หลังจากได้ค่ามุมป้อนกลับที่แปลงเป็นสัญญาณโวลต์เตจจากวงจรเซ็นเซอร์แล้วเราก็จะนำสัญญาณที่ได้มาผ่าน Low-Pass Filter ที่ออกแบบและทำขึ้นบนบอร์ด ACLD-780 Screw Terminal Panel เพื่อกรองสัญญาณรบกวนที่ความถี่สูงออก และก่อนจะทำการแปลงสัญญาณจากอนาลอกเป็นดิจิตอลโดยผ่านการรัด PCL-714 ที่ให้ความละเอียดของสัญญาณดิจิตอลถึง 14 บิตเพื่อให้สัญญาณที่ได้มาสามารถนำไปคำนวณในคอมพิวเตอร์ได้



รูปที่ 2.9 รูปแสดงวงจรตรวจวัดค่ามุม โดยใช้โพเทนทิโอมิเตอร์

#### PCL-714

PCL-714 (super - lab card) ประกอบด้วย วงจร A/D,D/A I/O card และยังมี Function ควบคุม สำหรับประยุกต์ใช้งานบน Board ตัวนี้ด้วย การ์ดตัวนี้สามารถนำไปประยุกต์ใช้งานได้หลายอย่าง มีความละเอียดสูงคือมีผลตอบสนองถึง 14 บิต

การ์ดตัวนี้ยังทำงานเป็นการ์ดหลักใช้งานร่วมกับการ์ดย่อยอื่นๆ เช่น PCLD-782, PCLD-782 และ PCLD-785 เป็นต้น ทำให้ การ์ดตัวนี้มีประสิทธิภาพสูงขึ้นไปอีก

#### ลักษณะของ PCL-714

- input ที่เป็น analog ทั้งหมด 16 สัญญาณ แต่ละสัญญาณมีความละเอียด 14 บิต
- output ที่เป็น analog 2 สัญญาณ ซึ่งแต่ละสัญญาณมีความละเอียดถึง 14 บิต
- A/D conversion ใช้เวลาอย่างน้อย 40 microsec
- มี input ที่เป็น digital 16 ค่า
- มี output ที่เป็น digital 16 ค่า
- ทั้ง input และ output channel ใช้ได้กับ TTL

เอกสารนี้เป็นเอกสารที่สงวนไว้สำหรับใช้ในการเรียนเพื่อการศึกษาเท่านั้น ไม่อนุญาตให้นำไปใช้ประโยชน์ด้านการค้า ไม่ว่าจะกรณีใดๆทั้งสิ้น อีกทั้งห้ามมิให้ดัดแปลงเนื้อหาและต้องอ้างอิงถึงเจ้าของเอกสารทุกครั้งที่มีการนำไปใช้

- สามารถ program ช่วงเวลา trigger ได้

ตัวอย่างการนำ PCL-714 ไปใช้งาน

- ใช้เป็น digital input/output control
- ใช้ในการควบคุม process
- ใช้ในการวัดอุตสาหกรรม automation
- ใช้ในการวัดในห้องทดลอง automation
- ใช้เป็นวงจรนับความถี่
- ใช้เป็นวงจร A/D , D/A เป็นต้น

ข้อควรระวัง สำหรับการใช้การ์ด PCL-714

- เนื่องจาก PCL-714 ตัวนี้ใช้ 4052 cmos chip ในการ multiplex สำหรับ analog input channel ห้ามไม่ให้โวลต์เตจ สูงกว่า 12.5 volt หรือต่ำกว่า -5.5 volt ซึ่งถ้า analog input channel ได้รับนอกเหนือจากช่วงนี้แล้ว จะทำให้วงจร multiplexer เสียหายได้

สำหรับ PCL-714 ตัวนี้ถูกนำมาใช้งานในส่วนของวงจร A/D คือเมื่อ load เกิดการแกว่ง Potentiometer จะรับค่าการเปลี่ยนแปลงซึ่งเป็นโวลต์เตจ ที่เป็น analog มีค่าอยู่ในช่วง -5 volt ถึง 5 Volt PCL-714 ใช้วงจร A/D แปลงจากสัญญาณ analog เป็น digital ส่งไปให้คอมพิวเตอร์เพื่อทำการประมวลผล ในส่วนของการควบคุมต่อไป (ดูรายละเอียดเพิ่มเติมได้ในภาคผนวก)

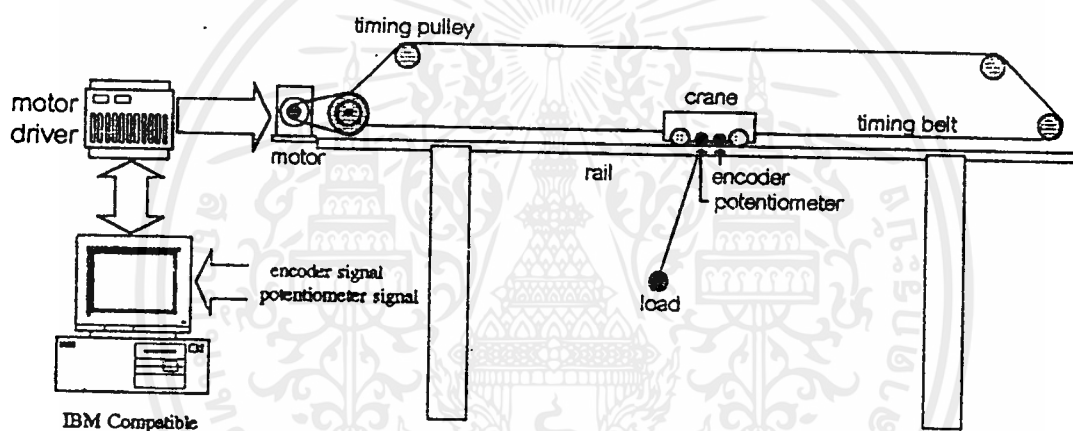
ข. เอนโคเดอร์ (Encoder)

เอนโคเดอร์ที่ใช้ในระบบมี 2 ตัว ตัวแรกใช้วัดระยะทางของตัวเครนติดตั้งไว้ที่ด้านข้างของตัวเครนเมื่อเครนเคลื่อนที่ไปก็จะทำให้ลูกยางที่ยึดติดกับแกนของเอนโคเดอร์เคลื่อนที่ไปด้วย ตัวที่สองใช้วัดระยะทางของความยาวเชือกที่ใช้ดึงภาระขึ้นลงของเครน ติดตั้งไว้กับแกนของมอเตอร์ที่ทำหน้าที่ดึงภาระขึ้นลงลง เมื่อเครนเคลื่อนที่ มอเตอร์ตัวที่ทำหน้าที่ดึงภาระขึ้นลงจะทำงานเอนโคเดอร์ที่ติดอยู่ก็จะทำงานตาม สัญญาณที่ได้จากเอนโคเดอร์ถูกป้อนเข้าที่ ไอซี LM629 และเราสามารถอ่านค่าระยะทางที่เครนเคลื่อนที่พร้อมทั้งความยาวเชือกที่ใช้ดึงภาระขึ้นลง ได้จากคอมพิวเตอร์อ่านข้อมูลจากรีจิสเตอร์ของไอซี LM629

## 2.4 โครงสร้างและส่วนประกอบของแบบจำลองเครื่อง

### 2.4.1 การออกแบบโครงสร้างทางกลของแบบจำลองเครื่อง

แบบจำลองเครื่องที่ออกแบบไว้ใช้รางที่ทำด้วยสแตนเลสมีระยะทางวิ่งประมาณ 2 เมตร และสามารถยกภาระขึ้นได้สูงประมาณ 80 เซนติเมตร การวิ่งในแนวระนาบใช้ดีซีมอเตอร์เป็นตัวส่งกำลังส่งกำลังไปขับเคลื่อนรถเครนผ่านระบบส่งกำลังเพื่อให้ได้แรงบิดสูงขึ้น 3 เท่า และให้มีค่าแบ็คแลช (back latch) และค่า สลิป (slip) น้อยที่สุด เพื่อให้ได้ความแม่นยำและเร็วที่สุดในการควบคุมการเคลื่อนที่ของตัวเครน ส่วนการดึงภาระขึ้นลง ได้ออกแบบให้ใช้ดีซีมอเตอร์เป็นตัวนำเน็ดกำลัง เอนโคเดอร์กำเนิดสัญญาณพัลส์ A,B เพื่อช่วยในการวัดระยะทาง และแกนกลางในการแกว่ง เพื่อให้ภาระแกว่งได้ ดึงภาระขึ้นลงได้



รูปที่ 2.4ก แสดงโครงสร้างและส่วนประกอบของแบบจำลองเครื่อง

คุณสมบัติของส่วนประกอบต่างๆของแบบจำลองเครื่อง

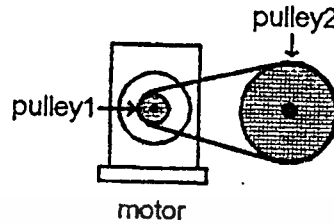
2.4.1.1 ตัวส่งกำลัง ในที่นี้เลือกใช้ดีซีมอเตอร์แบบแม่เหล็กถาวรเป็นตัวส่งกำลังไปยังตัวเครน ซึ่งให้อัตราส่วนระหว่างและแอสอาร์เมเจอร์ และแรงบิดจะมีค่าคงที่ ให้ความสัมพันธ์ระหว่าง กระแสอาร์เมเจอร์ แรงบิดและความเร็ว เป็นเชิงเส้น จึงทำให้หาโมเดลได้ง่ายและไม่มีกำลังสูญเสียในฟิลด์ มีประสิทธิภาพสูงกว่าให้ค่ากระแสอาร์เมเจอร์สูงกว่าและขนาดเล็กกว่าเมื่อเทียบกับดีซีมอเตอร์แบบฟิลด์เป็นขอลวดที่มีขนาดแรงม้าเท่ากัน

2.4.1.2 ระบบส่งกำลัง เลือกใช้ระบบส่งกำลังที่ประกอบด้วย

ก. ชุดทดรอบ ประกอบด้วยสายพานแบบไทม์มิงเบลท์ (timing belt) และไทม์มิงพูลเลย์ (timing pulley)

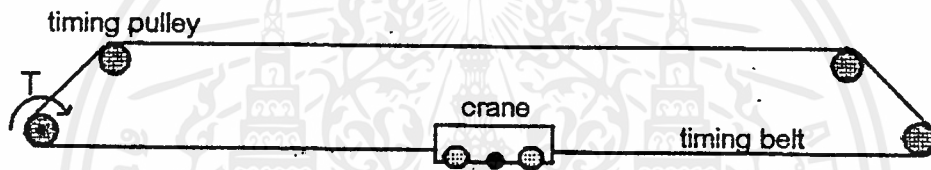
โดยใช้ไทม์มิงพูลเลย์ 2 ขนาด ที่มีอัตราส่วนของรัศมีของไทม์มิงพูลเลย์ที่ยึดอยู่กับมอเตอร์เป็น  $1/3$  การค้าของไทม์มิงพูลเลย์ที่ยึดดับแกนหมุน ของชุดส่งกำลังไปยังระบบ (ดังรูป 2.4 ข) เมื่อทดรอบบีบมอเตอร์ให้

ความเร็วลดลงแต่ให้แรงบิดเพิ่มขึ้น 3 เท่า การใช้ไทม์มิ่งเบลท์และไทม์มิ่งพูลเลย์นี้สามารถลดแบ็คแลชที่เกิดขึ้นในระบบทดรอบที่ใช้เฟืองเกียร์ได้



รูป 2.4 ข. รูปแสดงการส่งกำลังในแบบที่มีการทดรอบของไทม์มิ่งพูลเลย์

2.4.1.3 ชุดส่งกำลังประกอบด้วยสายพานแบบไทม์มิ่งเบลท์กับไทม์มิ่งพูลเลย์ ส่งกำลังไปยังตัวเครนโดยตรงดังรูป (2.4 ค) เพื่อลดสลลิปที่เกิดขึ้นในระบบที่ส่งกำลังโดยสลิงหรือสายพานธรรมดา



รูป 2.4 ค. รูปแสดงการส่งกำลังในแบบที่ไม่มีการทดรอบของไทม์มิ่งพูลเลย์

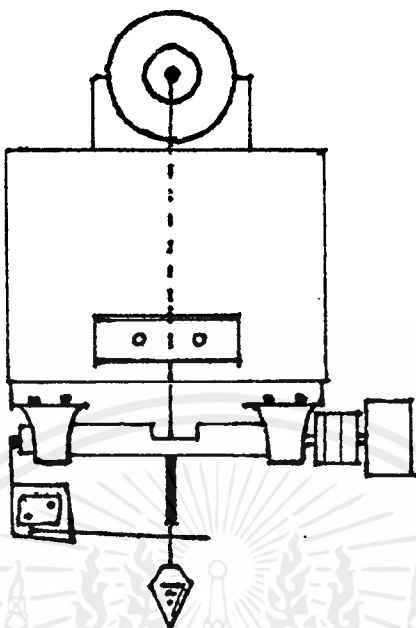
2.4.1.4 ต้นกำเนิดกำลัง เราเลือกใช้ดีซีมอเตอร์แบบแม่เหล็กถาวรที่มีชุดทดรอบ 14 รอบ เป็นต้นกำเนิดกำลังในการดึงภาระขึ้นลง ทั้งนี้เพื่อที่จะสามารถกำหนดตำแหน่งของภาระให้อยู่ระหว่างจุดสูงสุดและต่ำสุดได้ โดยมีอัตราส่วนระหว่างกระแสอาร์เมเจอร์และแรงบิดจะมีค่าคงที่ ให้ความสัมพันธ์ ระหว่างกระแสอาร์เมเจอร์ แรงบิดและความเร็วเป็นเชิงเส้น

2.4.1.5 เอนโคเดอร์เป็นอุปกรณ์ที่ใช้สร้างพัลส์ที่แปรผันตรงกับการหมุนของมอเตอร์เพื่อใช้ในการวัดระยะทางและทิศทางของการเคลื่อนที่ของภาระในแนวตั้ง โดยติดตั้งเอนโคเดอร์ไว้ที่ด้านบนของตัวเครนและเชื่อมต่อกับแกนที่ยื่นออกมาในส่วนท้ายของมอเตอร์เมื่อมอเตอร์หมุน เอนโคเดอร์จะถูกป้อนให้กับไอซี LM629 ทำให้สามารถอ่านค่าระยะทางและทิศทางที่ภาระเคลื่อนที่ได้โดยใช้คอมพิวเตอร์อ่านข้อมูลจากรีจิสเตอร์ของไอซี LM629 (ดูรายละเอียดในภาคผนวก)

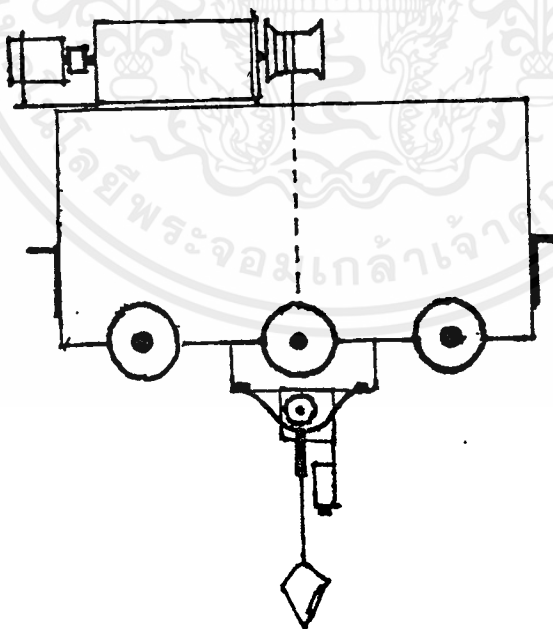
เอนโคเดอร์ที่ใช้มีทั้งหมด 5 ขา คือ ขากราวด์ ขาไฟเลี้ยง 5 โวลต์ ขาเอาต์พุตเฟส A ขาเอาต์พุตเฟส B และขา Index กำเนิดพัลส์ได้ 500 พัลส์ ต่อรอบ

2.4.1.6 limit swith เป็นอุปกรณ์ ตัดต่อวงจร ติดตั้งอยู่ที่แกนของการแกว่งของภาระมิไว้เพื่อป้องกันไม่ให้ภาระวิ่งชนโครงสร้างส่วนอื่น โดยเป็นชนิดปกติปิด และต่ออนุกรมเข้ากับขั้วด้านใดด้านหนึ่งของมอเตอร์ ฉะนั้นถ้าภาระวิ่งชนก้านของ limit swith ก็จะทำให้ limit swith เปิดวงจร

มอเตอร์ก็จะหยุดหมุน



รูปที่ 2.4ง รูปแสดงภาพด้านหน้ารถเครน



รูปที่ 2.4จ รูปแสดงภาพด้านข้างรถเครน

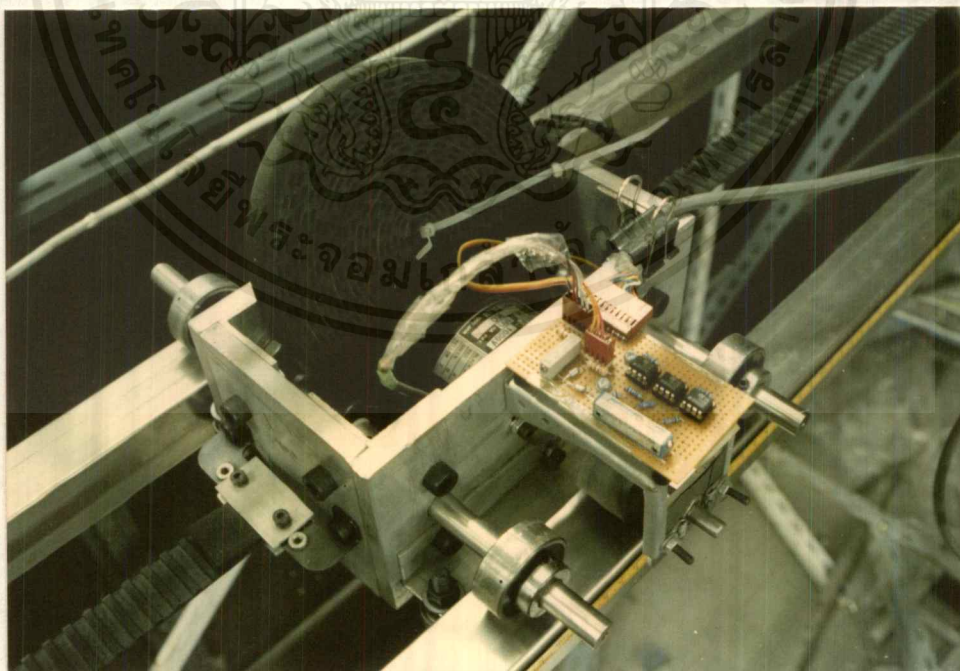
เอกสารนี้เป็นเอกสารที่สงวนไว้สำหรับการใช้งานเพื่อการศึกษาเท่านั้น ไม่อนุญาตให้นำไปใช้ประโยชน์ด้านการค้า  
ไม่ว่ากรณีใดๆ ทั้งสิ้น อีกทั้งห้ามมิให้ดัดแปลงเนื้อหาและต้องอ้างอิงถึงเจ้าของเอกสารทุกครั้งที่มีการนำไปใช้



### รูปที่ 2.4ข รูปแสดงโครงสร้างทางกลทั้งหมดของระบบเครน

เอกสารนี้เป็นเอกสารที่สงวนไว้สำหรับการใช้งานเพื่อการศึกษาเท่านั้น ไม่อนุญาตให้นำไปใช้ประโยชน์ด้านการค้า ไม่ว่าจะกรณีใดๆ ทั้งสิ้น อีกทั้งห้ามมิให้ดัดแปลงเนื้อหาและต้องอ้างอิงถึงเจ้าของเอกสารทุกครั้งที่มีการนำไปใช้

**รูปที่ 2.4ข รูปวงจรถับมอเตอร์และดึงภาระขึ้นลงของเครน**



**รูปที่ 2.4ฉ รูปแสดงเอนโคเดอร์และมอเตอร์ที่ใช้ดึงภาระขึ้นลง**

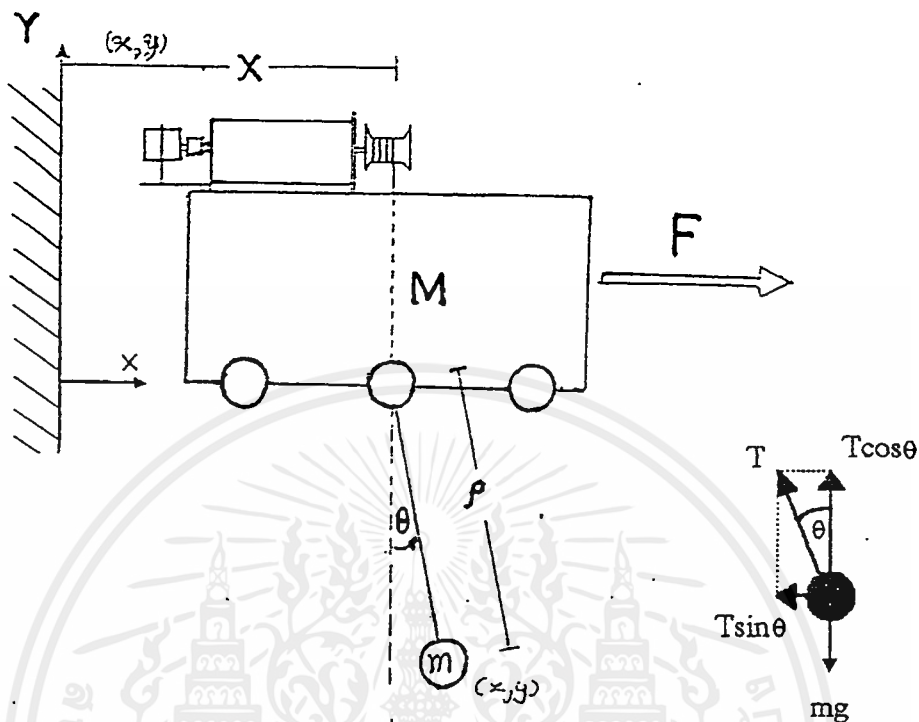
เอกสารนี้เป็นเอกสารที่สงวนไว้สำหรับการใช้งานเพื่อการศึกษาเท่านั้น ไม่อนุญาตให้นำไปใช้ประโยชน์ด้านการค้า  
ไม่ว่ากรณีใดๆ ทั้งสิ้น อีกทั้งห้ามมิให้ดัดแปลงเนื้อหาและต้องอ้างอิงถึงเจ้าของเอกสารทุกครั้งที่มีการนำไปใช้



**รูปที่ 2.4๗ รูปแสดงภาระของเครน**

เอกสารนี้เป็นเอกสารที่สงวนไว้สำหรับการใช้งานเพื่อการศึกษาเท่านั้น ไม่อนุญาตให้นำไปใช้ประโยชน์ด้านการค้า  
ไม่ว่ากรณีใดๆ ทั้งสิ้น อีกทั้งห้ามมิให้ดัดแปลงเนื้อหาและต้องอ้างอิงถึงเจ้าของเอกสารทุกครั้ง **038049** ๕

2.5 โมเดลทางคณิตศาสตร์ของแบบจำลองเครื่อง



โดย

M: มวลของตัวครน (kg)

รูปที่ 2.5 รูปแสดงแบบจำลองเครื่อง

X: ระยะทางของครนที่เคลื่อนไปได้ตามแกนนอน เมื่อเทียบกับจุดอ้างอิง (m)

Y: ระยะทางของครนที่เคลื่อนไปได้ตามแกนตั้ง เมื่อเทียบกับจุดอ้างอิง (m)

m: มวลของภาระ (kg)

x: ระยะทางของภาระที่เคลื่อนที่ได้ตามแกนนอน เมื่อเทียบกับจุดอ้างอิง (m)

y: ระยะทางของภาระที่เคลื่อนที่ได้ตามแกนตั้ง เมื่อเทียบกับจุดอ้างอิง (m)

ρ: ความยาวของเชือกที่แขวนภาระ (m)

g: ค่าความเร่งโน้มถ่วงของโลก (m/s<sup>2</sup>)

F: แรงที่กระทำกับตัวครน (N)

รูปที่ 2.5

$$\text{ความสัมพันธ์ } x = X + \rho \sin \theta \tag{1}$$

$$y = -\rho \cos \theta \tag{2}$$

รูปที่ 2.5

T = แรงดึงในเส้นเชือก

$$m\ddot{x} = -T \sin \theta \tag{3}$$

$$m\ddot{y} = T \cos \theta - mg \tag{4}$$

จาก (3),(4) ได้

$$\ddot{x} \cos \theta + \ddot{y} \sin \theta = -g \sin \theta. \quad (5)$$

$$\dot{x} = \dot{\chi} + \rho(\cos \theta) \dot{\theta} + (\sin \theta) \dot{\rho}$$

$$\ddot{x} = \ddot{\chi} + \dot{\rho} \dot{\theta} (-\sin \theta) \dot{\theta} + (\cos \theta)(\dot{\rho} \ddot{\theta} + \dot{\theta} \dot{\rho}) + (\sin \theta) \ddot{\rho} + \dot{\rho} (\cos \theta) \dot{\theta}$$

$$\ddot{x} = \ddot{\chi} - \dot{\rho} \dot{\theta}^2 \sin \theta + (\cos \theta)(\dot{\rho} \ddot{\theta} + \dot{\theta} \dot{\rho}) + \ddot{\rho} \sin \theta + \dot{\rho} \dot{\theta} \cos \theta \quad (\ddot{\rho} = 0 ; \text{ให้ความเร็วในการดึงเชือกคงที่})$$

$$\ddot{x} = \ddot{\chi} - (\dot{\rho} \sin \theta) \dot{\theta}^2 + 2 \dot{\rho} \dot{\theta} \cos \theta + \ddot{\rho} \sin \theta$$

$$\dot{y} = -[\dot{\rho}(-\sin \theta) \dot{\theta} + (\cos \theta) \dot{\rho}]$$

$$\ddot{y} = -[\dot{\rho} \dot{\theta} (-\cos \theta) \dot{\theta} + (-\sin \theta)(\dot{\rho} \ddot{\theta} + \dot{\theta} \dot{\rho}) + (\cos \theta) \ddot{\rho} + \dot{\rho} (-\sin \theta) \dot{\theta}]$$

$$\ddot{y} = \dot{\rho} \dot{\theta}^2 \cos \theta + \dot{\rho} \ddot{\theta} \sin \theta + 2 \dot{\rho} \dot{\theta} \sin \theta$$

จาก  $\ddot{x} \cos \theta + \ddot{y} \cos \theta = -g \sin \theta$

ได้ว่า  $\ddot{\chi} \cos \theta - (\dot{\rho} \sin \theta \cos \theta) \dot{\theta}^2 + 2 \dot{\rho} \dot{\theta} \cos^2 \theta + \ddot{\rho} \cos^2 \theta + \dot{\rho} \dot{\theta}^2 \cos \theta \sin \theta + \dot{\rho} \ddot{\theta} \sin^2 \theta + 2 \dot{\rho} \dot{\theta} \sin^2 \theta = -g \sin \theta$

สมมติให้การแกว่งของมุม  $\theta$  มีค่าน้อย ๆ ทำให้เราสามารถประมาณค่า  $\sin \theta$  เป็น 0 และ  $\cos \theta$  เป็น 1 ทำให้ได้สมการดังนี้

$$\ddot{\chi} - \dot{\rho} \dot{\theta}^2 + 2 \dot{\rho} \dot{\theta} + \ddot{\rho} + \dot{\rho} \dot{\theta}^2 + \dot{\rho} \ddot{\theta} + 2 \dot{\rho} \dot{\theta} \dot{\theta}^2 = -g \theta$$

$$\ddot{\chi} + 2 \dot{\rho} \dot{\theta} [1 + \dot{\theta}^2] + g \theta = -\dot{\rho} \dot{\theta}^2 - \dot{\rho} \ddot{\theta} \dot{\theta}^2$$

$$[-\ddot{\chi} / \rho (1 + \dot{\theta}^2)] - g \theta / \rho (1 + \dot{\theta}^2) - 2 \dot{\rho} \dot{\theta} / \rho = \dot{\theta} \ddot{\theta}$$

เนื่องจาก กิต  $\theta$  เป็นค่าน้อย ๆ  $(1 + \dot{\theta}^2)$  จึงประมาณให้เท่ากับ 1

ได้ว่า

$$-(1/\rho) \ddot{\chi} - (2\dot{\rho}/\rho) \dot{\theta} - (g/\rho) \theta = \dot{\theta} \ddot{\theta}$$

### บทที่ 3

#### การควบคุมการแกว่งและตำแหน่งของเครน

ในการควบคุมการเคลื่อนที่ของเครนเราต้องการควบคุมตัวแปรหรือเอาท์พุทของระบบถึงสองค่าคือ ต้องการควบคุมตำแหน่งของเครนและต้องการควบคุมมุมการแกว่งของภาระให้มีค่าน้อยที่สุด เราจะเลือกวิธีการควบคุมโดยการป้อนกลับสเตทแบบสเตทเรกกูเรเตอร์(State Regulator) ที่หาค่ากฎการควบคุมมาจากการนำสเตทที่ป้อนกลับ มาคูณด้วยค่าเกนป้อนกลับ  $K$  (feedback gain,  $K$ ) ซึ่งทำการออกแบบค่าเกนป้อนกลับ  $K$  โดยวิธีการควบคุมออปติมัลแบบเรกกูเรเตอร์เชิงเส้นที่สถานะอยู่ตัว (Steady State Linear Quadratic Regulator) ที่มีดัชนีการทำงานแบบควอดเรติกเป็น (Quadratic Performance Index) เพื่อให้ได้ผลตอบสนองดีที่สุดภายใต้ค่าดัชนีการทำงานที่ตั้งไว้ แต่เนื่องจากการควบคุมแบบการป้อนกลับสเตทนี้เราจำเป็นต้องเข้าถึงหรือรู้ค่าสเตททุก ๆ ตัวที่เราสนใจที่ประกอบไปด้วย 1. มุมการแกว่งของภาระ( $\theta$ ) 2. ความเร็วเชิงมุมของภาระ( $\dot{\theta}$ ) 3. ตำแหน่งของเครน ( $x$ ) 4. ความเร็วของเครน ( $\dot{x}$ ) 5. ความเร่งของเครน ( $\ddot{x}$ ) ซึ่งในทางปฏิบัติเราทำการวัดมาได้เพียงสองสเตทเท่านั้น คือ มุมการแกว่ง และ ตำแหน่งของเครนดังนั้นเราจึงจำเป็นต้องทำการประมาณค่าสเตทที่เหลือจากค่าสเตทที่เรารู้โดยเราเลือกมา โดยวิธีทำการประมาณค่าสเตทโดยอาศัยความสัมพันธ์ทางฟิสิกส์

#### 3.1 การควบคุมออปติมัล (Optimal Control)

การออกแบบระบบควบคุมออปติมัล คือการหากฎควบคุม (control law) เพื่อกำหนดการตัดสินใจสำหรับควบคุมในเวลาปัจจุบัน โดยมีเงื่อนไขบังคับบางประการเพื่อทำให้ระบบเบี่ยงเบนไปจากลักษณะที่ต้องการน้อยที่สุด ตัววัดการทำงาน of ระบบให้ได้ตามต้องการนี้เรียกว่าเกณฑ์การตัดสินใจหรือ ดัชนีการทำงาน (Performance Index ,  $J$ ) ซึ่งเป็นฟังก์ชันที่เราเลือกให้เป็นตัวชี้วัดการทำงานจริงของระบบใกล้เคียงกับการทำงานที่ต้องการมากน้อยเพียงใด ดังนั้นปัญหาการควบคุมออปติมัลจึงอยู่ที่ การเลือกดัชนีการทำงาน และกฎการควบคุมออปติมัล (Optimal control law ,  $u_k$  ) เพื่อออปติไมซ์ (optimize) ฟังก์ชันดัชนีการทำงาน หรือส่วนใหญ่จะเป็นการหาค่ากฎการควบคุมที่ทำให้ดัชนีการทำงานมีค่าน้อยที่สุด (minimization) นั่นเอง สำหรับการเลือกดัชนีการทำงานนั้นขึ้นกับแต่ละปัญหาเราไม่สามารถกำหนดกฎเกณฑ์ ในการเลือกดัชนีการทำงานให้ตายตัวได้

กำหนดระบบที่สามารถควบคุมได้โดยสมบูร์น

เอกสารนี้เป็นเอกสารที่สงวนไว้สำหรับครูใช้งานเพื่อการศึกษาเท่านั้น ไม่อนุญาตให้นำไปใช้ประโยชน์ด้านการค้า  

$$\dot{x}_{k+1} = Ax_k + Bu_k \quad (3.1)$$

ไม่ว่ากรณีใดๆทั้งสิ้น อีกทั้งห้ามมิให้คัดแปลงเนื้อหาและต้องอ้างอิงถึงเจ้าของเอกสารทุกครั้งที่มีการนำไปใช้

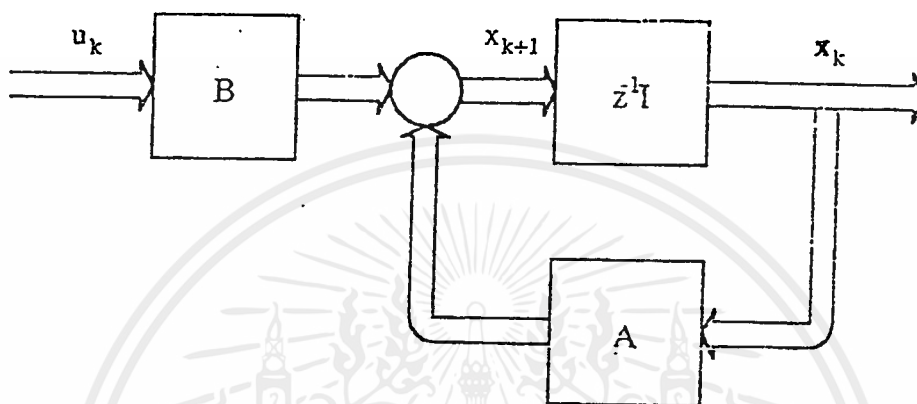
เมื่อ  $x_k$  เป็น  $n$  สเตทเวคเตอร์

$u_k$  เป็น  $r$  เวกเตอร์ควบคุม

$A$  เป็น  $(n \times n)$  เมตริกซ์

$B$  เป็น  $(n \times r)$  เมตริกซ์

$T$  หมายถึงทรานสโพส



รูปที่ 3.1 แสดงบล็อกไดอะแกรมแบบของระบบ

ในที่นี้เราเลือกใช้ การควบคุมแบบออปติมัลแบบ เรกกูเลเตอร์เชิงเส้นที่สถานะอยู่ตัว (Steady State Linear Quadratic Regulator) ที่มีดัชนีการทำงานควอดเรติกเป็น

$$J = (1/2) \sum_{k=0}^{\infty} [x_k^T Q x_k + u_k^T R u_k] \quad \text{-----(3.2)}$$

เมื่อ  $Q$  เป็น  $(n \times n)$  เมตริกซ์เฮอร์มิเชียน (Hermitian Matrix) (หรือ เมตริกซ์สมมาตรเลขจริง (Real Symmetric Matrix)) positive definite หรือ positive semidefinite

$R$  เป็น  $(r \times r)$  เมตริกซ์เฮอร์มิเชียน (หรือ เมตริกซ์สมมาตรเลขจริง) positive definite

เนื่องจากส่วนประกอบของระบบในทางปฏิบัติจะมีข้อจำกัดในทางกายภาพ จึงต้องมีการกำหนดเงื่อนไขบังคับกับตัวแปรสเตท ตัวแปรควบคุม และสัญญาณควบคุมเพื่อจำกัดขนาดตัวแปรสเตทและขนาดสัญญาณควบคุม เมตริกซ์  $Q$  และ  $R$  จะถูกเลือกเพื่อให้น้ำหนักความสำคัญของสเตทและสัญญาณอินพุท แต่ละตัวต่าง ๆ กัน เมตริกซ์  $Q$  จะถูกเลือกเพื่อจำกัดค่าผิดพลาดหรือขนาดของสเตทแต่ละตัว ยิ่งเราให้น้ำหนักความสำคัญกับสเตทไหนมาก (เมื่อเปรียบเทียบกับที่ให้กับสเตทอื่น) ค่าผิดพลาดหรือขนาดของสเตทนั้นก็จะถูกจำกัดให้มีค่าน้อยลงเมื่อเทียบ

กับสเตทอื่นและเมตริกซ์  $R$  จะถูกเลือกเพื่อจำกัดขนาดของสัญญาณควบคุมแต่ละตัว เช่นเดียวกันถ้าเราให้น้ำหนักความสำคัญกับอินพุตตัวไหนมาก (เมื่อเทียบกับที่ให้กับอินพุตอื่น) ขนาดของอินพุตนั้นก็จะถูกจำกัดให้มีค่าน้อยลงเมื่อเทียบกับอินพุตตัวอื่น การหาค่ากฎควบคุมออปติมัลนั้น สามารถหาได้หลายวิธีในที่นี้เราจะแสดงการหาค่ากฎควบคุมออปติมัล โดยการใช้ฟังก์ชันลียาปูนอฟ (Liapunov Function)

### 3.1.5 การหาค่ากฎควบคุมออปติมัลสำหรับเรกูลเรเตอร์เชิงเส้นโดยใช้ฟังก์ชันลียาปูนอฟ

จากระบบที่สามารถควบคุมได้โดยสมบูรณ์(สมการ (3.1))

$$x_{k+1} = Ax_k + Bu_k$$

ต้องการหาเมตริกซ์เกน  $K$  สำหรับกฎควบคุมออปติมัล

$$u_k = -Kx_k \quad \text{-----}(3.3)$$

เมื่อ  $u_k$  คือกฎควบคุมออปติมัล

ที่ทำให้ดัชนีการทำงานควอดเรติก(สมการ(3.2))ต่อไปให้น้อยที่สุด

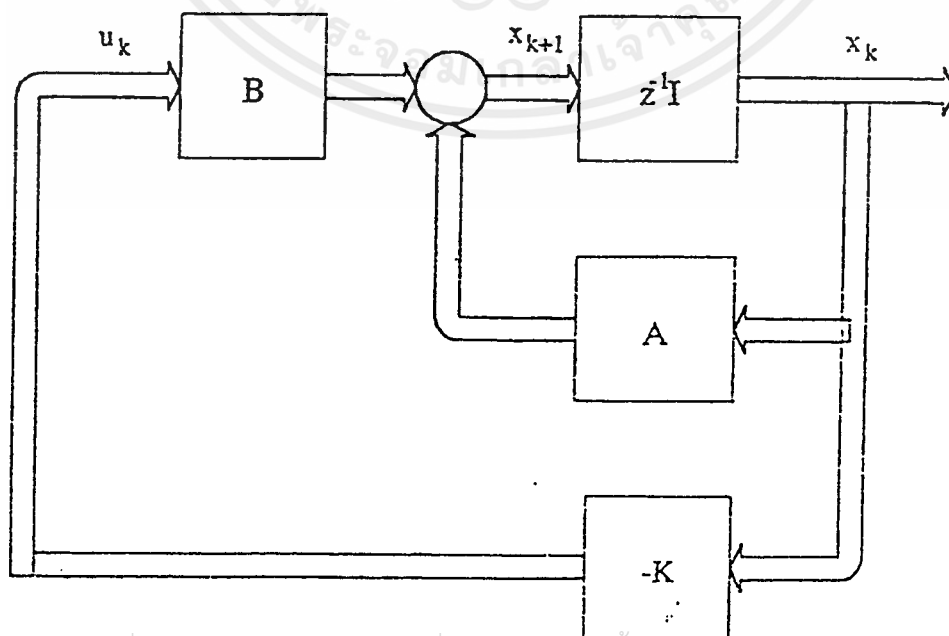
$$J = (1/2) \sum_{k=0}^{\infty} [x_k^T Q x_k + u_k^T R u_k]$$

เนื่องจาก  $Q$  เป็นเมตริกซ์เฮอริมิเชียน positive definite หรือ positive semidefinite และ  $R$  เป็นเมตริกซ์เฮอริมิเชียน positive definite ดังนั้น ดัชนีการทำงาน  $J$  จึงเป็น positive definite

เราหาสมการของระบบวงปิดด้วยการป้อนกลับ  $u_k = -Kx_k$  ได้

$$x_{k+1} = (A - BK)x_k \quad \text{-----}(3.4)$$

$$J = (1/2) \sum_{k=0}^{\infty} [x_k^T (Q + K^T R K) x_k] \quad \text{-----}(3.5)$$



เอกสารนี้เป็นเอกสารที่สงวนไว้สำหรับวงรใช้งานเพื่อการศึกษาเท่านั้น ไม่สามารถให้นำไปใช้ประโยชน์ด้านการค้า  
รูปที่ 3.2 รูปแสดงบล็อกโอะอะแกรมของระบบเมื่อป้อนกลับด้วย  $u_k = -Kx_k$   
ไม่ว่ากรณีใดๆทั้งสิ้น อีกทั้งห้ามมิให้ดัดแปลงเนื้อหาและต้องอ้างอิงถึงเจ้าของเอกสารทุกครั้งที่มีการนำไปใช้

ในที่นี้ให้  $A-BK$  เป็นเมตริกซ์เสถียร ดังนั้นย่อมหาฟังก์ชันลึอาพุนอฟ ที่เป็น positive definite ได้และมีอนุพันธ์อันดับหนึ่งเป็น negative definite ให้ฟังก์ชันลึอาพุนอฟคือ

$$V(x_k) = x_k^T P x_k$$

เมื่อ  $P$  เป็นเมตริกซ์เฮอร์มิเชียน (หรือสมมาตรเลขจริง) positive definite อนุพันธ์อันดับหนึ่งของ  $V(x_k)$  คือ

$$\Delta V(x_k) = V(x_{k+1}) - V(x_k)$$

$$\text{ได้ } \Delta V(x_k) = x_{k+1}^T P_{k+1} x_{k+1} - x_k^T P x_k$$

จากสมการ (3.1)

$$\Delta V(x_k) = x_k^T [(A-BK)^T P (A-BK) - P] x_k$$

ซึ่งเป็น negative definite และ  $x_k^T (Q + K^T R K) x_k$  เป็น positive definite เราจึงให้  $x_k^T (Q + K^T R K) x_k = -x_k^T [(A-BK)^T P (A-BK) - P] x_k$

สมมติว่าสมการดังกล่าวเป็นจริงสำหรับทุกค่า  $x_k$  จะได้

$$Q + K^T R K = -(A-BK)^T P (A-BK) + P$$

$$Q + A^T P A - P + K^T (R + B^T P B) K - (K^T B^T P A + A^T P B K) = 0$$

$$Q + A^T P A - P + [(R + B^T P B)^{1/2} K - (R + B^T P B)^{-1/2} B^T P A]^T [(R + B^T P B)^{1/2} K - (R + B^T P B)^{-1/2} B^T P A] - A^T P B (R + B^T P B)^{-1/2} B^T P A = 0 \quad \text{----- (3.6)}$$

การทำให้ดัชนีการทำงานควบคุมตรงดิก น้อยที่สุดโดยคิดจาก เกนการป้อนกลับ  $K$  ก็คือการเลือกค่าเกน  $K$  ที่ทำให้ด้านซ้ายมือของสมการ(3.6) มีค่าน้อยที่สุด และ เนื่องจากเทอม  $[(R + B^T P B)^{1/2} K - (R + B^T P B)^{-1/2} B^T P A]^T [(R + B^T P B)^{1/2} K - (R + B^T P B)^{-1/2} B^T P A]$  ไม่เป็นลบเสมอ ดังนั้นจึงจะมีค่าน้อยที่สุด เมื่อเป็นศูนย์เท่านั้น หรือเมื่อ  $(R + B^T P B)^{1/2} K = (R + B^T P B)^{-1/2} B^T P A$

$$K = (R + B^T P B)^{-1} B^T P A \quad \text{----- (3.7)}$$

แทนค่า เกน  $K$  ที่ได้จากสมการ (3.7) ลงในสมการ (3.6) จะได้ค่า  $P$  ที่ทำให้ดัชนีการทำงานควบคุมตรงดิกมีค่าน้อยที่สุด

$$P = Q + A^T P A - A^T P B (R + B^T P B)^{-1} B^T P A \quad \text{----- (3.8)}$$

สมการ(3.8) นี้ เรียกว่า สมการริคคาติ (Riccati Equation) สถานะอยู่ตัว

จากสมการ (3.7) และสมการ (3.8) เช่นเดียวกัน จะเห็นได้ว่าค่าของเมตริกซ์  $P$  และของเมตริกซ์  $K$  จะขึ้นกับค่าของเมตริกซ์  $Q$  และเมตริกซ์  $R$  ด้วย ดังนั้นถ้าสามารถ

กำหนดเมตริกซ์  $Q$  และเมตริกซ์  $R$  ได้เหมาะสมกับระบบแล้ว เราก็จะได้ค่า เกนการป้อนกลับ  $K$  ที่ทำให้ระบบมีผลตอบสนองดีที่สุด

จากสมการ(3.7) และสมการ (3.8) ที่ได้แสดงให้เห็นว่า ถ้าระบบ สามารถควบคุมได้โดยสมบูรณ์ และเราสามารถวัดค่าจากทุกสเทตได้ เมื่อเราหาโมเดลของระบบได้ และกำหนดเมตริกซ์ Q และ เมตริกซ์ R เพื่อให้น้ำหนักความสำคัญกับสเทตและอินพุตแต่ละตัวแล้ว เราจะสามารถแก้สมการ (3.8) หาค่าเมตริกซ์ P ได้ และนำค่าเมตริกซ์ P ไปหาค่า เกน K ป้อนกลับสำหรับระบบเพื่อนำไปหากฎควบคุม ณ เวลาต่าง ๆ ได้

### 3.2 การประมาณค่าสเทตโดยอาศัยความสัมพันธ์ทางฟิสิกส์

การประมาณค่าสเทตทำได้ดังนี้

1.การประมาณค่าความเร็วเชิงมุมของภาวะ ( $\theta'$ ) กับค่ามุมการแกว่งของภาวะ( $\theta$ )

$\theta'$  = อัตราการเปลี่ยนแปลงของมุมการแกว่งของภาวะ( $\theta$ )ในหนึ่งหน่วยเวลาดังนั้นความเร็วเชิงมุมของภาวะในช่วงคาบเวลาการชกตัวอย่างที่ k ( $\theta'_k$ )จะมีค่าเป็น

$$\theta'_k = (\theta_k - \theta_{k-1}) / (\text{sampling time}) \quad \text{-----}(3.9)$$

เมื่อ  $\theta_k$  คือค่ามุมการแกว่งที่วัดได้ในการชกตัวอย่างที่ k

$\theta_{k-1}$  คือค่ามุมการแกว่งที่วัดได้ในการชกตัวอย่างที่ k-1

sampling time คือค่าคาบเวลาที่ใช้ในการชกตัวอย่าง

2.การประมาณค่าความเร็วครน

จากความสัมพันธ์ของความเร็วของครน ( $\chi'$ ) กับตำแหน่งของครน ( $\chi$ )

$\chi'$  = อัตราการเปลี่ยนแปลงของตำแหน่งของครน ( $\chi$ )ในหนึ่งหน่วยเวลาดังนั้นความเร็วของครนในช่วงคาบเวลาการชกตัวอย่างที่ k ( $\chi'_k$ )จะมีค่าเป็น

$$\chi'_k = (\chi_k - \chi_{k-1}) / (\text{sampling time}) \quad \text{-----}(3.10)$$

เมื่อ  $\chi_k$  = คือค่าตำแหน่งของครนที่วัดได้ในการชกตัวอย่างที่ k

$\chi_{k-1}$  = คือค่าตำแหน่งของครนที่วัดได้ในการชกตัวอย่างที่ k-1

3.การประมาณค่าความเร่งของครน

จากความสัมพันธ์ของความเร็วของครน ( $\chi''$ )กับความเร็วของครน( $\chi'$ )

$\chi''$  = อัตราการเปลี่ยนแปลงของความเร็วของครน ( $\chi'$ )ในหนึ่งหน่วยเวลาดังนั้นความเร่งของครนในช่วงคาบเวลาการชกตัวอย่างที่ k ( $\chi''_k$ )จะมีค่าเป็น

$$\chi''_k = (\chi'_k - \chi'_{k-1}) / (\text{sampling time}) \quad \text{-----}(3.11)$$

เมื่อ  $\chi'_k$  คือค่าความเร็วของครนที่วัดได้ในการชกตัวอย่างที่ k

$\chi'_{k-1}$  คือค่าความเร็วของครนที่วัดได้ในการชกตัวอย่างที่ k-1

### บทที่ 4

#### การประมาณค่าโมเดลของระบบจากผลตอบสนองที่ได้การทดลอง

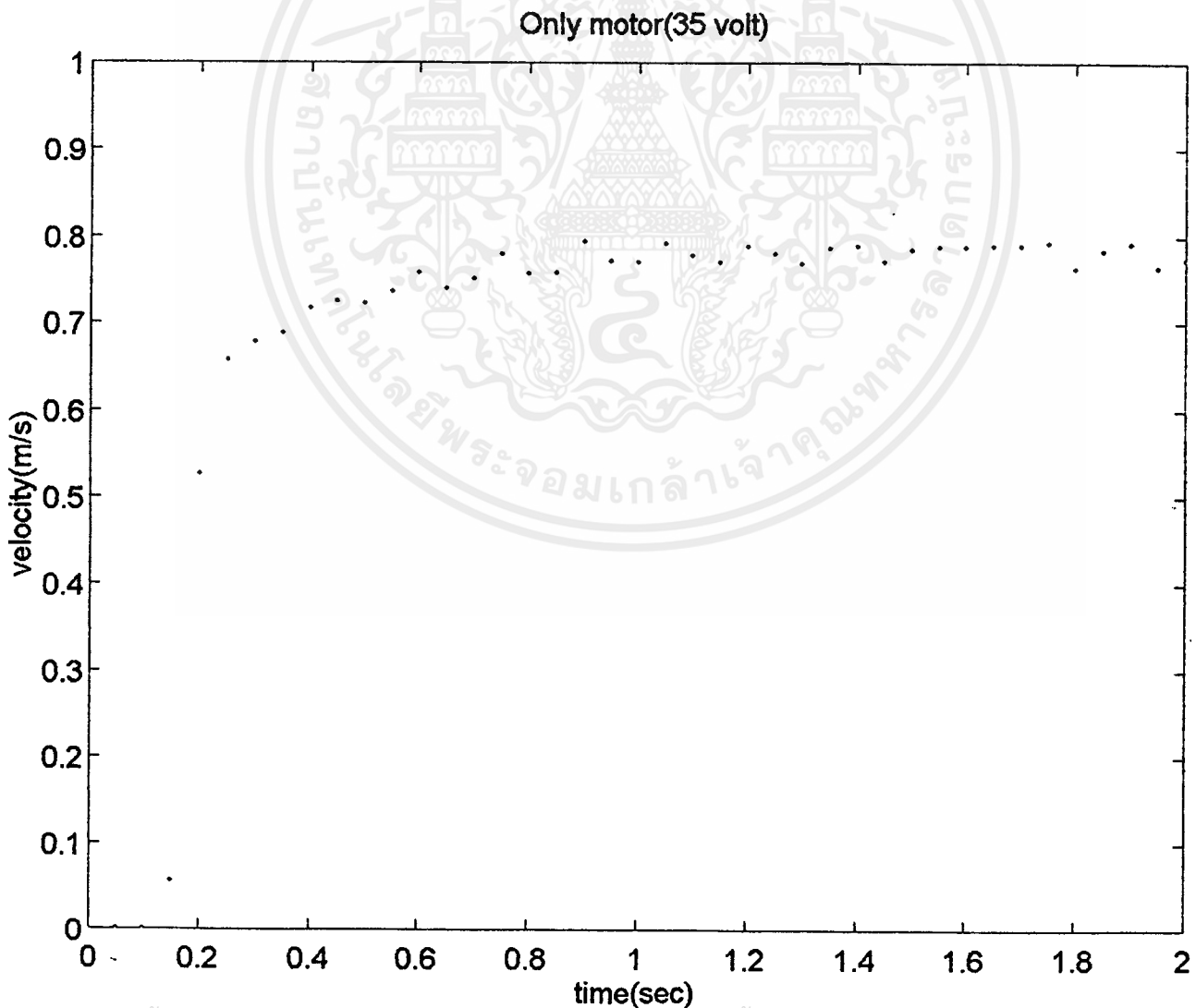
##### 4.1 การหาโมเดลของมอเตอร์

จากการพิจารณา ผลตอบสนองของมอเตอร์ต่อ Step Input 35 V ของมอเตอร์ตามรูปที่ 4.1 นั้นสามารถพิจารณาได้ว่าระบบเป็นระบบอันดับสองดังสมการข้างล่าง

$$\frac{C(s)}{R(s)} = \frac{K\omega_n^2}{s^2 + 2\zeta\omega_n s + \omega_n^2} \dots\dots\dots(4.1)$$

และมีผลตอบสนองต่อเวลาเป็น

$$c(t) = K \left( 1 - \frac{e^{-\zeta\omega_n t}}{\sqrt{1-\zeta^2}} \sin \left( \omega_d t + \tan^{-1} \frac{\sqrt{1-\zeta^2}}{\zeta} \right) \right) \dots\dots\dots(4.2)$$



เอกสารนี้เป็นเอกสารที่สงวนไว้สำหรับการใช้งานเพื่อการศึกษาเท่านั้น ไม่อนุญาตให้นำไปใช้ประโยชน์ด้านการค้า  
 รูปที่ 4.1 ผลตอบสนองความเร็วต่อ Step Voltage

จากผลตอบสนองที่ได้จากการทดลอง ให้ Step input 35 V เราสามารถประมาณค่าพารามิเตอร์ต่าง ๆ ของระบบได้โดยจะเห็นได้ว่าที่ 35 V สามารถให้ความเร็วสูงสุด 0.8 เมตร ต่อ วินาที หลังจากนั้นเราก็จะสามารถหา พารามิเตอร์ของ มอเตอร์ร่วมกับ LM629 ได้ดังต่อไปนี้

#### 4.2 การหาโมเดลของ LM629 ร่วมกับมอเตอร์

เราทดลองป้อนคำสั่ง Step Speed 0.8 m/s จาก Computer ให้ LM629 แล้ววัดผลตอบสนองทางความเร็วได้ดังรูปที่ 4.1 จากผลตอบสนองทางความเร็วที่ได้ สามารถประมาณได้เป็นระบบอันดับสอง เราสามารถประมาณค่าพารามิเตอร์ต่าง ๆ ของระบบได้โดยปรับค่า  $\zeta$  และ  $\omega_n$  เพื่อให้ได้ผลตอบสนองที่ใกล้เคียงกับผลตอบสนองที่ได้จากระบบจริงมากที่สุด โดยพิจารณาจากกราฟผลตอบสนองของระบบจริงกับผลตอบสนองที่ได้จากการ Simulate บน MATLAB ซึ่งได้ผลดังนี้

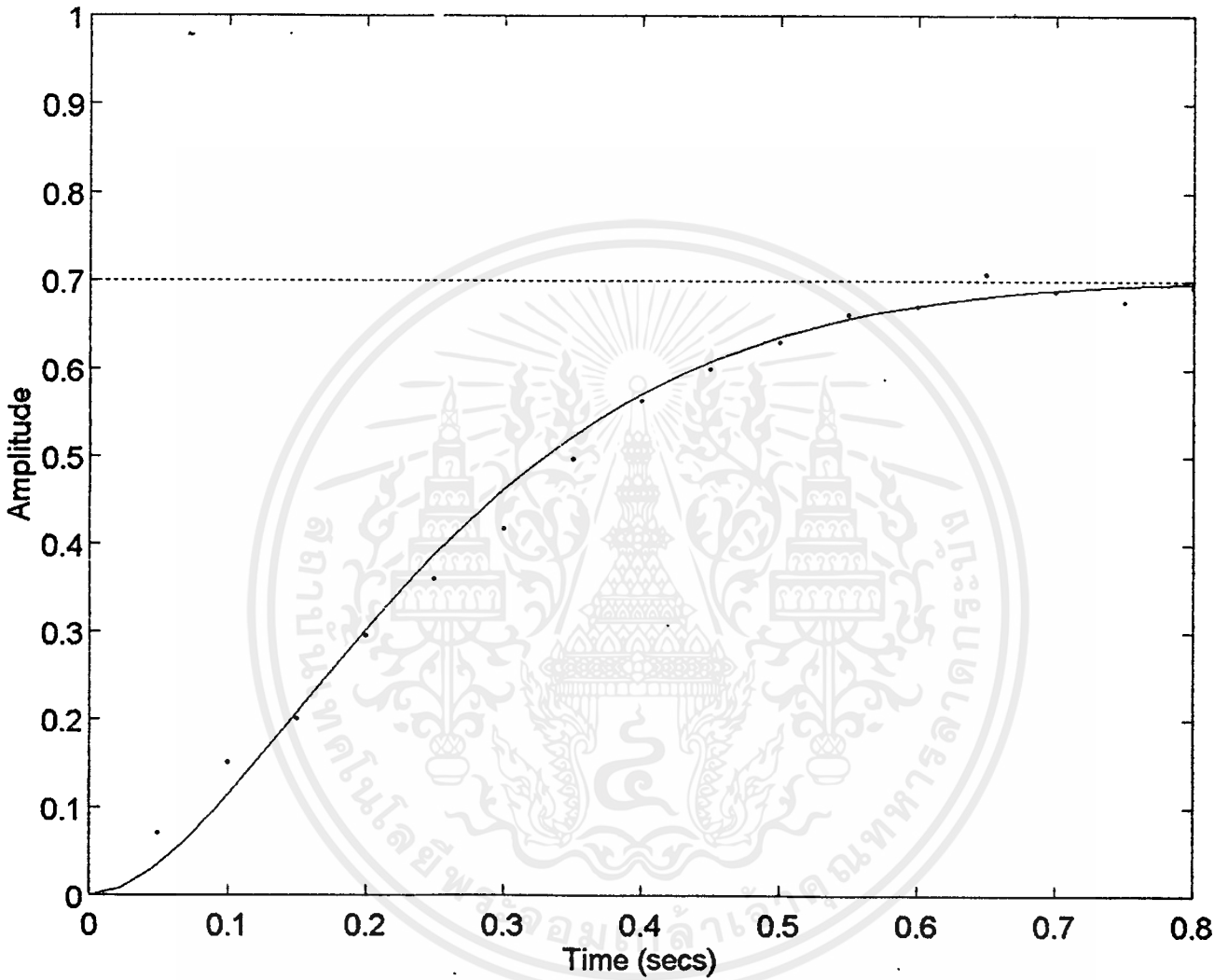
$$\frac{C(s)}{R(s)} = \frac{K \omega_n^2}{s^2 + 2\zeta\omega_n s + \omega_n^2} \quad (4.3)$$

$$K = 0.8750 ; \quad \omega_n = 7 \text{ rad/sec} ; \quad \zeta = 0.9$$

$$C(s) = \text{ความเร็วของตัวรถเครน}$$

$$R(s) = \text{คำสั่งความเร็วที่ส่งมาจาก Computer}$$

ดังรูปในหน้าถัดไป



รูปที่ 4.2 ผลตอบสนองความเร็วต่อ step voltage เปรียบเทียบกับ model ที่ประมาณได้

เอกสารนี้เป็นเอกสารที่สงวนไว้สำหรับการใช้งานเพื่อการศึกษาเท่านั้น ไม่อนุญาตให้นำไปใช้ประโยชน์ด้านการค้า ไม่ว่ากรณีใดๆ ทั้งสิ้น อีกทั้งห้ามมิให้ดัดแปลงเนื้อหาและต้องอ้างอิงถึงเจ้าของเอกสารทุกครั้งที่มีการนำไปใช้

## บทที่ 5

### การ Simulation และการทดลอง

ในบทนี้จะแสดงถึงผลที่ได้จากการจำลองการทำงานของระบบ (Simulation) โดยคอมพิวเตอร์ และผลการทดลองที่ได้จากการทดลองจริงซึ่งประมาณค่าสเทตจากความสัมพันธ์ทางฟิสิกส์

#### 5.1 การ Simulation

จาก โมเดลทางคณิตศาสตร์ในแบบจำลองแครน

$$-(1/p)\ddot{\chi} - (2p/p)\dot{\theta} - (g/p)\theta = \ddot{\theta} \quad (5.1)$$

และจาก สมการ ที่ได้จากการทดสอบมอเตอร์

$$\frac{C(s)}{R(s)} = \frac{K \omega_n^2}{s^2 + 2\zeta\omega_n s + \omega_n^2} \quad (5.2)$$

เมื่อ  $\theta(t)$  = มุมการแกว่งของภาระ

$\chi(t)$  = ตำแหน่งของรถแครน

$C(s)$  = ความเร็วของตัวรถแครน

$R(s)$  = คำสั่งความเร็วที่ส่งมาจากคอมพิวเตอร์

$g$  = ความเร่งเนื่องจากแรงโน้มถ่วงของโลก

$p(t)$  = ความยาวเชือกที่ใช้แขวนภาระ

จากสมการที่ได้จาก (1) และ (2) มาเขียนโมเดลของระบบ  $\dot{x} = Ax + Bu$  ได้ดังนี้

$$\text{โดย } x = [x_1 \ x_2 \ x_3 \ x_4 \ x_5 \ x_6]^T = [\theta \ \dot{\theta} \ \chi \ \dot{\chi} \ \ddot{\chi}]^T$$

$$\begin{bmatrix} \dot{\theta} \\ \ddot{\theta} \\ \dot{\chi} \\ \ddot{\chi} \\ \dddot{\chi} \end{bmatrix} = \begin{bmatrix} 0 & 1 & 0 & 0 & 0 & \theta \\ -g/p & 2p/p & 0 & 0 & -1/p & \dot{\theta} \\ 0 & 0 & 0 & 1 & 0 & \chi \\ 0 & 0 & 0 & 0 & 1 & \dot{\chi} \\ 0 & 0 & 0 & -\omega_n^2 & -2\zeta\omega_n & \ddot{\chi} \end{bmatrix} + \begin{bmatrix} 0 \\ 0 \\ 0 \\ 0 \\ K\omega_n^2 \end{bmatrix} u$$

$$y = \begin{bmatrix} 0 & 0 & 1 & 0 & 0 \end{bmatrix} \begin{bmatrix} \ddot{\theta} \\ \dot{\theta} \\ \chi \\ \dot{\chi} \\ \ddot{\chi} \end{bmatrix}$$

นำพารามิเตอร์ต่าง ๆ ของระบบคอน จากการประมาณ Transfer Function ของ LM629 กับ มอเตอร์ ได้ว่า  $K=0.8750$   $\omega_n = 7$   $\zeta = 0.9$

กำหนดให้เชือกที่ใช้แขวนโหลดมีความยาวที่แปรค่าได้มีค่าเป็น  $p$  จะได้  $p$  เป็นความเร็วของการเคลื่อนที่ของเชือก นำค่า พารามิเตอร์ต่าง ๆ แทนใน โมเดลของระบบได้ดังนี้

$$\begin{bmatrix} \dot{\theta} \\ \ddot{\theta} \\ \dot{x} \\ \ddot{x} \\ \dddot{x} \end{bmatrix} = \begin{bmatrix} 0 & 1 & 0 & 0 & 0 \\ -9.81/p & 2p/p & 0 & 0 & -1/p \\ 0 & 0 & 0 & 1 & 0 \\ 0 & 0 & 0 & 0 & 1 \\ 0 & 0 & 0 & -49 & -12.6 \end{bmatrix} \begin{bmatrix} \theta \\ \dot{\theta} \\ x \\ \dot{x} \\ \ddot{x} \end{bmatrix} + \begin{bmatrix} 0 \\ 0 \\ 0 \\ 0 \\ 42.875 \end{bmatrix} u$$

จากนั้นทำการแปลง State Space Model เวลาต่อเนื่องให้เป็นเวลาดีสครีต โดยให้ sampling time = 0.1 sec โดยใช้ฟังก์ชัน c2d ในโปรแกรม MATLAB ก็จะสามารถหาค่า G และ H ของระบบดีสครีตได้

```
>>[G,H]=c2d(A,B,0.1)
```

หลังจากที่ได้ Matrix G และ H แล้วนั้น เนื่องจากเราให้ ดัชนีการทำงานของ LQR เป็น

$$J=(1/2) \sum_{k=0}^{\infty} [x_k^T Q x_k + u_k^T R u_k]$$

คำนวณค่า LQR Steady State Gain Matrix , K โดยกำหนดให้

```
>>Q = diag ([1000 1 1000 1 1]) ; R = [200];
```

Q เป็น Weight Matrix ของ X ; R เป็น Weight Matrix ของ u

นำค่า G,H,Q,R ที่ได้ไปคำนวณค่า K ใน MATLAB ได้ โดยใช้ ฟังก์ชัน

dlqr ซึ่งเป็นฟังก์ชันที่ ทำหน้าที่หาค่าเกนป้อนกลับ ให้กับ state ตามดัชนีของ LQR

```
>>[ K,S,E ] = dlqr(G,H,Q,R)
```

K เป็น Optimal Feedback Gain Matrix ซึ่งจะ minimize ค่า J

S เป็น ผลเฉลยที่ สถานะคงตัวของสมการ Riccati

และ E เป็น Eigenvalue ของระบบ ; E=EIG(G-H\*K)

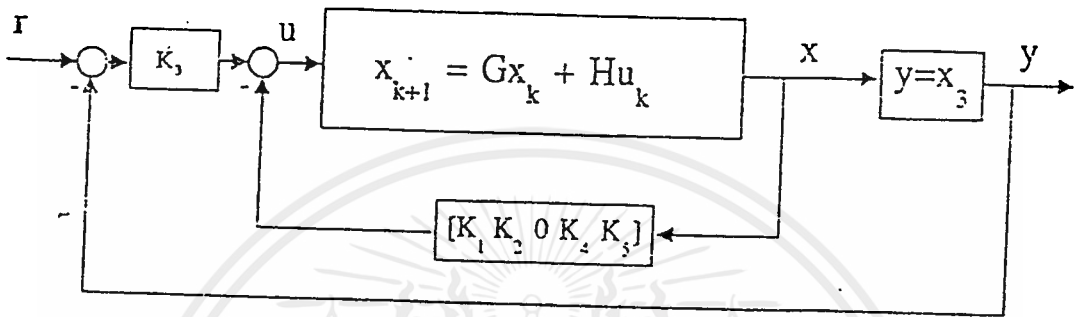
ซึ่งถ้า Eigenvalue ของระบบ อยู่ในวงกลม 1 หน่วย จะบอกให้เราทราบว่าระบบนั้น

เสถียร

เอกสารนี้เป็นเอกสารที่สงวนไว้สำหรับการใช้งานเพื่อการศึกษาเท่านั้น เมื่ออยู่ภายใต้เงื่อนไขการใช้งานด้านการศึกษา

ไม่ว่ากรณีใดๆทั้งสิ้น อีกทั้งห้ามมิให้ตัดแปลงเนื้อหาและต้องอ้างอิงถึงเจ้าของเอกสารทุกครั้งที่มีการนำไปใช้

โครงสร้างการทำงานของระบบควบคุมการเคลื่อนที่ และการแกว่งของโหลดที่แขวนบนรถเครนมีลักษณะเป็นการป้อนกลับสเตท โดยนำทุก ๆ สเตทที่วัดได้ในแต่ละคาบการชักตัวอย่างมาคูณค่าเกน  $K$  แล้วนำผลคูณที่ได้ป้อนกลับให้เป็นอินพุต  $u$  เพื่อควบคุมให้ทุก ๆ สเตทเข้าสู่ค่าศูนย์ ยกเว้น  $x_3$  ซึ่งเป็นตำแหน่งของรถเครนจะลู่เข้าสู่ตำแหน่งอ้างอิง  $r$  นั่นก็คือ อินพุตจะลู่เข้าสู่ศูนย์เมื่อ  $r-y = 0$  และ สเตททุก ๆ สเตทเป็นศูนย์โดยสามารถเขียน บล็อกไดอะแกรม การทำงานได้ดังนี้



รูปที่ 5.1 บล็อกไดอะแกรมการทำงานของระบบควบคุม

เราสามารถนำความสัมพันธ์ดัง บล็อกไดอะแกรม ข้างบนมาเขียนเป็นสเตทป้อนกลับรวมได้ดังนี้

$$\begin{aligned}x_{k+1} &= Gx_k + Hu_k \\ &= Gx_k + H(-Kx_k + k_3r) \\ &= (G-HK)x_k + Hk_3r \\ y &= Cx_k\end{aligned}$$

เนื่องจาก การเคลื่อนที่ของภาระมีการตั้งขึ้น ลง เพื่อ หลบหลีกเลี่ยงก็ดขวาง ค่าความยาวเชือกจึงมีค่าไม่คงที่ เปลี่ยนแปลงไปตามเวลา ส่งผลให้ค่าเกนที่คำนวณโดย LQR มีค่าเกนเปลี่ยนไปตามแต่ระยะความยาวเชือก

เราจึงนำผลและแนวความคิดที่ได้ ไปเขียนโปรแกรมเพื่อ Simulate เพื่อหาค่าตอบสนองต่อ Step Input โดยพิจารณาว่าเราสามารถวัดค่ามาได้ทุกสเตท และ การคำนวณ มีความเร็วพอที่จะหาค่า  $K$  เพื่อนำไปป้อนกลับได้ทันเวลาก่อนจะถึงสเตทต่อไป ดังเป็นโปรแกรมดังนี้!

```

t=0:0.1:11.9;
L=t;
for n=1:13,
L(n)=-0.5*t(n)+0.8;
end
for n=13:24,
L(n)=0.5*t(n)-0.4;
end
for n=25:size(t,2)
L(n)=0.8;
end
plot(t,L);
axis([0 3 0 1]);

difL=0:0.1:11.9;
difL(1)=0;
for n = 2:size(L,2),
difL(n)=(L(n)-L(n-1))/0.1;
end
plot(t,difL)
axis([0 6 -1 1])

datafile = fopen('calfrsl5.dat','wt+');
x1=[0 0 0 0 0]';r=1;
for n = 1:size(L,2),

A=[0 1 0 0 0;-9.81/L(n) -2*difL(n)/L(n) 0 0 -1/L(n);0 0 0 1 0;0 0 0 0 1;0 0 0 -49 -12.6];

B=[0 0 0 0 49*7/8]';
C=[0 0 1 0 0];

[G,H] = c2d(A,B,0.1);
Q=diag([1000 1 1000 1 1]); R=(200);
[K,S,E]=dlqr(G,H,Q,R);

x2=((G-H*K)*x1)+((H*K(3))*r);

```

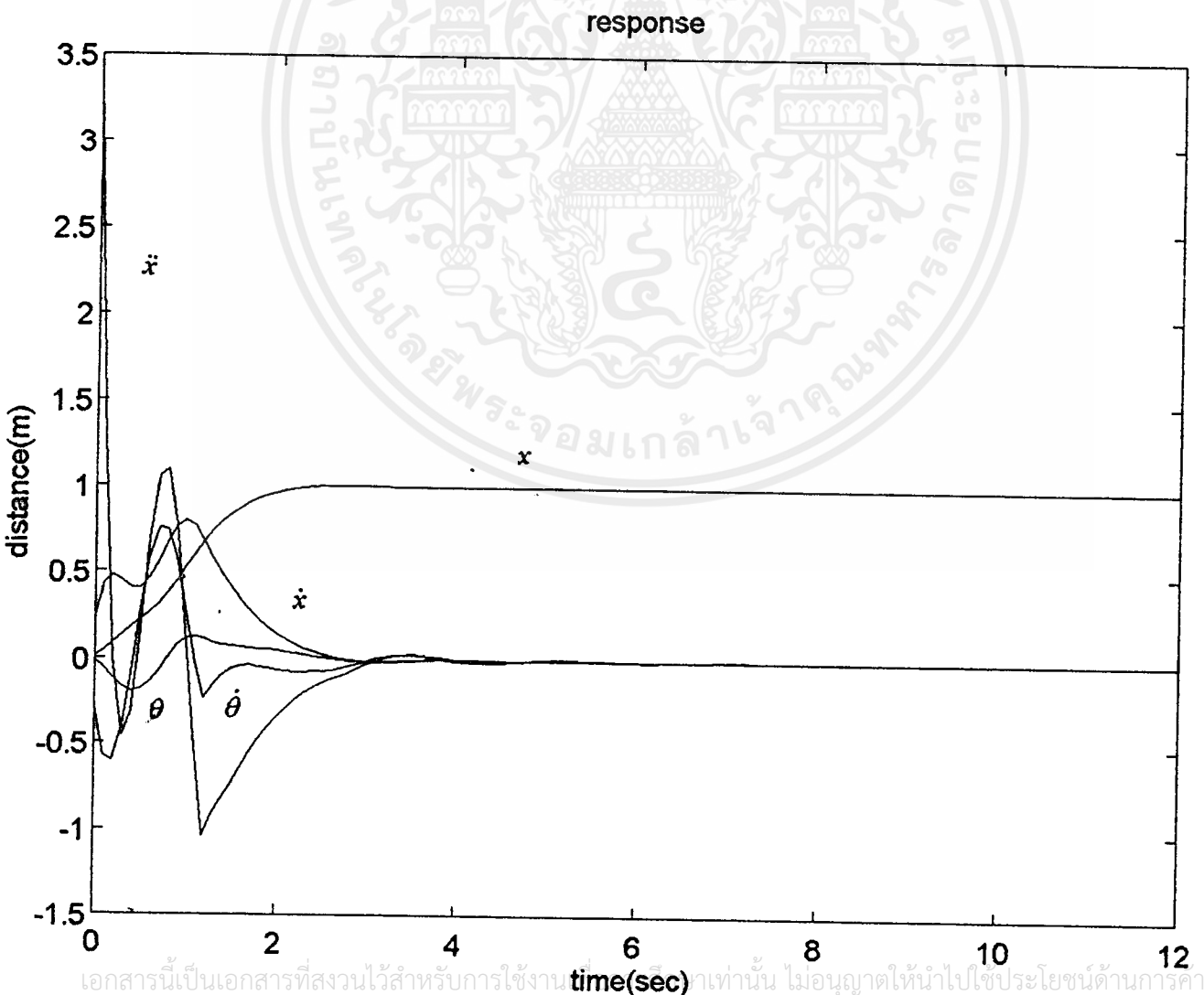
```

x1=x2;
end
fclose(datafile);
load c:\matlab\toolbox\control\calfrs15.dat;
plot(t,calfrs15)

```

ซึ่งโปรแกรมอันนี้ เริ่มจากการใส่ค่าของการเคลื่อนที่ของความยาวเชือกซึ่งต้องเขียนเป็นโปรแกรมเข้าไป หลังจากนั้นจึงคำนวณค่า ผลตอบสนองต่อ ฟังก์ชันสัญญาณขั้นบันไดหนึ่งหน่วย ที่ละจุดแล้วนำไปเขียนลงไฟล์ โดยแต่ละจุดมีการคำนวณค่า เกนของแต่ละจุด เพื่อให้ ฟังก์ชันการคำนวณนั้นสมบูรณ์

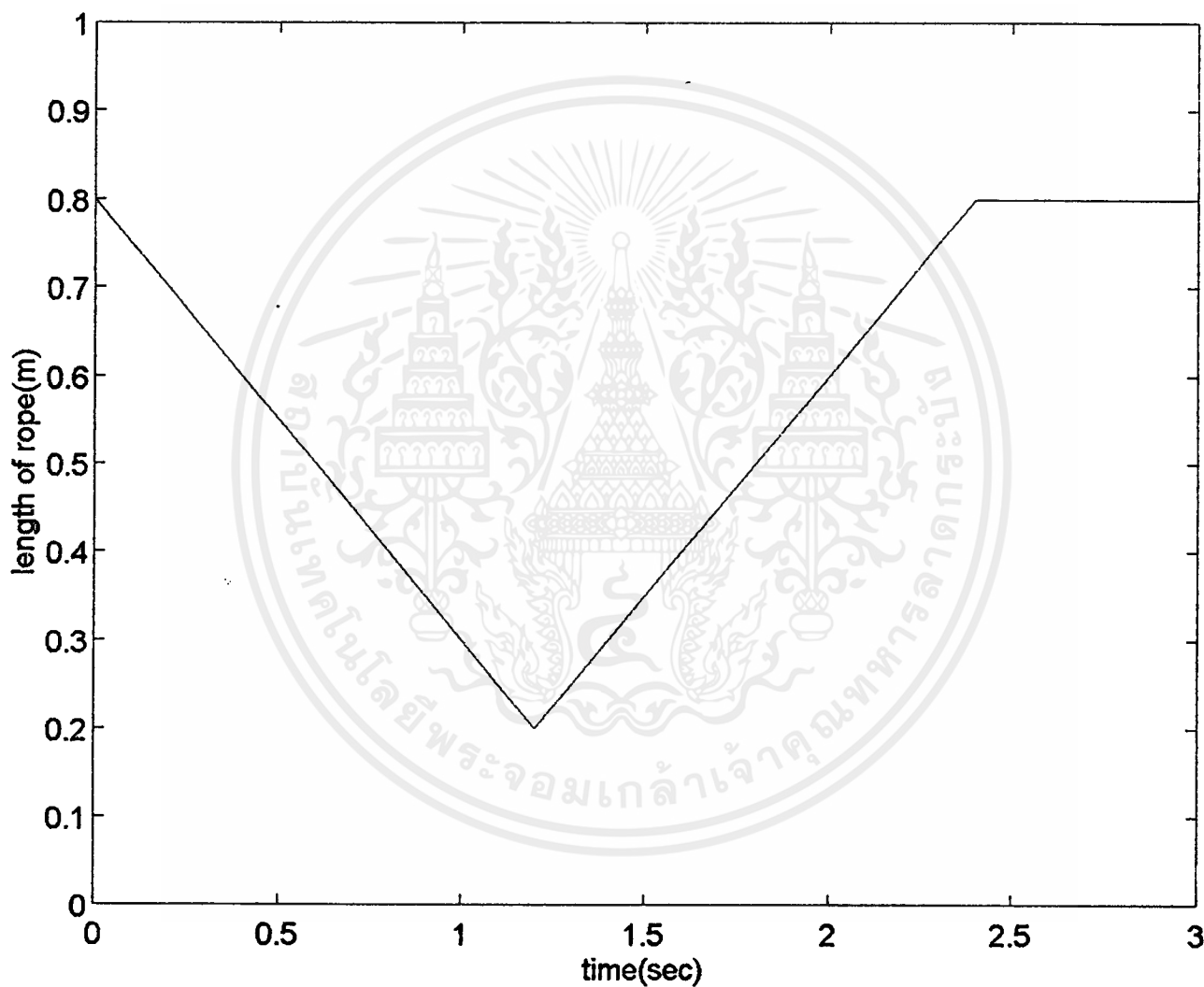
ผลจากการ Simulate ข้างต้นจะได้ผลตอบสนองของระบบดังรูปที่ 5.2ก การเคลื่อนที่ของความยาวเชือกรูปที่ 5.2ข ผลตอบสนองตำแหน่งรถเครนดังรูป ที่ 5.2ค ผลตอบสนองของมุมการแกว่งดังรูปที่ 5.2ง โดยจะได้ว่าทุก ๆ สเตท จะลู่เข้าสู่ศูนย์ยกเว้นเอาท์พุทของระบบที่จะลู่เข้าสู่ค่าตำแหน่งอ้างอิง



เอกสารนี้เป็นเอกสารที่สงวนไว้สำหรับการใช้งานเท่านั้น ไม่อนุญาตให้นำไปใช้ประโยชน์ด้านการค้า

ไม่ว่ากรณีใดๆทั้งสิ้น อีกทั้งห้ามมิให้ตัดแปลงเนื้อหาและต้องอ้างอิงถึงเจ้าของเอกสารทุกครั้งที่มีการนำไปใช้

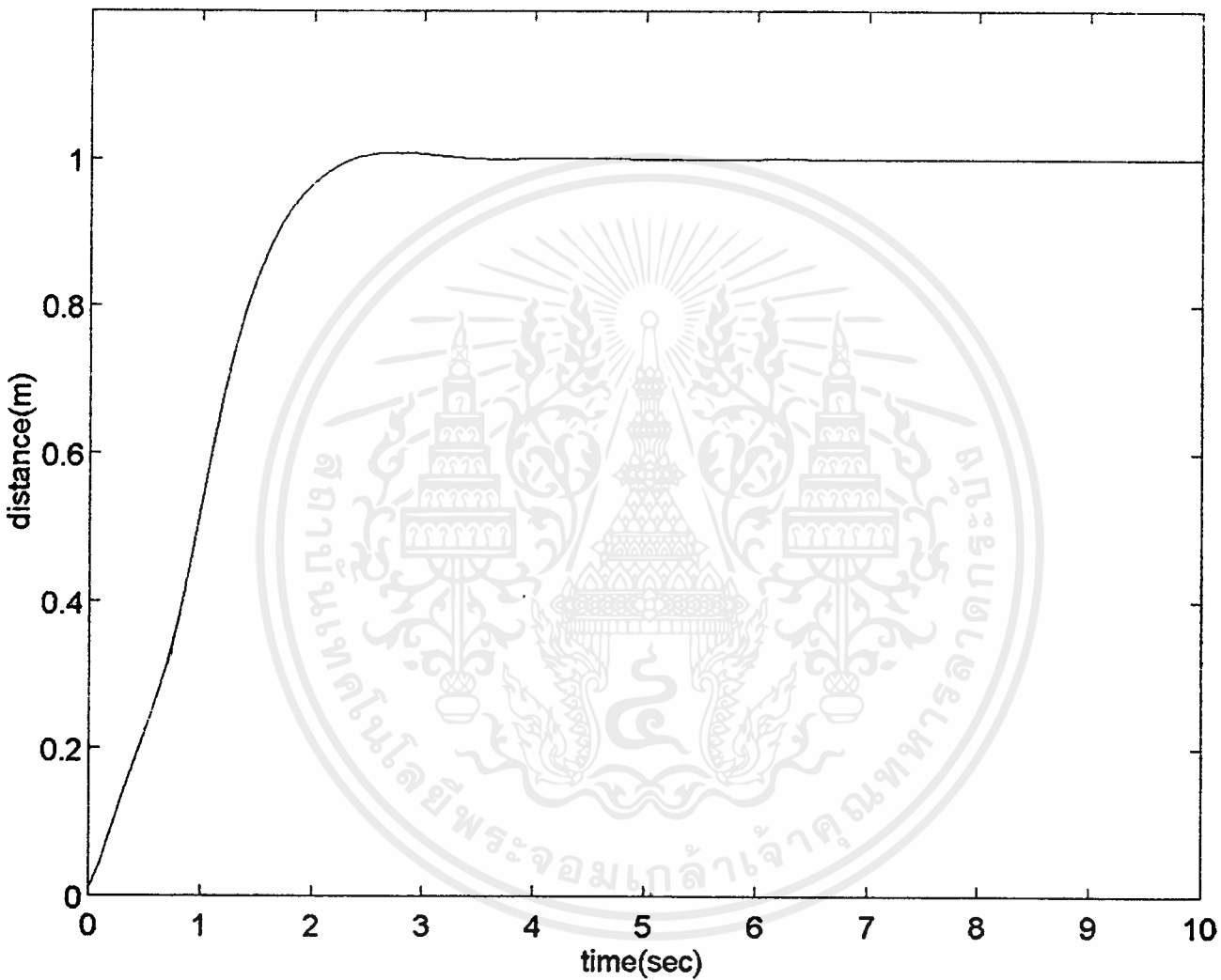
รูปที่ 5.2ก ผลตอบสนองต่อสเตทต่างๆของระบบเครน



รูป 5.2ข การเคลื่อนที่ของความยาวเชือก

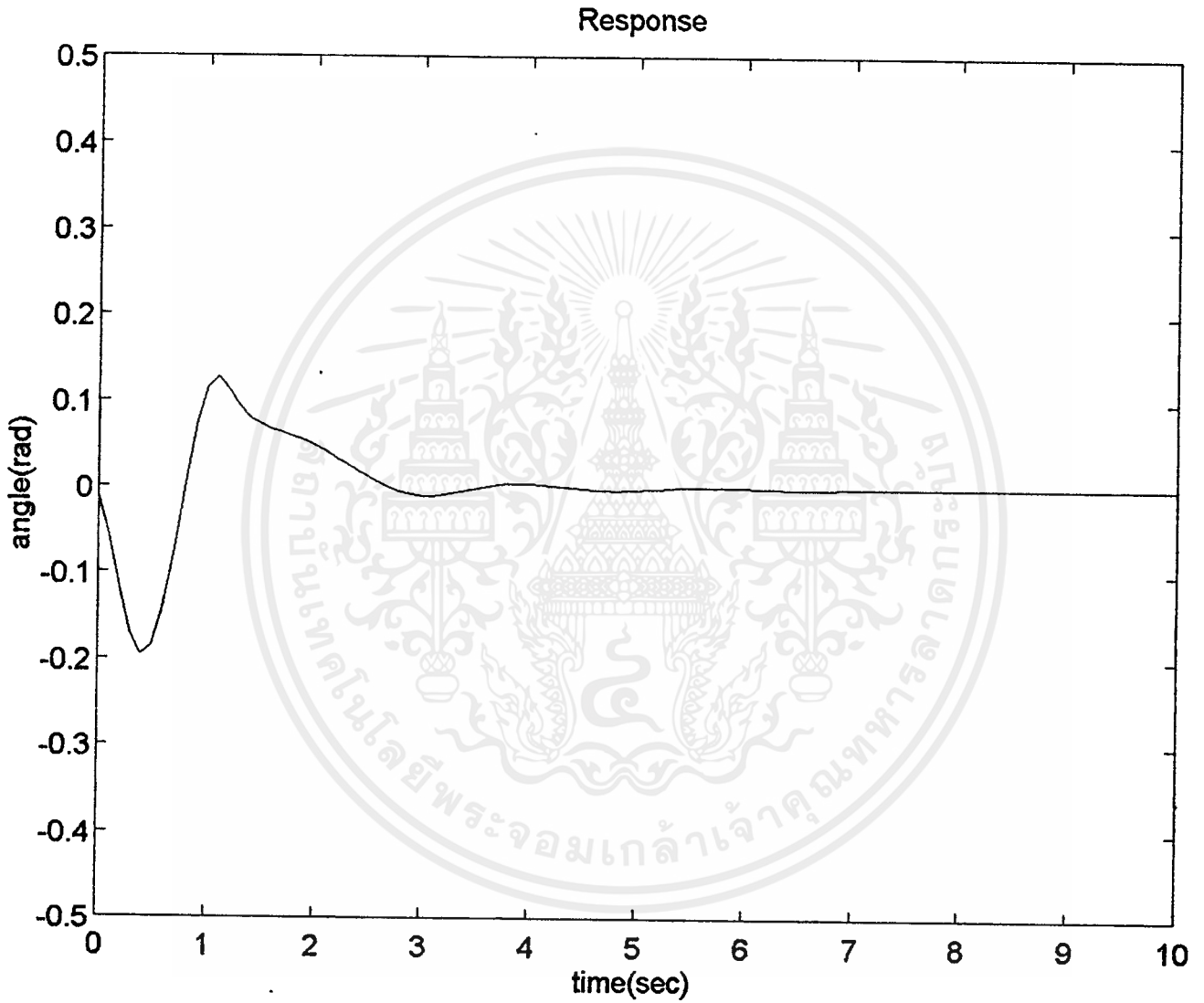
เอกสารนี้เป็นเอกสารที่สงวนไว้สำหรับการใช้งานเพื่อการศึกษาเท่านั้น ไม่อนุญาตให้นำไปใช้ประโยชน์ด้านการค้า ไม่ว่าจะกรณีใดๆ ทั้งสิ้น อีกทั้งห้ามมิให้ดัดแปลงเนื้อหาและต้องอ้างอิงถึงเจ้าของเอกสารทุกครั้งที่มีการนำไปใช้

Response



รูป 5.2ค ผลตอบสนองตำแหน่งรถเครน

เอกสารนี้เป็นเอกสารที่สงวนไว้สำหรับการใช้งานเพื่อการศึกษาเท่านั้น ไม่อนุญาตให้นำไปใช้ประโยชน์ด้านการค้า ไม่ว่ากรณีใดๆทั้งสิ้น อีกทั้งห้ามมิให้ตัดแปลงเนื้อหาและต้องอ้างอิงถึงเจ้าของเอกสารทุกครั้งที่มีการนำไปใช้



รูป 5.2ง ผลตอบสนองของมุมการแกว่ง

เอกสารนี้เป็นเอกสารที่สงวนไว้สำหรับการใช้งานเพื่อการศึกษาเท่านั้น ไม่อนุญาตให้นำไปใช้ประโยชน์ด้านการค้า ไม่ว่าจะกรณีใดๆทั้งสิ้น อีกทั้งห้ามมิให้ดัดแปลงเนื้อหาและต้องอ้างอิงถึงเจ้าของเอกสารทุกครั้งที่มีการนำไปใช้

## 5.2 ผลการทดลอง

การทดลองเมื่อใช้การประมาณค่าสเททจากความสัมพันธ์ทางฟิสิกส์ เมื่อทำการทดลองการควบคุมโดยใช้โปรแกรมควบคุมที่ใช้การประมาณค่าสเททจากความสัมพันธ์ทางฟิสิกส์ และใช้ค่าเกนป้อนกลับ  $K$  ที่ออกแบบได้จาก MATLAB จากหัวข้อที่ 5.1 มาคูณกับค่าสเททต่างๆ ทั้งที่ได้จากการวัดจริงและได้จากการคำนวณ ตามวิธี LQR เพื่อหาค่าสัญญาณควบคุม(ดู source code ของโปรแกรมควบคุมชื่อ work4\_2.c ได้ที่ภาคผนวก)

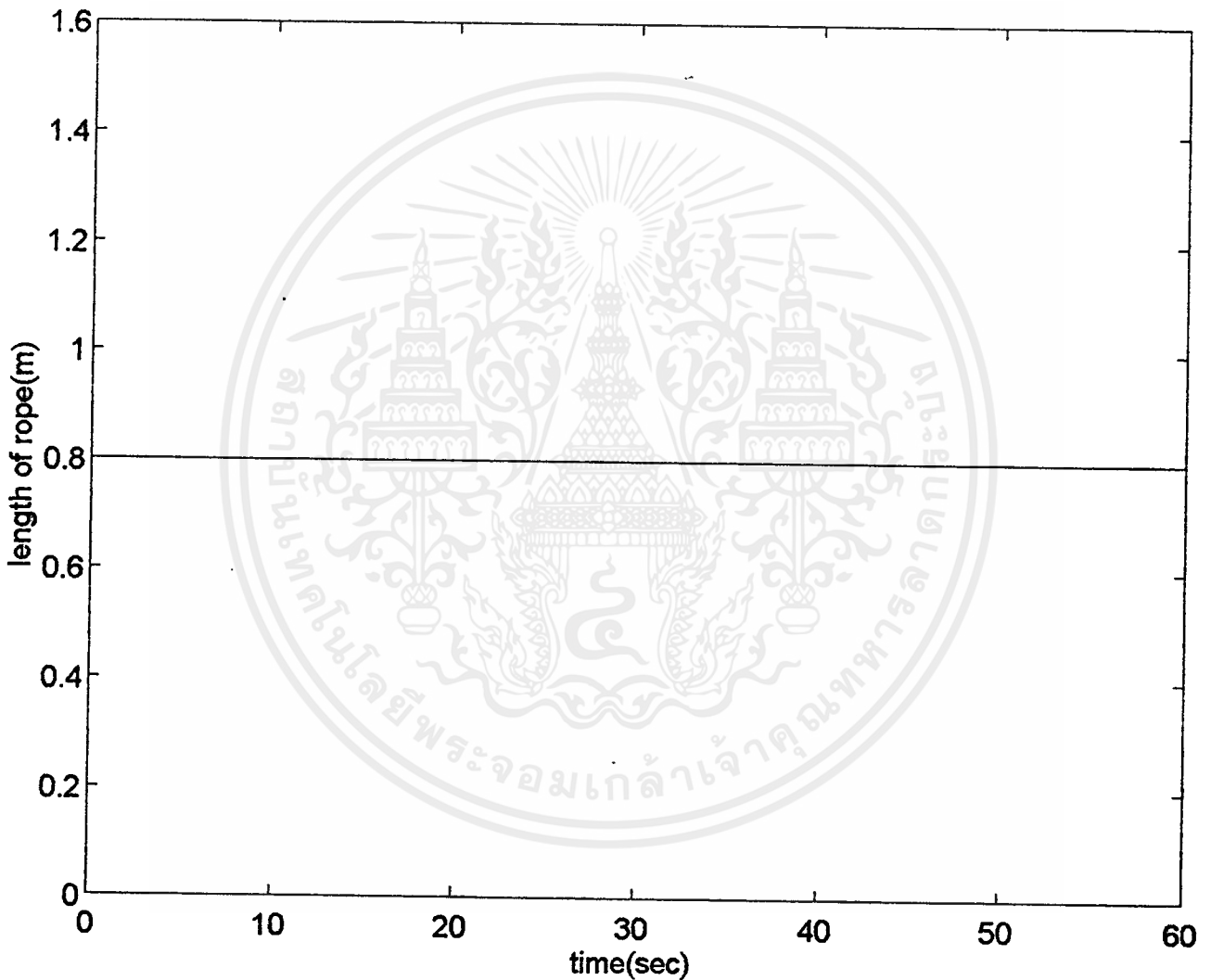
ผลการทดลองแบ่งเป็น 2 ส่วน

5.2.1 เมื่อความยาวเชือกคงที่ ดังรูปที่ 5.3ก-5.3จ

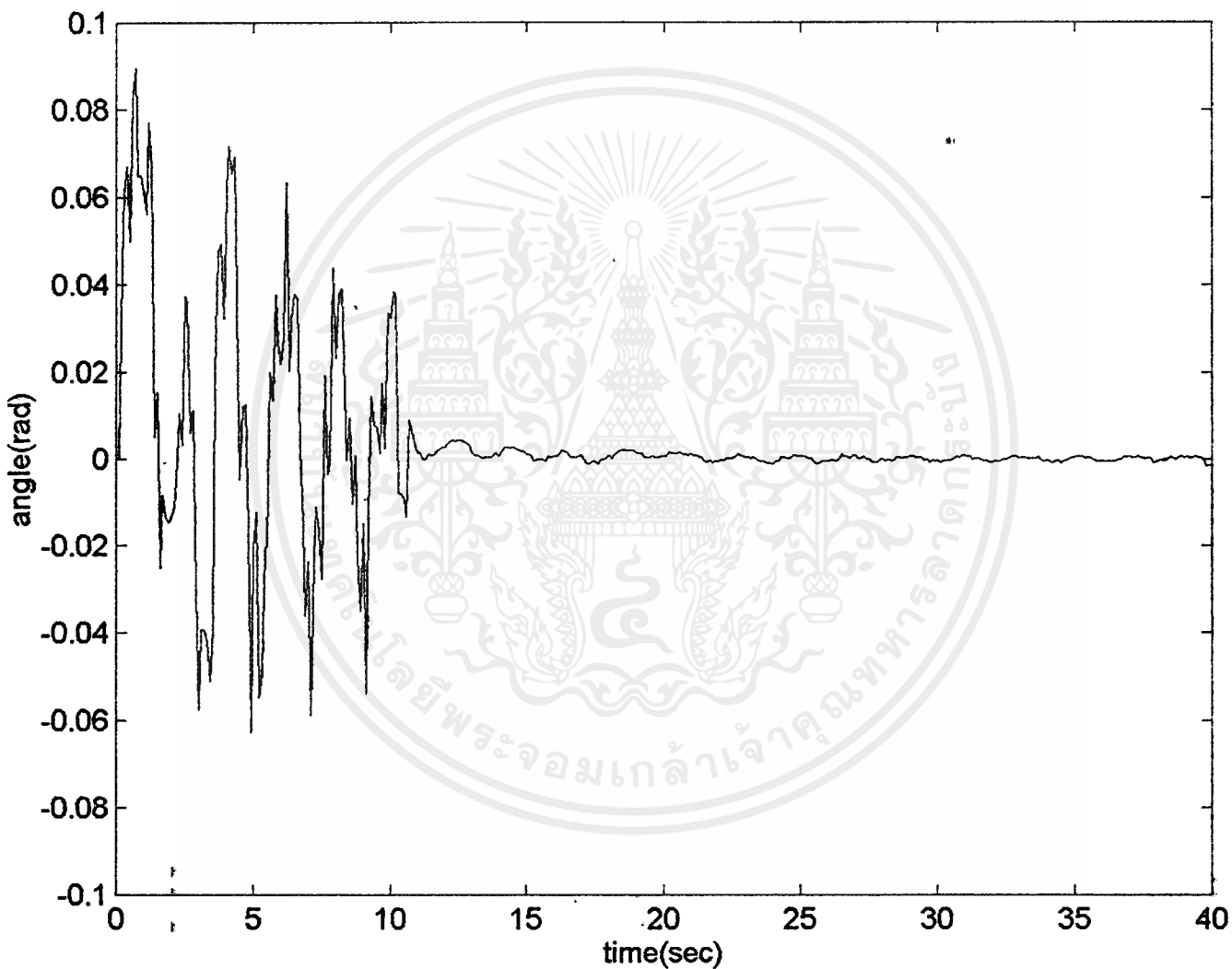
5.2.2 เมื่อความยาวเชือกเปลี่ยนแปลง ดังรูปที่ 5.4ก-5.4จ



### 5.2.1 ผลการทดลองการเคลื่อนที่ของเครน เมื่อให้ความยาวเชือกของภาระมีค่าคงที่

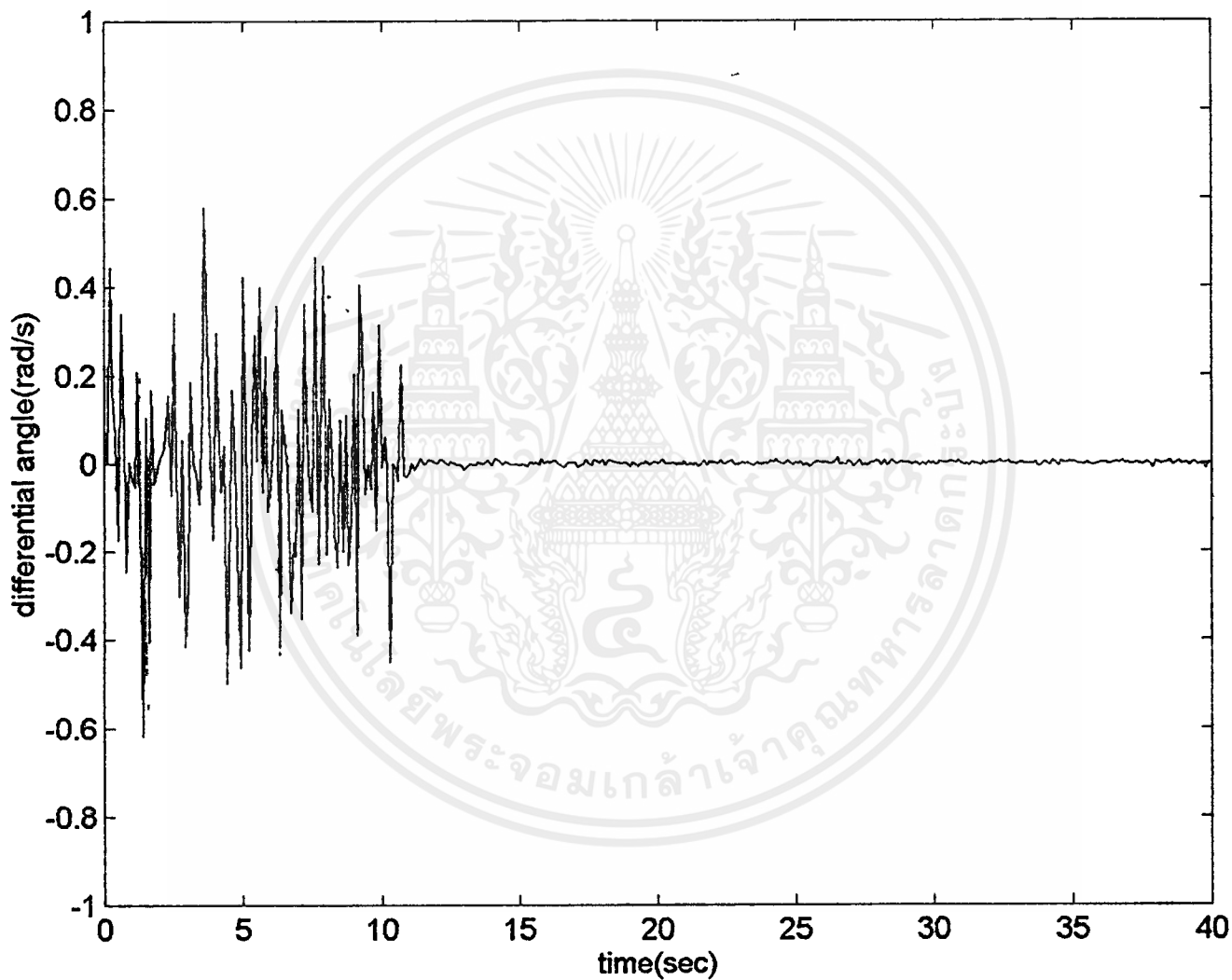


รูปที่ 5.3ก รูปแสดงความยาวเชือกที่เปลี่ยนแปลงไปตามเวลาที่ใช้ในการเคลื่อนที่



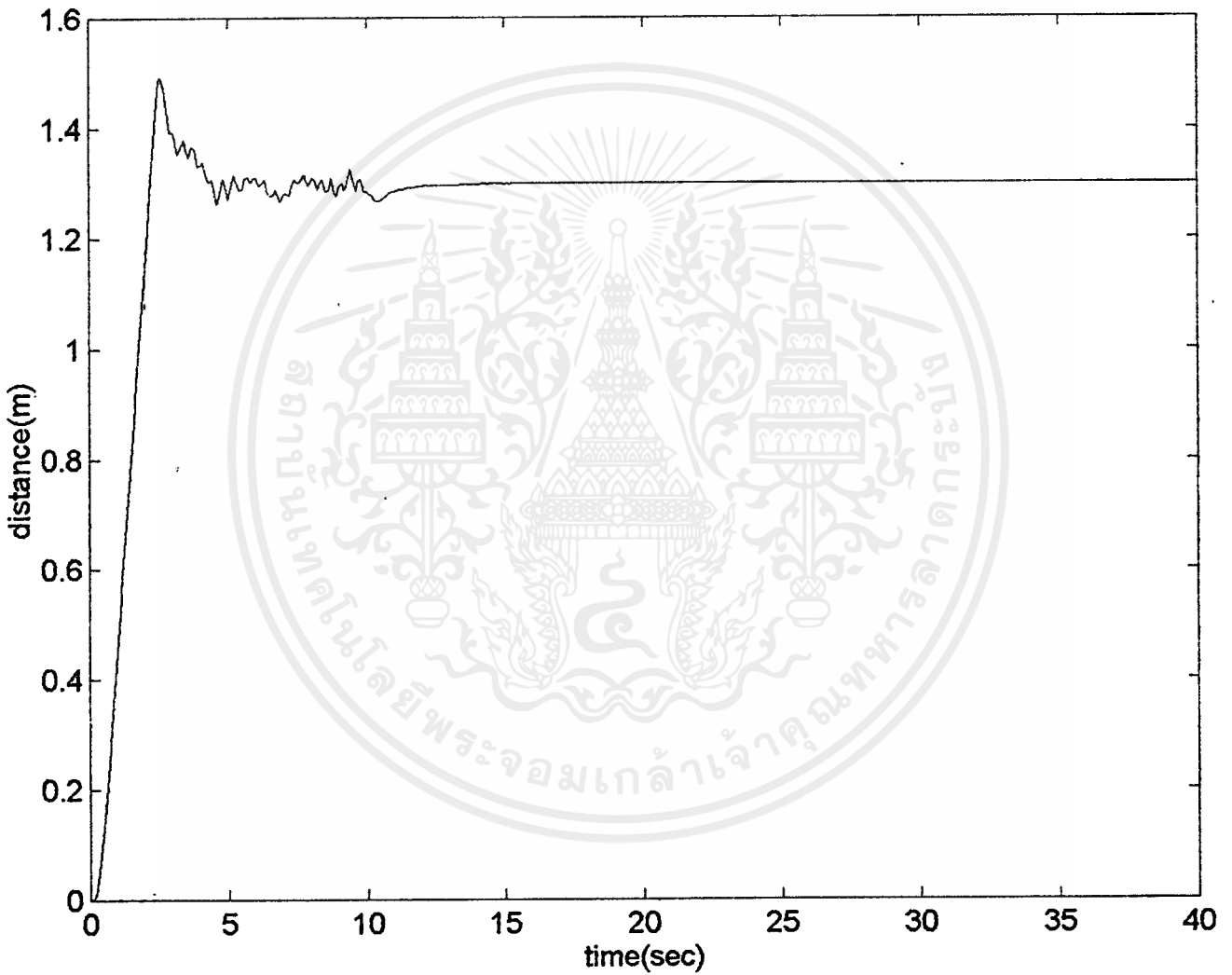
รูปที่ 5.3๓ รูปผลตอบสนององมุมในการแกว่ง

เอกสารนี้เป็นเอกสารที่สงวนไว้สำหรับการใช้งานเพื่อการศึกษาเท่านั้น ไม่อนุญาตให้นำไปใช้ประโยชน์ด้านการค้า ไม่ว่าจะกรณีใดๆ ทั้งสิ้น อีกทั้งห้ามมิให้ดัดแปลงเนื้อหาและต้องอ้างอิงถึงเจ้าของเอกสารทุกครั้งที่มีการนำไปใช้



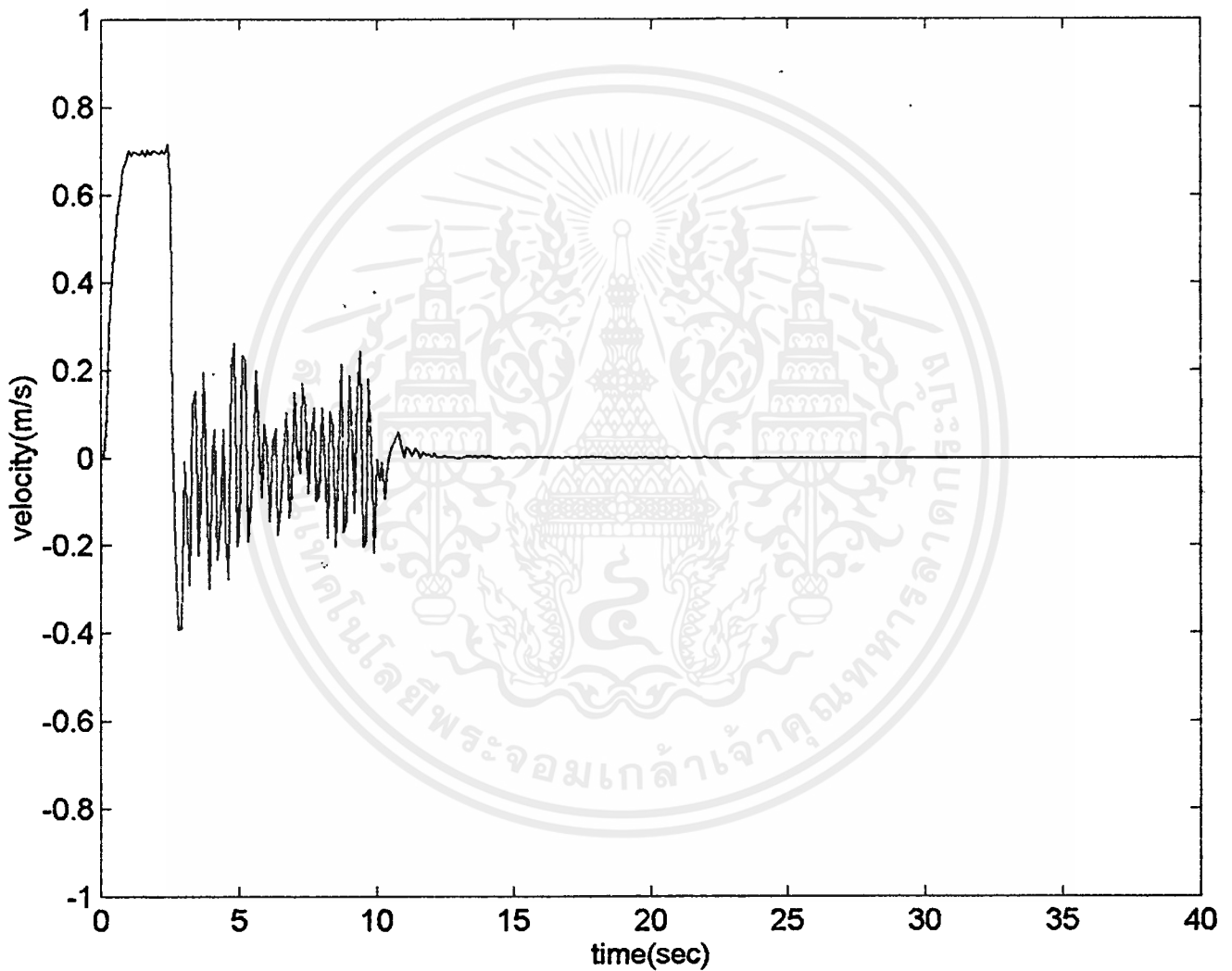
รูปที่ 5.3ค รูปผลตอบสนองของความเร็วเชิงมุม

เอกสารนี้เป็นเอกสารที่สงวนไว้สำหรับการใช้งานเพื่อการศึกษาเท่านั้น ไม่อนุญาตให้นำไปใช้ประโยชน์ด้านการค้า ไม่ว่าจะกรณีใดๆ ทั้งสิ้น อีกทั้งห้ามมิให้ดัดแปลงเนื้อหาและต้องอ้างอิงถึงเจ้าของเอกสารทุกครั้งที่มีการนำไปใช้



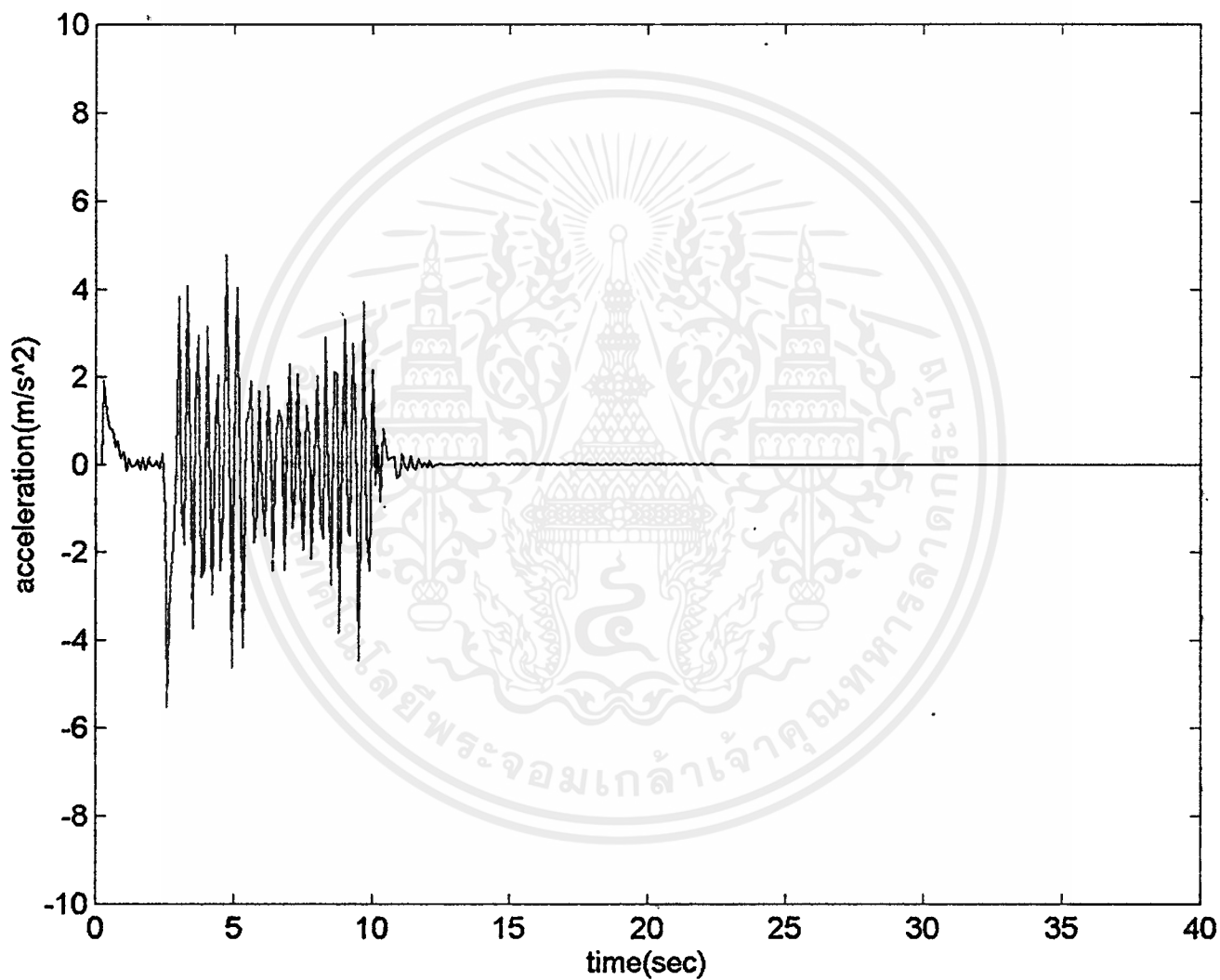
รูปที่ 5.3๙ รูปผลตอบสนองของตำแหน่งของรถเครน

เอกสารนี้เป็นเอกสารที่สงวนไว้สำหรับการใช้งานเพื่อการศึกษาเท่านั้น ไม่อนุญาตให้นำไปใช้ประโยชน์ด้านการค้า ไม่ว่าจะกรณีใดๆ ทั้งสิ้น อีกทั้งห้ามมิให้ตัดแปลงเนื้อหาและต้องอ้างอิงถึงเจ้าของเอกสารทุกครั้งที่มีการนำไปใช้



รูปที่ 5.3จ รูปผลตอบสนองของความเร็ว

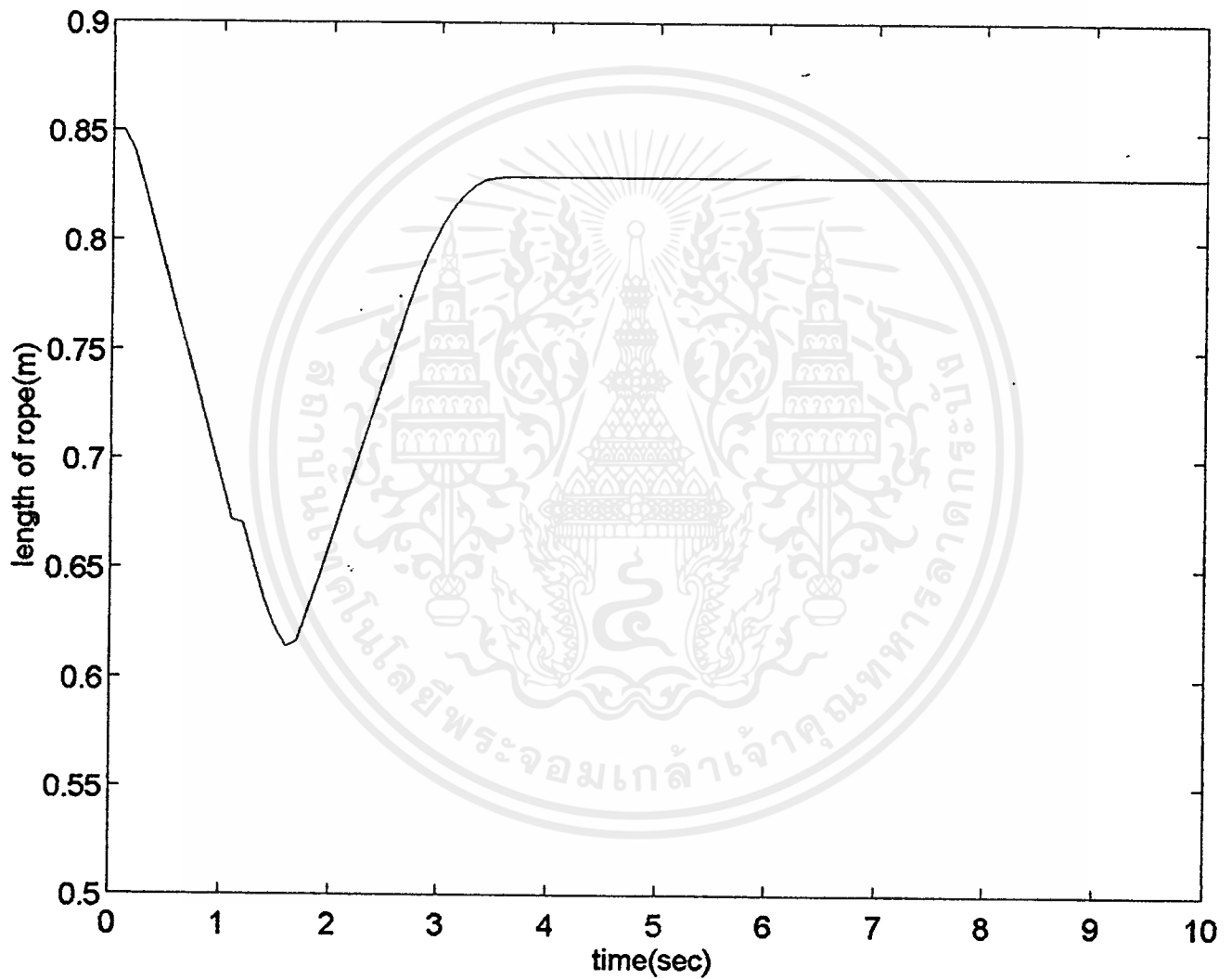
เอกสารนี้เป็นเอกสารที่สงวนไว้สำหรับการใช้งานเพื่อการศึกษาเท่านั้น ไม่อนุญาตให้นำไปใช้ประโยชน์ด้านการค้า ไม่ว่าจะกรณีใดๆ ทั้งสิ้น อีกทั้งห้ามมิให้ดัดแปลงเนื้อหาและต้องอ้างอิงถึงเจ้าของเอกสารทุกครั้งที่มีการนำไปใช้



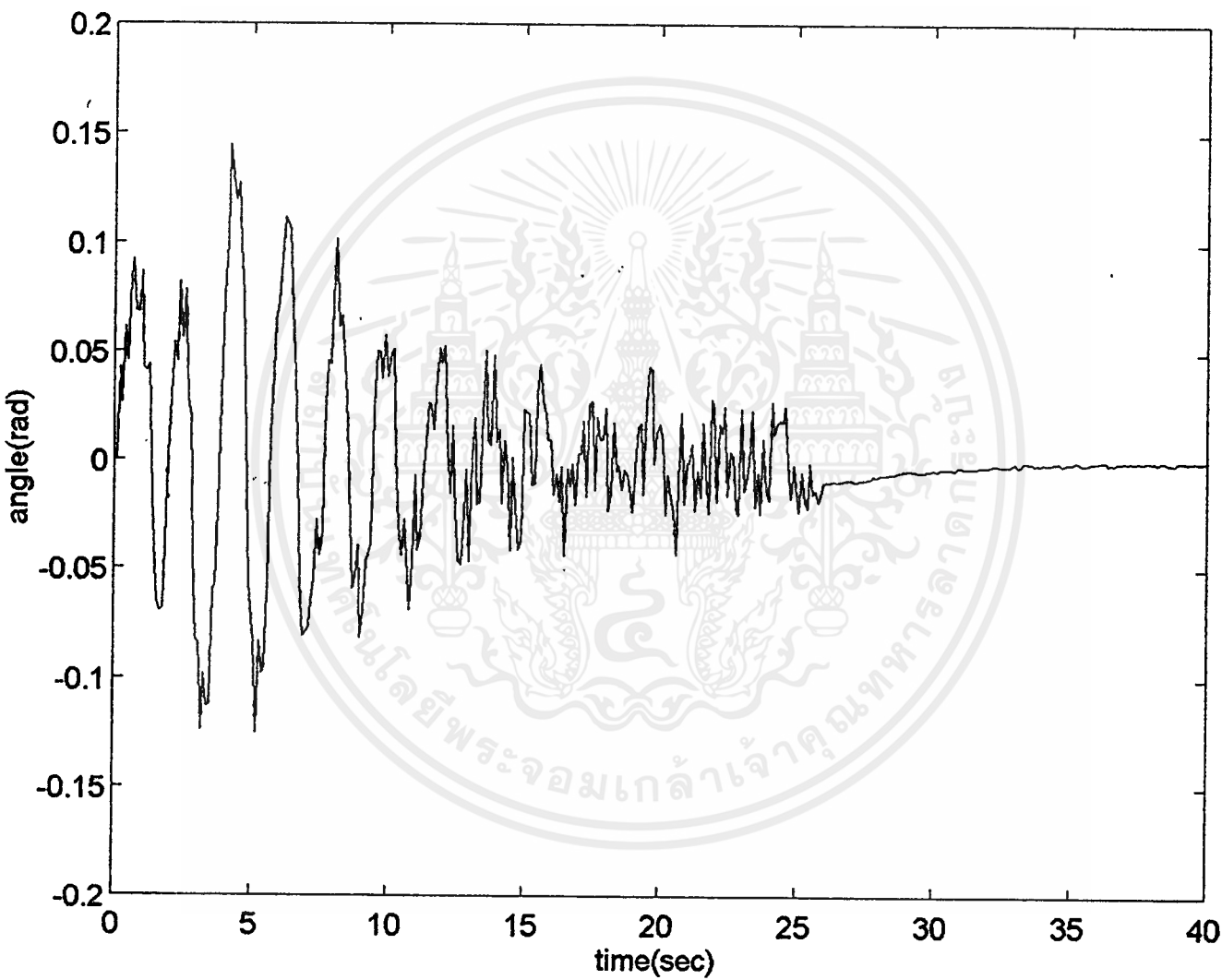
รูป 5.3จ รูปผลตอบสนองของความเร่ง

เอกสารนี้เป็นเอกสารที่สงวนไว้สำหรับการใช้งานเพื่อการศึกษาเท่านั้น ไม่อนุญาตให้นำไปใช้ประโยชน์ด้านการค้า ไม่ว่าจะกรณีใดๆ ทั้งสิ้น อีกทั้งห้ามมิให้ดัดแปลงเนื้อหาและต้องอ้างอิงถึงเจ้าของเอกสารทุกครั้งที่มีการนำไปใช้

### 5.2.2 ผลการทดลองการเคลื่อนที่ของคอน เมื่อให้ความยาวเชือกของภาชนะเปลี่ยนแปลง

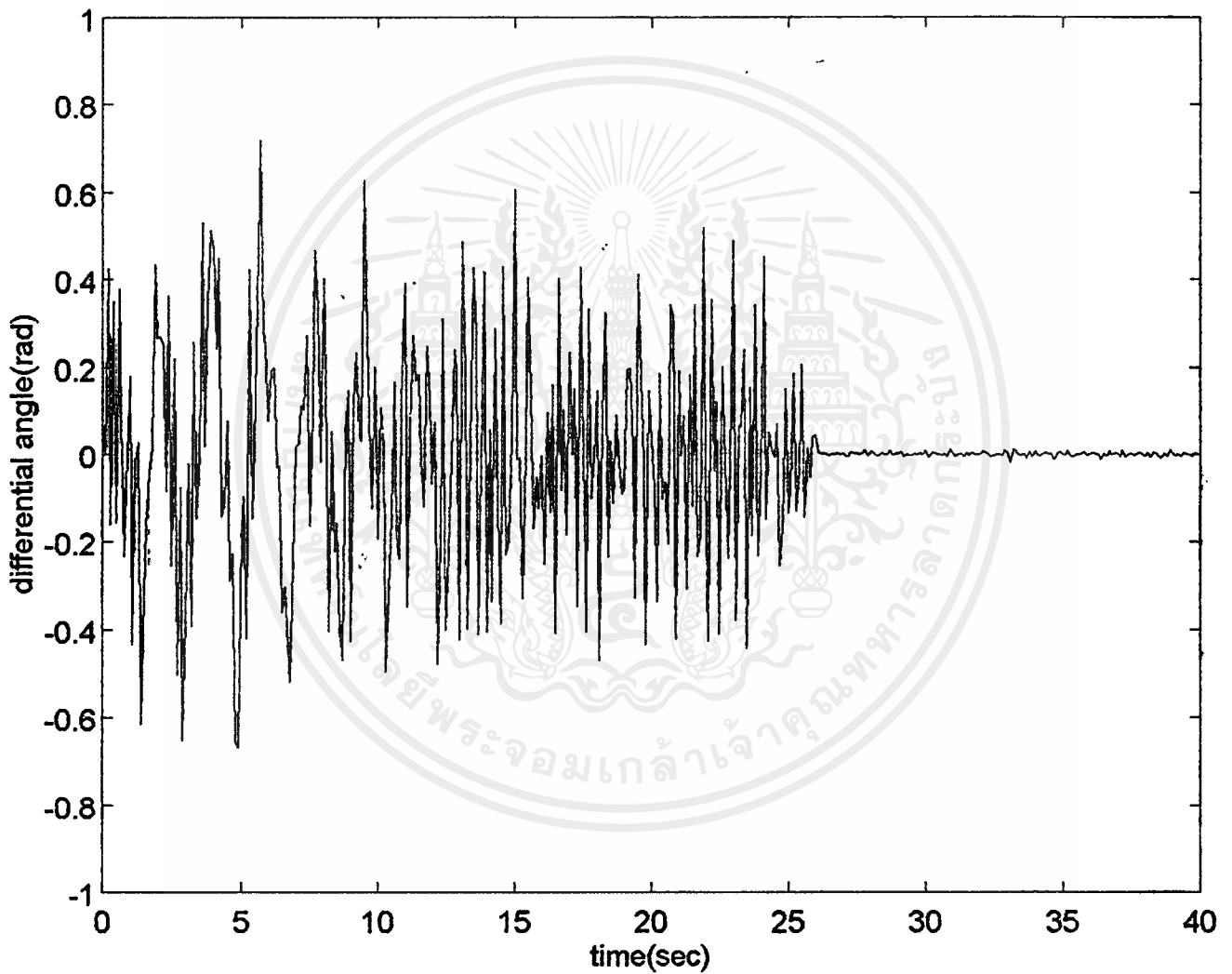


รูปที่ 5.4ก รูปแสดงความยาวเชือกที่เปลี่ยนไปต่อเวลาที่ใช้ในการเคลื่อนที่



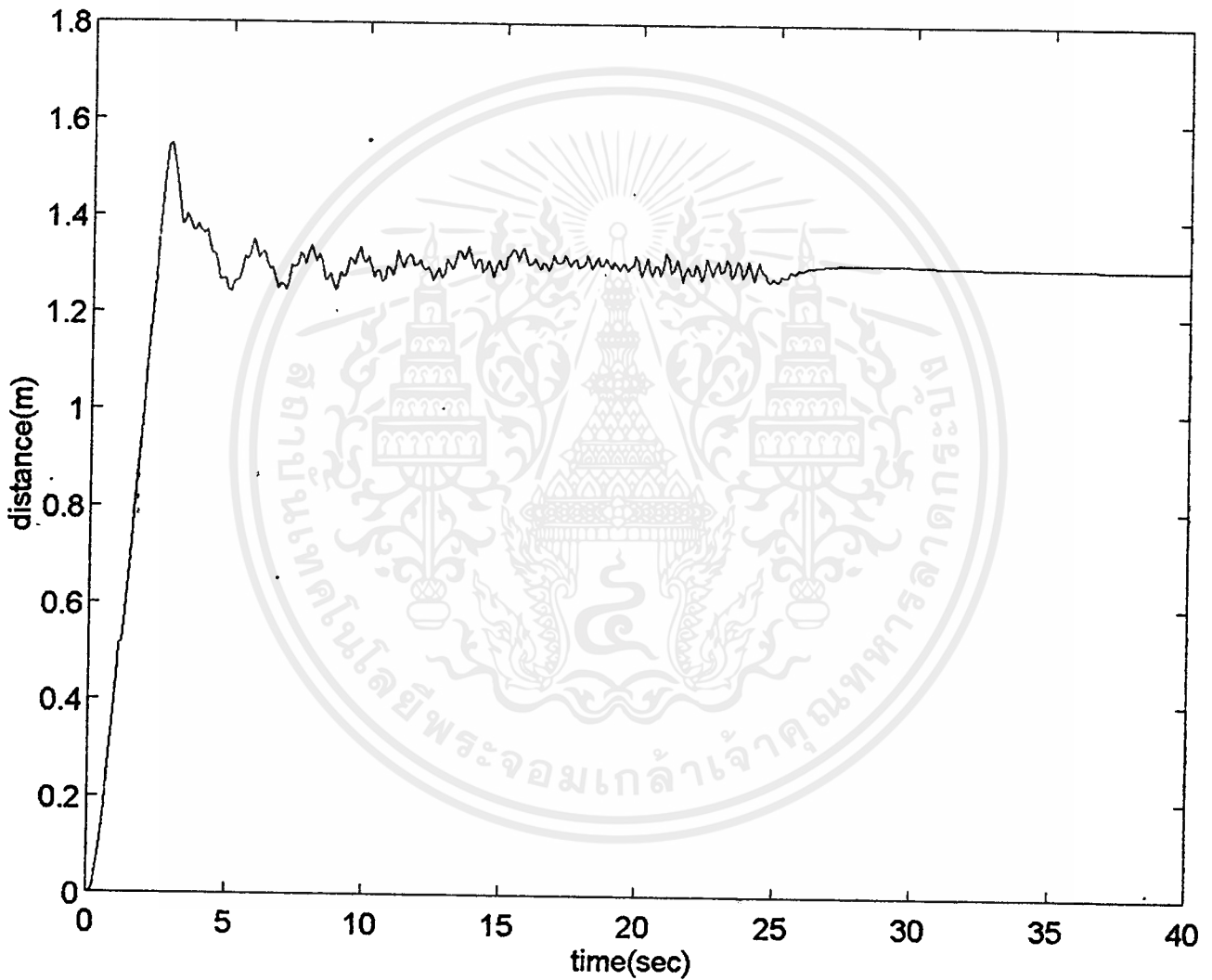
รูปที่ 5.4๑ รูปผลตอบสนองของมุมในการแกว่ง

เอกสารนี้เป็นเอกสารที่สงวนไว้สำหรับการใช้งานเพื่อการศึกษาเท่านั้น ไม่อนุญาตให้นำไปใช้ประโยชน์ด้านการค้า ไม่ว่ากรณีใดๆ ทั้งสิ้น อีกทั้งห้ามมิให้ดัดแปลงเนื้อหาและต้องอ้างอิงถึงเจ้าของเอกสารทุกครั้งที่มีการนำไปใช้



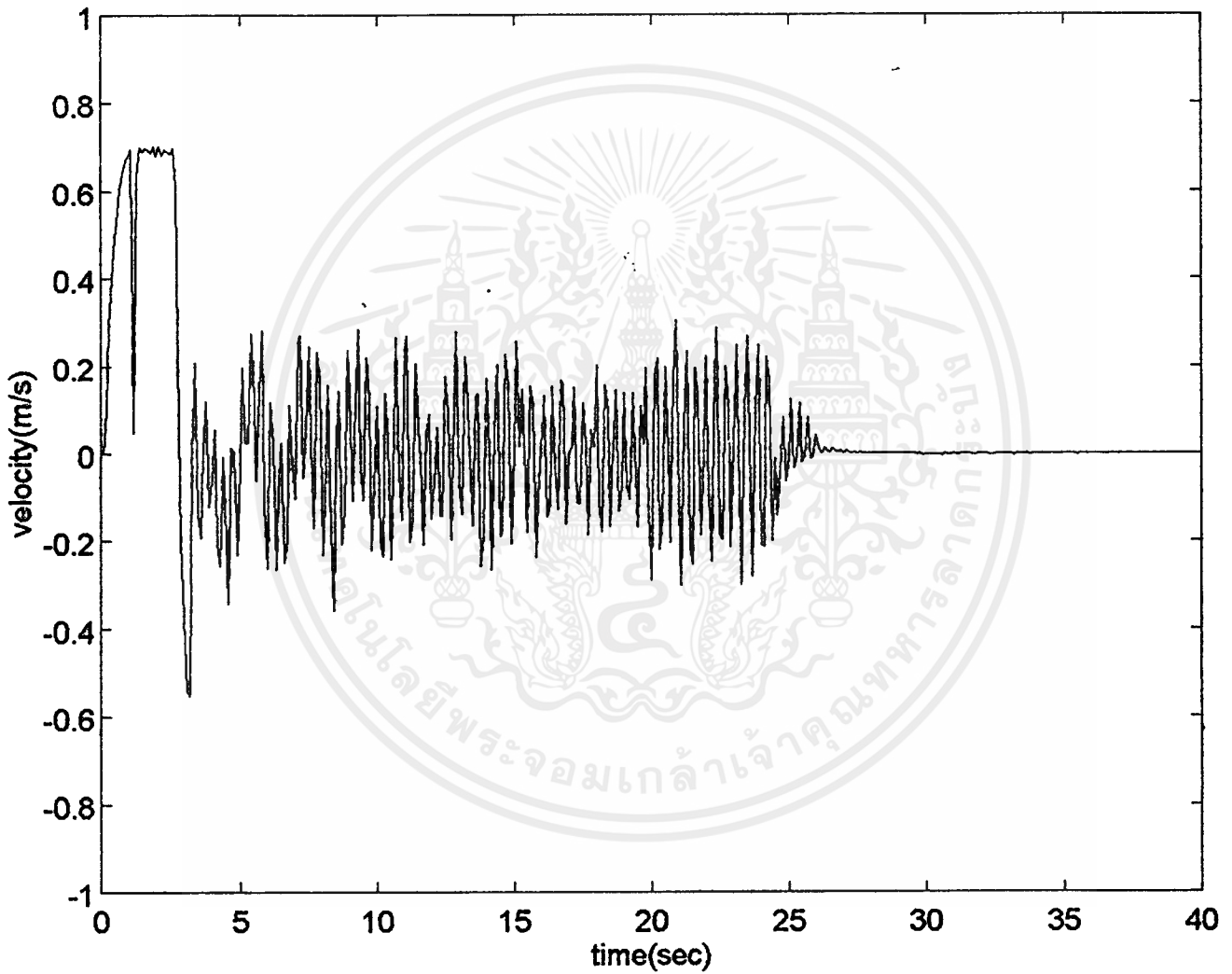
รูปที่ 5.4ค รูปผลตอบสนองของความถี่เชิงมุม

เอกสารนี้เป็นเอกสารที่สงวนไว้สำหรับการใช้งานเพื่อการศึกษาเท่านั้น ไม่อนุญาตให้นำไปใช้ประโยชน์ด้านการค้า ไม่ว่ากรณีใดๆ ทั้งสิ้น อีกทั้งห้ามมิให้ดัดแปลงเนื้อหาและต้องอ้างอิงถึงเจ้าของเอกสารทุกครั้งที่มีการนำไปใช้



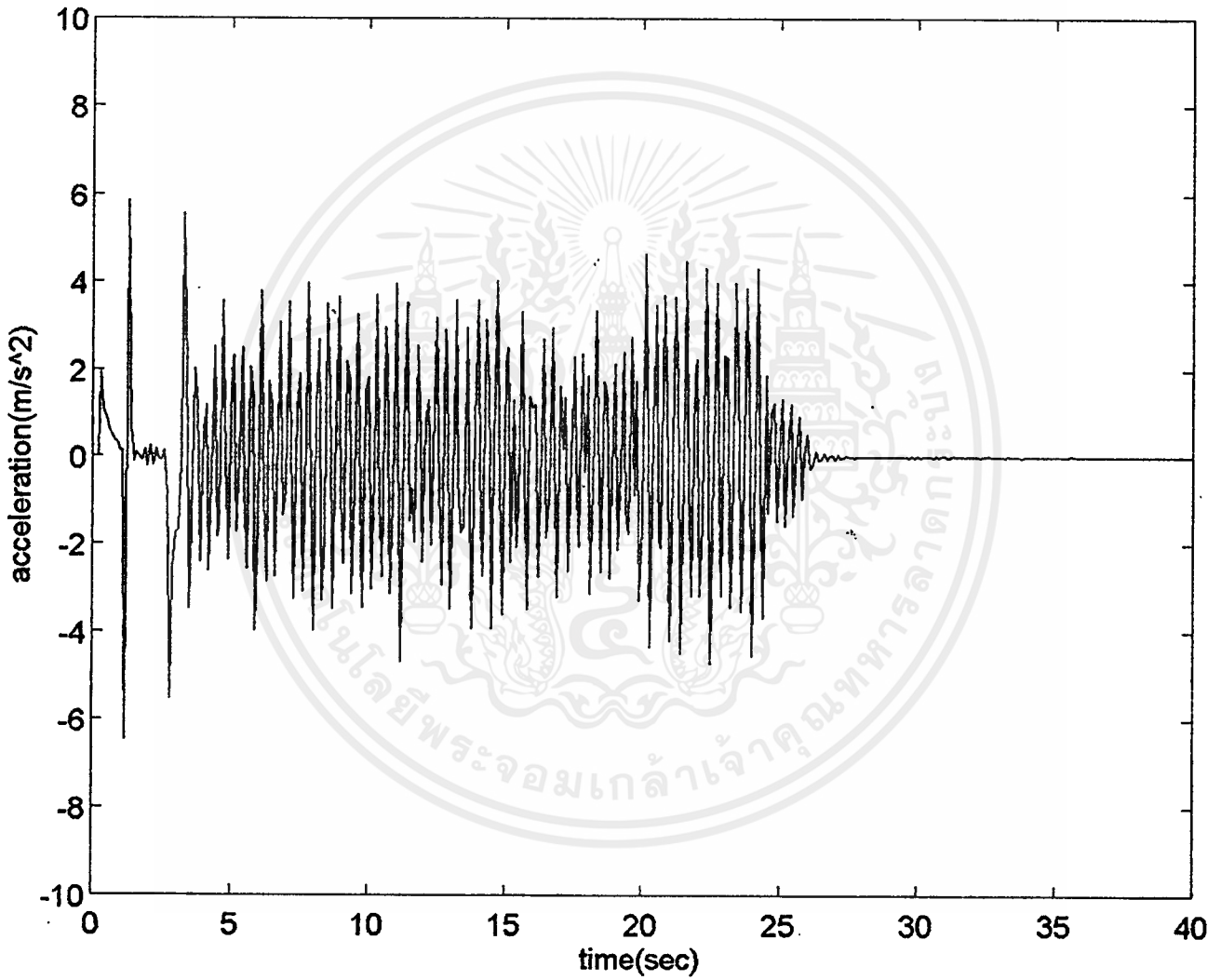
รูปที่ 5.4 รูปผลตอบสนองของตำแหน่งของรถเครน

เอกสารนี้เป็นเอกสารที่สงวนไว้สำหรับการใช้งานเพื่อการศึกษาเท่านั้น ไม่อนุญาตให้นำไปใช้ประโยชน์ด้านการค้า ไม่ว่ากรณีใดๆ ทั้งสิ้น อีกทั้งห้ามมิให้ดัดแปลงเนื้อหาและต้องอ้างอิงถึงเจ้าของเอกสารทุกครั้งที่มีการนำไปใช้



รูปที่ 5.4๑ รูปผลตอบสนองของความเร็ว

เอกสารนี้เป็นเอกสารที่สงวนไว้สำหรับการใช้งานเพื่อการศึกษาเท่านั้น ไม่อนุญาตให้นำไปใช้ประโยชน์ด้านการค้า ไม่ว่าจะกรณีใดๆ ทั้งสิ้น อีกทั้งห้ามมิให้ดัดแปลงเนื้อหาและต้องอ้างอิงถึงเจ้าของเอกสารทุกครั้งที่มีการนำไปใช้



รูป 5.4 รูปผลตอบสนองของความเร่ง

เอกสารนี้เป็นเอกสารที่สงวนไว้สำหรับการใช้งานเพื่อการศึกษาเท่านั้น ไม่อนุญาตให้นำไปใช้ประโยชน์ด้านการค้า ไม่ว่ากรณีใดๆ ทั้งสิ้น อีกทั้งห้ามมิให้ดัดแปลงเนื้อหาและต้องอ้างอิงถึงเจ้าของเอกสารทุกครั้งที่มีการนำไปใช้

## บทที่ 6


### ผลสรุปและข้อเสนอแนะของระบบควบคุมการเคลื่อนที่ของเครน

#### 6.1 สรุปผลการทดลอง

1. จากการทดลองการควบคุมการเคลื่อนที่ของเครนซึ่งมีตัวควบคุมที่ได้ถูกออกแบบโดยกำหนดให้  $R=200$  และ  $Q = \text{diag}([1000 \ 1 \ 1000 \ 1 \ 1])$  เมื่อกำหนดให้รถเครนเคลื่อนที่ไปเป็นระยะทาง 1.3 เมตร และ มีความยาวเชือกคองที่ (ในกรณีแรก) และมีความยาวเชือกเปลี่ยนแปลง (ในกรณีที่ 2) เพื่อหลบหลีกสิ่งกีดขวาง พบว่า ระบบในกรณีแรก จะเข้าสู่ สถานะคงตัวได้เร็วกว่าระบบในกรณีที่ 2 ในขณะที่มีมุมของการแกว่งที่น้อยกว่าโดยจะมีมุมในการแกว่งสูงสุดที่ 0.09 rad สำหรับระบบในกรณีที่ 2 นั้น จะมีการแกว่งสูงสุดที่ 0.14 rad ในขณะที่ rise time จะมีค่าใกล้เคียงกัน คือประมาณ 2.5 วินาที โดยมี maximum overshoot ของระบบในกรณีที่ 1 ประมาณ 15 % และระบบในกรณีที่ 2 ประมาณ 19 %

#### 6.2 ข้อเสนอแนะ

1. ในการออกแบบระบบควบคุมแบบ LQR นั้น ลักษณะของผลตอบสนองที่ได้จะขึ้นอยู่กับความต้องการของผู้ออกแบบว่า ต้องการให้ผลตอบสนองของแต่ละสเตปเป็นอย่างไร ซึ่งผู้ออกแบบควรลองเปลี่ยนค่า Q และ R หลาย ๆ ค่า เพื่อที่จะหาค่าที่เหมาะสมที่สุดของระบบควบคุมนั้น ๆ
2. ควรพัฒนาตัวควบคุมแบบต่างๆ มาทดลองใช้กับระบบ เพื่อการศึกษาและทำความเข้าใจในทฤษฎีของระบบควบคุมต่อไป
3. การใช้รีเลย์มาควบคุมมอเตอร์นั้น จะควบคุมให้การเปลี่ยนแปลงของความยาวเชือกมีค่าถูกต้องนั้น จะทำได้ยากถ้ามีวงจรมอเตอร์มาควบคุมแทนที่ วงจรรีเลย์ จะมีความถูกต้องกว่า



ภาคผนวก ก. การใช้งานการ์ตูนเตอร์เฟส PCL 714

เอกสารนี้เป็นเอกสารที่สงวนไว้สำหรับการใช้งานเพื่อการศึกษาเท่านั้น ไม่อนุญาตให้นำไปใช้ประโยชน์ด้านการค้า  
ไม่ว่ากรณีใดๆ ทั้งสิ้น อีกทั้งห้ามมิให้ดัดแปลงเนื้อหาและต้องอ้างอิงถึงเจ้าของเอกสารทุกครั้งที่มีการนำไปใช้

Advantech Co., Ltd. reserves the right to make improvements in the products described in this manual at any time and without notice. All rights are reserved. No part of this manual may be reproduced, copied, translated, or transmitted, in any form or by any means without the prior written permission of Advantech Co., Ltd. Information provided in this manual is intended to be accurate and reliable. However, Advantech assumes no responsibility for its use; nor for any infringements of rights of third parties which may result from its use.

PC-LabCard is a trademark of Advantech Co., Ltd.  
 IBM and PC are trademarks International Business Machines Corporation.  
 MS-DOS is a trademark of Microsoft Corporation.  
 BASIC is a trademark of Dartmouth College.

00714-90001

March, 1988 Rev. 2B

Table of Contents

- 1. INTRODUCTION TO THE PCL-714.....1
  - 1.1. General Description.....1
  - 1.2. Features, Applications and Specifications.....2
- 2. INSTALLATION.....5
  - 2.1. Initial Inspection.....5
  - 2.2. Base Address Selection.....5
  - 2.3. Connector Pin Assignments.....7
  - 2.4. DMA Acknowledge and Request.....10
  - 2.5. Installing The PCL-714.....11
  - 2.6. Signal Connection.....12
    - 2.6.1. Analog Signal Connection...12
    - 2.6.2. Digital Signal Connection..14
- 3. REGISTER STRUCTURE AND FORMAT.....16
- 4. A/D CONVERSION.....18
  - 4.1. Data Format.....18
  - 4.2. Trigger Mode.....19
    - 4.2.1. Direct Trigger Mode.....19
    - 4.2.2. Pacer Trigger Mode.....19
- 5. D/A CONVERSION.....21
- 6. DIGITAL I/O.....22
- 7. PROGRAMMABLE INTERVAL TIMER.....23
  - 7.1. The Intel 8253.....23
  - 7.2. The Control Byte.....23
  - 7.3. Mode Definitions.....25
  - 7.4. Loading and Reading The Counters..28

Appendices

เอกสารนี้เป็นเอกสารที่สงวนไว้สำหรับการใช้งานเพื่อการศึกษาเท่านั้น ไม่อนุญาตให้นำไปใช้ประโยชน์ด้านการค้า  
 ไม่ว่ากรณีใดๆ ทั้งสิ้น อีกทั้งห้ามมิให้ช่วยเผยแพร่เอกสารนี้ไปยังผู้อื่นโดยเด็ดขาด  
 A: I/O Port Address Map.....33

## 1. INTRODUCTION TO THE PCL-714

### 1.1. General Description

The PCL-714 Super-Lab card is a high performance analog/digital I/O card that offers 5 most desirable measurement and control functions on a single board.

Its versatile functions include 16 differential analog inputs, 2 analog outputs (one is optional), 16 digital inputs, 16 digital outputs and a programmable interval timer.

Designed with engineering advancement and user satisfaction in mind, this full size card specially offers 14 bit resolution for both D/A and A/D conversion and turns the IBM PC\* into a high precision voltage measurement and signal analysis instrument. In addition to its highly condensed features, the versatility of the card can be further enhanced with the use of optional daughter cards such as PCLD-780, PCLD-782 and PCLD-785.

The PCLD-785 is a 16-channel relay output card which can be driven by the digital output of the PCL-714 card. The PCLD-782 is a 16-channel opto-isolated digital input card which provides an easy way to input digital data to the PCL-714. The PCLD-780 wiring terminal board allows analog and/or digital I/O's be easily connected to the PCL-714. All three daughter boards can be connected

directly to the PCL-714 via 20 pin flat ribbon cables.

As a further convenience in your application, the PCL-714 card is also supported by the PC-LabDAS, a menu driven data acquisition software and the UnkelScope, a powerful waveform analysis software.

Together with all the features and supports, the PCL-714 is intended to provide a total and cost effective solution for your application need.

\* IBM PC is a trademark of International Business Machines Corporation.

### 1.2. Features, Applications and Specifications

#### Features

- . 16 differential analog input with 14 bit resolution
- . 2 analog output with 14 bit resolution
- . Hardware successive approximation for faster conversion time and higher throughput
- . A/D conversion time less than 40 microseconds
- . 16 digital input channels
- . 16 digital output channels
- . 16 digital input and output channels are

เอกสารนี้เป็นเอกสารที่สงวนไว้สำหรับใช้ภายในเท่านั้น เมื่ออนุญาตให้นำไปใช้ประโยชน์ด้านการค้า ไม่ว่าจะกรณีใดๆ ทั้งสิ้น อีกทั้งห้ามมิให้เจ้าของเอกสารทุกครั้งที่มีการนำไปใช้

- . TTL compatible
- . Programmable interval timer
- . Programmable pacer trigger

#### Applications

- . Industrial measurements/automation
- . Laboratory measurements/automation
- . Signal analysis
- . Process control/monitoring
- . Contact closure monitoring
- . Switch panel status sense
- . Industrial on/off control
- . BCD interface
- . Digital I/O control
- . Period and pulse width measurement
- . Event and frequency counting

#### Specifications

##### Analog to Digital

Input Range : -5V to +5V  
 Input Channels : 16 differential  
 Accuracy : 0.15% max. at 25 deg.C.  
 Input Impedance: > 10 mega Ohms  
 Conversion Time: < 40 microsecond  
 Resolution : 14 bits

##### Digital to Analog

Output Range : Bipolar -5V to +5V  
 Output Channels: 1 standard, 1 optional  
 Accuracy : 0.1% max. at 25 deg.C.  
 Settling time : < 30 microsecond for 5V step  
 Resolution : 14 bits

##### Digital Input

Input Low Level : Min. -0.5V, max. 0.8V

Input High Level: Min. 2.0V, max. 5.0V  
 Input Loading : 0.2 mA at 0.4V  
 Input Hysteresis: Typical 0.4V, min. 0.2V

##### Digital Output

Output Low Level : Max. 0.5V at 24 mA  
 (sink) Max. 0.4V at 12 mA  
 Output High Level: Min. 2.0V at 15 mA  
 (source) Min. 2.4V at 3 mA  
 Driving Capacity : 15 TTL's at least

Power Consumption : < 800 mA at 5V  
 < 50 mA at +12V  
 < 50 mA at -12V

##### General

Dimensions : 13 3/8" x 3 3/4"  
 34 cm x 9.5 cm  
 Bus : IBM PC bus  
 Slot : One 62-pin slot  
 I/O Port Base Address :  
 Hex 200 - hex 3F0  
 I/O Port Space Occupied: 12

+-----+  
 | CAUTION |  
 +-----+

The PCL-714 Super-Lab Card uses 4052 CMOS chips as multiplexer for analog input channels. Do not apply any voltage higher than +12.5V or lower than -5.5V. Out of limit input voltage may cause permanent damage to the multiplexer circuits.

## 2. INSTALLATION

### 2.1. Initial Inspection

Inside the shipping container, you should find this operating manual and the PCL-714 card.

The PCL-714 was carefully inspected both mechanically and electrically before shipment. It should be free of marks and scratches and in perfect electrical order on receipt.

Remove the PCL-714 interface card from its protective packaging by grasping the metal rear panel. Keep the anti vibration package since it may be used to return the card if it needs repair. The package may also be used if the card is stored outside of the computer.

The board should be handled only by the edges. The integrated circuits on the board can be damaged by static electric discharge.

### 2.2. Base Address Selection

Most of the peripheral devices and the interface adapters in the PC are controlled and sensed using the digital input and output ports. These ports are addressed using the I/O port address space of the 8088 or 80286 microcomputer.

The I/O port base address for the PCL-714 is selectable by a 5 position DIP switch. Valid

addresses are from hex 200 to hex 3F0. Refer to Figure 2.) for the location of the DIP switch (SW1).

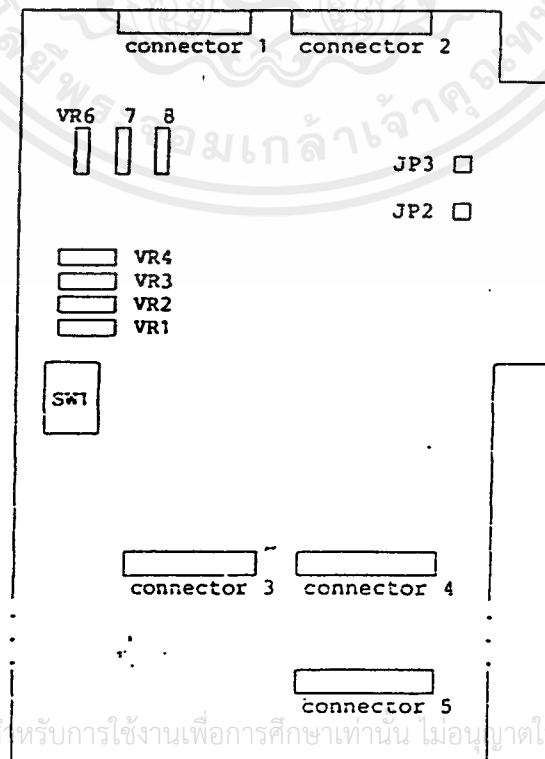


Figure 2.1 The PCL-714 Card

The required switch settings for various base addresses are illustrated as below:

- Note: - ON = 0 , OFF = 1  
 - "X" means "don't care"  
 - 1..5 are switch positions  
 - A4..A8 correspond to address lines of the PC bus. A9 is hard wired to be 1.  
 - \* means factory setting

I/O port address (Hex)	switch position				
	1 A8	2 A7	3 A6	4 A5	5 A4
200-20F	0	0	0	0	0
...					
*220-22F	0	0	0	1	0
...					
2E0-2EF	0	1	1	1	0
2F0-2FF	0	1	1	1	1
3E0-3EF	1	1	1	1	0
3F0-3FF	1	1	1	1	1

### 2.3. Connector Pin Assignments

The PCL-714 card is equipped with two 20-pin insulation displacement (mass termination) connectors accessible from the rear plate and three other 20-pin insulation displacement

connectors on board. All these connectors can be connected to flat cables of the same type. Please refer to Fig. 2.1 for the location of each connector.

The following diagrams below show their pin assignments.

Legend:

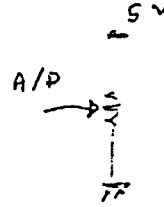
- A/D H - differential analog input high
- A/D L - differential analog input low
- D/A - analog output
- D/O - digital output
- D/I - digital input
- GND - ground
- CLK - the clock input for the 8253
- GATE - the gate input for the 8253
- OUT - the signal output of the 8253

Connector 1:

A/D H	0	1	2	A/D L	0
A/D H	1	3	4	A/D L	1
A/D H	2	5	5	A/D L	2
A/D H	3	7	6	A/D L	3
A/D H	4	9	10	A/D L	4
A/D H	5	11	12	A/D L	5
A/D H	6	13	14	A/D L	6
A/D H	7	15	16	A/D L	7
A/D H	8	17	18	A/D L	8
A/D H	9	19	20	A/D L	9

Connector 2:

A/D H 10	1	2	A/D L 10
A/D H 11	3	4	A/D L 11
A/D H 12	5	6	A/D L 12
A/D H 13	7	8	A/D L 13
A/D H 14	9	10	A/D L 14
A/D H 15	11	12	A/D L 15
D/A 1	13	14	GND
D/A 2	15	16	GND
	17	18	GND
+5V	19	20	+12V



Connector 3:

D/O 0	1	2	D/O 1
D/O 2	3	4	D/O 3
D/O 4	5	6	D/O 5
D/O 6	7	8	D/O 7
D/O 8	9	10	D/O 9
D/O 10	11	12	D/O 11
D/O 12	13	14	D/O 13
D/O 14	15	16	D/O 15
GND	17	18	GND
+5V	19	20	+12V

①

②

8253 " TIMER  
COUNTER

hardware

Connector 4:

D/I 0	1	2	D/I 1
D/I 2	3	4	D/I 3
D/I 4	5	6	D/I 5
D/I 6	7	8	D/I 7
D/I 8	9	10	D/I 9
D/I 10	11	12	D/I 11
D/I 12	13	14	D/I 13
D/I 14	15	16	D/I 15
GND	17	18	GND
+5V	19	20	+12V

Connector 5:

	1	2	
	3	4	
	5	6	GATE 1
	7	8	CLK 0
	9	10	OUT 0
	11	12	GATE 0
	13	14	
	15	16	
GND	17	18	GND
+5V	19	20	

2.4. DMA Acknowledge and Request

When DMA operation is needed on the PCL-714, JP2 and JP3 are used to select the proper acknowledge signal (1-3) and request signal (1-

เอกสารนี้เป็นเอกสารที่สงวนลิขสิทธิ์ สำหรับการใช้งานเพื่อการศึกษาเท่านั้น ไม่อนุญาตให้นำไปใช้ประโยชน์ด้านการค้า  
ไม่ว่ากรณีใดๆ ทั้งสิ้น อีกทั้งห้ามมิให้ดัดแปลงเนื้อหาและต้องอ้างอิงถึงเจ้าของเอกสารทุกครั้งที่มีการนำไปใช้

JP2	. . . .	JP3	. . . .
	1 2 3		1 2 3
	DACK		DRQ

It is recommended that acknowledge signal 1 (DACK1) and request signal 1 (DRQ1) be used on the PCL-714. Please note that always select signals on the same level, for example, if DACK2 is selected, then DRQ2 must be selected.

Refer to the data sheet of the 8237 DMA controller for more detailed information on DMA operation.

## 2.5. Installing The PCL-714

POWER MUST ALWAYS BE SWITCHED OFF when removing or inserting the PCL-714 card and connecting or disconnecting cables.

Use a screw driver to remove the cover mounting screws from the rear of the system unit.

Slide the system unit's cover away from the rear and to the front. When the cover will go no further, tilt it up, remove it from the base, and set it aside.

The PCL-714 is configured at the factory for the IBM PC, PC/XT, PC/AT and all IBM PC compatibles. If you need further changes to the configuration please refer to Chapter 2. Installation.

Use a screw driver to remove the screw that secures the expansion slot cover. Save the screw for installation of the interface card.

The two rear connectors should be pressed through the rear panel first, then press the card carefully into the main board expansion slot.

Secure the PCL-714 with the 3/16" mounting screw, then attach an appropriate cable to the connector.

Slide the system unit's cover back on. Align the system unit tabs with the cover holes and reinstall the 1/4" mounting screws.

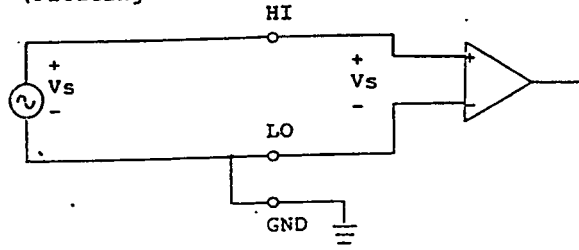
## 2.6. Signal Connection

### 2.6.1. Analog Signal Connection

PCL-714 has 16 channel differential analog inputs. It can measure 16 signal sources by scanning the channels. The differential input responds only to difference signals between the High and Low inputs.

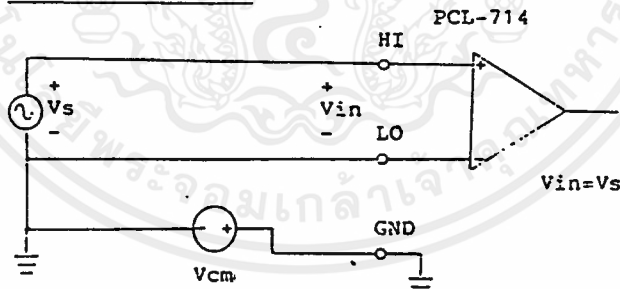
If the signal source has no connection to ground, it is called "floating source". To measure a floating source, the PCL-714 channel should be connected as:

(Floating Source)

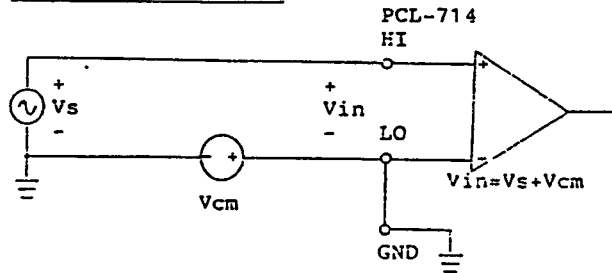


A connection must exist between LO and GND to define Common input voltage. If the signal source has one side connected to a local ground. The signal source ground and the PCL-714 ground will not be at the same voltage as they are connected through the ground return of the equipment and building wiring. The difference between the ground voltages forms a common mode voltage. To avoid the ground loop noise effect, the signal ground should be connected to PCL-714 LO input. The LO input should not be connected to PCL-714 GND directly. For better grounding, in some cases, a wire connection between the PCL-714 GND and signal source is necessary.

Correct Connection

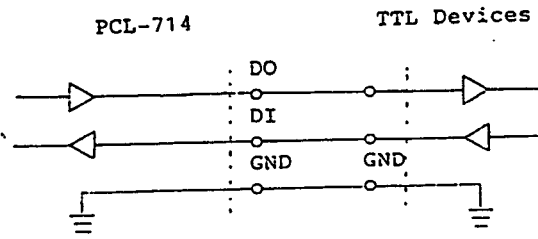


Incorrect Connection

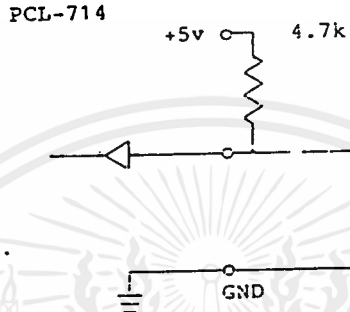


2.6.2. Digital Signal Connection-

The PCL-714 has 16 digital input and 16 digital output channels. The digital I/O levels are TTL compatible. To transmit or receive digital signals to/from other TTL devices, the connection is:



To receive an OPEN/SHORT signal from switch or relay, a pull up resistor must be added to ensure the high level when open.



### 3. REGISTER STRUCTURE AND FORMAT

The most important issue in programming the PCL-714 is understanding the meaning of the 12 registers addressable from the selected I/O port base address.

The following diagram shows the relative location of each register as to the base address and its usage.

**Legend:**

- LSB - least significant byte
- MSB - most significant byte
- R - read operation on that byte
- W - write operation on that byte

BASE+0	R	LSB or MSB of Counter 0	} 8253 timer.
	W	LSB or MSB of Counter 0	
BASE+1	R	LSB or MSB of Counter 1	} Ch.1,2 used as pacer
	W	LSB or MSB of Counter 1	
BASE+2	R	LSB or MSB of Counter 2	}
	W	LSB or MSB of Counter 2	
BASE+3	W	CONTROL BYTE	
BASE+4	R	A/D low byte	
	W	CH1 D/A low byte	
BASE+5	R	A/D high byte (bit 0-5)	
		bit 6 =1, A/D conversion not ready	
		bit 6 =0, A/D conversion ready	
	W	CH1 D/A high byte (bit 0-5)	

เอกสารนี้เป็นเอกสารที่สงวนไว้สำหรับใช้ภายในเท่านั้น ไม่อนุญาตให้นำไปใช้ประโยชน์ด้านการค้า  
 ไม่ว่ากรณีใดๆทั้งสิ้น อีกทั้งห้ามนำไปเผยแพร่โดยไม่ได้รับอนุญาตจากเจ้าของเอกสารทุกครั้งที่มีการนำไปใช้

BASE+8 Not used  
 BASE+9 Not used  
 BASE+10 W Bit 0-3 are used to select the  
 desired A/D channel  
 BASE+11 W A/D trigger mode control  
 BASE+12 Not used  
 BASE+13 W D/O channel 0-7  
 BASE+14 W D/O channel 8-15

#### 4. A/D CONVERSION

##### 4.1. Data Format

In order to perform the A/D conversion, you have to be familiar with the usage of the following four registers:

BASE+4 : This byte, together with bit 0-5 of the byte at BASE+5, form a 14 bit number which is the result of the A/D conversion. The number can be from 0 to 16383.

BASE+5 : The use of bit 0-5 is described as above. Bit 6 reflects the status of the conversion; 0 = ready, 1 = not ready.

BASE+10 Bit 0-3 of this register are used to select the desired A/D channel on which the A/D conversion will be performed. Bit 4-7 are ignored.

BASE+11 Trigger Mode Control. This register is used to make a direct trigger or to enable or disable pacer trigger.

Bit 0 : 0 No direct trigger  
 1 Make a direct trigger  
 Bit 1 : 0 Disable pacer trigger  
 1 Enable pacer trigger

## 4.2. Trigger Mode

### 4.2.1. Direct Trigger Mode

When writing a byte with bit 0 setting 1 to the register  $BASE+11$ , the A/D converter is triggered directly. A reading will be ready after A/D conversion is completed.

The following programming examples written in BASIC is to sample all the 16 A/D channels and print the results.

```

10 BASE%=&H220 'Base address
20 FOR CH%=0 TO 15
30 GOSUB 70
40 PRINT CH%,V 'Print channel no. and value
50 NEXT CH%
60 END
70 '***** A/D routine *****
80 OUT BASE%+10,CH% 'Select the channel
90 OUT BASE%+11,1 'Trigger the conversion
100 'Loop if the conversion is not complete
110 HI=INP(BASE%+5):IF HI>=64 THEN 110
120 'Read the A/D low byte
130 LO=INP(BASE%+4)
140 'Convert the value to voltage,
150 ' subtracted by 8192, because the input
160 ' is bipolar, +5V to -5V
170 V=(HI*256+LO-8192)*10/16384
180 RETURN

```

### 4.2.2. Pacer Trigger Mode

The PCL-714 has a Intel 8253 chip worked as a timer/counter. The counter channel 1 and 2 of 8253 chip are configured to be a pacer to of-

fer A/D converter trigger pulses with precise period in pacer trigger mode. To enable the pacer trigger, write a byte with bit 1 setting 1 to the register  $BASE+11$ . The following program section is used to set the sampling period:

```

OUT BASE+3,&H74
OUT BASE+1,LB1
OUT BASE+1,HB1
OUT BASE+3,&HB4
OUT BASE+2,LB2
OUT BASE+2,HB2
OUT BASE+11,2

```

The sampling period is

$$\begin{aligned}
 & ( HB1 * 256 + LB1 ) * ( HB2 * 256 + LB2 ) \\
 & * 0.5 \text{ microseconds}
 \end{aligned}$$

For example, if  $LB1=1$ ,  $HB1=0$ ,  $LB2=200$  and  $HB2=0$ , then the sampling period is 100 microseconds.

The GATE1 input of connector CN4 can be used to disable the pacer by inserting it low. This allows the pacer be gated by external signal.

## 5. D/A CONVERSION

Programming the D/A channels is easier than programming the A/D channels. All you have to do is writing the proper value of the desired output voltage into the registers.

64

The following programming examples in BASIC show how to program D/A channel *i* to generate a voltage of +3V.

```
10 'Figure out the value for the low and
20 ' high byte
30 V=3.0
40 X%= (V/10*16384)+8192
50 HI%= X%\256
60 LO%= X%-(HI%*256)
70 'Write the value into registers
80 OUT &H220+4,LO% : OUT &H220+5,HI%
90 END
```

## 6. DIGITAL I/O

On the PCL-714 card, 16 digital input channels and 16 digital output channels are provided. Four I/O ports are reserved for accessing these channels.

The four ports are allocated as:

```
BASE+6 D/I channel 0 - 7
BASE+7 D/I channel 8 - 15
BASE+13 D/O channel 0 - 7
BASE+14 D/O channel 8 - 15
```

A reading operation on any of the D/I ports will read in the value of the 8 corresponding digital input channels. To access the D/I ports in BASIC, use the following statement :

```
VALUE = INP(ADDRESS)
```

Where ADDRESS is BASE+6 or BASE+7.

A writing operation to any of the D/O ports will set the desired value on the 8 corresponding digital output channels. To access the D/O ports in BASIC, use the statement shown below:

```
OUT ADDRESS,VALUE
```

Where ADDRESS is BASE+13 or BASE+14.

## 7. PROGRAMMABLE INTERVAL TIMER

### 7.1. The Intel 8253

The Intel 8253 Programmable interval timer is used on the PCL-714 card. It is organized as 3 independent 16-bit counters, each with a count rate of up to 2.6 MHz. Each counter can be programmed to have a count from 0 up to 65,535. Each counter can also be set to operate in one of the 6 different modes of operation. All modes of operation are software programmable.

The main counter/timer functions that can be implemented with the 8253 are:

- . Programmable Rate Generator
- . Event Counter
- . Real Time Clock
- . Digital One-Shot
- . Time Delay Generator
- . Square Wave Generator

For more information regarding the 8253 programmable interval timer, please refer to the Intel Microsystem Components Handbook (Microprocessors and Peripherals Volume II).

### 7.2. The Control Byte

The 8253 programmable interval counter occupies 4 I/O address locations in the PCL-714 I/O address map as mentioned in Section 3.1. Their addresses are :

Address	Register Type	Description
BASE+0	read/write	Counter 0
BASE+1	read/write	Counter 1
BASE+2	read/write	Counter 2
BASE+3	write only	Control Byte

Before loading or reading any of the individual counters, the 8253 control byte must be loaded with data setting the counter selected, the operating mode, the type of read or write operation that will be performed, and the modulus (binary or BCD).

The format of the Control Byte is:

bit	7	6	5	4	3	2	1	0
	SC1	SC0	RL1	RL0	M2	M1	M0	BCD

SC1-0 : Select counter.

SC1	SC0	Counter
0	0	0
0	1	1
1	0	2
1	1	illegal

RL1-0 : Select the read or load operation

RL1	RL0	Operation
0	0	Counter latch
0	1	read/load LSB
1	0	read/load MSB
1	1	read/load LSB first, then MSB.

The Counter latch command is used to read back the value of a Counter without disturbing the count in progress.

M2-0 : Select the operating mode

M2	M1	M0	Mode
0	0	0	0
0	0	1	1
X	1	0	2
X	1	1	3
1	0	0	4
1	0	1	5

See Section 3.3.3 for the definition of each mode.

BCD : Selects binary or BCD counting

BCD	Type
0	binary counter 16-bits
1	BCD counter

If the modulus is set to be binary, the count can be any number from 0 up to 65,535. If the modulus is set to be BCD (binary coded decimal), then the count can be set as any number from 0 to 9,999.

### 7.3. Mode Definitions

The definitions of the six operating modes are described here. Refer to the data sheet of the 8253 for more details.

#### Mode 0: Interrupt On Terminal Count

The output will be initially low after the mode set operation. After the count is loaded into the selected count register, the output will remain low and the counter will count. When terminal count is reached, the output will go high and remain high until the selected counter is reloaded with the mode or a new count is loaded. The counter continues to decrement after terminal count has been reached.

Rewriting a counter register during counting results in the following:

1. Write 1st byte stops the current counting.
2. Write 2nd byte starts the new count.

#### Mode 1: Programmable One-Shot

The output will go low on the count following the rising edge of the gate input. The output will go high on the terminal count. If a new count value is loaded while the output is low, it will not affect the duration of the one-shot pulse until the succeeding trigger. The current count can be read at any time without affecting the one-shot pulse.

The one-shot is retriggerable, hence the output will remain low for the full count after any rising edge of the gate input.

#### Mode 2: Rate Generator

Divide by N counter. The output will be low

for one period of the input clock. The period from one output pulse to the next equals the number of input counts in the counter register. If the count register is reloaded between output pulses, the present period will not be affected, but the subsequent period will reflect the new value.

The gate input, when low, will force the output high. When the gate input goes high, the counter will start from the initial count. Thus, the gate input can be used to synchronize the counter.

When this mode is set, the output will remain high until after the count register is loaded. The output then can also be synchronized by software.

### Mode 3: Square Wave Rate Generator

Similar to mode 2, except that the output will remain high until one half the count has been completed (for even numbers) and go low for the other half of the count. This is accomplished by decrementing the counter by two on the falling edge of each clock pulse. When the counter reaches terminal count, the state of the output is changed and the counter is reloaded with the full count and the whole process is repeated.

If the count is odd and the output is high, the first clock pulse (after the count is loaded) decrements the count by 1. Subsequent clock pulses decrement the count by 2. After timeout, the output goes low and the full count is reloaded. The first clock

pulse (following the reload) decrements the counter by 3. Subsequent clock pulses decrement the count by two until timeout. Then the whole process is repeated. In this way, if the count is odd, the output will be high for  $(N+1)/2$  counts and low for  $(N-1)/2$  counts.

### Mode 4: Software Triggered Strobe

After the mode is set, the output will be high. When the count is loaded, the counter will begin counting. On terminal count, the output will go low for one input clock period, then will go high again.

If the count register is reloaded during counting, the new count will be loaded on the next CLK pulse. The count will be inhibited while the GATE input is low.

### Mode 5: Hardware Triggered Strobe

The counter will start counting after the rising edge of the trigger input and will go low for one clock period when the terminal count is reached. The counter is retriggerable. The output will not go low until the full count after the rising edge of any trigger.

1. For each Counter, The Control Byte must be written before the initial count is written.
2. The initial count must follow the count format specified in the Control Byte (LSB only, MSB only or LSB first then MSB).

Since the Control Byte register and the three counters have separate addresses and each Control Byte specifies the Counter it applies to (by SC1 and SC0), no special instruction sequence is required. Any programming sequence that follows the conventions above is acceptable.

A new initial count may be written to a Counter at any time without affecting the Counter's programmed mode in any way. Counting will be affected as described in the mode definitions. The new count must follow the programmed count format.

If a Counter is programmed to read/load two byte counts, the following precaution applies: A program must not transfer control between writing the first and second byte to another routine which also writes into that same Counter. Otherwise, the Counter will be loaded with an incorrect count.

Some programming examples in BASIC:

```

10 'Set base address
20 BASE%=&H220
30 'Control byte for Counter 0:
40 'Write LSB only, mode=3, BCD=0
50 OUT BASE%+3,&H16
60 'Output LSB=10

70 LSB%=10
80 OUT BASE%,LSB%
90 'Control bytes for Counter 1 and 2
100 'Write LSB first, then MSB, mode=1, BCD=0
110 OUT BASE%+3,&H72 'For Counter 1
120 OUT BASE%+3,&HB2 'For Counter 2
130 'X% is the count for both counters
140 X%=1000
150 MSB%=INP(X%/256) 'Figure out the MSB
160 LSB%=X%-(256*MSB%) 'Figure out the LSB
170 OUT BASE%+1,LSB% 'Load Counter 1 LSB
180 OUT BASE%+1,MSB% 'Load Counter 1 MSB
190 OUT BASE%+2,LSB% 'Load Counter 2 LSB
200 OUT BASE%+2,MSB% 'Load Counter 2 MSB
210 END

```

It is often desirable to read the value of a Counter without disturbing the count in progress. Usually, the method used is called the Counter Latch Command method which allows the user to read the latched count value of the selected Counter.

The command is written into the Control Byte Register and has the format shown below. The command applies to the Counter selected by the SC1 and SC2 bit in the Control Byte. And the command distinguishes itself from other commands by setting bit 4 and 5 to 0.

bit	7	6	5	4	3	2	1	0
	SC1	SC0	0	0	X	X	X	X

SC1-0: Select the desired Counter

X: Means don't care  
 The instruction sequence is:

เอกสารนี้เป็นเอกสารที่สงวนลิขสิทธิ์ของมหาวิทยาลัยเทคโนโลยีพระจอมเกล้าธนบุรี ไม่อนุญาตให้นำไปใช้ประโยชน์ด้านการค้า  
 ไม่ว่าจะกรณีใดๆ ทั้งสิ้น อีกทั้งยังขอสงวนสิทธิ์ในข้อมูลและข้อมูลอ้างอิงถึงเจ้าของเอกสารทุกครั้งที่มีการนำไปใช้

1. Load the Control Byte
2. Read the less significant byte
3. Read the most significant byte

Some programming examples in BASIC:

```

10 PORT%=&H220 'Counter. 0 address
20 'Load LSB then MSB, mode=0, BCD=0
30 OUT PORT%+3,&H30 'Control byte
40 L%=0: H%=32: CNT%=H%*256+L%
50 OUT PORT%,L% 'Load LSB
60 OUT PORT%,H% 'Load MSB
70 T1=TIMER 'Get current time
80 'Control byte for read the count
90 OUT PORT%+3,0
100 'Read the LSB and MSB
110 C= INP(PORT%)+INP(PORT%)*256
120 IF C<CNT% GOTO 90
130 'Print lapsed time and frequency
140 T=TIMER-T1
150 PRINT T,CNT%/T
160 END

```

#### Appendix A: I/O Port Address Map

I/O address range (Hex)	Uses
000-1FF	used by base system board
200	not used
201	game control
202-277	not used
278-27F	second printer port
280-2F7	not used
2F8-2FF	COM2
300-377	not used
378-37F	printer port
380-3AF	not used
3B0-3BF	monochrome and printer
3C0-3CF	not used
3D0-3DF	color & graphics
3E0-3EF	not used
3F0-3F7	5 1/4 inch diskette drive
3F8-3FF	COM1



ภาคผนวก ข. การใช้งานไอซี LM 629

เอกสารนี้เป็นเอกสารที่สงวนไว้สำหรับการใช้งานเพื่อการศึกษาเท่านั้น ไม่อนุญาตให้นำไปใช้ประโยชน์ด้านการค้า  
ไม่ว่ากรณีใดๆ ทั้งสิ้น อีกทั้งห้ามมิให้ดัดแปลงเนื้อหาและต้องอ้างอิงถึงเจ้าของเอกสารทุกครั้งที่มีการนำไปใช้

## LM628/LM629 Precision Motion Controller

### General Description

The LM628/LM629 are dedicated motion-control processors designed for use with a variety of DC and brushless DC servo motors, and other servomechanisms which provide a quadrature incremental position feedback signal. The parts perform the intensive, real-time computational tasks required for high performance digital motion control. The host control software interface is facilitated by a high-level command set. The LM628 has an 8-bit output which can drive either an 8-bit or a 12-bit DAC. The components required to turn a servo system are reduced to the DC motor/actuator, an incremental encoder, a DAC, a power amplifier, and the LM628. An LM629-based system is similar, except that it provides an 8-bit PWM output for directly driving H-switches. The parts are fabricated in NMOS and packaged in a 28-pin dual in-line package or a 24-pin surface mount package (LM629 only). Both 5 MHz and 8 MHz maximum frequency versions are available with the suffixes -8 and -8, respectively, used to designate the versions. They incorporate an SDA core processor and cells designed by SDA.

### Features

- 32-bit position, velocity, and acceleration registers
- Programmable digital PID filter with 15- $\mu$ s coefficients
- Programmable derivative sampling interval
- 8- or 12-bit DAC output data (LM628)
- 8-bit sign-magnitude PWM output data (LM629)
- Internal trapezoidal velocity profile generator
- Velocity, target position, and filter parameters may be changed during motion
- Position and velocity modes of operation
- Real-time programmable host interface
- 5-bit parallel asynchronous host interface
- Quadrature incremental encoder interface with index pulse input
- Available in a 28-pin dual in-line package or a 24-pin surface mount package (LM629 only)

TM62828 is a registered trademark of National Semiconductor Corporation.

LM628/LM629 Precision Motion Controller

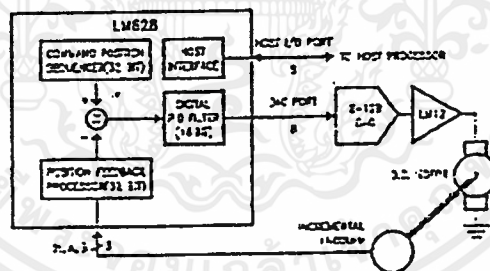
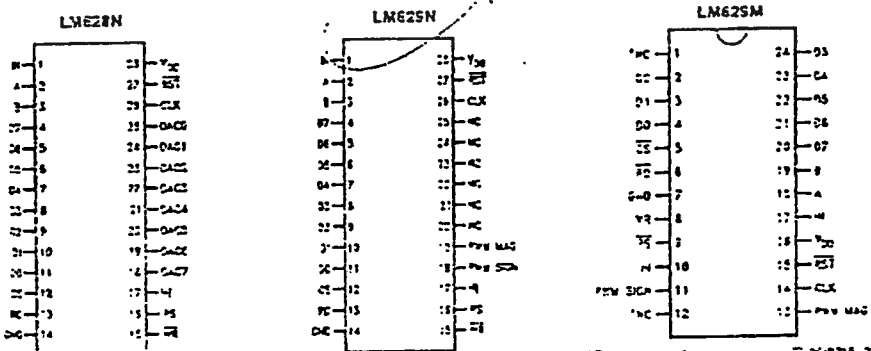


FIGURE 1. Typical System Block Diagram

### Connection Diagrams



Order Number LM629SM-6, LM629N-8, LM628N-6, LM628N-8, LM629N-6 or LM629N-8  
See NS Package Number M24B or M28E

เอกสารนี้เป็นเอกสารที่สงวนไว้สำหรับการใช้งานเพื่อการศึกษาเท่านั้น ไม่อนุญาตให้นำไปใช้ประโยชน์ด้านการค้า ไม่ว่าจะกรณีใดๆ ทั้งสิ้น อีกทั้งห้ามมิให้ดัดแปลงเนื้อหาและต้องอ้างอิงถึงเจ้าของเอกสารทุกครั้งที่มีการนำไปใช้

**Absolute Maximum Ratings** (Note 1)

If Military/Aerospace specified devices are required, please contact the National Semiconductor Sales Office/Distributors for availability and specifications.

Voltage at Any Pin with Respect to GND	-0.3V to +7.0V
Ambient Storage Temperature	-55°C to +150°C
Lead Temperature	
25-pin Dual in-Line Package (Soldering, 4 sec.)	260°C
24-pin Surface Mount Package (Soldering, 10 sec.)	300°C
Maximum Power Dissipation (T <sub>A</sub> < 95°C, Note 2)	605 mW
ESD Tolerance (C <sub>ZAP</sub> = 120 pF, R <sub>ZAP</sub> = 1.5k)	2000V

**Operating Ratings**

Temperature Range	-40°C < T <sub>A</sub> < +85°C
Clock Frequency:	
LME29N-6, LM629N-6, LM629M-6	1.0 MHz < f <sub>CLK</sub> < 6.0 MHz
LME29N-8, LMS29N-8, LM629M-8	1.0 MHz < f <sub>CLK</sub> < 2.0 MHz
V <sub>DD</sub> Range	4.5V < V <sub>DD</sub> < 5.5V

**DC Electrical Characteristics** (V<sub>DD</sub> and T<sub>A</sub> per Operating Ratings; f<sub>CLK</sub> = 6 MHz)

Symbol	Parameter	Conditions	Tested Limits		Units
			Min	Max	
I <sub>DD</sub>	Supply Current	Outputs Open		110	mA
<b>INPUT VOLTAGES</b>					
V <sub>I1</sub>	Logic 1 Input Voltage		2.0		V
V <sub>I0</sub>	Logic 0 Input Voltage			0.8	V
I <sub>IN</sub>	Input Currents	0 < V <sub>IN</sub> < V <sub>DD</sub>	-10	10	μA
<b>OUTPUT VOLTAGES</b>					
V <sub>OH</sub>	Logic 1	I <sub>OH</sub> = -1.5 mA	2.4		V
V <sub>OL</sub>	Logic 0	I <sub>OL</sub> = 1.5 mA		0.4	V
I <sub>OUT</sub>	TRI-STATE* Output Leakage Current	0 < V <sub>OUT</sub> < V <sub>DD</sub>	-10	10	μA

**AC Electrical Characteristics**

(V<sub>DD</sub> and T<sub>A</sub> per Operating Ratings; f<sub>CLK</sub> = 6 MHz; C<sub>L,LOAD</sub> = 50 pF; Input Test: Signal t<sub>r</sub> = t<sub>f</sub> = 10 ns)

Timing Interval	T <sub>r</sub>	Tested Limits		Units
		Min	Max	
<b>ENCODER AND INDEX TIMING (See Figure 2)</b>				
Motor-Phase Pulse Width	T1	$\frac{16}{f_{CLK}}$		ns
Dwell-Time per State	T2	$\frac{8}{f_{CLK}}$		ns
Index Pulse Setup and Hold (Relative to A and B Low)	T3	0		ns
<b>CLOCK AND RESET TIMING (See Figure 3)</b>				
Clock Pulse Width	T4	LMS29N-6, LMS29N-8, LMS29M-6	78	ns
		LMS29N-8, LMS29M-8, LMS29M-8	57	ns
Clock Period	T5	LMS29N-6, LMS29N-8, LMS29M-6	168	ns
		LMS29N-8, LMS29M-8, LMS29M-8	125	ns
Reset Pulse Width	T6	$\frac{8}{f_{CLK}}$		ns

เอกสารนี้เป็นเอกสารที่สงวนไว้สำหรับการใช้งานเพื่อการศึกษาเท่านั้น ไม่อนุญาตให้นำไปใช้ประโยชน์ด้านการค้า ไม่ว่าจะกรณีใดๆ ทั้งสิ้น อีกทั้งห้ามมิให้ดัดแปลงเนื้อหาและต้องอ้างอิงถึงเจ้าของเอกสารทุกครั้งที่มีการนำไปใช้

AC Electrical Characteristics (Continued)				
$V_{DD}$ and $T_A$ per Operating Ratings; $f_{CLK} = 6\text{ MHz}$ ; $C_{LOAD} = 50\text{ pF}$ ; Input Test Signal $t_r = t_f = 10\text{ ns}$				
Timing Interval	T#	Tested Limits		Units
		Min	Max	
<b>STATUS BYTE READ TIMING (See Figure 4)</b>				
Chip-Select Setup/Hold Time	T7	0		ns
Port-Select Setup Time	T8	30		ns
Port-Select Hold Time	T9	30		ns
Read Data Access Time	T10		180	ns
Read Data Hold Time	T11	0		ns
$\overline{RD}$ High to Hi-Z Time	T12		180	ns
<b>COMMAND BYTE WRITE TIMING (See Figure 5)</b>				
Chip-Select Setup/Hold Time	T7	0		ns
Port-Select Setup Time	T8	30		ns
Port-Select Hold Time	T9	30		ns
Busy Bt Delay	T13		(Note 3)	ns
$\overline{WR}$ Pulse Width	T14	100		ns
Write Data Setup Time	T15	50		ns
Write Data Hold Time	T16	120		ns
<b>DATA WORD READ TIMING (See Figure 5)</b>				
Chip-Select Setup/Hold Time	T7	0		ns
Port-Select Setup Time	T8	30		ns
Port-Select Hold Time	T9	30		ns
Read Data Access Time	T10		180	ns
Read Data Hold Time	T11	0		ns
$\overline{RD}$ High to Hi-Z Time	T12		180	ns
Busy Bt Delay	T13		(Note 3)	ns
Read Recovery Time	T17	120		ns
<b>DATA WORD WRITE TIMING (See Figure 7)</b>				
Chip-Select Setup/Hold Time	T7	0		ns
Port-Select Setup Time	T8	30		ns
Port-Select Hold Time	T9	30		ns
Busy Bt Delay	T13		(Note 3)	ns
$\overline{WR}$ Pulse Width	T14	100		ns
Write Data Setup Time	T15	50		ns
Write Data Hold Time	T16	120		ns
Write Recovery Time	T18	120		ns
<p>Note 1: Absolute Maximum Ratings indicate limits beyond which damage to the device may occur. DC and AC electrical specifications do not apply when operating the device beyond the 100°C Operating Ratings.</p> <p>Note 2: When operating at ambient temperatures above 70°C, the device must be protected against excessive junction temperature. Mounting the package on a printed circuit board having an area greater than three square inches and surrounding the mask and body with wire copper traces and large, uninterconnected areas of copper, such as a ground plane, surface. The 28-pin DIP and the 24-pin surface mount package (M) are molded plastic packages with solid copper lead frames. Most of the heat generated at the die flows from the die, through the solder mask frame, and into copper traces on the printed circuit board. The copper traces act as a heat sink. Double-sided or multi-layer boards provide heat transfer characteristics superior to those of single-sided boards.</p> <p>Note 3: In order to read the busy bit, the status byte must first be read. The time required to read the busy bit bit exceeds the time the chip requires to set the busy bit. It is, therefore, impossible to test actual busy bit delay. The busy bit is guaranteed to be valid as soon as the user is able to read it.</p>				

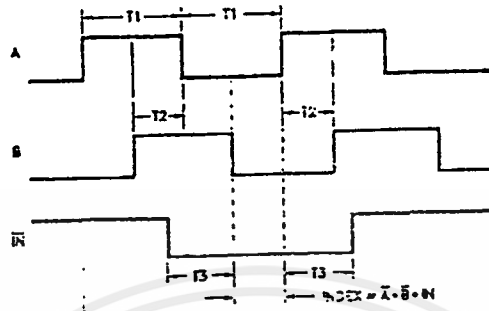


FIGURE 2. Quadrature Encoder Input Timing

TUM/9218-1

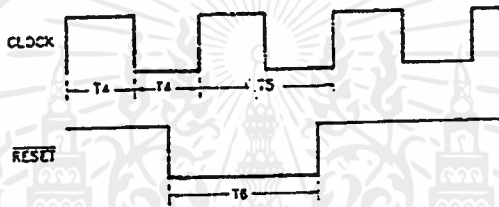


FIGURE 3. Clock and Reset Timing

TUM/9218-3

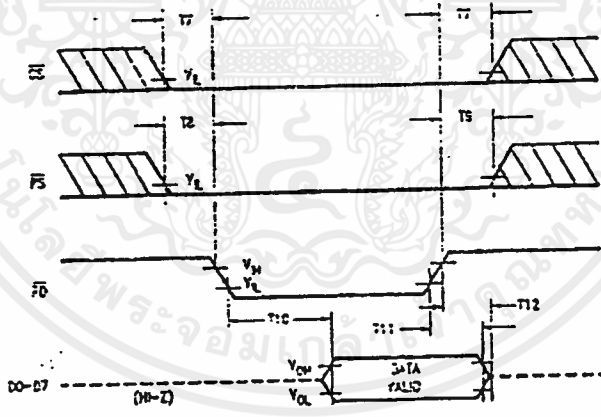
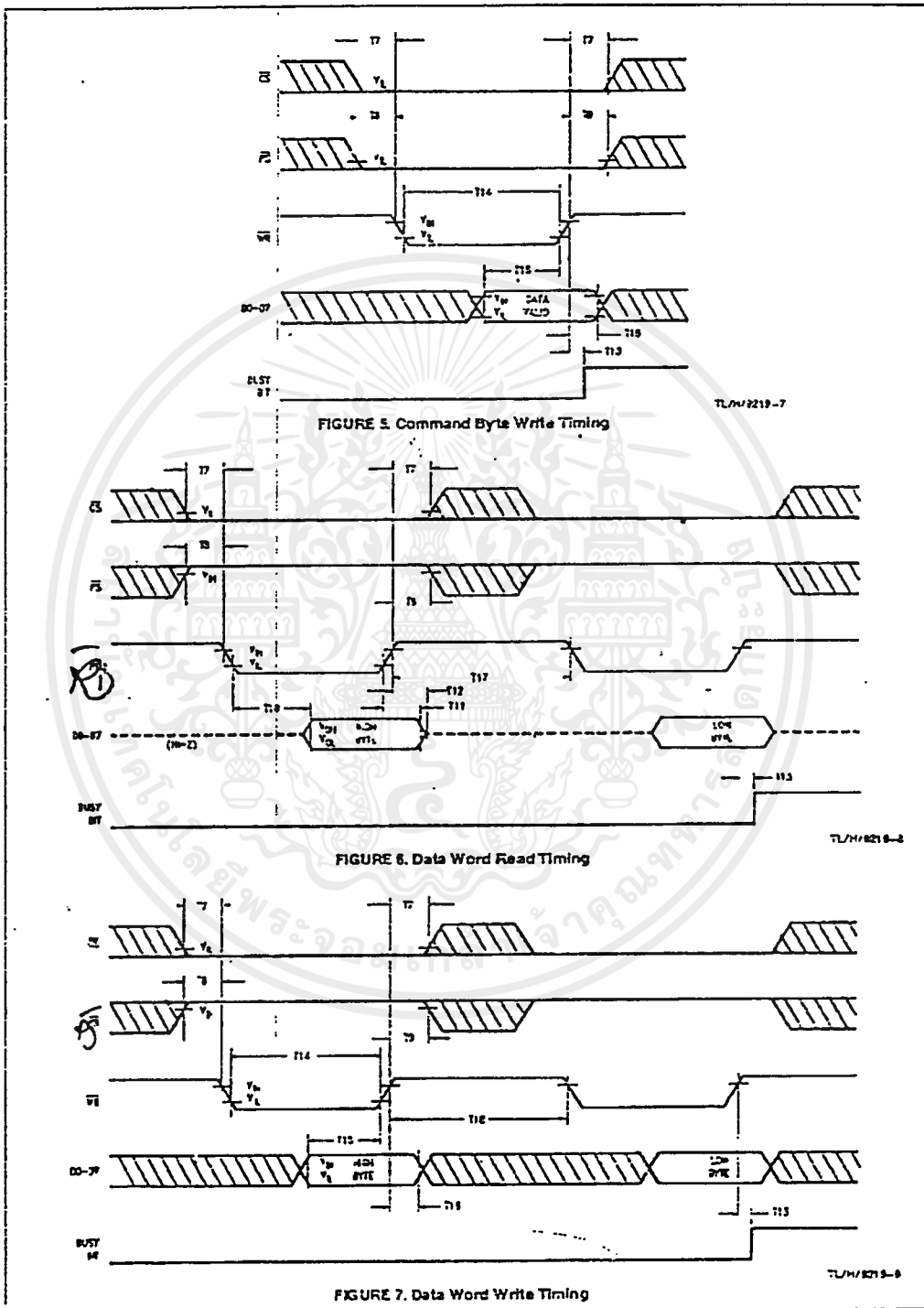


FIGURE 4. Status Byte Read Timing

TUM/9218-4

เอกสารนี้เป็นเอกสารที่สงวนไว้สำหรับการใช้งานเพื่อการศึกษาเท่านั้น ไม่อนุญาตให้นำไปใช้ประโยชน์ด้านการค้า  
 ไม่ว่ากรณีใดๆ ทั้งสิ้น อีกทั้งห้ามมิให้ดัดแปลงเนื้อหาและต้องอ้างอิงถึงเจ้าของเอกสารทุกครั้งที่มีการนำไปใช้



เอกสารนี้เป็นเอกสารที่สงวนไว้สำหรับการใช้งานเพื่อการศึกษาเท่านั้น ไม่อนุญาตให้นำไปใช้ประโยชน์ด้านการค้า  
ไม่ว่ากรณีใดๆทั้งสิ้น อีกทั้งห้ามมิให้ดัดแปลงเนื้อหาและต้องอ้างอิงถึงเจ้าของเอกสารทุกครั้งที่มีการนำไปใช้

## Pinout Description

(See Connection Diagrams) Pin numbers for the 24-pin surface mount package are indicated in parentheses.

**Pin 1 (17), Index (IN) Input:** Receives optional index pulse from the encoder. Must be tied high if not used. The index position is read when Pins 1, 2, and 3 are low.

**Pins 2 and 3 (18 and 19), Encoder Signal (A, B) Inputs:** Receive the two-phase quadrature signals provided by the incremental encoder. When the motor is rotating in the positive ("forward") direction, the signal at Pin 2 leads the signal at Pin 3 by 90 degrees. Note that the signals at Pins 2 and 3 must remain at each encoder state for a minimum of 8 clock periods in order to be recognized. Because of a four-to-one resolution advantage gained by the method of decoding the quadrature encoder signals, this corresponds to a maximum encoder-state capture rate of  $100 \text{ MFS} (f_{\text{CLK}} = 2.0 \text{ MHz})$  or  $750 \text{ KHz} (f_{\text{CLK}} = 8.0 \text{ MHz})$ . For every clock frequency the encoder signals must also remain at each state a minimum of 8 clock periods.

**Pins 4 to 11 (22 to 24 and 2 to 4), Host I/O Port (D0 to D7):** Bidirectional data port which connects to host computer/processor. Used for writing commands and data to the LM629, and for reading the status byte and data from the LM629, as controlled by CS (Pin 12), PS (Pin 13), RD (Pin 14), and WR (Pin 15).

**Pin 12 (5), Chip Select (CS) Input:** Used to select the LM629 for writing and reading operations.

**Pin 13 (5), Read (RD) Input:** Used to read status and data.

**Pin 14 (7), Ground (GND):** Power-supply return pin.

**Pin 15 (6), Write (WR) Input:** Used to write commands and data.

**Pin 16 (9), Port Select (PS) Input:** Used to select command or data port. Selects command port when low, data port when high. The following procedures controlled by Pin 16:

1. Commands are written to the command port (Pin 15 low).
2. Status byte is read from command port (Pin 16 low), and
3. Data is written and read via the data port (Pin 16 high).

**Pin 17 (10), Host Interrupt (HI) Output:** This active-high signal alerts the host (via a host interrupt service routine) that an interrupt condition has occurred.

**Pins 18 to 25, DAC Port (DAC0 to DAC7):** Output port which is used in three different modes:

1. LM628 (8-bit output mode): Outputs latched data to the DAC. The MSB is Pin 18 and the LSB is Pin 25.
2. LM628 (12-bit output mode): Outputs two, multiplexed 6-bit words. The less-significant word is output first. The MSB is on Pin 18 and the LSB is on Pin 23. Pin 24 is used to demultiplex the words; Pin 24 is low for the less-significant word. The positive-going edge of the signal on Pin 25 is used to strobe the output data. Figure 8 shows the timing of the multiplexed signals.
3. LM629 (sign/magnitude output): Outputs a PWM sign signal on Pin 18 (11 for surface mount), and a PWM magnitude signal on Pin 19 (10 for surface mount). Pins 20 to 25 are not used in the LM629. Figure 11 shows the PWM output signal format.

**Pin 25 (14), Clock (CLK) Input:** Receives system clock.

**Pin 27 (15), Reset (RST) Input:** Active-low, positive-edge triggered, resets the LM628 to the initial conditions shown below. Note that the reset pulse must be logic low for a minimum of 8 clock periods. Reset does the following:

1. Filter coefficient and trajectory parameters are zeroed.
2. Sets position error threshold to maximum value (7FFF hex), and effectively disables command LPEL.
3. The SBPA/SBPR interrupt is masked (disabled).
4. The five other interrupts are unmasked (enabled).
5. Initializes current position to zero "home" position.
6. Sets derivative sampling interval to  $2248/f_{\text{CLK}}$  or 250  $\mu\text{s}$  for an 8.0 MHz clock.
7. DAC port outputs 800 hex to "zero" a 12-bit DAC and then reverts to 80 hex to "zero" an 8-bit DAC.

Immediately after releasing the reset on from the LM628, the status port should read "00". If the reset is successfully completed, the status word will change to hex "B4" or "C4" within 1.5 ms. If the status word has not changed from hex "00" to "B4" or "C4" within 1.5 ms, perform another reset and repeat the above steps. To be certain that the reset was properly performed, execute a RSTH command. If the chip has reset properly, the status byte will change from hex "B4" or "C4" to hex "20" or "C0". If this does not occur, perform another reset and repeat the above steps.

**Pin 28 (16), Supply Voltage (VDD):** Power supply voltage (+5V).

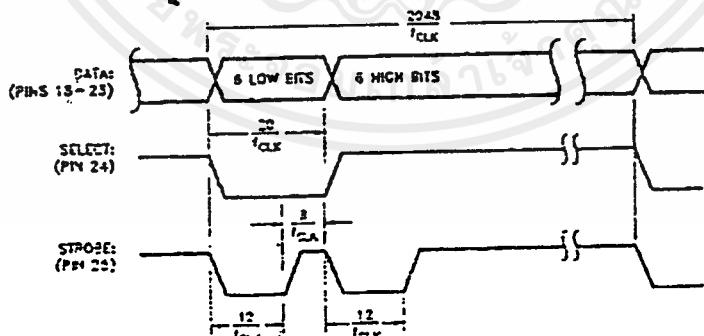


FIGURE 8. 12-Bit Multiplexed Output Timing

TJ-7228-10

## Theory of Operation

### INTRODUCTION

The typical system block diagram (See Figure 7) illustrates a servo system built using the LM628. The host processor communicates with the LM628 through an I/O port to facilitate programming a trapezoidal velocity profile and a digital compensation filter. The DAC output interfaces to an external digital-to-analog converter to produce the signal that is power amplified and applied to the motor. An incremental encoder provides feedback for closing the position servo loop. The trapezoidal velocity profile generator calculates the required trajectory for either position or velocity mode of operation. In operation, the LM628 subtracts the actual position (feedback position) from the desired position (profile generator position), and the resulting position error is processed by the digital filter to drive the motor to the desired position. Table I provides a brief summary of specifications offered by the LM628/LM629.

### POSITION FEEDBACK INTERFACE

The LM628 interfaces to a motor via an incremental encoder. Three inputs are provided: two quadrature signal inputs,

and an index pulse input. The quadrature signals are used to keep track of the absolute position of the motor. Each time a logic transition occurs at one of the quadrature inputs, the LM628 internal position register is incremented or decremented accordingly. This provides four times the resolution over the number of lines provided by the encoder. See Figure 9. Each of the encoder signal inputs is synchronized with the LM628 clock.

The optional index pulse output provided by some encoders assumes the logic-low state once per revolution. If the LM628 is so programmed by the user, it will record the absolute motor position in a dedicated register (the index register) at the time when all three encoder inputs are logic low. If the encoder does not provide an index output, the LM628 index input can also be used to record the home position of the motor. In this case, typically, the motor will close a switch which is arranged to cause a logic-low level at the index input, and the LM628 will record motor position in the index register and alert (interrupt) the host processor. Permanently grounding the index input will cause the LM628 to malfunction.

TABLE I System Specifications Summary

Position Range	- 1,073,741,824 to 1,073,741,823 counts
Velocity Range	0 to 1,073,741,823/2 <sup>18</sup> counts/sample; i.e. 0 to 16,383 counts/sample, with a resolution of 1/2 <sup>18</sup> counts/sample
Acceleration Range	0 to 1,073,741,823/2 <sup>16</sup> counts/sample/sample; i.e. 0 to 16,383 counts/sample/sample, with a resolution of 1/2 <sup>16</sup> counts/sample/sample
Motor Drive Output	LM628: 8-bit parallel output to DAC, or 12-bit multiplexed output to DAC LM629: 8-bit PWM sign/magnitude signals
Operating Modes	Position and Velocity
Feedback Device	Incremental Encoder (quadrature signals; support for index pulse)
Control Algorithm	Proportional Integral Derivative (PID) (plus programmable integration time)
Sample Intervals	Derivative Term: Programmable from 2048/CLK to (2048 * 256)/CLK in steps of 2048/CLK (256 to 65,536 $\mu$ s for an 8.0 MHz clock). Proportional and Integral: 2048/CLK

Theory of Operation (Continued)

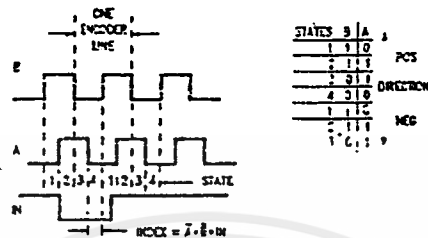
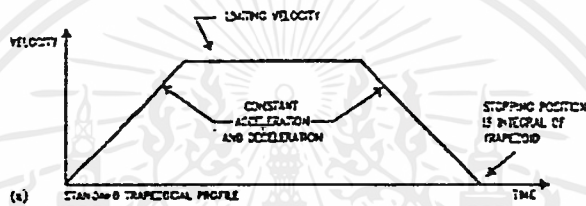


FIGURE 9. Quadrature Encoder Signals

TL/MS218-11



(a) STANDARD TRAPEZOIDAL PROFILE



(b) MODIFIED TRAPEZOIDAL PROFILE

FIGURE 10. Typical Velocity Profiles

TL/MS218-12

VELOCITY PROFILE (TRAJECTORY) GENERATION

The trapezoidal velocity profile generator computes the desired position of the motor versus time. In the position mode of operation, the host processor specifies acceleration, maximum velocity, and final position. The LMS2B uses this information to affect the move by accelerating as specified until the maximum velocity is reached or until deceleration must begin to stop at the specified final position. The deceleration rate is equal to the acceleration rate. At any time during the move the maximum velocity and/or the target position may be changed, and the motor will accelerate or decelerate accordingly. Figure 10 illustrates two typical trapezoidal velocity profiles. Figure 10 (a) shows a simple trapezoid, while Figure 10 (b) is an example of what the trajectory looks like when velocity and position are changed at different times during the move.

When operating in the velocity mode, the motor accelerates to the specified velocity at the specified acceleration rate and maintains the specified velocity until commanded to stop. The velocity is maintained by advancing the desired position at a constant rate. If there are disturbances to the motion during velocity mode operation, the long-time average velocity remains constant. If the motor is unable to maintain the specified velocity (which could be caused by a locked rotor, for example), the desired position will continue to be increased, resulting in a very large position error. If this

condition goes undetected, and the impeding force on the motor is subsequently released, the motor could reach a very high velocity in order to catch up to the desired position (which is still advancing as specified). This condition is easily detected; see commands LPB and LPES.

All trajectory parameters are 32-bit values. Position is a signed quantity. Acceleration and velocity are specified as 16-bit, positive-only integers having 16-bit fractions. The integer portion of velocity specifies how many counts per sampling interval the motor will traverse. The fractional portion designates an additional fractional count per sampling interval. Although the position resolution of the LMS2B is limited to integer counts, the fractional counts provide increased average velocity resolution. Acceleration is treated in the same manner. Each sampling interval the commanded acceleration value is added to the current desired velocity to generate a new desired velocity (unless the command velocity has been reached).

One determines the trajectory parameters for a desired move as follows. If, for example, one has a 500-line shaft encoder, desires that the motor accelerate at one revolution per second per second until it is moving at 500 rpm, and then decelerate to a stop at a position exactly 100 revolutions from the start, one would calculate the trajectory parameters as follows:

**Theory of Operation (Continued)**

let  $P$  = target position (units = encoder counts)  
 let  $R$  = encoder lines \* 4 (system resolution)  
 then  $R = 500 * 4 = 2000$   
 and  $P = 2000 * \text{desired number of revolutions}$   
 $P = 2000 * 100 \text{ revs} = 200,000 \text{ counts (value to load)}$   
 $P$  (coding) = 0003D40 (hex code written to LM628)

let  $V$  = velocity (units = counts/sample)  
 let  $T$  = sample time (seconds) = 341  $\mu$ s (with 6 MHz clock)  
 let  $C$  = conversion factor = 1 minute/60 seconds  
 then  $V = R * T * C * \text{desired rpm}$   
 and  $V = 2000 * 341E-6 * 1/60 * 600 \text{ rpm}$   
 $V = 6.92 \text{ counts/sample}$   
 $V$  (scaled) = 6.92 \* 65,536 = 448,955.52  
 $V$  (rounded) = 448,955 (value to load)  
 $V$  (coding) = 0096D1EC (hex code written to LM628)

let  $A$  = acceleration (units = counts/sample/sample)  
 $A = R * T * T * \text{desired acceleration (rev/sec/sec)}$   
 then  $A = 2000 * 341E-6 * 341E-6 * 1 \text{ rev/sec/sec}$   
 and  $A = 2.33E-4 \text{ counts/sample/sample}$   
 $A$  (scaled) = 2.33E-4 \* 65,536 = 15.24  
 $A$  (rounded) = 15 (value to load)  
 $A$  (coding) = 0000000F (hex code written to LM628)

The above position, velocity, and acceleration values must be converted to binary codes to be loaded into the LM628. The values shown for velocity and acceleration must be multiplied by 65,536 (as shown) to adjust for the required integer/fractional format of the input data. Note that after scaling the velocity and acceleration values, literal fractional data cannot be loaded; the data must be rounded and converted to binary. The factor of four increase in system resolution is due to the method used to decode the quadrature encoder signals, see Figure 9.

**PID COMPENSATION FILTER**

The LM628 uses a digital Proportional Integral Derivative (PID) filter to compensate the control loop. The motor is held at the desired position by applying a restoring force to the motor that is proportional to the position error, plus the integral of the error, plus the derivative of the error. The following discrete-time equation illustrates the control performed by the LM628:

$$u(n) = k_p * e(n) + k_i \sum_{N=0}^n e(n) + k_d [e(n) - e(n-1)] \quad \text{(Eq. 1)}$$

where  $u(n)$  is the motor control signal output at sample time  $n$ ,  $e(n)$  is the position error at sample time  $n$ ,  $n'$  indicates sampling at the derivative sampling rate, and  $k_p$ ,  $k_i$ , and  $k_d$  are the discrete-time filter parameters loaded by the users.

The first term, the proportional term, provides a restoring force proportional to the position error, just as does a spring obeying Hooke's law. The second term, the integration term, provides a restoring force that grows with time, and thus ensures that the static position error is zero. If there is

a constant torque loading, the motor will still be able to achieve zero position error.

The third term, the derivative term, provides a force proportional to the rate of change of position error. It acts just like viscous damping in a damped spring and mass system (like a shock absorber in an automobile). The sampling interval associated with the derivative term is user-selectable; this capability enables the LM628 to control a wider range of inertial loads (system mechanical time constants) by providing a better approximation of the continuous derivative. In general, longer sampling intervals are useful for low-velocity operations.

In operation, the filter algorithm receives a 16-bit error signal from the loop summing junction. The error signal is saturated at 15 bits to ensure predictable behavior. In addition to being multiplied by filter coefficient  $k_p$ , the error signal is added to an accumulation of previous errors (to form the integral signal) and, at a rate determined by the chosen derivative sampling interval, the previous error is subtracted from it (to form the derivative signal). All filter multiplications are 16-bit operations; only the bottom 16 bits of the product are used.

The integral signal is maintained to 24 bits, but only the top 16 bits are used. This scaling technique results in a more usable (less sensitive) range of coefficient  $k_i$  values. The 16 bits are right-shifted eight positions and multiplied by filter coefficient  $k_i$  to form the term which contributes to the motor control output. The absolute magnitude of the product is compared to coefficient  $k_i$ , and the lesser, appropriately signed magnitude then contributes to the motor control signal.

The derivative signal is multiplied by coefficient  $k_d$  each derivative sampling interval. The product contributes to the motor control output every sample interval, independent of the user-chosen derivative sampling interval.

The  $k_p$ , limited  $k_i$ , and  $k_d$  product terms are summed to form a 16-bit quantity. Depending on the output mode (wordsize), either the top 8 or top 12 bits become the motor control output signal.

**LM628 READING AND WRITING OPERATIONS**

The host processor writes commands to the LM628 via the host I/O port when Port Select (FS) input (Pin 15) is logic low. The desired command code is applied to the parallel port line and the Write (WR) input (Pin 15) is strobed. The command byte is latched into the LM628 on the rising edge of the WR input. When writing command bytes it is necessary to first read the status byte and check the state of a flag called the "busy bit" (Bit 0). If the busy bit is logic high, no command write may take place. The busy bit is never high longer than 120  $\mu$ s, and typically falls within 15  $\mu$ s to 25  $\mu$ s.

The host processor reads the LM628 status byte in a similar manner: by strobing the Read (RD) input (Pin 13) when FS (Pin 15) is low; status information remains valid as long as RD is low.

Writing and reading data to/from the LM628 (as opposed to writing commands and reading status) are done with FS (Pin 15) logic high. These writes and reads are always an integral number (from one to seven) of two-byte words, with the first byte of each word being the more significant. Each byte requires a write (WR) or read (RD) strobe. When transferring data words (byte-pairs), it is necessary to first read the status byte and check the state of the busy bit. When the

**Theory of Operation (Continued)**

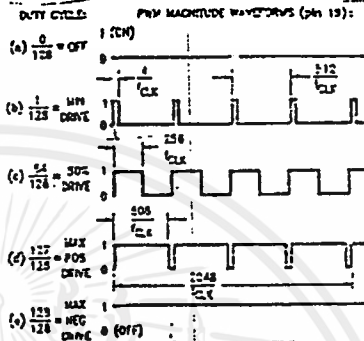
busy bit is logic low, the user may then sequentially transfer both bytes comprising a data word, but the busy bit must again be checked and found to be low before attempting to transfer the next byte pair (when transferring multiple words). Data transfers are accomplished via LM528-internal interrupts (which are not nested); the busy bit informs the host processor when the LM528 may not be interrupted for data transfer (or a command byte). If a command is written when the busy bit is high, the command will be ignored.

The busy bit goes high immediately after writing a command byte, or reading or writing a second byte of data (See Figures 5 thru 7).

**MOTOR OUTPUTS**

The LM528 DAC output pin can be configured to provide either a latched eight-bit parallel output or a multiplexed 12-bit output. The 8-bit output can be directly connected to a flow-through (non-input-latching) D/A converter; the 12-bit output can be easily demultiplexed using an external 8-bit latch and an input-latching 12-bit D/A converter. The DAC output data is digital-binary coded; the 8-bit code for zero is 80 hex and the 12-bit code for zero is 800 hex. Values less than these cause a negative torque to be applied to the motor and, conversely, larger values cause positive motor torque. The LM528, when configured for 12-bit output, provides signals which control the demultiplexing process. See Figure 8 for details.

The LM529 provides 8-bit, sign and magnitude PWM output signals for directly driving switch-mode motor-drive amplifiers. Figure 11 shows the format of the PWM magnitude output signal.



Note: Sign output (pin 12) not shown.

FIGURE 11. PWM Output Signal Format

TABLE II. LM528 User Command Set

Command	Type	Description	Hex	Data Bytes	Note
RESET	Initialize	Reset LM528	30	0	1
PORT8	Initialize	Select 8-Bit Output	05	0	2
PORT12	Initialize	Select 12-Bit Output	05	0	2
DFH	Initialize	Define Home	C2	0	1
SIP	Interrupt	Set Index Position	C3	0	1
LPEI	Interrupt	Interrupt on Error	1B	2	1
LFES	Interrupt	Stop on Error	1A	2	1
SEPA	Interrupt	Set Breakpoint, Absolute	20	4	1
SEPR	Interrupt	Set Breakpoint, Relative	21	4	1
MSKI	Interrupt	Mask Interrupts	1C	2	1
RSTI	Interrupt	Reset Interrupts	1D	2	1
LFIL	Filter	Load Filter Parameters	1E	2 to 10	1
UCF	Filter	Update Filter	C4	0	1
LTRJ	Trajectory	Load Trajectory	1F	2 to 14	1
STT	Trajectory	Start Motion	C1	0	3
RDSTAT	Report	Read Status Byte	None	1	1, 4
RDSIGS	Report	Read Signals Register	CC	2	1
RDIP	Report	Read Index Position	C9	4	1
RDOP	Report	Read Desired Position	C8	4	1
RDRP	Report	Read Real Position	0A	4	1
RDCV	Report	Read Desired Velocity	07	4	1
RDRV	Report	Read Real Velocity	08	2	1
RDSUM	Report	Read Integration Sum	0D	2	1

Note 1: Commands may be executed "On the Fly" during motion.

Note 2: Commands not applicable to execution during motion.

Note 3: Commands may be executed during motion if acceleration parameter was not changed.

Note 4: Commands receive no code because the command start code-byte read is totally successful by hardware.

## User Command Set

### GENERAL

The following paragraphs describe the user command set of the LM529. Some of the commands can be issued alone and some require a supporting data structure. As examples, the command STT (STArT motion) does not require additional data; command LFIL (Load FILter parameters) requires additional data (derivative-term sampling interval and/or filter parameters).

Commands are categorized by function: initialization, interrupt control, filter control, trajectory control, and data reporting. The commands are listed in Table II and described in the following paragraphs. Along with each command name is its command-byte code, the number of accompanying data bytes that are to be written (or read), and a comment as to whether the command is executable during motion.

### Initialization Commands

The following four LM529 user commands are used primarily to initialize the system for use.

#### RESET COMMAND: RESET the LM529

Command Code: 03 Hex  
Data Bytes: None  
Executable During Motion: Yes

This command (and the hardware reset input, Pin 27) results in setting the following data items to zero: filter coefficients and their input buffers, trajectory parameters and their input buffers, and the motor control output. A zero motor control output is a half-scale, offset-binary code: 80 hex for the 8-bit output mode; 800 hex for 12-bit mode). During reset, the DAC port outputs 800 hex to "zero" a 12-bit DAC and reverts to 80 hex to "zero" an 8-bit DAC. The command also clears five of the six interrupt masks (only the SBAF/SBPR interrupt is masked), sets the output port size to 8 bits, and defines the current absolute position as home. Reset, which may be executed at any time, will be completed in less than 1.5 ms. Also see commands PORT8 and PORT12.

#### PORT8 COMMAND: Set Output PORT Size to 8 Bits

Command Code: 05 Hex  
Data Bytes: None  
Executable During Motion: Not Applicable

The default output port size of the LM529 is 8 bits; so the PORT8 command need not be executed when using an 8-bit DAC. This command must not be executed when using a 12-bit converter; it will result in erratic, unpredictable motor behavior. The 8-bit output port size is the required selection when using the LM529, the PWM-output version of the LM529.

#### PORT12 COMMAND: Set Output PORT Size to 12 Bits

Command Code: 06 Hex  
Data Bytes: None  
Executable During Motion: Not Applicable

When a 12-bit DAC is used, command PORT12 should be issued very early in the initialization process. Because use of the command is determined by system hardware, there is only one foreseen reason to execute it later: if the RESET command is issued (because an 8-bit output would then be selected as the default) command PORT12 should be im-

mediately executed. This command must not be issued when using an 8-bit converter or the LM529, the PWM-output version of the LM529.

#### DFH COMMAND: DeFINE Home

Command Code: 02 Hex  
Data Bytes: None  
Executable During Motion: Yes

This command defaults the current position as "home", or absolute position 0 (zero). If DFH is executed during motion it will not affect the stopping position of the on-going move unless command STT is also executed.

### Interrupt Control Commands

The following seven LM529 user commands are associated with conditions which can be used to interrupt the host computer. In order for any of the potential interrupt conditions to actually interrupt the host via Pin 17, the corresponding bit in the interrupt mask data associated with command MSK must have been set to logic high (the non-masked state).

The identity of all interrupts is made known to the host via reading and parsing the status byte. Since all interrupts are masked off via command MSK, the state of each condition is still reflected in the status byte. This feature facilitates polling the LM529 for status information, as opposed to interrupt driven operation.

#### SIP COMMAND: Set Index Position

Command Code: 04 Hex  
Data Bytes: None  
Executable During Motion: Yes

After this command is executed, the absolute position which corresponds to the occurrence of the next index pulse input will be recorded in the index register, and bit 3 of the status byte will be set to logic high. The position is recorded when both encoder-phase inputs and the index pulse input are logic low. This register can then be used by the user (see description for command RDIP) to facilitate aligning the definition of home position (see description of command DFH) with an index pulse. The user can also arrange to have the LM529 interrupt the host to signify that an index pulse has occurred. See the descriptions for commands MSK and RSTL.

#### LPEI COMMAND: Load Position Error or Interrupt

Command Code: 18 Hex  
Data Bytes: Two  
Data Range: 0000 to 7FFF Hex  
Executable During Motion: Yes

An excessive position error (the output of the loop summing junction) can indicate a serious system problem; e.g., a stalled rotor. Instruction LPEI allows the user to input a threshold for position error detection. Error detection occurs when the absolute magnitude of the position error exceeds the threshold, which results in bit 5 of the status byte being set to logic high. If it is desired to shut off the motor upon detecting excessive position error, see command LPES, below. The first byte of threshold data written with command LPEI is the more significant. The user can have the LM529 interrupt the host to signify that an excessive position error has occurred. See the descriptions for commands MSK and RSTL.

## Interrupt Control Commands (Continued)

### LPES COMMAND: Load Position Error for Stopping

Command Code: 1A Hex  
 Data Bytes: Two  
 Data Range: 0000 to 7FFF Hex  
 Executable During Motion: Yes

Instruction LPES is essentially the same as command LPEI above, but adds the feature of turning off the motor upon detecting excessive position error. The motor drive is not actually switched off, it is set to half-scale, the offset-binary code for zero. As with command LPEI, bit 5 of the status byte is also set to logic high. The first byte of threshold data written with command LPES is the more significant. The user can have the LM628 interrupt the host to signify that an excessive position error has occurred. See the descriptions for commands MSKI and RSTL.

### SBPA COMMAND:

Command Code: 20 Hex  
 Data Bytes: Four  
 Data Range: 00000000 to 3FFFFFFF Hex  
 Executable During Motion: Yes

This command enables the user to set a breakpoint in terms of absolute position. Bit 6 of the status byte is set to logic high when the breakpoint position is reached. This condition is useful for signaling trajectory and/or filter parameter updates. The user can also arrange to have the LM628 interrupt the host to signify that a breakpoint position has been reached. See the descriptions for commands MSKI and RSTL.

### SBPR COMMAND:

Command Code: 21 Hex  
 Data Bytes: Four  
 Data Range: See Text  
 Executable During Motion: Yes

This command enables the user to set a breakpoint in terms of relative position. As with command SBPA, bit 6 of the status byte is set to logic high when the breakpoint position (relative to the current commanded target position) is reached. The relative breakpoint input value must be such that when this value is added to the target position the result remains within the absolute position range of the system (00000000 to 3FFFFFFF hex). This condition is useful for signaling trajectory and/or filter parameter updates. The user can also arrange to have the LM628 interrupt the host to signify that a breakpoint position has been reached. See the descriptions for commands MSKI and RSTL.

### MSKI COMMAND: MaSK Interrupts

Command Code: 1C Hex  
 Data Bytes: Two  
 Data Range: See Text  
 Executable During Motion: Yes

The MSKI command lets the user determine which potential interrupt condition(s) will interrupt the host. Bits 1 through 6 of the status byte are indicators of the six conditions which are candidates for host interrupt(s). When interrupted, the host then reads the status byte to learn which condition(s) occurred. Note that the MSKI command is immediately followed by two data bytes. Bits 1 through 6 of the second (less significant) byte written determine the masked/unmasked status of each potential interrupt. Any zero(s) in this

6-bit field will mask the corresponding interrupt(s); any one(s) enable the interrupt(s). Other bits comprising the two bytes have no effect. The mask controls only the host interrupt process; reading the status byte will still reflect the actual conditions independent of the mask byte. See Table III.

TABLE III. Mask and Reset Bit Allocations for Interrupts

Bit Position	Function
Bits 15 thru 7	Not Used
Bit 6	Breakpoint Interrupt
Bit 5	Position-Error Interrupt
Bit 4	Wrap-Around Interrupt
Bit 3	Index-Pulse Interrupt
Bit 2	Trajectory-Complete Interrupt
Bit 1	Command-Error Interrupt
Bit 0	Not Used

### RSTL COMMAND: ReSet Interrupts

Command Code: 1D Hex  
 Data Bytes: Two  
 Data Range: See Text  
 Executable During Motion: Yes

When one of the potential interrupt conditions of Table III occurs, command RSTL is used to reset the corresponding interrupt flag bit in the status byte. The host may reset one or all flag bits. Resetting them one at a time allows the host to service them one at a time according to a priority programmed by the user. As in the MSKI command, bits 1 through 6 of the second (less significant) byte correspond to the potential interrupt conditions shown in Table III. Also see description of ROSTAT command. Any zero(s) in this 6-bit field reset the corresponding interrupt(s). The remaining bits have no effect.

## Filter Control Commands

The following two LM628 user commands are used for setting the derivative-term sampling interval, for adjusting the filter parameters as required to tune the system, and to control the timing of these system changes.

### LFIL COMMAND: Load Filter Parameters

Command Code: 1E Hex  
 Data Bytes: Two to Ten  
 Data Ranges ...  
 Filter Control Word: See Text  
 Filter Coefficients: 0000 to 7FFF Hex (Pos Only)  
 Integration Limit: 0000 to 7FFF Hex (Pos Only)  
 Executable During Motion: Yes

The filter parameters (coefficients) which are written to the LM628 to control loop compensation are:  $k_c$ ,  $k_d$ , and  $k_i$  (integration limit). The integration limit ( $k_i$ ) constrains the contribution of the integration term

$$k_i \cdot \sum_{N=0}^n e(n)$$

(see Eq. 1) to values equal to or less than a user-defined maximum value; this capability minimizes integral or reset "wind-up" (an overshooting effect of the integral action). The positive-only input value is compared to the absolute

**Filter Control Commands (Continued)**

magnitude of the integration term; when the magnitude of integration term value exceeds *i*, the *ii* value (with appropriate sign) is substituted for the integration term value.

The derivative-term sampling interval is also programmable via this command. After writing the command code, the first two data bytes that are written specify the derivative-term sampling interval and which of the four filter parameters is/are to be written via any forthcoming data bytes. The first byte written is the more significant. Thus the two data bytes constitute a filter control word that informs the LM628 as to the nature and number of any following data bytes. See Table IV.

**TABLE IV. Filter Control word Bit Allocation**

Bit Position	Function
Bit 15	Derivative Sampling Interval Bit 7
Bit 14	Derivative Sampling Interval Bit 8
Bit 13	Derivative Sampling Interval Bit 5
Bit 12	Derivative Sampling Interval Bit 4
Bit 11	Derivative Sampling Interval Bit 2
Bit 10	Derivative Sampling Interval Bit 2
Bit 9	Derivative Sampling Interval Bit 1
Bit 8	Derivative Sampling Interval Bit 0
Bit 7	Not Used
Bit 6	Not Used
Bit 5	Not Used
Bit 4	Not Used
Bit 3	Loading <i>kp</i> Data
Bit 2	Loading <i>ki</i> Data
Bit 1	Loading <i>kd</i> Data
Bit 0	Loading <i>ii</i> Data

Bits 8 through 15 select the derivative-term sampling interval. See Table V. The user must locally save and restore these bits during successive writes of the filter control word.

Bits 4 through 7 of the filter control word are not used.

Bits 0 to 3 inform the LM628 as to whether any or all of the filter parameters are about to be written. The user may choose to update any or all (or none) of the filter parameters. Those chosen for updating are so indicated by logic one(s) in the corresponding bit position(s) of the filter control word.

**TABLE V. Derivative-Term Sampling Interval Selection Codes**

Bit Position								Selected Derivative Sampling Interval
15	14	13	12	11	10	9	8	
0	0	0	0	0	0	0	0	256 $\mu$ s
0	0	0	0	0	0	0	1	512 $\mu$ s
0	0	0	0	0	0	1	0	768 $\mu$ s
0	0	0	0	0	0	1	1	1024 $\mu$ s, etc. . .
thru	1	1	1	1	1	1	1	55,536 $\mu$ s

Note: Sampling intervals shown are when using an 80 MHz clock. The 256 corresponds to 2545/8 MHz sample intervals must be scaled for other clock frequencies.

The data bytes specified by and immediately following the filter control word are written in pairs to comprise 16-bit words. The order of sending the data words to the LM628 corresponds to the descending order shown in the above description of the filter control word; i.e., beginning with *kp*, then *ki*, *kd* and *ii*. The first byte of each word is the more-significant byte. Prior to writing a word (byte pair) it is necessary to check the busy bit in the status byte for readiness. The required data is written to the primary buffers of a double-buffered scheme by the above described operations; it is not transferred to the secondary (working) registers until the UDF command is executed. This fact can be used advantageously; the user can input numerous data ahead of their actual use. This simple pipeline effect can relieve potential host computer data communications bottlenecks, and facilitates easier synchronization of multiple-axis controls.

**UDF COMMAND: UpDate Filter**

Command Code: C4 Hex  
 Data Bytes: None  
 Executable During Motion: Yes

The UDF command is used to update the filter parameters, the specifics of which have been programmed via the LFIL command. Any or all parameters (derivative-term sampling interval, *kp*, *ki*, *kd*, and/or *ii*) may be changed by the appropriate command(s), but command UDF must be executed to affect the change in filter tuning. Filter updating is synchronized with the calculations to eliminate erratic or spurious behavior.

**Trajectory Control Commands**

The following two LM628 user commands are used for setting the trajectory control parameters (position, velocity, acceleration), mode of operation (position or velocity), and direction (velocity mode only) as required to describe a desired motion or to select the mode of a manually directed stop, and to control the timing of these system changes.

**LTRJ COMMAND: Load TRAJectory Parameters**

Command Code: 1F Hex  
 Data Bytes: Two to Fourteen  
 Data Ranges . . .  
 Trajectory Control Word: See Text  
 Position: 00000000 to 3FFFFFFF Hex  
 Velocity: 00000000 to 3FFFFFFF Hex (Pos Only)  
 Acceleration: 00000000 to 3FFFFFFF Hex (Pos Only)  
 Executable During Motion: Conditionally, See Text

## Trajectory Control Commands (Continued)

The trajectory control parameters which are written to the LM628 to control motion are acceleration, velocity, and position. In addition, indications as to whether these three parameters are to be considered as absolute or relative inputs, selection of velocity mode and direction, and manual stopping mode selection and execution are programmable via this command. After writing the command code, the first two data bytes that are written specify which parameter(s) is/are being changed. The first byte written is the more significant. Thus the two data bytes constitute a trajectory control word that informs the LM628 as to the nature and number of any following data bytes. See Table VI.

TABLE VI. Trajectory Control Word Bit Allocation

Bit Position	Function
B1 15	Not Used
B1 14	Not Used
B1 13	Not Used
B1 12	Forward Direction (Velocity Mode Only)
B1 11	Velocity Mode
B1 10	Stop Smoothly (Accelerates Programmed)
B1 9	Stop Abruptly (Maximum Deceleration)
B1 8	Turn Off Motor (Output Zero Drive)
B1 7	Not Used
B1 6	Not Used
B1 5	Acceleration Will Be Loaded
B1 4	Acceleration Data Is Relative
B1 3	Velocity Will Be Loaded
B1 2	Velocity Data Is Relative
B1 1	Position Will Be Loaded
B1 0	Position Data Is Relative

Bit 12 determines the motor direction when in the velocity mode. A logic one indicates forward direction. This bit has no effect when in position mode.

Bit 11 determines whether the LM628 operates in velocity mode (Bit 11 logic one) or position mode (Bit 11 logic zero).

Bits 8 through 10 are used to select the method of *manually stopping* the motor. These bits are *not* provided for one to merely specify the desired *mode* of stopping; in position mode operations, normal stopping is always smooth and occurs automatically at the end of the specified trajectory. Under exceptional circumstances it may be desired to manually intervene with the trajectory generation process to affect a premature stop. In velocity mode operations, however, the normal means of stopping is via bits 8 through 10 (usually bit 10). Bit 8 is set to logic one to stop the motor by turning off motor drive output (outputting the appropriate off-set-binary code to apply zero drive to the motor); bit 9 is set to one to stop the motor abruptly (at maximum available acceleration, by setting the target position equal to the current position); and bit 10 is set to one to stop the motor smoothly by using the current user-programmed acceleration value. Bits 8 through 10 are to be used *exclusively*; only one bit should be a logic one at any time.

Bits 0 through 5 inform the LM628 as to whether any or all of the trajectory controlling parameters are about to be written, and whether the data should be interpreted as absolute or relative. The user may choose to update any or all (or

none) of the trajectory parameters. Those chosen for updating are so indicated by logic one(s) in the corresponding bit position(s). Any parameter may be changed while the motor is in motion; however, if acceleration is changed then the next STT command must not be issued until the LM628 has completed the current move or has been manually stopped.

The data bytes specified by and immediately following the trajectory control word are written in pairs which compose 16-bit words. Each data item (parameter) requires two 16-bit words; the word and byte order is most-to-least significant. The order of sending the parameters to the LM628 corresponds to the descending order shown in the above description of the trajectory control word; i.e., beginning with acceleration, then velocity, and finally position.

Acceleration and velocity are 32 bits, positive only, but range only from 0 (00000000 hex) to  $[2^{30}] - 1$  (3FFFFFF hex). The bottom 16 bits of both acceleration and velocity are scaled as fractional data; therefore, the least-significant integer data bit for these parameters is bit 16 (where the bits are numbered 0 through 31). To determine the coding for a given velocity, for example, one multiplies the desired velocity (in counts per sample interval) times 65,536 and converts the result to binary. The units of acceleration are counts per sample per sample. The value loaded for acceleration must not exceed the value loaded for velocity. Position is a signed, 32-bit integer, but ranges only from  $-[2^{29}]$  (C0000000 hex) to  $[2^{29}] - 1$  (3FFFFFFF hex).

The required data is written to the primary buffers of a double-buffered scheme by the above described operations; it is not transferred to the secondary (working) registers until the STT command is executed. This fact can be used advantageously; the user can input numerous data ahead of their actual use. This simple pipeline effect can remove potential host computer data communications constraints, and facilitates easier synchronization of multiple-axis controls.

### STT COMMAND: Start Motion Control

Command Code: 01 Hex

Data Bytes: None

Executable During Motion: Yes, if acceleration has not been changed

The STT command is used to execute the desired trajectory, the specifics of which have been programmed via the LTRJ command. Synchronization of multi-axis control (to within one sample interval) can be arranged by loading the required trajectory parameters for each (and every) axis and then simultaneously issuing a single STT command to all axes. This command may be executed at any time, unless the acceleration value has been changed and a trajectory has not been completed or the motor has not been manually stopped. If STT is issued during motion and acceleration has been changed, a command error interrupt will be generated and the command will be ignored.

### Data Reporting Commands

The following seven LM628 user commands are used to obtain data from various registers in the LM628. Status, position, and velocity information are reported. With the execution of ROSTAT, the data is read from the LM628 data port after first writing the corresponding command to the command port.

### Data Reporting Commands (Continued)

Bit 13, the UDF-executed flag, is set to logic one when the UDF command is executed. Because bit 13 is cleared at the end of the sampling interval in which it has been set, this signal is very short-lived and probably not very profitable for monitoring.

Bit 12, the forward direction flag, is meaningful only when the LM628 is in velocity mode. The bit is set to logic one to indicate that the desired direction of motion is "forward"; zero indicates "reverse" direction. Bit 12 is set and cleared via command LTRJ. The actual setting and clearing of bit 12 does not occur until command STT is executed.

Bit 11, the velocity mode flag, is set to logic one to indicate that the user has selected (via command LTRJ) velocity mode. Bit 11 is cleared when position mode is selected (via command LTRJ). The actual setting and clearing of bit 11 does not occur until command STT is executed.

Bit 10, the on-target flag, is set to logic one when the trajectory generator has completed its functions for the last-sus-sued STT command. Bit 10 is cleared by the next STT command.

Bit 9, the turn-off on-error flag, is set to logic one when command LPES is executed. Bit 9 is cleared by command LPEI.

Bit 8, the 8-bit output flag, is set to logic one when the LM628 is reset, or when command PORT8 is executed. Bit 8 is cleared by command PORT12.

Bits 0 through 7 replicate the status byte (see Table VII), with the exception of bit 0. Bit 0, the acquire next index flag, is set to logic one when command SIP is executed; it then remains set until the next index pulse occurs.

#### RDIP COMMAND: Read Index Position

Command Code: 09 Hex  
Bytes Read: Four  
Data Range: C0000000 to 3FFFFFFF Hex  
Executable During Motion: Yes

This command reads the position recorded in the index register. Reading the index register can be part of a system error checking scheme. Whenever the SIP command is executed, the new index position minus the old index position, divided by the incremental encoder resolution (encoder lines times four), should always be an integral number. The RDIP command facilitates acquiring these data for host-based calculations. The command can also be used to identify/verify home or some other special position. The bytes are read in most-to-least significant order.

#### RDDP COMMAND: Read Desired Position

Command Code: 08 Hex  
Bytes Read: Four  
Data Range: C0000000 to 3FFFFFFF Hex  
Executable During Motion: Yes

This command reads the instantaneous desired (current temporal) position output of the profile generator. This is the "setpoint" input to the position-loop summing junction. The bytes are read in most-to-least significant order.

#### RDRV COMMAND: Read Real Position

Command Code: CA Hex  
Bytes Read: Four  
Data Range: C0000000 to 3FFFFFFF Hex  
Executable During Motion: Yes

This command reads the current actual position of the motor. This is the feedback input to the loop summing junction. The bytes are read in most-to-least significant order.

#### RDDV COMMAND: Read Desired Velocity

Command Code: 07 Hex  
Bytes Read: Four  
Data Range: C0000001 to 3FFFFFFF  
Executable During Motion: Yes

This command reads the integer and fractional portions of the instantaneous desired (current temporal) velocity, as used to generate the desired position profile. The bytes are read in most-to-least significant order. The value read is properly scaled for numerical comparison with the user-supplied (commanded) velocity; however, because the two least-significant bytes represent fractional velocity, only the two most-significant bytes are appropriate for comparison with the data obtained via command RDRV (see below). Also note that, although the velocity input data is constrained to positive numbers (see command LTRJ), the data returned by command RDDV represents a signed quantity where negative numbers represent operation in the reverse direction.

#### RDRV COMMAND: Read Real Velocity

Command Code: 0B Hex  
Bytes Read: Two  
Data Range: C000 to 3FFF Hex. See Text  
Executable During Motion: Yes

The command reads the integer portion of the instantaneous actual velocity of the motor. The internally maintained fractional portion of velocity is not reported because the reported data is derived by reading the incremental encoder, which produces only integer data. For comparison with the result obtained by executing command RDDV (or the user-supplied input value), the value returned by command RDRV must be multiplied by  $2^{16}$  (shifted left 16 bit positions). Also, as with command RDDV above, data returned by command RDRV is a signed quantity, with negative values representing reverse-direction motion.

#### RDSUM COMMAND: Read Integration-Term SUMmation Value

Command Code: 0D Hex  
Bytes Read: Two  
Data Range: 00000 Hex to = the Current Value of the Integration Limit

Executable During Motion: Yes

This command reads the value to which the integration term has accumulated. The ability to read this value may be helpful in initially or adaptively tuning the system.

## Typical Applications

### Programming LM628 Host Handshaking (Interrupts)

A few words regarding the LM628 host handshaking will be helpful to the system programmer. As indicated in various portions of the above text, the LM628 handshakes with the host computer in two ways: via the host interrupt output (Pin 17), or via polling the status byte for "interrupt" conditions. When the hardware interrupt is used, the status byte is also read and parsed to determine which of six possible conditions caused the interrupt.

## Typical Applications (Continued)

When using the hardwired interrupt it is very important that the host interrupt service routine does not interfere with a command sequence which might have been in progress when the interrupt occurred. If the host interrupt service routine were to issue a command to the LM628 while it is in the middle of an ongoing command sequence, the ongoing command will be aborted (which could be detrimental to the application).

Two approaches exist for avoiding this problem. If one is using hardwired interrupts, they should be disabled at the host prior to issuing any LM628 command sequence, and re-enabled after each command sequence. The second approach is to avoid hardwired interrupts and poll the LM628 status byte for "interrupt" status. The status byte always reflects the interrupt-condition status, independent of whether or not the interrupts have been masked.

### Typical Host Computer/Processor Interface

The LM628 is interfaced with the host computer/processor via an 8-bit parallel bus. Figure 12 shows such an interface and a minimum system configuration.

As shown in Figure 12, the LM628 interfaces with the host data, address and control lines. The address lines are decoded to generate the LM628 CS input; the host address LSB directly drives the LM628 PS input. Figure 12 also shows an 8-bit DAC and an LM12 Power Op Amp interfaced to the LM628.

### LM628 and High Performance Controller (HPC) Interface

Figure 13 shows the LM628 interfaced to a National HPC High Performance Controller. The delay and logic associated with the WR line is used to effectively increase the write-data hold time of the HPC (as seen at the LM628) by causing the WR pulse to rise early. Note that the HPC CK2 output provides the clock for the LM628. The 74LS245 is used to decrease the read-data hold time, which is necessary when interfacing to fast host buses.

### Interfacing a 12-Bit DAC

Figure 14 illustrates use of a 12-bit DAC with the LM628. The 74LS378 hex gated-D flip-flop and an inverter complement the 12-bit output. DAC offset must be adjusted to minimize DAC linearity and monotonicity errors. Two methods exist for making this adjustment. If the DAC1210 has been socketed, remove it and temporarily connect a 15 k $\Omega$  resistor between Pins 11 and 13 of the DAC socket (Pins 2 and 6 of the LF356) and adjust the 25 k $\Omega$  potentiometer for 0V at Pin 6 of the LF356.

If the DAC is not removable, the second method of adjustment requires that the DAC1210 inputs be presented an all-zero code. This can be arranged by commanding the appropriate move via the LM628, but with no feedback from the system encoder. When the all-zero code is present, adjust the pot for 0V at Pin 6 of the LF356.

### A Monolithic Linear Drive Using LM12 Power Op Amp

Figure 15 shows a motor-drive amplifier built using the LM12 Power Operational Amplifier. This circuit is very simple and can deliver up to 8A at 30V (using the LM12/LM12CL). Resistors R1 and R2 should be chosen to set the gain to provide maximum output voltage consistent with maximum input voltage. This example provides a gain of 2.2, which allows for amplifier output saturation at  $\pm 22V$  with a  $\pm 10V$  input, assuming power supply voltages of  $\pm 30V$ . The amplifier gain should not be higher than necessary because the system is non-linear when saturated, and because gain should be controlled by the LM628. The LM12 can also be configured as a current driver; see 1987 Linear Databook, Vol. 1, p. 2-280.

### Typical PWM Motor Drive Interfaces

Figure 16 shows an LM12295 dual full-bridge driver interfaced to the LM628 PWM outputs to provide a switch-mode power amplifier for driving small brush/commutator motors. Figure 17 shows an LM621 brushless motor commutator interfaced to the LM628 PWM outputs and a discrete device switch-mode power amplifier for driving brushless DC motors.

### Incremental Encoder Interface

The incremental (position feedback) encoder interface consists of three lines: Phase A (Pin 2), Phase B (Pin 3), and Index (Pin 1). The index pulse output is not available on some encoders. The LM628 will work with both encoder types, but commands SIP and PDIF will not be meaningful without an index pulse (or alternative input for this input... be sure to tie Pin 1 high if not used).

Some consideration is merited relative to use in high Gaussian-noise environments. If noise is added to the encoder inputs (either or both inputs) and is such that it is not sustained until the next encoder transition, the LM628 decoder logic will reject it. Noise that makes quadrature counts or persists through encoder transitions must be eliminated by appropriate EMI design.

Simple digital "skirting" schemes merely reduce susceptibility to noise (there will always be noise pulses longer than the filter can eliminate). Further, any noise filtering scheme reduces decoder bandwidth. In the LM628 it was decided (since simple filtering does not eliminate the noise problem) to not include a noise filter in favor of offering maximum possible decoder bandwidth. Attempting to drive encoder signals too long a distance with simple TTL lines can also be a source of "noise" in the form of signal degradation (poor rise time and/or ringing). This can also cause a system to lose positional integrity. Probably the most effective countermeasure to noise induction can be had by using calibrated-line drivers and receivers on the encoder outputs. Figure 18 shows circuitry using the DS29LS31 and DS26LS32.

Typical Applications (Continued)

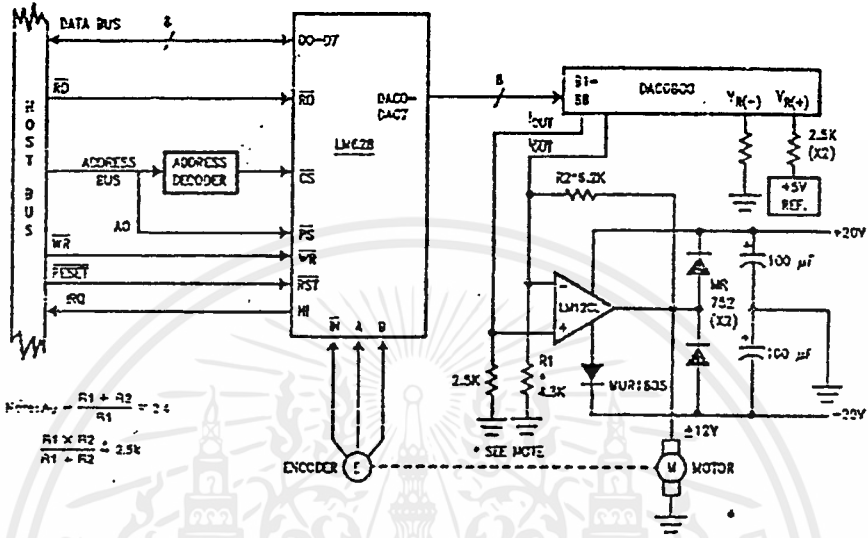


FIGURE 12. Host Interface and Minimum System Configuration

TUW/82-3-14

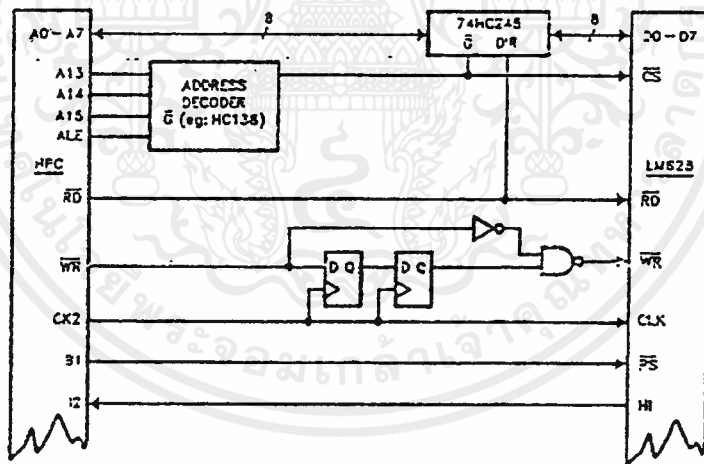


FIGURE 13. LM628 and HPC Interface

TUW/82-3-15

Typical Applications (Continued)

TL111/210-16

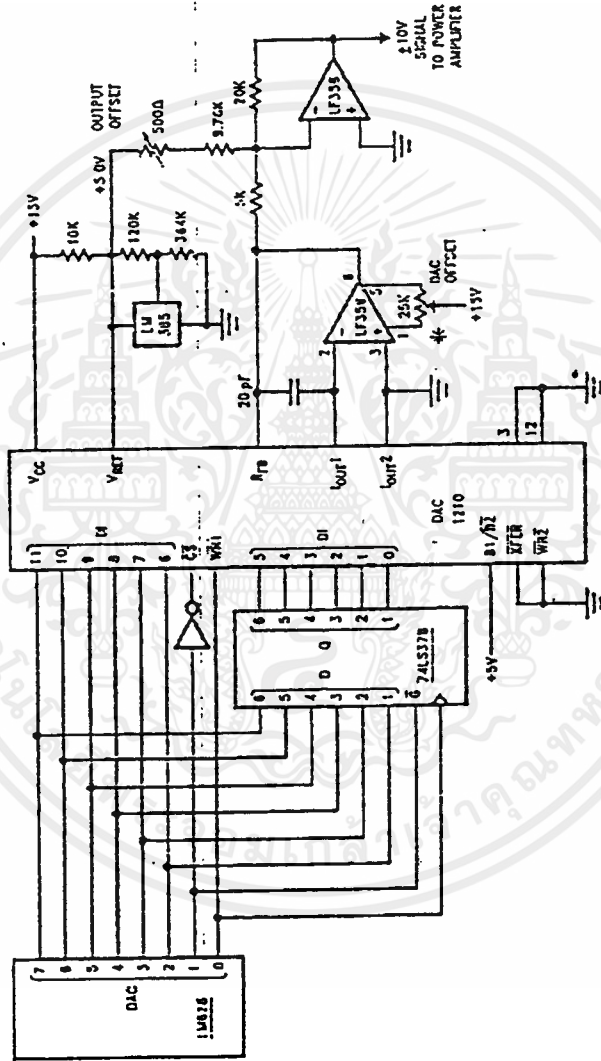


FIGURE 14. Interfacing a 12-bit DAC and 8-bit DAC

\*DAC offset must be adjusted to minimize DAC linearity and non-linearity errors. See text.

เอกสารนี้เป็นเอกสารที่สงวนไว้สำหรับการใช้งานเพื่อการศึกษาเท่านั้น ไม่อนุญาตให้นำไปใช้ประโยชน์ด้านการค้า ไม่ว่ากรณีใดๆ ทั้งสิ้น อีกทั้งห้ามมิให้ดัดแปลงเนื้อหาและต้องอ้างอิงถึงเจ้าของเอกสารทุกครั้งที่มีการนำไปใช้

Typical Applications (Continued)

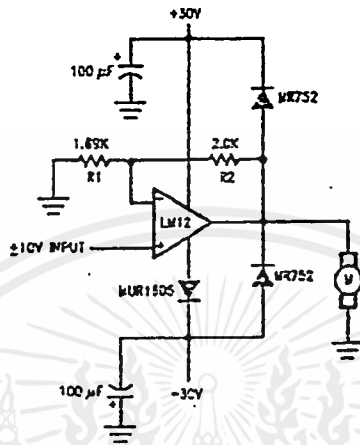


FIGURE 15. Driving a Motor with the LM12 Power Op Amp

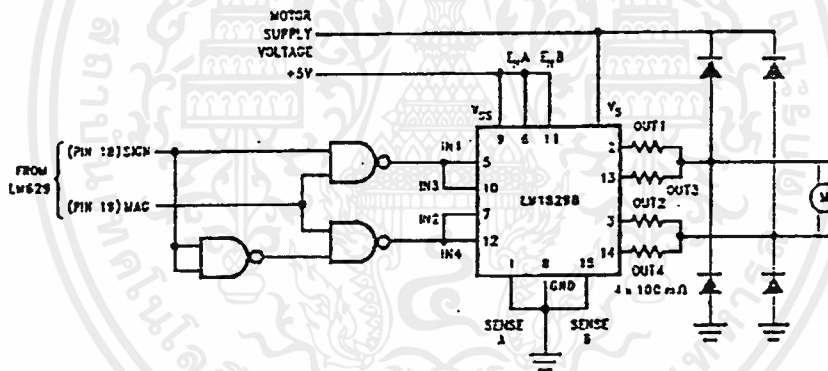


FIGURE 16. PWM Drive for Brush/Commutator Motors

เอกสารนี้เป็นเอกสารที่สงวนไว้สำหรับการใช้งานเพื่อการศึกษาเท่านั้น ไม่อนุญาตให้นำไปใช้ประโยชน์ด้านการค้า  
ไม่ว่ากรณีใดๆ ทั้งสิ้น อีกทั้งห้ามมิให้ดัดแปลงเนื้อหาและต้องอ้างอิงถึงเจ้าของเอกสารทุกครั้งที่มีการนำไปใช้

Typical Applications (Continued)

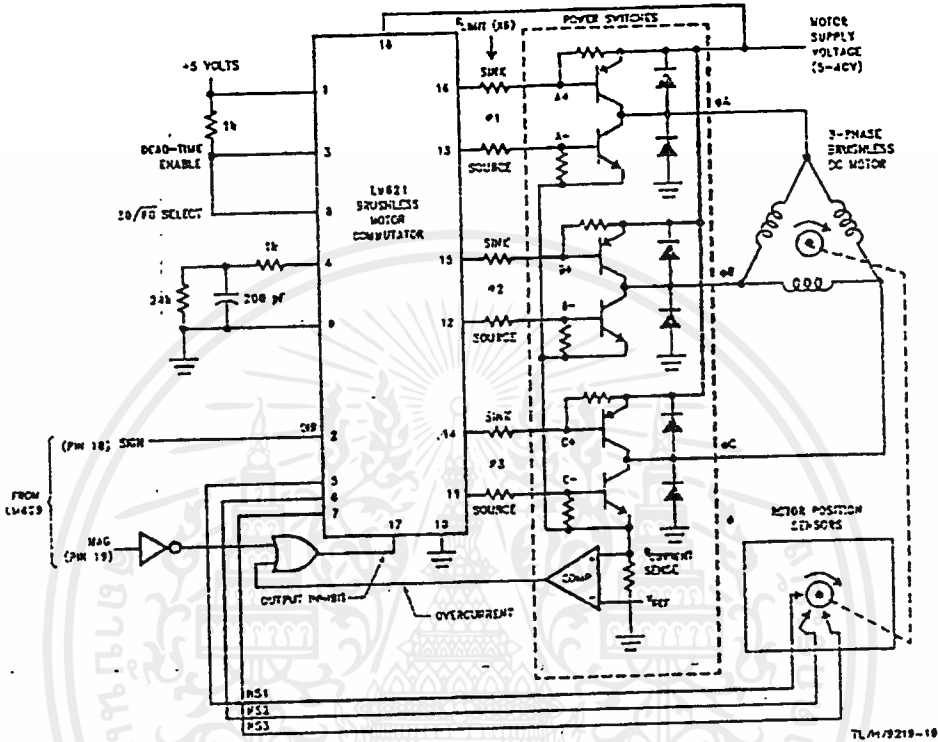


FIGURE 17. PWM Drive for Brushless Motors

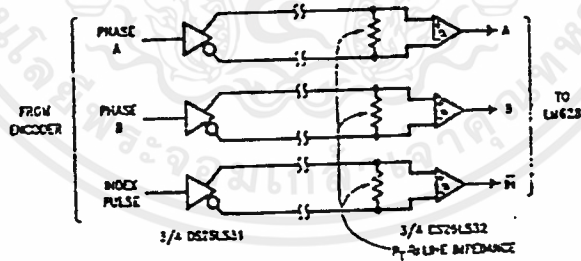
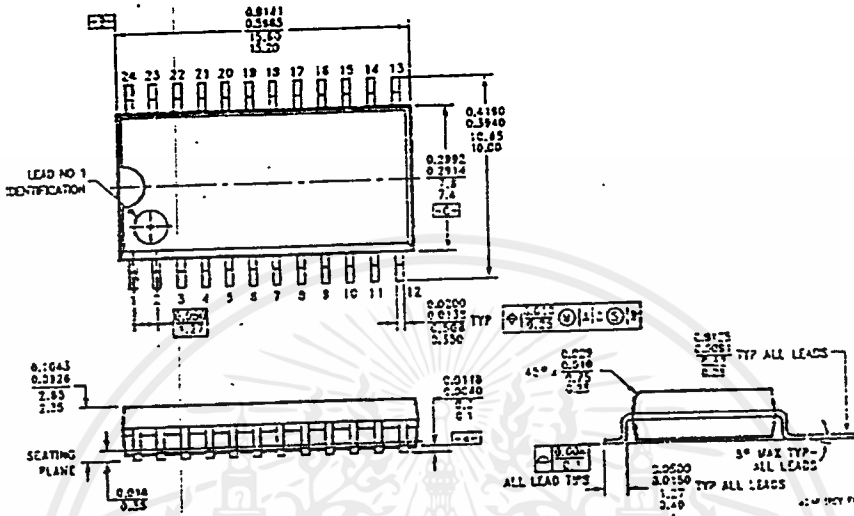


FIGURE 18. Typical Balanced-Line Encoder Input Circuit

เอกสารนี้เป็นเอกสารที่สงวนไว้สำหรับการใช้งานเพื่อการศึกษาเท่านั้น ไม่อนุญาตให้นำไปใช้ประโยชน์ด้านการค้า  
ไม่ว่ากรณีใดๆ ทั้งสิ้น อีกทั้งห้ามมิให้ดัดแปลงเนื้อหาและต้องอ้างอิงถึงเจ้าของเอกสารทุกครั้งที่มีกรนำไปใช้

Physical Dimensions inches (millimeters)

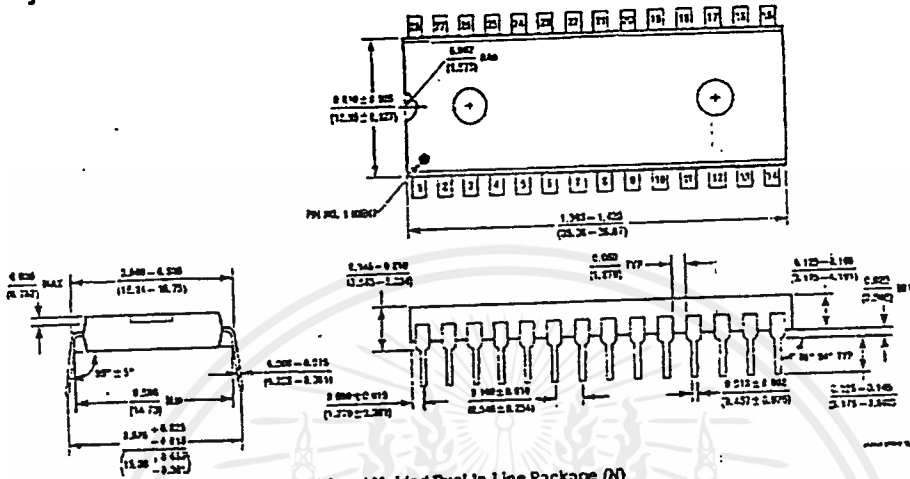


24-Lead Small Outline Package (M)  
 Order Number LM629M-6 or LM629M-8  
 NS Package Number M24B

เอกสารนี้เป็นเอกสารที่สงวนไว้สำหรับการใช้งานเพื่อการศึกษาเท่านั้น ไม่อนุญาตให้拿去ใช้ประโยชน์ด้านการค้า  
 ไม่ว่าจะกรณีใดๆ ทั้งสิ้น อีกทั้งห้ามมิให้ดัดแปลงเนื้อหาและต้องอ้างอิงถึงเจ้าของเอกสารทุกครั้งที่มีการนำไปใช้

LM628/LM629 Precision Motion Controller

Physical Dimensions inches (millimeters) (Continued)



28 Lead Molded Dual-In-Line Package (N)  
 Order Number LM628N-6, LM628N-8, LM629N-6 or LM629N-8  
 NS Package Number N28B

LIFE SUPPORT POLICY

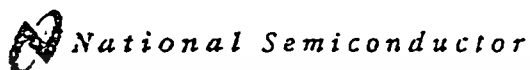
NATIONAL'S PRODUCTS ARE NOT AUTHORIZED FOR USE AS CRITICAL COMPONENTS IN LIFE SUPPORT DEVICES OR SYSTEMS WITHOUT THE EXPRESS WRITTEN APPROVAL OF THE PRESIDENT OF NATIONAL SEMICONDUCTOR CORPORATION. As used herein:

1. Life support devices or systems are devices or systems which, (a) are intended for surgical implant into the body, or (b) support or sustain life, and whose failure to perform, when properly used in accordance with instructions for use provided in the labeling, can be reasonably expected to result in a significant injury to the user.
2. A critical component is any component of a life support device or system whose failure to perform can be reasonably expected to cause the failure of the life support device or system, or to affect its safety or effectiveness.

<p><b>National Semiconductor Corporation</b>                  1111 West Sixth Road                  Sunnyvale, TX 76017                  Tel: 1(509) 273-9958                  Fax: 1(800) 737-7018</p>	<p><b>National Semiconductor Europe</b>                  Fax: 1-48 0-180-530 83 86                  Email: europe@ns.com                  Dresden Tel: 1-48 0-180-530 45 25                  English Tel: 1-48 0-180-532 78 22                  France Tel: 1-48 0-180-532 83 28                  France Tel: 1-48 0-180-534 16 80</p>	<p><b>National Semiconductor Hong Kong Ltd.</b>                  12th Floor, Straits House,                  Ocean Centre, 5 Canton Rd.                  Tsimshatsui, Kowloon                  Hong Kong                  Tel: 852 2727-1600                  Fax: 852 2724-6660</p>	<p><b>National Semiconductor Japan Ltd.</b>                  Tel: 81-6-6349-2205                  Fax: 81-6-6349-2408</p>
---	--	--	---

National does not assume any responsibility for use of any circuitry contained in this product beyond the original intended use. National reserves the right to change the circuitry and specifications without notice.

เอกสารนี้เป็นเอกสารที่สงวนไว้สำหรับการใช้งานเพื่อการศึกษาเท่านั้น ไม่อนุญาตให้拿去ใช้ประโยชน์ด้านการค้า  
 ไม่ว่ากรณีใดๆ ทั้งสิ้น อีกทั้งห้ามมิให้ดัดแปลงเนื้อหาและต้องอ้างอิงถึงเจ้าของเอกสารทุกครั้งที่มีการนำไปใช้



April 1992

LM18298 Dual Full-Bridge Driver

## LM18298 Dual Full-Bridge Driver

### General Description

The LM18298 is a high voltage, high current dual full-bridge driver designed to accept standard TTL logic levels and drive inductive loads such as relays, solenoids, DC and stepping motors. Two enable inputs are provided to gate the input control signals.

The emitters of the lower transistors of each bridge are connected together and the corresponding external terminal can be used for the connection of a current sensing resistor. An additional supply input is provided to accommodate conventional logic supply voltages.

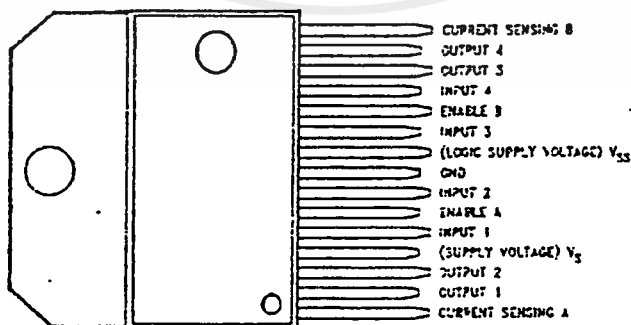
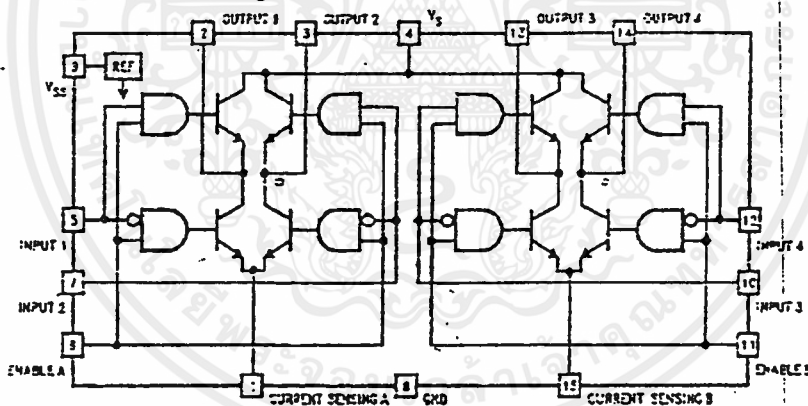
### Features

- Power supply voltage up to 48V
- 2A output per channel
- Low saturation voltage
- Thermal shutdown protection
- Logical "0" input voltage up to 1.5V (High noise immunity)
- Pin for pin replacement for L292N

### Applications

- DC and stepper motor drivers
- Relay and solenoid drivers

### Block & Connection Diagrams



TO 220-15  
Order Number LM18298T  
NS Package Number TA 15A

เอกสารนี้เป็นเอกสารที่สงวนไว้สำหรับการใช้งานเพื่อการศึกษาเท่านั้น ไม่อนุญาตให้นำไปใช้ประโยชน์ด้านการค้า  
ไม่ว่ากรณีใดๆ ทั้งสิ้น อีกทั้งห้ามมิให้ดัดแปลงเนื้อหาและต้องอ้างอิงถึงเจ้าของเอกสารทุกครั้งที่มีการนำไปใช้

**Absolute Maximum Ratings (Note 1)**

If Military/Aerospace specified devices are required, please contact the National Semiconductor Sales Office/Distributors for availability and specifications.

Main Supply (Pin 4)	50V
Logic Supply (Pin 9)	7V
Logic Inputs (Pins 5, 6, 7, 10, 11, 12)	-0.3 to 7V
Peak Output Current (Per Channel)	
Non-Repetitive (t = 100 μs)	3A
Repetitive (80% duty cycle, t <sub>ON</sub> = 10 ms)	2.5A
DC Operation	2A

Sense Voltage (Pins 1, 15)	-1 to +2.3V
Power Dissipation (Note 2)	25W
ESD Susceptibility (Note 3)	1 kV
Lead Temperature (Soldering, 10 seconds)	250°C
Storage Temperature Range	-65°C to +150°C

**Operating Ratings**

Junction Temperature Range (T <sub>J</sub> )	-40°C to +150°C
Main Supply (Pin 4)	45V

**Electrical Characteristics**

V<sub>S</sub> = 42V, V<sub>SS</sub> = 5V, I<sub>O</sub> = 0A, T<sub>J</sub> = 25°C, L = 0V, H = 5V, unless otherwise specified

Symbol	Parameter	Conditions	Typical (Note 4)	Limit (Note 5)	Units (Limits)
V <sub>S</sub>	Main Supply Voltage (Pin 4)			V <sub>SS</sub> + 2.5	V (min)
				46	V (max)
V <sub>SS</sub>	Logic Supply Voltage (Pin 9)			4.5	V (min)
				7	V (max)
I <sub>S</sub>	Main Supply Quiescent Current (Pin 4)	Enable = H, Input = L	5	22	mA (max)
		Enable = H, Input = H	30	70	
		Enable = L, Input = X		4	
I <sub>SS</sub>	Logic Supply Quiescent Current (Pin 9)	Enable = H, Input = L	22	36	mA (max)
		Enable = H, Input = H	5	12	
		Enable = L, Input = X		6	
V <sub>IL</sub>	Low Level Input Voltage (Pins 5, 7, 10, 12)			-0.3	V (min)
				1.5	V (max)
V <sub>IH</sub>	High Level Input Voltage (Pins 5, 7, 10, 12)			2.3	V (min)
				V <sub>SS</sub>	V (max)
I <sub>L</sub>	Low Level Input Current (Pins 5, 7, 10, 12)	Input = L		-10	μA (max)
I <sub>H</sub>	High Level Input Current (Pins 5, 7, 10, 12)	Input = H	30	100	μA (max)
V <sub>ENL</sub>	Low Level Enable Voltage (Pins 6, 11)			-0.3	V (min)
				1.5	V (max)
V <sub>ENH</sub>	High Level Enable Voltage (Pins 6, 11)			2.3	V (min)
				V <sub>SS</sub>	V (max)
I <sub>ENL</sub>	Low Level Enable Input Current (Pins 6, 11)	Enable = L		-10	μA (max)
I <sub>ENH</sub>	High Level Enable Input Current (Pins 6, 11)	Enable = H	30	100	μA (max)

เอกสารนี้เป็นเอกสารที่สงวนไว้สำหรับการใช้งานเพื่อการศึกษาเท่านั้น ไม่อนุญาตให้นำไปใช้ประโยชน์ด้านการค้า  
ไม่ว่ากรณีใดๆ ทั้งสิ้น อีกทั้งห้ามมิให้ดัดแปลงเนื้อหาและต้องอ้างอิงถึงเจ้าของเอกสารทุกครั้งที่มีการนำไปใช้

Electrical Characteristics (Continued)					
$V_S = 42V, V_{SS} = 5V, I_O = 0A, T_J = 25^\circ C$ , unless otherwise specified					
Symbol	Parameter	Conditions	Typical (Note 4)	Limit (Note 5)	Units (Limits)
$V_{CE sat (s)}$	Source Saturation Voltage (Pins 2, 3, 13, 14)	$I_O = 1A$	1.35	1.7	V (max)
		$I_O = 2A$	2.0	2.7	
$V_{CE sat (t)}$	Sink Saturation Voltage (Pins 2, 3, 13, 14)	$I_O = 1A$	1.2	1.6	V (max)
		$I_O = 2A$	1.7	2.3	
$V_{CE sat}$	Total Drop $V_{CE sat (s)} + V_{CE sat (t)}$	$I_O = 1A$		3.2	V (max)
		$I_O = 2A$		4.9	
$V_{sense}$	Sensing Voltage (Pins 1, 15)	$I < 50 \mu A$		-1	V (min)
		Continuous		-0.5	
		Continuous		2	V (max)
$T_1$	Source Current Turn-Off Delay	0.5 Input to 0.9 $I_O$ (Figure 2)	0.5		$\mu s$
$T_2$	Source Current Fall Time	0.9 $I_O$ to 0.1 $I_O$ (Figure 2)	0.15		$\mu s$
$T_3$	Source Current Turn-On Delay	0.5 Input to 0.1 $I_O$ (Figure 2)	1.3		$\mu s$
$T_4$	Source Current Rise Time	0.1 $I_O$ to 0.9 $I_O$ (Figure 2)	0.85		$\mu s$
$T_5$	Sink Current Turn-Off Delay	0.5 Input to 0.9 $I_O$ (Figure 3)	0.25		$\mu s$
$T_6$	Sink Current Fall Time	0.9 $I_O$ to 0.1 $I_O$ (Figure 3)	0.1		$\mu s$
$T_7$	Sink Current Turn-On Delay	0.5 Input to 0.1 $I_O$ (Figure 3)	1.3		$\mu s$
$T_8$	Sink Current Rise Time	0.1 $I_O$ to 0.9 $I_O$ (Figure 3)	0.1		$\mu s$
$f_C$	Commutation Frequency	$I_O = 2A$	25		kHz

Note 1: Absolute Maximum Ratings indicate limits beyond which damage to the device may occur. DC and AC electrical specifications do not apply when operating the device beyond its specified Operating Ratings.

Note 2: The maximum power dissipation must be derated at elevated temperatures and is a function of  $T_J$ ,  $\theta_{JC}$ , and  $T_C$ . The maximum allowable power dissipation at any temperature is  $P_{D max} = (T_J max - T_J) / \theta_{JC}$  or the number given in the Absolute Maximum Ratings, whichever is lower. The typical junction-to-case thermal resistance ( $\theta_{JC}$ ) of the LM18258 is  $3^\circ C/W$ .

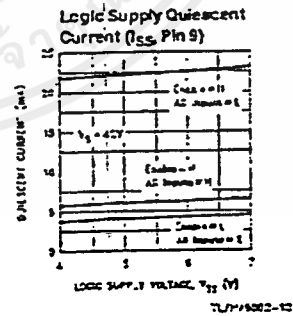
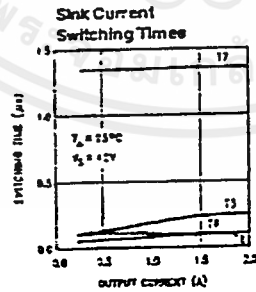
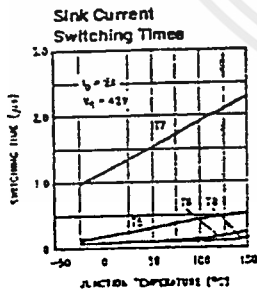
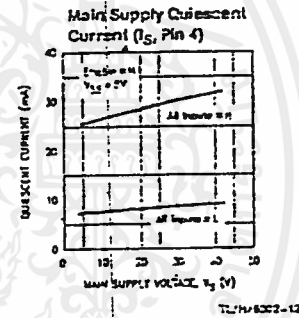
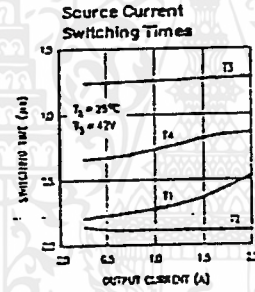
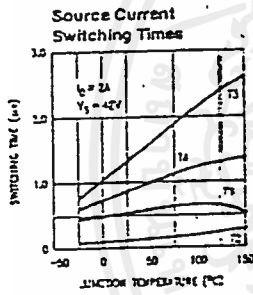
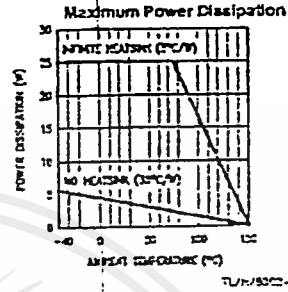
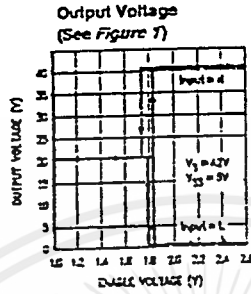
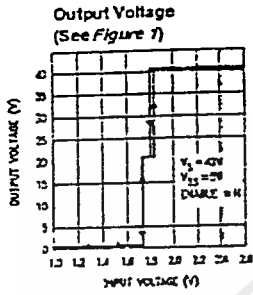
Note 3: human body model, 100 pF discharged through a 1.5 k $\Omega$  resistor

Note 4: Typical values are at 25°C and represent the most likely parametric norm.

Note 5: Limits are guaranteed and 100% tested.

เอกสารนี้เป็นเอกสารที่สงวนไว้สำหรับการใช้งานเพื่อการศึกษาเท่านั้น ไม่อนุญาตให้นำไปใช้ประโยชน์ด้านการค้า  
ไม่ว่ากรณีใดๆ ทั้งสิ้น อีกทั้งห้ามมิให้ดัดแปลงเนื้อหาและต้องอ้างอิงถึงเจ้าของเอกสารทุกครั้งที่มีการนำไปใช้

### Typical Performance Characteristics



Test Circuits

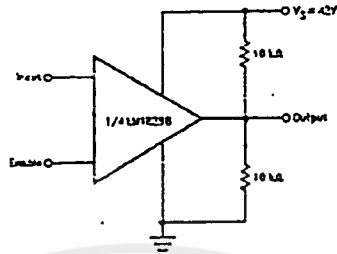


FIGURE 1. Incu/Enable Threshold Test Circuit

TLU/H/5002-4

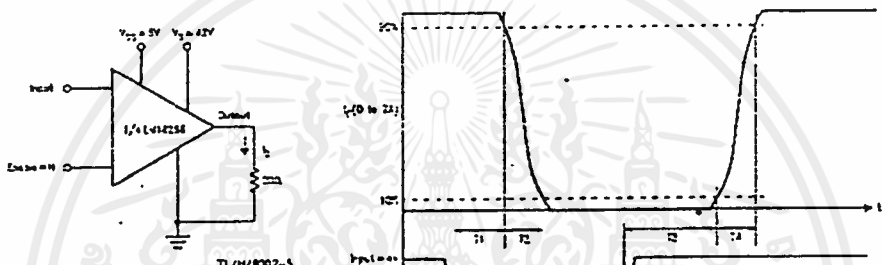


FIGURE 2(a). Source Current Switching Time Test Circuit

FIGURE 2(b). Source Current Switching Time Definitions

TLU/H/5002-5

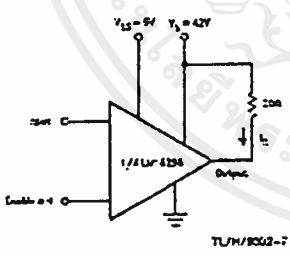


FIGURE 3(a). Sink Current Switching Time Test Circuit

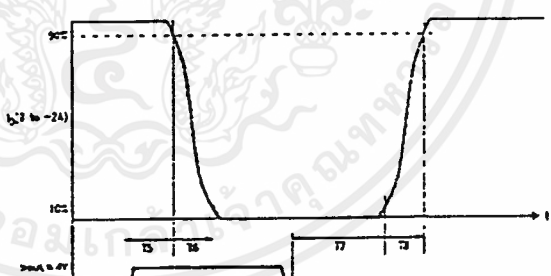
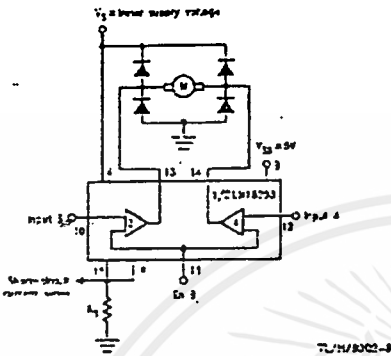


FIGURE 3(b). Sink Current Switching Time Definitions

TLU/H/5002-6

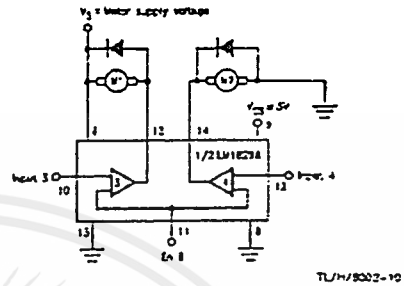
เอกสารนี้เป็นเอกสารที่สงวนไว้สำหรับการใช้งานเพื่อการศึกษาเท่านั้น ไม่อนุญาตให้นำไปใช้ประโยชน์ด้านการค้า ไม่ว่าจะกรณีใดๆ ทั้งสิ้น อีกทั้งห้ามมิให้ดัดแปลงเนื้อหาและต้องอ้างอิงถึงเจ้าของเอกสารทุกครั้งที่มีการนำไปใช้

### Applications Information



Enable B	Inputs	Motor Direction
H	Input 3 = H, Input 4 = L	Clockwise
	Input 3 = L, Input 4 = H	Counterclockwise
	Input 3 = Input 4	Dynamic Braking
L	Input 3 = X, Input 4 = Input 3	Coast to a Stop

L = Low, H = High X = don't care  
 FIGURE 4. Bidirectional DC Motor Control



Enable B	Input 3	Motor 1	Input 4	Motor 2
H	H	Dynamic Braking	H	Run
H	L	Run	L	Dynamic Braking
L	X	Coast to a Stop	X	Coast to a Stop

L = Low H = High X = Don't Care  
 FIGURE 5. 2-Motor Controller  
 (Using both High- and Low-Side Driver Modes)

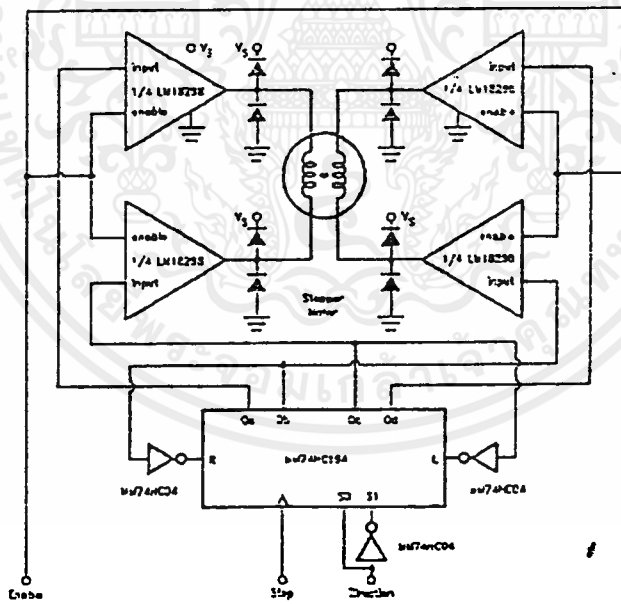


FIGURE 6. Two-Phase Bipolar Stepper Motor Control Circuit

**CLAMP DIODES**

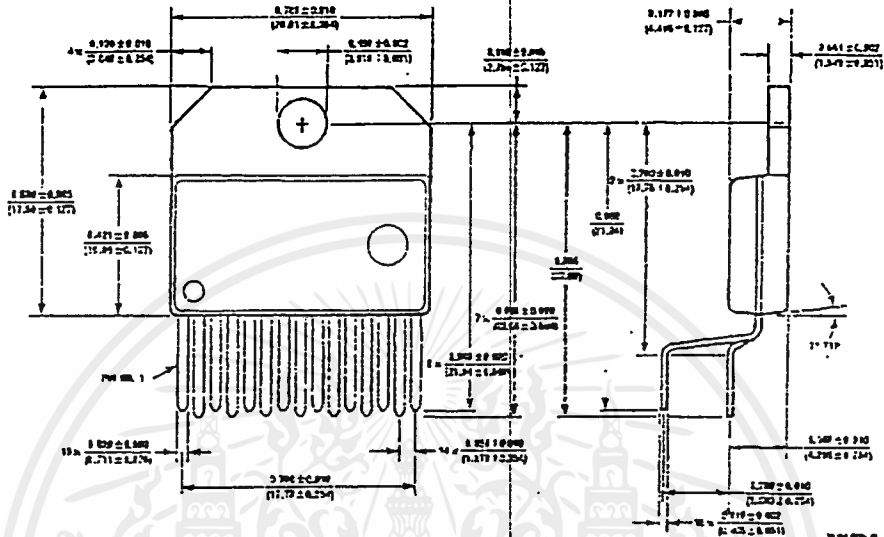
When driving inductive loads, diodes are necessary to clamp spikes at the LM18233 outputs. Clamp diodes must have a recovery time of 200 ns or better and a forward drop

of 1.2V or less at the rated load current. Typical devices are the MB34E (Microsem Corp., Santa Ana, CA), and the V331X (Vero Semiconductor Inc., Garland, TX).

เอกสารนี้เป็นเอกสารที่สงวนไว้สำหรับการใช้งานเพื่อการศึกษาเท่านั้น ไม่อนุญาตให้นำไปใช้ประโยชน์ด้านการค้า  
 ไม่ว่าจะกรณีใดๆทั้งสิ้น อีกทั้งห้ามมิให้ตัดแปลงเนื้อหาและต้องอ้างอิงถึงเจ้าของเอกสารทุกครั้งที่มีการนำไปใช้

LM18298 Dual Full-Bridge Driver

Physical Dimensions inches (millimeters)



Order Number LM18258T  
See NS Package Number TA15A

LIFE SUPPORT POLICY

NATIONAL'S PRODUCTS ARE NOT AUTHORIZED FOR USE AS CRITICAL COMPONENTS IN LIFE SUPPORT DEVICES OR SYSTEMS WITHOUT THE EXPRESS WRITTEN APPROVAL OF THE PRESIDENT OF NATIONAL SEMICONDUCTOR CORPORATION. As used herein:

1. Life support devices or systems are devices or systems which, (a) are intended for surgical implant into the body, or (b) support or sustain life, and whose failure to perform, when properly used in accordance with instructions for use provided in the labeling, can be reasonably expected to result in a significant injury to the user.
2. A critical component is any component of a life support device or system whose failure to perform can be reasonably expected to cause the failure of the life support device or system, or to affect its safety or effectiveness.

<p><b>National Semiconductor Corporation</b> 1111 West Sixth Road Aurora, TX 76017 Tel: 1-800-272-9969 Fax: 1-800-737-7016</p>	<p><b>National Semiconductor Europe</b> Tel: (+49) 0-180-520 85 84 Cred: 01996 01996/2, Jun 2009 Deutsch: Tel: (+49) 0-180-520 85 83 English: Tel: (+49) 0-180-520 78 32 Fragile: Tel: (+49) 0-180-520 92 58 Japan: Tel: (+49) 0-180-524 16 80</p>	<p><b>National Semiconductor Hong Kong Ltd.</b> 12th Floor, Straits Tower, Canton Centre, 5 Canton Rd. Tsimshatsui, Kowloon Hong Kong Tel: (852) 2722-1600 Fax: (852) 2799-6666</p>	<p><b>National Semiconductor Japan Ltd.</b> Tel: 81-045-256-2208 Fax: 81-045-256-2408</p>
--	--	---	---

National does not assume any responsibility for use of any circuitry contained in this data sheet beyond the scope of the circuitry described in the accompanying drawings. All dimensions are nominal.

เอกสารนี้เป็นเอกสารที่สงวนไว้สำหรับการใช้งานเพื่อการศึกษาเท่านั้น ไม่อนุญาตให้นำไปใช้ประโยชน์ด้านการค้า  
ไม่ว่ากรณีใดๆ ทั้งสิ้น อีกทั้งห้ามมิให้ดัดแปลงเนื้อหาและต้องอ้างอิงถึงเจ้าของเอกสารทุกครั้งที่มีการนำไปใช้

## ภาคผนวก ค.โปรแกรมที่ใช้ในการคำนวณค่าเกินป้อนกลับ

เอกสารนี้เป็นเอกสารที่สงวนไว้สำหรับการใช้งานเพื่อการศึกษาเท่านั้น ไม่อนุญาตให้นำไปใช้ประโยชน์ด้านการค้า  
ไม่ว่ากรณีใดๆ ทั้งสิ้น อีกทั้งห้ามมิให้ดัดแปลงเนื้อหาและต้องอ้างอิงถึงเจ้าของเอกสารทุกครั้งที่มีการนำไปใช้

%โปรแกรมนี้ ใช้สำหรับคำนวณค่า K ที่เปลี่ยนแปลงไปตามค่า ความยาวเชือกที่เปลี่ยนไป  
 %โดยจะคำนวณที่ค่าความยาวเชือกตั้งแต่ 1.00 เมตร ลดลงไปจนถึง 0.01 เมตร  
 %โดยโปรแกรมนี้จะให้ค่าความเร็วของการดึงเชือกเป็น 0 เมตร/วินาที

```
datafile = fopen('calk0a.dat','wt+');
K=[0 0 0 0 0]';i=1;
L=1;
for n = 1:100,

    A=[0 1 0 0 0;-9.81/L 0 0 0 -1/L;0 0 0 1 0;0 0 0 0 1;0 0 0 -49 -12.6];

    B=[0 0 0 0 49*7/8]';
    C=[0 0 1 0 0];

    [G,H] = c2d(A,B,0.1);
    Q=diag([1000 1 1000 1 1]); R=(200);
    [K,S,E]=dlqr(G,H,Q,R);
    K1=K(1);
    K2=K(2);
    K3=K(3);
    K4=K(4);
    K5=K(5);
    bL=100*L;
    L=L-0.01;

    fprintf(datafile,'case %3.0f :Kf.angle=%2.4f ; Kf.difAngle=%2.4f ; Kf.pos=%2.4f ; Kf.d
    ifPos=%2.4f ;Kf.difDifPos= %2.4f;break; \n',bL,K1,K2,K3,K4,K5);
end
fclose(datafile);

%load c:\matlab\toolbox\control\calk0a.dat;
```

%โปรแกรมนี้ ใช้สำหรับคำนวณค่า K ที่เปลี่ยนแปลงไปตามค่า ความยาวเชือกที่เปลี่ยนไป  
 %โดยจะคำนวณที่ค่าความยาวเชือกตั้งแต่ 1.00 เมตร ลดลงไปจนถึง 0.01 เมตร  
 %โดยโปรแกรมนี้จะให้ค่าความเร็วของการดึงเชือกเป็น -0.5 เมตร/วินาที  
 % ซึ่งหมายถึงการดึงขึ้น

```
datafile = fopen('calk_1.dat','wt+');
K=[0 0 0 0 0]';r=1;
difL=-0.5;
L=1;
for n = 1:100,

    A=[0 1 0 0 0;-9.81/L -2*difL/L 0 0 -1/L;0 0 0 1 0;0 0 0 0 1;0 0 0 0 -49 -12.6];

    B=[0 0 0 0 49*7/8]';
    C=[0 0 1 0 0];

    [G,H] = c2d(A,B,0.1);
    Q=diag([1000 1 1000 1 1]);R=(200);
    [K,S,E]=dlqr(G,H,Q,R);

    K1=K(1);
    K2=K(2);
    K3=K(3);
    K4=K(4);
    K5=K(5);

    bL=100*L;
    L=L-0.01;

    fprintf(datafile,'case %3.0f :Kf.angle=%2.4f ; Kf.difAngle=%2.4f ; Kf.pos=%2.4f ; Kf.d
    ifPos=%2.4f ;Kf.difDifPos= %2.4f;break; \n',bL,K1,K2,K3,K4,K5);
end
fclose(datafile);

%load c:\matlab\toolbox\control\calk_1.dat;
```

เอกสารนี้เป็นเอกสารที่สงวนไว้สำหรับการใช้งานเพื่อการศึกษาเท่านั้น ไม่อนุญาตให้นำไปใช้ประโยชน์ด้านการค้า  
 ไม่ว่ากรณีใดๆทั้งสิ้น อีกทั้งห้ามมิให้ตัดแปลงเนื้อหาและต้องอ้างอิงถึงเจ้าของเอกสารทุกครั้งที่มีการนำไปใช้

%โปรแกรมนี้ ใช้สำหรับคำนวณค่า K ที่เปลี่ยนแปลงไปตามค่า ความยาวเชือกที่เปลี่ยนไป  
 %โดยจะคำนวณที่ค่าความยาวเชือกตั้งแต่ 1.00 เมตร ลดลงไปจนถึง 0.01 เมตร  
 %โดยโปรแกรมนี้จะให้ค่าความเร็วของการดึงเชือกเป็น 0.5 เมตร/วินาที  
 %ซึ่งหมายถึงการดึงลง

```

datafile = fopen('calk1.dat','wt+');
K=[0 0 0 0 0]';i=1;
difL=0.5;
L=1;
for n = 1:100,

    A=[0 1 0 0 0;-9.81/L -2*difL/L 0 0 -1/L;0 0 0 1 0;0 0 0 0 1;0 0 0 -49 -12.6];

    B=[0 0 0 0 49*7/8]';
    C=[0 0 1 0 0];

    [G,H] = c2d(A,B,0.1);
    Q=diag([1000 1 1000 1 1]); R=(200);
    [K,S,E]=dlqr(G,H,Q,R);

    K1=K(1);
    K2=K(2);
    K3=K(3);
    K4=K(4);
    K5=K(5);
    bL=100*L;
    L=L-0.01;

    fprintf(datafile,'case %3.0f :Kf.angle=%2.4f ; Kf.difAngle=%2.4f ; Kf.pos=%2.4f ; Kf.d
    ifPos=%2.4f ;Kf.difDifPos= %2.4f;break; \n',bL,K1,K2,K3,K4,K5);
end
fclose(datafile);

%load c:\matlab\toolbox\control\calk1.dat;
  
```

เอกสารนี้เป็นเอกสารที่สงวนไว้สำหรับการใช้งานเพื่อการศึกษาเท่านั้น ไม่อนุญาตให้นำไปใช้ประโยชน์ด้านการค้า  
 ไม่่ากรณีใดๆ ทั้งสิ้น อีกทั้งห้ามมิให้ดัดแปลงเนื้อหาและต้องอ้างอิงถึงเจ้าของเอกสารทุกครั้งที่มีการนำไปใช้

### ภาคผนวก ง. Source Code ของโปรแกรมที่ใช้ในการควบคุม



เอกสารนี้เป็นเอกสารที่สงวนไว้สำหรับการใช้งานเพื่อการศึกษาเท่านั้น ไม่อนุญาตให้นำไปใช้ประโยชน์ด้านการค้า  
ไม่ว่ากรณีใดๆ ทั้งสิ้น อีกทั้งห้ามมิให้ดัดแปลงเนื้อหาและต้องอ้างอิงถึงเจ้าของเอกสารทุกครั้งที่มีการนำไปใช้

```
/* Program Test LQR&LOG Funtions
```

```
    Begin    24 MAR 1996
```

```
    Last Update 7 MAR 1997
```

```
*/
```

```
/* Standard Include Files */
```

```
#include <dos.h>
```

```
#include <conio.h>
```

```
#include <stdio.h>
```

```
#include <stdlib.h>
```

```
#include <time.h>
```

```
#include <math.h>
```

```
/* Ours Include Files */
```

```
#include <adc5.h>
```

```
#include <input629.h>
```

```
#include <lm629v2.h>
```

```
#include <lm629vc.h>
```

```
#include <plotgp13.h>
```

```
#define PERIOD0 0.020           //sampling time in microsecond
```

```
#define PERIOD 0.1
```

```
#define ADD_RELAY 0x304
```

```
#define UP 0x01
```

```
#define DOWN 0x00
```

```
#define STOP_UP 0x05
```

```
#define STOP_DOWN 0x04
```

```
#define LOW1 2500              //value to load to counter2 8253
```

```
#define PI 3.14159265359
```

ไม่ว่ากรณีใดๆทั้งสิ้น อีกทั้งห้ามมิให้ดัดแปลงเนื้อหาและต้องอ้างอิงถึงเจ้าของเอกสารทุกครั้งที่มีการนำไปใช้

```
#define LOW2 5000
#define X 16
#define Y 5
#define MAXDATA 600
#define cranefile "cdlqr5.dat" //response data file
```

```
typedef struct{
    float angle;
    float difAngle;
    float pos;
    float difPos;
    float difDifPos;
}feedbackGain;
```

```
void main(void)
{
    /*define variable*/
    word adc;
    int mode=PACER;
    int base=BASE; //0x220 is base of PCL-714
    int ch=12;
    counterRegister counter;
    float offset;
    float volt2angle=(30/3);

    graphInfo info;
    axisScale scale;
    float maxDistance=1.0;
    float samplingTime,maxTime=60.0;
```

เอกสารนี้เป็นเอกสารที่สงวนไว้สำหรับการใช้งานเพื่อการศึกษาเท่านั้น ไม่อนุญาตให้นำไปใช้ประโยชน์ด้านการค้า  
ไม่ว่ากรณีใดๆทั้งสิ้น อีกทั้งห้ามมิให้ดัดแปลงเนื้อหาและต้องอ้างอิงถึงเจ้าของเอกสารทุกครั้งที่มีการนำไปใช้

```

int k=0;
int z=0,y=0;
float CHK;
long time=0;
long startProcess=0,startLoop=0,end=0;

trjType input;

float releasePos,stopPos=0.5,sPos=0.5;

float velocity=0.0;

float loadPos;
double radian;

FILE *datafile;

float volt[MAXDATA],realAngle[MAXDATA],realPos[MAXDATA] ;
float realDifAngle[MAXDATA],realDifPos[MAXDATA],realDifDifPos[MAXDATA];
float pos[MAXDATA],angle[MAXDATA];
float controlLaw[MAXDATA],velo[MAXDATA],desireVelo[MAXDATA];
float difPos[MAXDATA],difDifPos[MAXDATA],difAngle[MAXDATA];

float ropPos[MAXDATA];
float chgRopPos=0;
//float kPos,kDifPos,kDifDifPos,kAngle,kDifAngle;
feedBackGain Kf;
float f1,f2,f3,f4,f5;
int zz[MAXDATA];
float yy[MAXDATA];

```

```

int Lrop;
div_t buff;

float errorPos[MAXDATA],errorAngle[MAXDATA];

float ePos[MAXDATA],eAngle[MAXDATA];

float filAngle[MAXDATA];
float a1[5],b1[5],a2[5],b2[5],a3[5],b3[5],a4[5],b4[5],a5[5],b5[5],a6[5],b6[5];

float posRef=1.3;      //insert the distance here
float angleRef=0.0;
float beginRopPos=0.85;
float desiredRopPos=0.75;

/* start program */

clrscr();

/* Info of graph */
info.xMax=maxTime;
info.yMax=maxDistance;
info.sampling=PERIOD;
info.heading="Response of Load Position";
info.xLabel="Time (sec)";
info.yLabel="Distance (cm)";
samplingTime=info.sampling;

/* Initial data */
for(k=0;k<MAXDATA;k++)
{
    volt[k]=0;
    realAngle[k]=0;

```

```

realPos[k]=0;
realDifAngle[k]=0;
realDifPos[k]=0;
realDifDifPos[k]=0;

angle[k]=0;
difAngle[k]=0;
pos[k]=0;
difPos[k]=0;
difDifPos[k]=0;
ropPos[k]=0;

controlLaw[k]=0;
velo[k]=0;
desireVelo[k]=0;
zz[k]=0;

errorPos[k]=0;
errorAngle[k]=0;

ePos[k]=0;      /* realPos-estimatePos */
eAngle[k]=0;   /* realAngle-estimateAngle */

filAngle[k]=0;

}

```

**/\* Initial FeedBack Gain \*/**

เอกสารนี้เป็นเอกสารที่สงวนไว้สำหรับการใช้งานเพื่อการศึกษาเท่านั้น ไม่อนุญาตให้นำไปใช้ประโยชน์ด้านการค้า  
ไม่ว่ากรณีใดๆ ทั้งสิ้น อีกทั้งห้ามมิให้ดัดแปลงเนื้อหาและต้องอ้างอิงถึงเจ้าของเอกสารทุกครั้งที่มีการนำไปใช้

```

k=0;

counter=COUNTER_REGISTER(PERIOD*1000000);
gotoxy(10,1);
printf("TEST ALL PROGRAM\n");
printf("This is Pacer Mode.\n"); //use pace mode to trig ADC

/* Initial LM629 */
INIT_LM6290; //initial lm629
WRITE_FILTER0;
INIT_LM62920; //initial lm629
WRITE_FILTER20;
ACCELERATION_OUT(8); //initial acceleration

scale = INITIAL_GRAPH(info); //open graphic mode and initial to plot
graph

SET_COUNTER(base,counter); //load sampling time to counter register
and start counting

startProcess=clock(); //read start Process clock
startLoop=startProcess; //read start Loop clock
do
{

/* Read Angle from ADC */
TRIG(mode,base,ch,counter,k); //select channel and trig ADC to read data
adc=READ_ADC(base); //wait for reading value from ADC when reach sampling time

```

เอกสารนี้เป็นเอกสารที่สงวนไว้สำหรับการใช้งานเพื่อการศึกษาเท่านั้น ไม่อนุญาตให้นำไปใช้ประโยชน์ด้านการค้า  
ไม่ว่ากรณีใดๆ ทั้งสิ้น อีกทั้งห้ามมิให้ดัดแปลงเนื้อหาและต้องอ้างอิงถึงเจ้าของเอกสารทุกครั้งที่มีการนำไปใช้

```

k++;

volt[k]=(((adc.high*256)+adc.low)-8192);
volt[k]=(volt[k]*10)/16384;      //converse data to voltage value
if(k==1)
    offset=volt[1];
volt[k]=volt[k]-offset;          //automatic adjust offset
realAngle[k]=((volt[k]*volt2angle)*2*PI)/360;  //compute angle from voltage
to "radian"

```

```

    /* Filter Angle before Compute */

a1[1]=1.0000; a1[2]=0.0309; a1[3]=-0.9691;
b1[1]=0.9845; b1[2]=0.0000; b1[3]=-0.9845;
a6[1]=1.0000; a6[2]=-0.9843; a6[3]=0.0157;
b6[1]=0.4921; b6[2]=0.0000; b6[3]=-0.4921;

if (k==1)
{
    filAngle[k]=b1[1]*realAngle[k];
}
if (k==2)
{
    filAngle[k]=b1[1]*realAngle[k]+b1[2]*realAngle[k-1]-a1[2]*filAngle[k-1];
}
if ((k!=1)&&(k!=2))
{
    filAngle[k]=b1[1]*realAngle[k]+b1[2]*realAngle[k-1]+b1[3]*realAngle[k-2]-a1[2]*filAngle[k-1]-a1[3]*filAngle[k-2];
}

```

```

realPos[k]=READ_REAL_POS0); //read real position from lm629
velo[k]=READ_REAL_VELO0); //read real velocity from lm629
desireVelo[k]=READ_DESIRED_VELO0);

```

```

chgRopPos=READ_REAL_POS20);
ropPos[k]=beginRopPos-chgRopPos;

```

```

/* module Loop for liflod*/

```

```

/* z and y is made for check the status */

```

```

if ((z==0)&&(y==0))

```

```

{
    // z=1 relay was up

```

```

    outp(ADD_RELAY,UP);

```

```

    z++;

```

```

}

```

```

else if ((z==1)&&(ropPos[k]<=desiredRopPos)) //cal the stop Pos

```

```

{

```

```

// stopPos=(beginRopPos*realPos[k])/(beginRopPos-ropPos[k]);

```

```

    stopPos=realPos[k]+(posRef-realPos[k])/2;

```

```

    sPos=stopPos-0.2;

```

```

    z++ ;

```

```

}

```

```

else if ((z==2)&&(y==0)&&(realPos[k]>=sPos))

```

```

{

```

```

    // z=3 relay was down

```

```

    outp(ADD_RELAY,STOP_UP);

```

```

    // y=0 with no stopping time

```

```

    outp(ADD_RELAY,STOP_DOWN);

```

```

    if (realPos[k]>=stopPos)

```

```

    {

```

```

        outp(ADD_RELAY,DOWN);

```

```

        z++;

```

เอกสารนี้เป็นเอกสารที่... านไว้สำหรับการใช้งานเพื่อการศึกษาเท่านั้น ไม่อนุญาตให้นำไปใช้ประโยชน์ด้านการค้า  
ไม่ว่ากรณีใดๆ ทั้งสิ้น อีกทั้งห้ามมิให้ดัดแปลงเนื้อหาและต้องอ้างอิงถึงเจ้าของเอกสารทุกครั้งที่มีการนำไปใช้

```

    }
}
else if ((z==2)&&(y==0)&&(ropPos[k]<=0.15))
{
    // y=1 there is some stoppingtime
    outp(ADD_RELAY,STOP_UP);
    outp(ADD_RELAY,STOP_DOWN);
    releasePos=realPos[k]+2*(stopPos-realPcs[k]);
    y++;
}
else if ((z==2)&&(y==1)&&(realPos[k]>=releasePos))
{
    outp(ADD_RELAY,DOWN);
    z++;
    // z=3 relay down
    y++;
}
else if ((z==3)&&(ropPos[k]>=desiredRopPos))
{
    outp(ADD_RELAY,STOP_DOWN); // z=4 end //
    outp(ADD_RELAY,STOP_UP);
    z++;
}

/*feedback checking module*/

CHK=inp(ADD_RELAY) ;
if ((z==1)&&(CHK!=UP))
{
    outp(ADD_RELAY,UP);
}
else if ((z==3)&&(CHK!=DOWN))
{
    outp(ADD_RELAY,DOWN);
}

```

```

/* Calculate DifAngle DifPos DifDifPos */

if (k==1)
{
    realDifPos[k]=0;
    realDifDifPos[k]=0;
    realDifAngle[k]=0;
}
else
{
    realDifPos[k]=(realPos[k]-realPos[k-1])/info.sampling;
    realDifAngle[k]=(filAngle[k]-filAngle[k-1])/info.sampling;
}
if (k==2)
{
    realDifDifPos[k]=0;
}
else
{
    realDifDifPos[k]=(realDifPos[k]-realDifPos[k-1])/info.sampling;
}

errorPos[k]=posRef-realPos[k];
errorAngle[k]=angleRef-filAngle[k];
Lrop=ropPos[k]*100;
buff = div(Lrop,2);
Lrop = buff.quot*2;
    /* LQR */

// a new method //

```

เอกสารนี้เป็นเอกสารที่สงวนไว้สำหรับการใช้งานเพื่อการศึกษาเท่านั้น ไม่อนุญาตให้นำไปใช้ประโยชน์ด้านการค้า ไม่ว่าจะกรณีใดๆ ทั้งสิ้น อีกทั้งห้ามมิให้ดัดแปลงเนื้อหาและต้องอ้างอิงถึงเจ้าของเอกสารทุกครั้งที่มีการนำไปใช้

```

if (z==1)
{
    switch(Lrop){
// when lift up
/*case 100 :Kf.angle=-3.5084 ; Kf.difAngle=-0.5183 ; Kf.pos=1.7739 ; Kf.difPos=0.7689
;Kf.difDifPos= 0.0927;break;
case 99 :Kf.angle=-3.4944 ; Kf.difAngle=-0.5229 ; Kf.pos=1.7717 ; Kf.difPos=0.7665 ;K
f.difDifPos= 0.0931;break;
case 98 :Kf.angle=-3.4801 ; Kf.difAngle=-0.5275 ; Kf.pos=1.7694 ; Kf.difPos=0.7640 ;K
f.difDifPos= 0.0936;break;
case 97 :Kf.angle=-3.4655 ; Kf.difAngle=-0.5321 ; Kf.pos=1.7670 ; Kf.difPos=0.7615 ;K
f.difDifPos= 0.0941;break;
case 96 :Kf.angle=-3.4506 ; Kf.difAngle=-0.5367 ; Kf.pos=1.7646 ; Kf.difPos=0.7590 ;K
f.difDifPos= 0.0946;break;
case 95 :Kf.angle=-3.4354 ; Kf.difAngle=-0.5413 ; Kf.pos=1.7622 ; Kf.difPos=0.7564 ;K
f.difDifPos= 0.0951;break;
case 94 :Kf.angle=-3.4199 ; Kf.difAngle=-0.5458 ; Kf.pos=1.7597 ; Kf.difPos=0.7537 ;K
f.difDifPos= 0.0956;break;
case 93 :Kf.angle=-3.4041 ; Kf.difAngle=-0.5504 ; Kf.pos=1.7572 ; Kf.difPos=0.7510 ;K
f.difDifPos= 0.0961;break;
case 92 :Kf.angle=-3.3880 ; Kf.difAngle=-0.5549 ; Kf.pos=1.7547 ; Kf.difPos=0.7483 ;K
f.difDifPos= 0.0966;break;
case 91 :Kf.angle=-3.3715 ; Kf.difAngle=-0.5593 ; Kf.pos=1.7521 ; Kf.difPos=0.7455 ;K
f.difDifPos= 0.0972;break;
case 90 :Kf.angle=-3.3547 ; Kf.difAngle=-0.5638 ; Kf.pos=1.7494 ; Kf.difPos=0.7426 ;K
f.difDifPos= 0.0977;break;
case 89 :Kf.angle=-3.3375 ; Kf.difAngle=-0.5682 ; Kf.pos=1.7467 ; Kf.difPos=0.7397 ;K
f.difDifPos= 0.0983;break;
case 88 :Kf.angle=-3.3200 ; Kf.difAngle=-0.5726 ; Kf.pos=1.7439 ; Kf.difPos=0.7367 ;K
f.difDifPos= 0.0989;break;
*/
}
}

```

เอกสารนี้เป็นเอกสารที่สงวนไว้สำหรับการใช้งานเพื่อการศึกษาเท่านั้น ไม่อนุญาตให้拿去ใช้ประโยชน์ด้านการค้า  
ไม่ว่ากรณีใดๆ ทั้งสิ้น อีกทั้งห้ามมิให้ดัดแปลงเนื้อหาและต้องอ้างอิงถึงเจ้าของเอกสารทุกครั้งที่มีการนำไปใช้

```

//case 87 :Kf.angle=-3.3021 ; Kf.difAngle=-0.5770 ; Kf.pos=1.7411 ; Kf.difPos=0.7337
;Kf.difDifPos= 0.0995;break;
case 86 :Kf.angle=-3.2838 ; Kf.difAngle=-0.5814 ; Kf.pos=1.7382 ; Kf.difPos=0.7306 ;K
f.difDifPos= 0.1001;break;
//case 85 :Kf.angle=-3.2651 ; Kf.difAngle=-0.5857 ; Kf.pos=1.7353 ; Kf.difPos=0.7274
;Kf.difDifPos= 0.1007;break;
case 84 :Kf.angle=-3.2460 ; Kf.difAngle=-0.5900 ; Kf.pos=1.7323 ; Kf.difPos=0.7242 ;K
f.difDifPos= 0.1013;break;
//case 83 :Kf.angle=-3.2264 ; Kf.difAngle=-0.5943 ; Kf.pos=1.7292 ; Kf.difPos=0.7209
;Kf.difDifPos= 0.1019;break;
case 82 :Kf.angle=-3.2065 ; Kf.difAngle=-0.5985 ; Kf.pos=1.7261 ; Kf.difPos=0.7175 ;K
f.difDifPos= 0.1026;break;
//case 81 :Kf.angle=-3.1861 ; Kf.difAngle=-0.6027 ; Kf.pos=1.7229 ; Kf.difPos=0.7141
;Kf.difDifPos= 0.1032;break;
case 80 :Kf.angle=-3.1652 ; Kf.difAngle=-0.6069 ; Kf.pos=1.7197 ; Kf.difPos=0.7106 ;K
f.difDifPos= 0.1039;break;
//case 79 :Kf.angle=-3.1438 ; Kf.difAngle=-0.6110 ; Kf.pos=1.7164 ; Kf.difPos=0.7070
;Kf.difDifPos= 0.1046;break;
case 78 :Kf.angle=-3.1220 ; Kf.difAngle=-0.6151 ; Kf.pos=1.7130 ; Kf.difPos=0.7033 ;K
f.difDifPos= 0.1053;break;
//case 77 :Kf.angle=-3.0996 ; Kf.difAngle=-0.6192 ; Kf.pos=1.7095 ; Kf.difPos=0.6995
;Kf.difDifPos= 0.1060;break;
case 76 :Kf.angle=-3.0767 ; Kf.difAngle=-0.6232 ; Kf.pos=1.7060 ; Kf.difPos=0.6956 ;K
f.difDifPos= 0.1067;break;
//case 75 :Kf.angle=-3.0533 ; Kf.difAngle=-0.6273 ; Kf.pos=1.7024 ; Kf.difPos=0.6917
;Kf.difDifPos= 0.1075;break;
case 74 :Kf.angle=-3.0293 ; Kf.difAngle=-0.6312 ; Kf.pos=1.6987 ; Kf.difPos=0.6877 ;K
f.difDifPos= 0.1082;break;
//case 73 :Kf.angle=-3.0047 ; Kf.difAngle=-0.6351 ; Kf.pos=1.6949 ; Kf.difPos=0.6835
;Kf.difDifPos= 0.1090;break;
case 72 :Kf.angle=-2.9795 ; Kf.difAngle=-0.6390 ; Kf.pos=1.6910 ; Kf.difPos=0.6793 ;K
f.difDifPos= 0.1098;break;

```

เอกสารนี้เป็นเอกสารที่สงวนไว้สำหรับการใช้งานเพื่อการศึกษาเท่านั้น ไม่อนุญาตให้拿去ใช้ประโยชน์ด้านการค้า  
ไม่ว่ากรณีใดๆ ทั้งสิ้น อีกทั้งห้ามมิให้ดัดแปลงเนื้อหาและต้องอ้างอิงถึงเจ้าของเอกสารทุกครั้งที่มีการนำไปใช้

```

//case 71 :Kf.angle=-2.9537 ; Kf.difAngle=-0.6429 ; Kf.pos=1.6870 ; Kf.difPos=0.6750
;Kf.difDifPos= 0.1106;break;
case 70 :Kf.angle=-2.9273 ; Kf.difAngle=-0.6467 ; Kf.pos=1.6830 ; Kf.difPos=0.6705 ;K
f.difDifPos= 0.1115;break;
//case 69 :Kf.angle=-2.9002 ; Kf.difAngle=-0.6504 ; Kf.pos=1.6788 ; Kf.difPos=0.6660
;Kf.difDifPos= 0.1123;break;
case 68 :Kf.angle=-2.8724 ; Kf.difAngle=-0.6541 ; Kf.pos=1.6745 , Kf.difPos=0.6613 ;K
f.difDifPos= 0.1132;break;
//case 67 :Kf.angle=-2.8438 ; Kf.difAngle=-0.6578 ; Kf.pos=1.6702 ; Kf.difPos=0.6565
;Kf.difDifPos= 0.1141;break;
case 66 :Kf.angle=-2.8146 ; Kf.difAngle=-0.6614 ; Kf.pos=1.6657 ; Kf.difPos=0.6516 ;K
f.difDifPos= 0.1150;break;
//case 65 :Kf.angle=-2.7845 ; Kf.difAngle=-0.6649 ; Kf.pos=1.6611 ; Kf.difPos=0.6466
;Kf.difDifPos= 0.1160;break;
case 64 :Kf.angle=-2.7537 ; Kf.difAngle=-0.6684 ; Kf.pos=1.6564 ; Kf.difPos=0.6414 ;K
f.difDifPos= 0.1169;break;
//case 63 :Kf.angle=-2.7220 ; Kf.difAngle=-0.6719 ; Kf.pos=1.6515 ; Kf.difPos=0.6361
;Kf.difDifPos= 0.1179;break;
case 62 :Kf.angle=-2.6894 ; Kf.difAngle=-0.6753 ; Kf.pos=1.6466 ; Kf.difPos=0.6307 ;K
f.difDifPos= 0.1189;break;
//case 61 :Kf.angle=-2.6560 ; Kf.difAngle=-0.6786 ; Kf.pos=1.6415 ; Kf.difPos=0.6251
;Kf.difDifPos= 0.1200;break;
case 60 :Kf.angle=-2.6216 ; Kf.difAngle=-0.6819 ; Kf.pos=1.6362 ; Kf.difPos=0.6193 ;K
f.difDifPos= 0.1211;break;
/*
case 59 :Kf.angle=-2.5862 ; Kf.difAngle=-0.6851 ; Kf.pos=1.6309 ; Kf.difPos=0.6134 ;K
f.difDifPos= 0.1222;break;
case 58 :Kf.angle=-2.5498 ; Kf.difAngle=-0.6882 ; Kf.pos=1.6253 ; Kf.difPos=0.6073 ;K
f.difDifPos= 0.1233;break;
case 57 :Kf.angle=-2.5124 ; Kf.difAngle=-0.6913 ; Kf.pos=1.6196 ; Kf.difPos=0.6011 ;K
f.difDifPos= 0.1245;break;
case 56 :Kf.angle=-2.4738 ; Kf.difAngle=-0.6943 ; Kf.pos=1.6138 ; Kf.difPos=0.5946 ;K
f.difDifPos= 0.1257;break;

```

```
case 55 :Kf.angle=-2.4341 ; Kf.difAngle=-0.6972 ; Kf.pos=1.6077 ; Kf.difPos=0.5880 ;K
f.difDifPos= 0.1269;break;
case 54 :Kf.angle=-2.3932 ; Kf.difAngle=-0.7000 ; Kf.pos=1.6015 ; Kf.difPos=0.5811 ;K
f.difDifPos= 0.1282;break;
case 53 :Kf.angle=-2.3510 ; Kf.difAngle=-0.7028 ; Kf.pos=1.5951 ; Kf.difPos=0.5741 ;K
f.difDifPos= 0.1295;break;
case 52 :Kf.angle=-2.3075 ; Kf.difAngle=-0.7055 ; Kf.pos=1.5885 ; Kf.difPos=0.5668 ;K
f.difDifPos= 0.1309;break;
case 51 :Kf.angle=-2.2626 ; Kf.difAngle=-0.7081 ; Kf.pos=1.5817 ; Kf.difPos=0.5593 ;K
f.difDifPos= 0.1323;break;
case 50 :Kf.angle=-2.2162 ; Kf.difAngle=-0.7106 ; Kf.pos=1.5746 ; Kf.difPos=0.5515 ;K
f.difDifPos= 0.1337;break;
case 49 :Kf.angle=-2.1683 ; Kf.difAngle=-0.7130 ; Kf.pos=1.5673 ; Kf.difPos=0.5435 ;K
f.difDifPos= 0.1352;break;
case 48 :Kf.angle=-2.1188 ; Kf.difAngle=-0.7153 ; Kf.pos=1.5598 ; Kf.difPos=0.5352 ;K
f.difDifPos= 0.1367;break;
case 47 :Kf.angle=-2.0677 ; Kf.difAngle=-0.7175 ; Kf.pos=1.5521 ; Kf.difPos=0.5267 ;K
f.difDifPos= 0.1383;break;
case 46 :Kf.angle=-2.0148 ; Kf.difAngle=-0.7196 ; Kf.pos=1.5440 ; Kf.difPos=0.5178 ;K
f.difDifPos= 0.1400;break;
case 45 :Kf.angle=-1.9600 ; Kf.difAngle=-0.7216 ; Kf.pos=1.5357 ; Kf.difPos=0.5086 ;K
f.difDifPos= 0.1417;break;
case 44 :Kf.angle=-1.9032 ; Kf.difAngle=-0.7235 ; Kf.pos=1.5270 ; Kf.difPos=0.4991 ;K
f.difDifPos= 0.1434;break;
case 43 :Kf.angle=-1.8444 ; Kf.difAngle=-0.7252 ; Kf.pos=1.5181 ; Kf.difPos=0.4893 ;K
f.difDifPos= 0.1453;break;
case 42 :Kf.angle=-1.7833 ; Kf.difAngle=-0.7268 ; Kf.pos=1.5088 ; Kf.difPos=0.4791 ;K
f.difDifPos= 0.1472;break;
case 41 :Kf.angle=-1.7200 ; Kf.difAngle=-0.7283 ; Kf.pos=1.4991 ; Kf.difPos=0.4684 ;K
f.difDifPos= 0.1491;break;
case 40 :Kf.angle=-1.6542 ; Kf.difAngle=-0.7297 ; Kf.pos=1.4891 ; Kf.difPos=0.4574 ;K
f.difDifPos= 0.1512;break;
```

เอกสารนี้เป็นเอกสารที่สงวนไว้สำหรับการใช้งานเพื่อการศึกษาเท่านั้น ไม่อนุญาตให้นำไปใช้ประโยชน์ด้านการค้า  
ไม่ว่ากรณีใดๆ ทั้งสิ้น อีกทั้งห้ามมิให้ดัดแปลงเนื้อหาและต้องอ้างอิงถึงเจ้าของเอกสารทุกครั้งที่มีการนำไปใช้

```

*/
default : Kf.angle=-3.3200 ; Kf.difAngle=-0.5726 ; Kf.pos=1.7439 ; Kf.difPos=0.7367 ;K
f.difDifPos= 0.0989;
}
}

else if (z==3)
{
    switch(Lrop){
//K when down
/*
case 100 :Kf.angle=-0.8444 ; Kf.difAngle=-0.1081 ; Kf.pos=1.9605 ; Kf.difPos=0.5669 ;K
f.difDifPos= 0.0536;break;
case 99 :Kf.angle=-0.8421 ; Kf.difAngle=-0.1089 ; Kf.pos=1.9600 ; Kf.difPos=0.5665 ;K
f.difDifPos= 0.0537;break;
case 98 :Kf.angle=-0.8399 ; Kf.difAngle=-0.1096 ; Kf.pos=1.9595 ; Kf.difPos=0.5660 ;K
f.difDifPos= 0.0538;break;
case 97 :Kf.angle=-0.8375 ; Kf.difAngle=-0.1104 ; Kf.pos=1.9589 ; Kf.difPos=0.5656 ;K
f.difDifPos= 0.0540;break;
case 96 :Kf.angle=-0.8351 ; Kf.difAngle=-0.1111 ; Kf.pos=1.9584 ; Kf.difPos=0.5651 ;K
f.difDifPos= 0.0541;break;
case 95 :Kf.angle=-0.8326 ; Kf.difAngle=-0.1119 ; Kf.pos=1.9578 ; Kf.difPos=0.5646 ;K
f.difDifPos= 0.0542;break;
case 94 :Kf.angle=-0.8301 ; Kf.difAngle=-0.1126 ; Kf.pos=1.9573 ; Kf.difPos=0.5641 ;K
f.difDifPos= 0.0543;break;
case 93 :Kf.angle=-0.8275 ; Kf.difAngle=-0.1133 ; Kf.pos=1.9567 ; Kf.difPos=0.5636 ;K
f.difDifPos= 0.0544;break;
case 92 :Kf.angle=-0.8248 ; Kf.difAngle=-0.1140 ; Kf.pos=1.9561 ; Kf.difPos=0.5631 ;K
f.difDifPos= 0.0545;break;
case 91 :Kf.angle=-0.8221 ; Kf.difAngle=-0.1147 ; Kf.pos=1.9556 ; Kf.difPos=0.5625 ;K
f.difDifPos= 0.0546;break;
case 90 :Kf.angle=-0.8193 ; Kf.difAngle=-0.1153 ; Kf.pos=1.9550 ; Kf.difPos=0.5620 ;K
f.difDifPos= 0.0548;break;

```

```

case 89 :Kf.angle=-0.8164 ; Kf.difAngle=-0.1160 ; Kf.pos=1.9544 ; Kf.difPos=0.5615 ;K
f.difDifPos= 0.0549;break;
case 88 :Kf.angle=-0.8135 ; Kf.difAngle=-0.1166 ; Kf.pos=1.9538 ; Kf.difPos=0.5609 ;K
f.difDifPos= 0.0550;break;
*/
//case 87 :Kf.angle=-0.8105 ; Kf.difAngle=-0.1172 ; Kf.pos=1.9532 ; Kf.difPos=0.5603
;Kf.difDifPos= 0.0551;break;
case 86 :Kf.angle=-0.8074 ; Kf.difAngle=-0.1178 ; Kf.pos=1.9526 ; Kf.difPos=0.5597 ;K
f.difDifPos= 0.0553;break;
//case 85 :Kf.angle=-0.8042 ; Kf.difAngle=-0.1184 ; Kf.pos=1.9519 ; Kf.difPos=0.5591
;Kf.difDifPos= 0.0554;break;
case 84 :Kf.angle=-0.8010 ; Kf.difAngle=-0.1190 ; Kf.pos=1.9513 ; Kf.difPos=0.5585 ;K
f.difDifPos= 0.0555;break;
//case 83 :Kf.angle=-0.7977 ; Kf.difAngle=-0.1195 ; Kf.pos=1.9507 ; Kf.difPos=0.5579
;Kf.difDifPos= 0.0556;break;
case 82 :Kf.angle=-0.7943 ; Kf.difAngle=-0.1200 ; Kf.pos=1.9500 ; Kf.difPos=0.5573 ;K
f.difDifPos= 0.0558;break;
//case 81 :Kf.angle=-0.7908 ; Kf.difAngle=-0.1205 ; Kf.pos=1.9493 ; Kf.difPos=0.5566
;Kf.difDifPos= 0.0559;break;
case 80 :Kf.angle=-0.7872 ; Kf.difAngle=-0.1210 ; Kf.pos=1.9487 ; Kf.difPos=0.5560 ;K
f.difDifPos= 0.0560;break;
//case 79 :Kf.angle=-0.7836 ; Kf.difAngle=-0.1214 ; Kf.pos=1.9480 ; Kf.difPos=0.5553
;Kf.difDifPos= 0.0562;break;
case 78 :Kf.angle=-0.7798 ; Kf.difAngle=-0.1219 ; Kf.pos=1.9473 ; Kf.difPos=0.5546 ;K
f.difDifPos= 0.0563;break;
//case 77 :Kf.angle=-0.7760 ; Kf.difAngle=-0.1223 ; Kf.pos=1.9466 ; Kf.difPos=0.5539
;Kf.difDifPos= 0.0565;break;
case 76 :Kf.angle=-0.7721 ; Kf.difAngle=-0.1227 ; Kf.pos=1.9459 ; Kf.difPos=0.5532 ;K
f.difDifPos= 0.0566;break;
//case 75 :Kf.angle=-0.7681 ; Kf.difAngle=-0.1230 ; Kf.pos=1.9452 ; Kf.difPos=0.5525
;Kf.difDifPos= 0.0568;break;
case 74 :Kf.angle=-0.7639 ; Kf.difAngle=-0.1234 ; Kf.pos=1.9444 ; Kf.difPos=0.5517 ;K
f.difDifPos= 0.0569;break;

```

เอกสารนี้เป็นเอกสารสำหรับการใช้งานเพื่อการศึกษาเท่านั้น ไม่อนุญาตให้拿去ใช้ประโยชน์ด้านการค้า  
ไม่ว่ากรณีใดๆ ทั้งสิ้น อีกทั้งห้ามมิให้ดัดแปลงเนื้อหาและต้องอ้างอิงถึงเจ้าของเอกสารทุกครั้งที่มีการนำไปใช้

```

//case 73 :Kf.angle=-0.7597 ; Kf.difAngle=-0.1237 ; Kf.pos=1.9437 ; Kf.difPos=0.5509
;Kf.difDifPos= 0.0570;break;
case 72 :Kf.angle=-0.7554 ; Kf.difAngle=-0.1240 ; Kf.pos=1.9430 ; Kf.difPos=0.5502 ;K
f.difDifPos= 0.0572;break;
//case 71 :Kf.angle=-0.7510 ; Kf.difAngle=-0.1242 ; Kf.pos=1.9422 ; Kf.difPos=0.5494
;Kf.difDifPos= 0.0574;break;
case 70 :Kf.angle=-0.7464 ; Kf.difAngle=-0.1245 ; Kf.pos=1.9414 ; Kf.difPos=0.5486 ;K
f.difDifPos= 0.0575;break;
//case 69 :Kf.angle=-0.7418 ; Kf.difAngle=-0.1247 ; Kf.pos=1.9406 ; Kf.difPos=0.5477
;Kf.difDifPos= 0.0577;break;
case 68 :Kf.angle=-0.7370 ; Kf.difAngle=-0.1248 ; Kf.pos=1.9398 ; Kf.difPos=0.5469 ;K
f.difDifPos= 0.0578;break;
//case 67 :Kf.angle=-0.7322 ; Kf.difAngle=-0.1250 ; Kf.pos=1.9390 ; Kf.difPos=0.5460
;Kf.difDifPos= 0.0580;break;
case 66 :Kf.angle=-0.7272 ; Kf.difAngle=-0.1251 ; Kf.pos=1.9382 ; Kf.difPos=0.5451 ;K
f.difDifPos= 0.0582;break;
//case 65 :Kf.angle=-0.7221 ; Kf.difAngle=-0.1252 ; Kf.pos=1.9374 ; Kf.difPos=0.5442
;Kf.difDifPos= 0.0583;break;
case 64 :Kf.angle=-0.7168 ; Kf.difAngle=-0.1252 ; Kf.pos=1.9365 ; Kf.difPos=0.5433 ;K
f.difDifPos= 0.0585;break;
//case 63 :Kf.angle=-0.7115 ; Kf.difAngle=-0.1252 ; Kf.pos=1.9357 ; Kf.difPos=0.5424
;Kf.difDifPos= 0.0587;break;
case 62 :Kf.angle=-0.7060 ; Kf.difAngle=-0.1252 ; Kf.pos=1.9348 ; Kf.difPos=0.5414 ;K
f.difDifPos= 0.0588;break;
//case 61 :Kf.angle=-0.7003 ; Kf.difAngle=-0.1251 ; Kf.pos=1.9339 ; Kf.difPos=0.5404
;Kf.difDifPos= 0.0590;break;
case 60 :Kf.angle=-0.6946 ; Kf.difAngle=-0.1250 ; Kf.pos=1.9330 ; Kf.difPos=0.5394 ;K
f.difDifPos= 0.0592;break;
/*
case 59 :Kf.angle=-0.6887 ; Kf.difAngle=-0.1249 ; Kf.pos=1.9321 ; Kf.difPos=0.5384 ;K
f.difDifPos= 0.0594;break;
case 58 :Kf.angle=-0.6826 ; Kf.difAngle=-0.1247 ; Kf.pos=1.9312 ; Kf.difPos=0.5373 ;K
f.difDifPos= 0.0596;break;

```

เอกสารนี้เป็นเอกสารประกอบการเรียนการสอนวิชาคณิตศาสตร์ สำหรับนักเรียนชั้นมัธยมศึกษาตอนต้น ไม่อนุญาตให้นำไปใช้ประโยชน์ด้านการค้า  
ไม่ว่ากรณีใดๆทั้งสิ้น อีกทั้งห้ามมิให้ตัดแปลงเนื้อหาและต้องอ้างอิงถึงเจ้าของเอกสารทุกครั้งที่มีการนำไปใช้

```

case 57 :Kf.angle=-0.6764 ; Kf.difAngle=-0.1244 ; Kf.pos=1.9302 ; Kf.difPos=0.5363 ;K
f.difDifPos= 0.0597;break;
case 56 :Kf.angle=-0.6700 ; Kf.difAngle=-0.1242 ; Kf.pos=1.9293 ; Kf.difPos=0.5352 ;K
f.difDifPos= 0.0599;break;
case 55 :Kf.angle=-0.6635 ; Kf.difAngle=-0.1239 ; Kf.pos=1.9283 ; Kf.difPos=0.5341 ;K
f.difDifPos= 0.0601;break;
case 54 :Kf.angle=-0.6569 ; Kf.difAngle=-0.1235 ; Kf.pos=1.9273 ; Kf.difPos=0.5329 ;K
f.difDifPos= 0.0603;break;
case 53 :Kf.angle=-0.6500 ; Kf.difAngle=-0.1231 ; Kf.pos=1.9263 ; Kf.difPos=0.5318 ;K
f.difDifPos= 0.0605;break;
case 52 :Kf.angle=-0.6430 ; Kf.difAngle=-0.1226 ; Kf.pos=1.9253 ; Kf.difPos=0.5306 ;K
f.difDifPos= 0.0607;break;
case 51 :Kf.angle=-0.6359 ; Kf.difAngle=-0.1221 ; Kf.pos=1.9243 ; Kf.difPos=0.5293 ;K
f.difDifPos= 0.0609;break;
case 50 :Kf.angle=-0.6285 ; Kf.difAngle=-0.1216 ; Kf.pos=1.9233 ; Kf.difPos=0.5281 ;K
f.difDifPos= 0.0611;break;
case 49 :Kf.angle=-0.6210 ; Kf.difAngle=-0.1209 ; Kf.pos=1.9222 ; Kf.difPos=0.5268 ;K
f.difDifPos= 0.0613;break;
case 48 :Kf.angle=-0.6133 ; Kf.difAngle=-0.1203 ; Kf.pos=1.9211 ; Kf.difPos=0.5255 ;K
f.difDifPos= 0.0615;break;
case 47 :Kf.angle=-0.6054 ; Kf.difAngle=-0.1195 ; Kf.pos=1.9201 ; Kf.difPos=0.5242 ;K
f.difDifPos= 0.0618;break;
case 46 :Kf.angle=-0.5973 ; Kf.difAngle=-0.1188 ; Kf.pos=1.9190 ; Kf.difPos=0.5228 ;K
f.difDifPos= 0.0620;break;
case 45 :Kf.angle=-0.5890 ; Kf.difAngle=-0.1179 ; Kf.pos=1.9178 ; Kf.difPos=0.5215 ;K
f.difDifPos= 0.0622;break;
case 44 :Kf.angle=-0.5805 ; Kf.difAngle=-0.1170 ; Kf.pos=1.9167 ; Kf.difPos=0.5200 ;K
f.difDifPos= 0.0624;break;
case 43 :Kf.angle=-0.5718 ; Kf.difAngle=-0.1160 ; Kf.pos=1.9156 ; Kf.difPos=0.5186 ;K
f.difDifPos= 0.0626;break;
case 42 :Kf.angle=-0.5629 ; Kf.difAngle=-0.1150 ; Kf.pos=1.9144 ; Kf.difPos=0.5171 ;K
f.difDifPos= 0.0629;break;

```

เอกสารนี้เป็นเอกสารที่สงวนไว้สำหรับการใช้งานเพื่อการศึกษาเท่านั้น ไม่อนุญาตให้นำไปใช้ประโยชน์ด้านการค้า  
ไม่ว่ากรณีใดๆ ทั้งสิ้น อีกทั้งห้ามมิให้ดัดแปลงเนื้อหาและต้องอ้างอิงถึงเจ้าของเอกสารทุกครั้งที่มีการนำไปใช้

```

case 41 :Kf.angle=-0.5538 ; Kf.difAngle=-0.1139 ; Kf.pos=1.9132 ; Kf.difPos=0.5156 ;K
f.difDifPos= 0.0631;break;
case 40 :Kf.angle=-0.5444 ; Kf.difAngle=-0.1127 ; Kf.pos=1.9120 ; Kf.difPos=0.5141 ;K
f.difDifPos= 0.0633;break;
*/
default :Kf.angle=-0.8135 ; Kf.difAngle=-0.1166 ; Kf pos=1.9538 ; Kf.difPos=0.5609 ;Kf
.difDifPos= 0.0550;
    }
} ,

else
{
    switch(Lrop){
// K when stop
/*
case 100 :Kf.angle=-1.7484 ; Kf.difAngle=-0.2400 ; Kf.pos=1.8939 ; Kf.difPos=0.6434 ;K
f.difDifPos= 0.0675;break;
case 99 :Kf.angle=-1.7428 ; Kf.difAngle=-0.2421 ; Kf.pos=1.8928 ; Kf.difPos=0.6423 ;K
f.difDifPos= 0.0678;break;
case 98 :Kf.angle=-1.7370 ; Kf.difAngle=-0.2442 ; Kf.pos=1.8916 ; Kf.difPos=0.6412 ;K
f.difDifPos= 0.0680;break;
case 97 :Kf.angle=-1.7311 ; Kf.difAngle=-0.2462 ; Kf.pos=1.8904 ; Kf.difPos=0.6401 ;K
f.difDifPos= 0.0682;break;
case 96 :Kf.angle=-1.7251 ; Kf.difAngle=-0.2482 ; Kf.pos=1.8892 ; Kf.difPos=0.6389 ;K
f.difDifPos= 0.0685;break;
case 95 :Kf.angle=-1.7189 ; Kf.difAngle=-0.2502 ; Kf.pos=1.8880 ; Kf.difPos=0.6378 ;K
f.difDifPos= 0.0687;break;
case 94 :Kf.angle=-1.7126 ; Kf.difAngle=-0.2522 ; Kf.pos=1.8867 ; Kf.difPos=0.6366 ;K
f.difDifPos= 0.0690;break;
case 93 :Kf.angle=-1.7061 ; Kf.difAngle=-0.2542 ; Kf.pos=1.8855 ; Kf.difPos=0.6354 ;K
f.difDifPos= 0.0693;break;
case 92 :Kf.angle=-1.6995 ; Kf.difAngle=-0.2561 ; Kf.pos=1.8842 ; Kf.difPos=0.6342 ;K
f.difDifPos= 0.0695;break;

```

เอกสารนี้เป็นเอกสารที่สงวนไว้สำหรับการใช้งานเพื่อการศึกษาเท่านั้น ไม่อนุญาตให้นำไปใช้ประโยชน์ด้านการค้า  
 ไม่ว่ากรณีใดๆ ทั้งสิ้น อีกทั้งห้ามมิให้ตัดแปลงเนื้อหาและต้องอ้างอิงถึงเจ้าของเอกสารทุกครั้งที่มีการนำไปใช้

```

case 91 :Kf.angle=-1.6927 ; Kf.difAngle=-0.2581 ; Kf.pos=1.8829 ; Kf.difPos=0.6329 ;K
f.difDifPos= 0.0698;break;
case 90 :Kf.angle=-1.6858 ; Kf.difAngle=-0.2600 ; Kf.pos=1.8815 ; Kf.difPos=0.6316 ;K
f.difDifPos= 0.0701;break;
case 89 :Kf.angle=-1.6787 ; Kf.difAngle=-0.2619 ; Kf.pos=1.8802 ; Kf.difPos=0.6303 ;K
f.difDifPos= 0.0704;break;
case 88 :Kf.angle=-1.6715 ; Kf.difAngle=-0.2637 ; Kf.pos=1.8788 ; Kf.difPos=0.6290 ;K
f.difDifPos= 0.0706;break;
*/
case 87 :Kf.angle=-1.6641 ; Kf.difAngle=-0.2656 ; Kf.pos=1.8774 ; Kf.difPos=0.6276 ;K
f.difDifPos= 0.0709;break;
case 86 :Kf.angle=-1.6565 ; Kf.difAngle=-0.2674 ; Kf.pos=1.8759 ; Kf.difPos=0.6262 ;K
f.difDifPos= 0.0712;break;
case 85 :Kf.angle=-1.6487 ; Kf.difAngle=-0.2691 ; Kf.pos=1.8745 ; Kf.difPos=0.6248 ;K
f.difDifPos= 0.0715;break;
case 84 :Kf.angle=-1.6407 ; Kf.difAngle=-0.2709 ; Kf.pos=1.8730 ; Kf.difPos=0.6233 ;K
f.difDifPos= 0.0718;break;
case 83 :Kf.angle=-1.6326 ; Kf.difAngle=-0.2726 ; Kf.pos=1.8715 ; Kf.difPos=0.6218 ;K
f.difDifPos= 0.0721;break;
case 82 :Kf.angle=-1.6242 ; Kf.difAngle=-0.2743 ; Kf.pos=1.8699 ; Kf.difPos=0.6203 ;K
f.difDifPos= 0.0724;break;
case 81 :Kf.angle=-1.6157 ; Kf.difAngle=-0.2760 ; Kf.pos=1.8684 ; Kf.difPos=0.6187 ;K
f.difDifPos= 0.0728;break;
case 80 :Kf.angle=-1.6069 ; Kf.difAngle=-0.2777 ; Kf.pos=1.8668 ; Kf.difPos=0.6172 ;K
f.difDifPos= 0.0731;break;
case 79 :Kf.angle=-1.5980 ; Kf.difAngle=-0.2793 ; Kf.pos=1.8651 ; Kf.difPos=0.6155 ;K
f.difDifPos= 0.0734;break;
case 78 :Kf.angle=-1.5888 ; Kf.difAngle=-0.2809 ; Kf.pos=1.8635 ; Kf.difPos=0.6139 ;K
f.difDifPos= 0.0738;break;
case 77 :Kf.angle=-1.5794 ; Kf.difAngle=-0.2824 ; Kf.pos=1.8618 ; Kf.difPos=0.6122 ;K
f.difDifPos= 0.0741;break;
case 76 :Kf.angle=-1.5697 ; Kf.difAngle=-0.2839 ; Kf.pos=1.8601 ; Kf.difPos=0.6104 ;K
f.difDifPos= 0.0745;break;

```

เอกสารนี้เป็นเอกสารที่สงวนไว้สำหรับการใช้งานเพื่อการศึกษาเท่านั้น ไม่อนุญาตให้นำไปใช้ประโยชน์ด้านการค้า  
ไม่ว่ากรณีใดๆ ทั้งสิ้น อีกทั้งห้ามมิให้ตัดแปลงเนื้อหาและต้องอ้างอิงถึงเจ้าของเอกสารทุกครั้งที่มีการนำไปใช้

```

case 75 :Kf.angle=-1.5598 ; Kf.difAngle=-0.2854 ; Kf.pos=1.8583 ; Kf.difPos=0.6087 ;K
f.difDifPos= 0.0748;break;
default : Kf.angle=-1.6715 ; Kf.difAngle=-0.2637 ; Kf.pos=1.8788 ; Kf.difPos=0.6290 ;K
f.difDifPos = 0.0706;
//default is Kf at 88
    }
}

```

```

/*subtitute the amount of K */

f2=realDifAngle[k]*Kf.difAngle;          //use for LQR
f3=realDifPos[k]*Kf.difPos;              //use for LQR
f4=realDifDifPos[k]*Kf.difDifPos;        //use for LQR

controlLaw[k]=(Kf.angle*errorAngle[k])+(Kf.pos*errorPos[k])-(f2+f3+f4);

/* For LQR */

VELOCITY_OUT(controlLaw[k]);

UPDATE_GRAPH(scale,realPos[k],ropPos[k],stopPos,realAngle[k],samplingTime);
//NEW GRAPH
samplingTime=samplingTime+info.sampling;

zz[k]=z;
yy[k]=Kf.angle;
}while(samplingTime<maxTime);
outp(ADD_RELAY,STOP_UP);
outp(ADD_RELAY,STOP_UP);

```

เอกสารนี้เป็นเอกสารที่สงวนไว้สำหรับการใช้งานเพื่อการศึกษาเท่านั้น ไม่อนุญาตให้นำไปใช้ประโยชน์ด้านการค้า  
ไม่ว่ากรณีใดๆ ทั้งสิ้น อีกทั้งห้ามมิให้ดัดแปลงเนื้อหาและต้องอ้างอิงถึงเจ้าของเอกสารทุกครั้งที่มีการนำไปใช้

```

VELOCITY_OUT(0);

CLOSE_GRAPHIC();          //close graphic mode
clrscr();

end=clock();              //read clock when end routine
time=(long)(((end-startProcess)/CLK_TCK)*1000000);
gotoxy(X-6,Y);
printf("\aThis Process use time = %10.0ld microsec",time);

datafile=fopen(cranefile,"wt+");    //open file to write data
gotoxy(X-6,Y+2);
printf("Wait for writing data to file.");

/* Write data to file */

for (k=0;k<MAXDATA;k++)
{
    fprintf(datafile,"%3.0d %2.8f %2.8f %2.8f %2.8f %2.8f %2.8f %2.8f %2.8f %2.8f
\n",zz[k],yy[k],ropPos[k],controlLaw[k],errorPos[k],filAngle[k],realDifAngle[k],realPos[k],realDifPos[k],realDifDifPos[k]);
}

gotoxy(15,22);
printf("Writing data to file is ready.\n\n");
fclose(datafile);        //close file
gotoxy(15,24);
printf("Press any key to quit program.");

getch();
}

```

เอกสารนี้เป็นเอกสารที่สงวนไว้สำหรับการใช้งานเพื่อการศึกษาเท่านั้น ไม่อนุญาตให้นำไปใช้ประโยชน์ด้านการค้า  
ไม่ว่ากรณีใดๆ ทั้งสิ้น อีกทั้งห้ามมิให้ดัดแปลงเนื้อหาและต้องอ้างอิงถึงเจ้าของเอกสารทุกครั้งที่มีการนำไปใช้

## ADC6.H

```
/* SubProgram 14 bit Analog to Digital Conversion (in PCL-714 Broad)
```

```
    Last Update 20 MAR 1996
```

```
*/
```

```
#include <conio.h>
```

```
#include <math.h>
```

```
#include <time.h>
```

```
/* Define Constant Value */
```

```
#define BASE 0x220           //base address of 8253
#define CH 12               //old is ch 10 channel of ADC
#define TRIGGER 1
#define PACER 2
```

```
typedef struct{
    char high;
    char low;
}word;           //1 word = high byte + low byte

typedef struct{
    //word c0;           //counter0
    word c1;           //counter1
    word c2;           //counter2
}counterRegister; //define counter register data type
```

```
counterRegister COUNTER_REGISTER(unsigned long period);
void SET_COUNTER(int base,counterRegister counter);
void TRIG(int mode,int base,int channel,counterRegister period,unsigned int k);
word READ_ADC(int base);
word READ_ADC1(int base);
counterRegister READ_COUNTER(int base);
```

```
/* Function */
```

```
counterRegister COUNTER_REGISTER(unsigned long period)
{
```

เอกสารนี้เป็นเอกสารที่สงวนไว้สำหรับการใช้งานเพื่อการศึกษาเท่านั้น ไม่อนุญาตให้นำไปใช้ประโยชน์ด้านการค้า  
 ไม่ว่ากรณีใดๆ ทั้งสิ้น อีกทั้งห้ามให้ตัดแปลงเนื้อหาและต้องอ้างอิงถึงเจ้าของเอกสารทุกครั้งที่มีการนำไปใช้

```

counterRegister counter;

/*
sampling period = (HB1*256+LB1)*(HB2*256+LB2)*0.5 microseconds

assign high=(HB1*256+LB1)
assign low=(HB2*256+LB2)
counter.c1.high=HB1
counter.c1.low=LB1
counter.c2.high=HB2
counter.c2.low=LB2

*/

low=(int)sqrt(period);           //define low word
//low=10000;
high=(period*2)/low;           //compute high word
counter.c1.high=high/256;      //high byte of counter2 of 8253
counter.c1.low=high%256;       //low byte of counter2 of 8253
counter.c2.high=low/256;       //high byte of counter1 of 8253
counter.c2.low=low%256;        //low byte of counter1 of 8253

return counter;                //return value of counter register
}

void SET_COUNTER(int base,counterRegister counter)
{

/* address base+0 use to read or write LSB or MSB of counter0
address base+1 use to read or write LSB or MSB of counter1
address base+2 use to read or write LSB or MSB of counter2
address base+3 use to write CONTROL BYTE to 8253
*/

outp(base+3,0x74);             //load control byte to counter1 of 8253
outp(base+1,counter.c1.low);
outp(base+1,counter.c1.high);
outp(base+3,0xB4);             //load control byte to counter2 of 8253
outp(base+2,counter.c2.low);
outp(base+2,counter.c2.high);

```

เอกสารนี้เป็นเอกสารที่สงวนไว้สำหรับการใช้งานเพื่อการศึกษาเท่านั้น ไม่อนุญาตให้นำไปใช้ประโยชน์ด้านการค้า  
ไม่ว่ากรณีใดๆ ทั้งสิ้น อีกทั้งห้ามมิให้ดัดแปลงเนื้อหาและต้องอ้างอิงถึงเจ้าของเอกสารทุกครั้งที่มีการนำไปใช้

```

}

counterRegister READ_COUNTER(int base)
{

    counterRegister count;

    /* read data from counter */
    outp(base+3,64);          //latch data from counter1
    count.c1.low=inp(base+1);
    count.c1.high=inp(base+1);
    outp(base+3,192);        //latch data from counter2
    count.c2.low=inp(base+2);
    count.c2.high=inp(base+2);

    //time=(count.c1.high*256+count.c1.low)*(count.c2.high*256+count.c2.low);

    /* write counter data to screen*/
    gotoxy(20,15);
    printf("COUNTER1 = %d ",count.c1.low); //test
    gotoxy(20,17);
    printf("COUNTER1 = %d ",count.c1.high); //test
    gotoxy(20,19);
    printf("COUNTER2 = %d ",count.c2.low); //test
    gotoxy(20,21);
    printf("COUNTER2 = %d ",count.c2.high); //test

    return count;

}

word READ_ADC(int base)
{

```

```

    word data;

```

```

    //int clip=240;          //254 bit 1st=0,252 bit 2nd=0,248 bit 3rd=0,240 bit 4th=0

```

```

    /* address base+4 use to read ADC low byte

```

```

        or use to write DAC low byte

```

```

        address base+5 use to read ADC high byte

```

```

        or use to write DAC high byte

```

```

*/
/int i=1;

do
{ /* wait for complete conversion */
    data.high=inp(base+5);    //read high_byte data

    /* read counter data wait for sampling time */
    // if (!(i%25000))
    // {
    //     READ_COUNTER(base);
    // }
    // i++;

}while(data.high>=64);    //if hi >=64 mean conversion is not complete
data.low=inp(base+4);    //read low_byte data
//data.low=data.low&clip;    //don't care last 2 bit

return data;    //return reading data
}

void TRIG(int mode,int base,int channel,counterRegister period,unsigned int k)
{

/* address base+10 use to write (3bit) to select the desired ADC channel
   address base+11 use to write (2bit) to select ADC trigger mode control
*/

outp(base+10,channel);    //select channel
//if ((mode==PACER)&&(k==1))
//if (mode==PACER)
//{
//    SET_COUNTER(base,period);
//}

outp(base+11,mode);    //select mode

//return 1;

}

```

```
/* Program test PLOTING IN GRAPHICS MODE with array input */
```

```
#include <conio.h>
```

```
#include <stdlib.h>
```

```
#include <dos.h>
```

```
/* Use graphics.h to include graphics module */
```

```
#include<graphics.h>
```

```
#define LEFT_GRAPH 0
```

```
#define TOP_GRAPH 0
```

```
#define RIGHT_GRAPH getmaxx()
```

```
#define BOTTOM_GRAPH (getmaxy()-70)
```

```
#define LEFT_DESCRIP 0
```

```
#define TOP_DESCRIP (getmaxy()-69)
```

```
#define RIGHT_DESCRIP getmaxx()
```

```
#define BOTTOM_DESCRIP getmaxy()
```

```
#define CLIP_ON 1
```

```
#define CLIP_OFF 0
```

```
#define XMIN 60
```

```
#define XMAX (RIGHT_GRAPH-39)
```

```
#define YMIN (BOTTOM_GRAPH-40)
```

```
#define YMAX 39
```

```
#define X_RANGE (XMAX-XMIN)
```

```
#define Y_RANGE (YMIN-YMAX)
```

```
/*
```

```
  COLOR CODE
```

```
  1 = BLUE
```

```
 14= YELLOW
```

```
 15= WHITE
```

```
*/
```

```

float yMax;          //Set Point Position (cm)
float sampling;     //Sampling Period (sec)
char *heading;     //Heading of Graph (string)
char *xLabel;      //Label of X Axis (string)
char *yLabel;      //Label of Y Axis (string)
}graphInfo;

typedef struct{
                                //float pix;

float secPpix;
int pixPsampling;
}scaleX;

typedef struct{
float cmPpix;
}scaleY;

typedef struct{
scaleX x;
scaleY y;
}axisScale;

/* Prototype Function */

int OPEN_GRAPHIC(void);
int CLOSE_GRAPHIC(void);
void DRAW_AXIS(void);
void WRITE_HEADING(char *heading,char *xLabel,char *yLabel);
axisScale WRITE_SCALE(float xMax,float yMax,float sampling);
void DRAW_GRID(int xGrid,int yGrid);
void DRAW_GRAPH(void);
//void UPDATE_GRAPH(axisScale scale,float distance,float time);
void UPDATE_GRAPH(axisScale scale,float distance,float ropdistance,float stpos,float angle,float time);
axisScale INITIAL_GRAPH(graphInfo info);
void SETVIEW(int left,int top,int right,int bottom,int clip);
void DESCRIPTION(float maxTime,float maxDistance);

```

เอกสารนี้เป็นเอกสารที่สงวนไว้สำหรับการใช้งานเพื่อการศึกษาเท่านั้น ไม่อนุญาตให้นำไปใช้ประโยชน์ด้านการค้า

ไม่เว้นการแจ้งเตือนผู้ที่เกี่ยวข้องที่เปลี่ยนแปลงเนื้อหาและต้องอ้างอิงถึงเจ้าของเอกสารทุกครั้งที่มีการนำไปใช้

```

int oldTime=XMIN;
int oldCraneValue=369;
int oldLoadValue=369;

/* Funtion */

int OPEN_GRAPHIC(void)
{

    int gdrive=DETECT,gmode,errorcode;

    /* Chain graphics function to program */

    errorcode = registerbgidriver(EGAVGA_driver);
    if (errorcode<0) /* Have error */
    {
        printf("Graphics error:%s\n",grapherrormsg(errorcode));
        //return 0;          //initial is fail
        exit(1);
    }

    /* Initialize graphics */

    initgraph(&gdrive,&gmode,"");

    /* Check error */

    errorcode = graphresult();
    if(errorcode != grOk) /* An error occurred */
    {
        printf("Error while opening \n");
        //return 0;          //initial is fail
        exit(2);
    }

    return 1;          //initial is success
}

```

เอกสารนี้เป็นเอกสารที่สงวนไว้สำหรับการใช้งานเพื่อการศึกษาเท่านั้น ไม่อนุญาตให้นำไปใช้ประโยชน์ด้านการค้า  
 ไม่ว่าจะกรณีใดๆ ทั้งสิ้น อีกทั้งห้ามมิให้ดัดแปลงเนื้อหาและต้องอ้างอิงถึงเจ้าของเอกสารทุกครั้งที่มีการนำไปใช้

```

int CLOSE_GRAPHIC(void)
{
    /* Wait key stroke and change to text mode */
    sound(800);
    delay(400);
    nosound();
    getch();
    closegraph();
    return 1;
}

void WRITE_HEADING(char *heading,char *xLabel,char *yLabel)
{
    /* Write Title and X,Y label */

    settxtjustify(CENTER_TEXT,CENTER_TEXT);    //set text justify
    setcolor(13);                               //set Title color
    settxtstyle(TRIPLEX_FONT,HORIZ_DIR,1);     //set text style of Title
    outtextxy((XMAX/2),(YMAX-15),heading);     //write Title
    setcolor(13);                               //set text color
    settxtstyle(DEFAULT_FONT,HORIZ_DIR,1);     //set text style of X label
    outtextxy((XMAX/2),(YMIN+20),xLabel);     //write X label
    settxtstyle(DEFAULT_FONT,VERT_DIR,1);     //set text style of Y label
    outtextxy((XMIN-40),(YMIN/2),yLabel);     //write Y label
}

axisScale WRITE_SCALE(float xMax,float yMax,float sampling)
{
    char *buffer;
    axisScale scale;
    unsigned int x1,y1,setpoint;
    float i;
    float xAll,yAll;

```

```
scale.x.pixPsampling = sampling/scale.x.secPpix; //pixels per sampling
```

```
scale.y.cmPpix = yMax/(Y_RANGE-40);
```

```
/* Draw Set Point Line */
```

```
setcolor(15);
```

```
setlinestyle(SOLID_LINE,0,1);
```

```
setpoint=YMIN-(yMax/scale.y.cmPpix);
```

```
line(XMIN+1,setpoint,XMAX,setpoint);
```

```
/* Write Scale On X Axis */
```

```
setcolor(11);
```

```
settextstyle(SMALL_FONT,HORIZ_DIR,1); //set text style of X Scale
```

```
setusercharsize(1,0.5,1,0.5); //make small text
```

```
i=1;
```

```
for (x1=0;x1<X_RANGE;x1++)
```

```
{
```

```
    i=((x1)*scale.x.secPpix); //increase scale
```

```
    if (!(x1%50)) //write scale every 10 pixel
```

```
    {
```

```
        sprintf(buffer,"%0.2f",i);
```

```
        outtextxy(XMIN+x1-4,YMIN+5,buffer);
```

```
    }
```

```
}
```

```
/* Write Scale On Y Axis */
```

```
settextstyle(SMALL_FONT,HORIZ_DIR,1); //set text style of Y Scale
```

```
    // settextstyle(GOTHIC_FONT,HORIZ_DIR,1); //set text style of Y
```

Scale

```
//settextjustify(RIGHT_TEXT,CENTER_TEXT);
```

```
setusercharsize(1,0.5,1,0.5); //make small text
```

```
i=1;
```

```
for (y1=1;y1<Y_RANGE;y1++)
```

```
{
```

```
    i=((y1)*scale.y.cmPpix); //increase scale
```

```

        if (!(y1%10))                //write scale every 10 pixel
        {
            sprintf(buffer,"%0.2f",i);
            outtextxy(XMIN-30,YMIN-y1-3,buffer);
        }
    }
    return scale;
}

void DRAW_AXIS(void)
{
    /* Draw X,Y axis */

    setbkcolor(1);                //set back ground color
    setcolor(15);                 //set X-axis and Y-axis color to white
    setlinestyle(SOLID_LINE,0,1); //set line sytle ,linestyle=SOLID_LINE,pattern=0,
    thickness=normal
    //setbkcolor(7);                //set black ground color to gray
    line(XMIN,YMIN,XMIN,YMAX);    //draw Y-axis
    line(XMIN,YMIN,XMAX,YMIN);    //draw X-axis
}

void DRAW_GRID(int xGrid,int yGrid)
{
    int x1,y1;

    /* Draw grid */

    setcolor(8);                 //set grid color
    setlinestyle(DOTTED_LINE,0,1); //set line sytle ,linestyle=SOLID_LINE,pattern=0,
    thickness=normal

```

เอกสารนี้เป็นเอกสารที่สงวนไว้สำหรับการใช้งานเพื่อการศึกษาเท่านั้น ไม่อนุญาตให้นำไปใช้ประโยชน์ด้านการค้า  
 for (x1=(XMIN+xGrid);x1<XMAX;x1+=xGrid)  
 ไม่ว่าจะฉีกทุกชิ้น อีกทั้งห้ามมิให้ดัดแปลงเนื้อหาและต้องอ้างอิงถึงเจ้าของเอกสารทุกครั้งที่มีการนำไปใช้

```

        line(x1,YMIN-1,x1,YMAX-1);
    }
    for(y1=(YMIN-yGrid);y1>YMAX;y1-=yGrid)
    {
        line(XMIN,y1,XMAX,y1);
    }
}

```

```

void DESCRIPTION(float maxTime,float maxDistance)
{
    int line=10;
    char buffer[20];

    setcolor(14);
    settxtjustify(CENTER_TEXT,CENTER_TEXT);
    settxtstyle(DEFAULT_FONT,HORIZ_DIR,1);
    outtextxy(LEFT_DESCRIP+85,TOP_DESCRIP,"DESIRE DISTANCE = ");
    setcolor(12);
    sprintf(buffer,"%0.4f m",maxDistance);
    outtextxy(LEFT_DESCRIP+200,TOP_DESCRIP,buffer);
    setcolor(14);
    outtextxy(LEFT_DESCRIP+85,TOP_DESCRIP+line," TIME OPERATING = ");
    setcolor(12);
    sprintf(buffer,"%0.4f sec",maxTime);
    outtextxy(LEFT_DESCRIP+208,TOP_DESCRIP+line,buffer);
    setcolor(14);
    outtextxy(LEFT_DESCRIP+85,TOP_DESCRIP+(2*line)," DISTANCE = ");
}

```

```

void DRAW_GRAPH(void)
{

```

```

    setcolor(20); //set response color to

```

```

    setfillstyle(EMPTY_FILL,1); //set fill style

```

เอกสารนี้เป็นเอกสารที่สงวนไว้สำหรับการใช้งานเพื่อการศึกษาเท่านั้น ไม่อนุญาตให้นำไปใช้ประโยชน์ด้านการค้า  
ไม่ว่ากรณีใดๆทั้งสิ้น อีกทั้งห้ามมิให้ดัดแปลงเนื้อหาและต้องอ้างอิงถึงเจ้าของเอกสารทุกครั้งที่มีการนำไปใช้

```

        setlinestyle(SOLID_LINE,0,1); //set line style ,linestyle=SOLID_LINE,pattern=0,
thickness=normal
        moveto(XMIN,YMIN); //set current point (CP) to origin of graph (XMIN,YMIN)
    }

//void UPDATE_GRAPH(axisScale scale,float distance,float time)
void UPDATE_GRAPH(axisScale scale,float distance,float ropdistance,float stpos,float angle,float time)
{
    int line=10; //line of text (text heighth)
    char buffer[20]; //buffer of data
    //int xNew,xValue,yValue;
    int newTime,newCraneValue,newLoadValue;

    newTime=XMIN+(time/scale.x.secPpix);
    newCraneValue=YMIN-(distance/scale.y.cmPpix);
    newLoadValue=YMIN-(angle/scale.y.cmPpix);

    setcolor(4); //set color of graph
    moveto(oldTime,oldCraneValue);
    lineto(newTime,newCraneValue); //draw new graph from old point to new point
    setcolor(14);
    moveto(oldTime,oldLoadValue);
    lineto(newTime,newLoadValue);
    oldTime=newTime;
    oldCraneValue=newCraneValue;
    oldLoadValue=newLoadValue;

    setcolor(13); //set color of data
    settextstyle(DEFAULT_FONT,HORIZ_DIR,1);
    //setfillstyle(EMPTY_FILL,1);
    bar(LEFT_DESCRIP+150, TOP_DESCRIP+(1.5*line), LEFT_DESCRIP+550, TOP_DESCRIP+
(2.5*line)); //clear area to write new data
    bar(LEFT_DESCRIP+350, TOP_DESCRIP+(0.5*line), LEFT_DESCRIP+550, TOP_DESCRIP+
(1.5*line)); //clear area to write new data

    sprintf(buffer,"%0.4f m",distance); //write data to buffer
    outtextxy(LEFT_DESCRIP+200, TOP_DESCRIP+(2*line),buffer); //write data from buffer to
monitor

```

```

setcolor(14);
outtextxy(LEFT_DESCRIP+385,TOP_DESCRIP+(2*line),"ROPE DISTANCE = ");
setcolor(13);
sprintf(buffer,"%0.4f m",ropedistance); //write data to buffer
outtextxy(LEFT_DESCRIP+500,TOP_DESCRIP+(2*line),buffer); //write data from buffer to monitor

sprintf(buffer,"%0.4f m",stpos); //write data to buffer
outtextxy(LEFT_DESCRIP+500,TOP_DESCRIP+(1*line),buffer); //write data from buffer to monitor

//setviewport(0,0,getmaxx(),getmaxy(),CLIP_OFF);

}

//axisScale INITIAL_GRAPH(float xMax,float yMax,int xGrid,int yGrid)
axisScale INITIAL_GRAPH(graphInfo info)
{
    axisScale scale;
    int topGraph,leftGraph,bottomGraph,rightGraph;
    int i;

    OPEN_GRAPHIC();

    //SETVIEW(LEFT_GRAPH,TOP_GRAPH,RIGHT_GRAPH,BOTTOM_GRAPH,CLIP_OFF);

    DRAW_AXIS();

    WRITE_HEADING(info.heading,info.xLabel,info.yLabel);
    scale = WRITE_SCALE(info.xMax,info.yMax,info.sampling);
    //DRAW_GRID(xGrid,yGrid);
    DRAW_GRID(50,10);

    //SETVIEW(LEFT_DESCRIP,TOP_DESCRIP,RIGHT_DESCRIP,BOTTOM_DESCRIP,CLIP_OFF);
    DESCRIPTION(info.xMax,info.yMax);
    //SETVIEW(LEFT_GRAPH,TOP_GRAPH,RIGHT_GRAPH,BOTTOM_GRAPH,CLIP_OFF);
    DRAW_GRAPH();
    return scale;
}

```

```

// LM629 ADDRESS PORT
#define ADDR_COM      0x308 //address for write command and read status flag
#define ADDR_DATA     0x309 //address for read and write data
#define posConvertC2M 3.0041758E-5 //multiplier constant for convert
                                //encoder count to distance in m.
#define posConvertM2C 33287 //multiplier constant for convert
                                //distance in m to velocity in
                                //count/sampies
#define veloConvertC2M 1.34297E-6 //multiplier constant for convert
                                //count per sec to velocity m/s
                                //1/33287*341.333333333E-6*65536
#define veloConvertM2C 744617.585 //multiplier constant for convert
                                //velocity m/s to count per sec
                                //33287*341.333333333E-6*65536
#define veloCorrectFact 1.144165 //correct factor for convert to
                                //actual velocity
#define accConvertM2C 254.162 //multiplier constant for convert
                                //acceleration m/s^2 to count/sec^2
                                //33287*(341.333333333E-6)^2*65536
#define accConvertC2m 3.934498E-3 //multiplier constant for convert
                                //acceleration count/sec^2 to m/s^2
                                //1/33287*(341.333333333E-6)^2*65536

#define kpConvert 0.307 //kp=(256*40/33287)*Kp
#define kiConvert 0.027 //ki=(6553
#define kdConvert 901.25
#define kp 108 //old kp=28.5 //propertion gain in metre
#define ki 707.279 //integration gain in metre
#define kd 3.751 //old kd=3.6 //derivative gain in metre
#define il 50000 //integration limit
#define filterCommand 0x000F //kp,ki,kd well be loaded
#define InitMaxAccCommand 0x1820 //trajectory control word a 18 hex

```

เอกสารนี้เป็นเอกสารที่สงวนไว้สำหรับ //HB program forward direction อนุญาตให้ท่านไปใช้ประโยชน์ด้านการค้า  
ไม่ว่ากรณีใดๆ ทั้งสิ้น อีกทั้งห้ามมิให้ดัดแปลงเนื้อหาและต้องอ้างอิงถึงเจ้าของเอกสารทุกครั้งที่มีการนำไปใช้

```

//velocity mode, acceleration
//will be loaded
#define maxVelocity 1.2 //in m/s
#define maxAcceleration 4 //in m/s^2
#define posCommand 0x002A //position mode ACC VELO position will
//be loaded and it 's absolute
#define forwVeloCommand 0x1808 //forward direction velocity will be
//loaded
#define rewVeloCommand 0x0808 //reward direction velocity will be
//loaded
#define stopMotorCommand 0x0200 //stop motor abruptly trajectory
//command
#define resetBreakCommand 0x0000 //reset all interrupt
//command code for lm629 define
#define RESET 0x00 //reset the lm629 data n
#define DFH 0x02 //define home data n
#define SIP 0x03 //set index position data n
#define LPEI 0x1B //load position error for interrupt data 2
#define MSKI 0x1C //mask interrupts data 2
#define RSTI 0x1D //reset interrupts data 2
#define LFIL 0x1E //function load parameter of filter to lm629
#define UDF 0x04 //update filter parameter
#define LTRJ 0x1F //load trajectory
#define STT 0x01 //start trajectory
#define SBPA 0x20 //set break point absolute
#define RDSIGS 0x0C //read signal register
#define RDDP 0x08 //read desired position
#define RDRP 0x0A //read real position
#define RDDV 0x07 //read desired velocity
#define RDRV 0x0B //read real velocity

```

/\* PROTOTYPE \*/

เอกสารนี้เป็นเอกสารที่สงวนไว้สำหรับการใช้งานเพื่อการศึกษาเท่านั้น ไม่อนุญาตให้นำไปใช้ประโยชน์ด้านการค้า  
ไม่ว่ากรณีใดๆ ทั้งสิ้น อีกทั้งห้ามมิให้ดัดแปลงเนื้อหาและต้องอ้างอิงถึงเจ้าของเอกสารทุกครั้งที่มีการนำไปใช้

```

void WAITBUSY(void);          //wait if lm629 busies
void WRITE_COM(unsigned char); //write command to lm629
void WRITE_DATA_BYTE(unsigned char); //write data 1 byte to lm629
void WRITE_DATA_2BYTES(int); //write data 2 bytes to lm629
void WRITE_DATA_4BYTES(long); //write data 4 bytes to lm629
void WRITE_DATA_WORD(int); //write word data ONLY FILTER DATA
void WRITE_DATA_2WORDS(long); //write 2 words data ONLY TRAJECTORY DATA
unsigned char READ_DATA_BYTE(void); //read data from lm629
int READ_DATA_2BYTES(void); //read 2 BYTES data from lm629
long READ_DATA_4BYTES(void); //read 4 BYTES daata from lm629
void SET_BREAK_POINT(float); //set break point
void INIT_LM629(void); //initial lm629
void WRITE_FILTER(void); //write filter parameter to lm629
void ACCELERATION_OUT(float); //init maximum acceleration
void POSITION_OUT(float,float,float); //send position command to lm629
void VELOCITY_OUT(float); //send velocity command to lm629
void STOP_MOTOR_IF_REACH(void); //stop motor abruptly;
float READ_DESIRED_POS(void); //read desired position
float READ_REAL_POS(void); //read real position
float READ_DESIRED_VELO(void); //read desired velocity
float READ_REAL_VELO(void); //read real velocity

```

```
/* FUNCTION */
```

```

void WAITBUSY()
{
    while(0x01 & inp(ADDR_COM)); //wait util busy flag is zero
}

```

```

void WRITE_COM(unsigned char comm)
{
    WAITBUSY();

```

```
    outp(ADDR_COM,comm);
```

```

}

void WRITE_DATA_BYTE(unsigned char data)
{
    WAITBUSY();
    outp(ADDR_DATA,data);
}

```

```

void WRITE_DATA_2BYTES(int data)
{
    char *temp;
    temp=(char *)&data;
    WAITBUSY();
    outp(ADDR_DATA,*(temp+1));
    WAITBUSY();
    outp(ADDR_DATA,*(temp));
}

```

```

void WRITE_DATA_4BYTES(long data)
{
    char *temp;
    temp=(char *)&data;
    WAITBUSY();
    outp(ADDR_DATA,*(temp+3));
    WAITBUSY();
    outp(ADDR_DATA,*(temp+2));
    WAITBUSY();
    outp(ADDR_DATA,*(temp+1));
    WAITBUSY();
    outp(ADDR_DATA,*(temp));
}

```

```

void WRITE_DATA_WORD(int data)

```

```

{
    char *temp;
    temp=(char *)&data;
    WAITBUSY();
    outp(ADDR_DATA,*(temp+1));
    outp(ADDR_DATA,*(temp));
}

```

```
void WRITE_DATA_2WORDS(long data)
```

```

{
    char *temp;
    temp=(char *)&data;
    WAITBUSY();
    outp(ADDR_DATA,*(temp+3));
    outp(ADDR_DATA,*(temp+2));
    WAITBUSY();
    outp(ADDR_DATA,*(temp+1));
    outp(ADDR_DATA,*(temp));
}

```

```
unsigned char READ_DATA_BYTE(void)
```

```

{
    WAITBUSY();
    return inp(ADDR_DATA);
}

```

```
int READ_DATA_2BYTES(void)
```

```

{
    char temp1[1];
    int *temp2;
    WAITBUSY();
    temp1[1]=inp(ADDR_DATA);
    WAITBUSY();

```

```

temp1[0]=inp(ADDR_DATA);
temp2=(int *)temp1;
return *temp2;
}

```

```

long READ_DATA_4BYTES(void)

```

```

{
    char temp1[3];
    long *temp2;
    WAITBUSY();
    temp1[3]=inp(ADDR_DATA);
    WAITBUSY();
    temp1[2]=inp(ADDR_DATA);
    WAITBUSY();
    temp1[1]=inp(ADDR_DATA);
    WAITBUSY();
    temp1[0]=inp(ADDR_DATA);
    temp2=(long *)temp1;
    return *temp2;
}

```

```

void SET_BREAK_POINT(float b_point)

```

```

{
    WRITE_COM(SBPA);           //set break point
    WRITE_DATA_4BYTES((long)(b_point*posConvertM2C));
}

```

```

void INIT_LM629(void)

```

```

{
    int status;
    clrscr();
    clrscr();
    printf("\n>>CONTROL CRANE PROGRAM NOW ACTIVE ");
}

```

```

sound(440);
delay(550);
nosound();
WRITE_COM(RESET);    //reset command code
delay(500);

printf("\n>>INITIAL LM629 NO.1 NOW PASS ");
WRITE_COM(DFH);      //define home command
WRITE_COM(SIP);      //set index position command
printf("\n>>INITIAL LM629 NO.2 NOW PASS ");
}

void WRITE_FILTER(void)
{
    /*WRITE_COM(0X1E);    //COMMAND CODE
    WRITE_DATA_BYTE(0X00); //CONTROL WORD & DERIVATIVE
    WRITE_DATA_BYTE(0X0F);
    WRITE_DATA_BYTE(0X00);    //KP
    WRITE_DATA_BYTE(0X39);
    WRITE_DATA_BYTE(0X00); //KI
    WRITE_DATA_BYTE(0X07);
    WRITE_DATA_BYTE(0X00); //KD
    WRITE_DATA_BYTE(0X00);
    WRITE_DATA_BYTE(0X30); //IL
    WRITE_DATA_BYTE(0XFF);*/

    unsigned int kpPulse,kiPulse,kdPulse,ilPulse;
    WRITE_COM(LFIL);    //COMMAND CODE
    WRITE_DATA_WORD(filterCommand); //CONTROL WORD & DERIVATIVE

    kpPulse=(unsigned int)(kp*kpConvert);
    WRITE_DATA_WORD(kpPulse);    //kp parameter

```

```

kiPulse=(unsigned int)(ki*kiConvert);
WRITE_DATA_WORD(kiPulse); //ki parameter

kdPulse=(unsigned int)(kd*kdConvert);
WRITE_DATA_WORD(kdPulse); //kd parameter

ilPulse=(unsigned int)il;
WRITE_DATA_WORD(ilPulse); //il parameter

WRITE_COM(UDF); //update filter parameter
}

void ACCELERATION_OUT(float acc)
{
WRITE_COM(LTRJ); //COMMAND CODE
WRITE_DATA_WORD(InitMaxAccCommand); //load trajectory control ward
//velocity mode acceleration
//will be loaded
WRITE_DATA_2WORDS((long)(acc*accConvertM2C));
WRITE_COM(STT);
}

void POSITION_OUT(float pos,float velo,float accel)
{
WRITE_COM(LTRJ);
WRITE_DATA_WORD(posCommand);
WRITE_DATA_2WORDS((long)(accel*accConvertM2C));
WRITE_DATA_2WORDS((long)(velo*veloConvertM2C));
WRITE_DATA_2WORDS((long)(pos*posConvertM2C));
WRITE_COM(STT);
}

```

```

void VELOCITY_OUT(float velocity)
{
    long velo;

    if (velocity>maxVelocity)
        velocity=maxVelocity;

    if (velocity<maxVelocity)
        velocity=maxVelocity;

    velo=(long)(velocity*veloCorrectFact*veloConvertM2C);
    if (velo>=0)                //forward direction
    {
        WRITE_COM(LTRJ);        //load trajectory command code
        WRITE_DATA_WORD(forwVeloCommand);
        WRITE_DATA_2WORDS(velo);
        WRITE_COM(STT);
    }
    if (velo<0)                //reward direction
    {
        velo=velo*(-1);

        WRITE_COM(LTRJ);        //load trajectory command code
        WRITE_DATA_WORD(rewVeloCommand);
        WRITE_DATA_2WORDS(velo);
        WRITE_COM(STT);
    }
}

void STOP_MOTOR_IF_REACH(void)

```

เอกสารนี้เป็นเอกสารที่สงวนไว้สำหรับการใช้งานเพื่อการศึกษาเท่านั้น ไม่อนุญาตให้นำไปใช้ประโยชน์ด้านการค้า  
ไม่ว่ากรณีใดๆทั้งสิ้น อีกทั้งห้ามมิให้ดัดแปลงเนื้อหาและต้องอ้างอิงถึงเจ้าของเอกสารทุกครั้งที่มีการนำไปใช้

```

if(0x40 & inp(ADDR_COM))                //stop motor abruptly;
{
    WRITE_COM(LTRJ);
        WRITE_DATA_WORD(stopMotorCommand);
        WRITE_COM(STT);
    WRITE_COM(RSTI);
    WRITE_DATA_2BYTES(resetBreakCommand);
}
}

float READ_DESIRED_POS(void)
{
    WRITE_COM(RDDP);                //COMMAND CODE
    return (float)READ_DATA_4BYTES()*posConvertC2M; //read desired
        // position
}

float READ_REAL_POS(void)           //read read position
{
    WRITE_COM(RDRP);                //COMMAND CODE
    return (float)READ_DATA_4BYTES()*posConvertC2M; //read real position
}

float READ_DESIRED_VELO(void)       //read desired velocity
{
    WRITE_COM(RDDV);                //COMMAND CODE
    return (float)READ_DATA_4BYTES()*veloConvertC2M; //read desired
        //velocity
}

float READ_REAL_VELO(void)          //read real velocity
{
    WRITE_COM(RDRV);                //COMMAND CODE

```

```
return (float)(READ_DATA_2BYTES)*veloConvertC2M*65535)//read real velocity  
}
```



```

// LM629 OR 628 ADDRESS PORT FOR COUNT
#define ADDR_COM2      0x306 //address for write command and read status flag
#define ADDR_DATA2     0x307 //address for read and write data
#define posConvertC2M  3.0041758E-5 //multiplier constant for convert
                                //encoder count to distance in m.
#define posConvertM2C  33287 //multiplier constant for convert
                                //distance in m to velocity in
                                //count/samples
#define veloConvertC2M 1.34297E-6 //multiplier constant for convert
                                //count per sec to velocity m/s
                                //1/33287*341.333333333E-6*65536
#define veloConvertM2C 744617.585 //multiplier constant for convert
                                //velocity m/s to count per sec
                                //33287*341.333333333E-6*65536
#define veloCorrectFact 1.144165 //correct factor for convert to
                                //actual velocity
#define accConvertM2C  254.162 //multiplier constant for convert
                                //acceleration m/s^2 to count/sec^2
                                //33287*(341.333333333E-6)^2*65536
#define accConvertC2m  3.934498E-3 //multiplier constant for convert
                                //acceleration count/sec^2 to m/s^2
                                //1/33287*(341.333333333E-6)^2*65536

#define ropConvertM2rm 0.1324432 //multiplier constant for convert
                                //realPos (m) to ropPos (m)
                                //we use this with big core with multiply old value by
                                // 16/5
#define ropConvertRM2m 24.1632 //multiplier constant for convert
                                //ropPos (m) to realPos (m) to use READ_REAL_POS2

#define kpConvert  0.307 //kp=(256*40/33287)*Kp
#define kiConvert  0.027 //ki=(6553
#define kdConvert  901.25

#define kp 528.5 //old kp=28.5 //propertion gain in metre
#define ki 745.7 //integration gain in metre
#define kd 3.6 //old kd=3.6 //

```

```

#define il          50000          //integration limit
#define filterCommand 0x000F      //kp,ki,kd well be loaded
#define InitMaxAccCommand 0x1820  //trajectory control word a 18 hex
                                   //HB program forward direction
                                   //velocity mode, acceleration
                                   //will be loaded

#define maxVelocity  1.2          //in m/s
#define maxAcceleration 4        //in m/s^2
#define posCommand   0x002A      //position mode ACC VELO position will
                                   //be loaded and it 's absolute
#define forwVeloCommand 0x1808   //forward direction velocity will be
                                   //loaded
#define rewVeloCommand 0x0808    //reward direction velocity will be
                                   //loaded
#define stopMotorCommand 0x0200  //stop motor abruptly trajectory
                                   //command
#define resetBreakCommand 0x0000 //reset all interrupt
//command code for lm629 define
#define RESET        0x00        //reset the lm629 data n
#define DFH          0x02        //define home data n
#define SIP          0x03        //set index position data n
#define LPEI         0x1B        //load position error for interrupt data 2
#define MSKI         0x1C        //mask interrupts data 2
#define RSTI         0x1D        //reset interrupts data 2
#define LFIL         0x1E        //function load parameter of filter to lm629
#define UDF          0x04        //update filter parameter
#define LTRJ         0x1F        //load trajectory
#define STT          0x01        //start trajectory
#define SBPA         0x20        //set break point absolute
#define RDSIGS       0x0C        //read signal register
#define RDDP         0x08        //read desired position
#define RDRP         0x0A        //read real position
#define RDDV         0x07        //read desired velocity
#define RDRV         0x0B        //read real velocity

```

```

/* PROTOTYPE */

```

เอกสารนี้เป็นเอกสารที่สงวนไว้สำหรับการใช้งานเพื่อการศึกษาเท่านั้น ไม่อนุญาตให้นำไปใช้ประโยชน์ด้านการค้า  
void WAITBUSY2(void); //wait if lm629 busies  
ไม่ว่ากรณีใดๆ ทั้งสิ้น อีกทั้งห้ามมิให้ดัดแปลงเนื้อหาและต้องอ้างอิงถึงเจ้าของเอกสารทุกครั้งที่มีการนำไปใช้

```

void WRITE_COM2(unsigned char); //write command to lm629
void WRITE_DATA_BYTE2(unsigned char); //write data 1 byte to lm629
void WRITE_DATA_2BYTES2(int); //write data 2 bytes to lm629
void WRITE_DATA_4BYTES2(long); //write data 4 bytes to lm629
void WRITE_DATA_WORD2(int); //write word data ONLY FILTER DATA
void WRITE_DATA_2WORDS2(long); //write 2 words data ONLY TRAJECTORY DATA
unsigned char READ_DATA_BYTE2(void); //read data from lm629
int READ_DATA_2BYTES2(void); //read 2 BYTEs data from lm629
long READ_DATA_4BYTES2(void); //read 4 BYTEs daata from lm629
void SET_BREAK_POINT2(float); //set break point
void INIT_LM6292(void); //initial lm629
void WRITE_FILTER2(void); //write filter parameter to lm629
void ACCELERATION_OUT2(float); //init maximum acceleration
void POSITION_OUT2(float,float,float); //send position command to lm629
void VELOCITY_OUT2(float); //send velocity command to lm629
void STOP_MOTOR_IF_REACH2(void); //stop motor abruptly;
float READ_DESIRED_POS2(void);//read desired position
float READ_REAL_POS2(void); //read real position
float READ_DESIRED_VELO2(void); //read desired velocity
float READ_REAL_VELO2(void); //read real velocity

/* FUNCTION */

void WAITBUSY2()
{
    while(0x01 & inp(ADDR_COM2)); //wait util busy flag is zero
}

void WRITE_COM2(unsigned char comm)
{
    WAITBUSY2();
    outp(ADDR_COM2,comm);
}

void WRITE_DATA_BYTE2(unsigned char data)
{
    WAITBUSY2();
    outp(ADDR_DATA2,data);
}

```

```

}

void WRITE_DATA_2BYTES2(int data)
{
    char *temp;
    temp=(char *)&data;
    WAITBUSY2();
    outp(ADDR_DATA2,*(&temp+1));
    WAITBUSY2();
    outp(ADDR_DATA2,*(&temp));
}

```

```

void WRITE_DATA_4BYTES2(long data)
{
    char *temp;
    temp=(char *)&data;
    WAITBUSY2();
    outp(ADDR_DATA2,*(&temp+3));
    WAITBUSY2();
    outp(ADDR_DATA2,*(&temp+2));
    WAITBUSY2();
    outp(ADDR_DATA2,*(&temp+1));
    WAITBUSY2();
    outp(ADDR_DATA2,*(&temp));
}

```

```

void WRITE_DATA_WORD2(int data)
{
    char *temp;
    temp=(char *)&data;
    WAITBUSY2();
    outp(ADDR_DATA2,*(&temp+1));
    outp(ADDR_DATA2,*(&temp));
}

```

```

void WRITE_DATA_2WORD2(long data)

```

```

{
    char *temp;

```

เอกสารนี้เป็นเอกสารที่สงวนไว้สำหรับการใช้งานเพื่อการศึกษาเท่านั้น ไม่อนุญาตให้นำไปใช้ประโยชน์ด้านการค้า  
ไม่ว่ากรณีใดๆทั้งสิ้น อีกทั้งห้ามมิให้ดัดแปลงเนื้อหาและต้องอ้างอิงถึงเจ้าของเอกสารทุกครั้งที่มีการนำไปใช้

```

temp=(char *)&data;
WAITBUSY2();
outp(ADDR_DATA2,*(temp+3));
outp(ADDR_DATA2,*(temp+2));
WAITBUSY2();
outp(ADDR_DATA2,*(temp+1));
outp(ADDR_DATA2,*temp);
}

```

```

unsigned char READ_DATA_BYTE2(void)
{
    WAITBUSY2();
    return inp(ADDR_DATA2);
}

```

```

int READ_DATA_2BYTES2(void)
{
    char temp1[1];
    int *temp2;
    WAITBUSY2();
    temp1[1]=inp(ADDR_DATA2);
    WAITBUSY2();
    temp1[0]=inp(ADDR_DATA2);
    temp2=(int *)temp1;
    return *temp2;
}

```

```

long READ_DATA_4BYTES2(void)
{
    char temp1[3];
    long *temp2;
    WAITBUSY2();
    temp1[3]=inp(ADDR_DATA2);
    WAITBUSY2();
    temp1[2]=inp(ADDR_DATA2);
    WAITBUSY2();
    temp1[1]=inp(ADDR_DATA2);
    WAITBUSY2();

```

```

temp1[0]=inp(ADDR_DATA2);
temp2=(long *)temp1;
return *temp2;
}

void SET_BREAK_POINT2(float b_point)
{
WRITE_COM2(SBPA);           //set break point
WRITE_DATA_4BYTES2((long)(b_point*posConvertM2C));
}

void INIT_LM6292(void)
{
int status;
clrscr();
clrscr();
printf("\n>>CONTROL CRANE PROGRAM NOW ACTIVE ");
sound(440);
delay(550);
nosound();
WRITE_COM2(RESET);         //reset command code
delay(500);

printf("\n>>INITIAL LM629 NO.1 NOW PASS ");
WRITE_COM2(DFH);          //define home command
WRITE_COM2(SIP);          //set index position command
printf("\n>>INITIAL LM629 NO.2 NOW PASS ");
}

void WRITE_FILTER2(void)
{
unsigned int kpPulse,kiPulse,kdPulse,ilPulse;
WRITE_COM2(LFIL);         //COMMAND CODE
WRITE_DATA_WORD2(filterCommand); //CONTROL WORD & DERIVATIVE

kpPulse=(unsigned int)(kp*kpConvert);
WRITE_DATA_WORD2(kpPulse); //kp parameter

```

```

kiPulse=(unsigned int)(ki*kiConvert);
WRITE_DATA_WORD2(kiPulse);           //ki parameter

kdPulse=(unsigned int)(kd*kdConvert);
WRITE_DATA_WORD2(kdPulse);           //kd parameter

ilPulse=(unsigned int)il;
WRITE_DATA_WORD2(ilPulse);           //il parameter

WRITE_COM2(UDF);                       //update filter parameter
}

void ACCELERATION_OUT2(float acc)
{
    WRITE_COM2(LTRJ);                   //COMMAND CODE

    WRITE_DATA_WORD2(InitMaxAccCommand); //load trjectory control ward
                                           //velocity mode acceleration
                                           //will be loaded

    WRITE_DATA_2WORD2((long)(acc*accConvertM2C));
    WRITE_COM2(STT);
}

void POSITION_OUT2(float pos,float velo,float accel)
{
    WRITE_COM2(LTRJ);
    WRITE_DATA_WORD2(posCommand);
    WRITE_DATA_2WORD2((long)(accel*accConvertM2C));
    WRITE_DATA_2WORD2((long)(velo*veloConvertM2C));
    WRITE_DATA_2WORD2((long)(pos*posConvertM2C));
    WRITE_COM2(STT);
}

void VELOCITY_OUT2(float velocity)
{
    long velo;

```

เอกสารนี้เป็นเอกสารที่สงวนไว้สำหรับการใช้งานเพื่อการศึกษาเท่านั้น ไม่อนุญาตให้นำไปใช้ประโยชน์ด้านการค้า  
 if (velocity>max Velocity)  
 ไม่ว่าจะกรณีใดๆ ทั้งสิ้น อีกทั้งห้ามแก้ไขหรือดัดแปลงเนื้อหาและต้องอ้างอิงถึงเจ้าของเอกสารทุกครั้งที่มีการนำไปใช้

```

velocity=maxVelocity;

if (velocity>maxVelocity)
    velocity=maxVelocity;

velo=(long)(velocity*veloCorrectFact*veloConvertM2C);
if (velo>=0)                //forward direction
    {

        WRITE_COM2(LTRJ);        //load trajectory command code
        WRITE_DATA_WORD2(forwVeloCommand);
        WRITE_DATA_2WORD2(velo);
        WRITE_COM2(STT);
    }
if (velo<0)                //reward direction
    {
        velo=velo*(-1);

        WRITE_COM2(LTRJ);        //load trajectory command code
        WRITE_DATA_WORD2(rewVeloCommand);
        WRITE_DATA_2WORD2(velo);
        WRITE_COM2(STT);
    }
}

void STOP_MOTOR_IF_REACH2(void)
{
    if(0x40 & inp(ADDR_COM2))        //stop motor abruptly;
        {
            WRITE_COM2(LTRJ);
            WRITE_DATA_WORD2(stopMotorCommand);
            WRITE_COM2(STT);
            WRITE_COM2(RSTI);
            WRITE_DATA_2BYTES2(resetBreakCommand);
        }
}

```

```

{
    WRITE_COM2(RDDP);                //COMMAND CODE
    return (float)READ_DATA_4BYTES2()*posConvertC2M; //read desired
                                        // position
}

float READ_REAL_POS2(void)           //read read position
{
    WRITE_COM2(RDRP);                //COMMAND CODE
    return (float)READ_DATA_4BYTES2()*posConvertC2M*ropConvertM2rm; //read real position
}

float READ_DESIRED_VELO2(void)       //read desired velocity
{
    WRITE_COM2(RDDV);                //COMMAND CODE
    return (float)READ_DATA_4BYTES2()*veloConvertC2M; //read desired
                                        //velocity
}

float READ_REAL_VELO2(void)          //read real velocity
{
    WRITE_COM2(RDRV);                //COMMAND CODE
    return (float)(READ_DATA_2BYTES2()*veloConvertC2M*65535); //read real velocity
}

```

### หนังสืออ้างอิง

1. นิรุตม์ นาคสุข สุนิบุญ ตั้งวิญญู ,การควบคุมการเคลื่อนที่ของเครน,คณะวิศวกรรมศาสตร์ สถาบันเทคโนโลยีพระจอมเกล้าเจ้าคุณทหารลาดกระบัง,2539
2. รศ.วิพันธ์ ปรีชาพานิช,ระบบควบคุมอัตโนมัติ,คณะวิศวกรรมศาสตร์ สถาบันเทคโนโลยีพระจอมเกล้าเจ้าคุณทหารลาดกระบัง,2532
3. ชันวา ศรีประโมง,การเขียนโปรแกรมภาษาซีสำหรับวิศวกรรม,มหาวิทยาลัยมหานคร ,2537
4. Frank L. Lewis, *Applied Optimal Control & Estimation*, Prentice-Hall International,Inc.,1992
5. Kasuhiko Okata , *Model Control Engineering* , Prentice-Hall International ,Inc ,1992.
6. Kasuhiko Okata , *Design Linear Control System with MATLAB* , Prentice-Hall International ,Inc. ,1994.
7. Noriyuki Komine , *Optimal Control of Anti-Sway for Overhead Traveling Crane* , Tokai University ,1995